الجمهورية الجزائرية الديمقراطية الشعبية République Algérienne Démocratique et Populaire وزارة التعليم العالي والبحث العلمي Ministère de l'Enseignement Supérieur et de la Recherche Scientifique

Centre Universitaire Abdelhafid Boussouf -Mila

Institut des Sciences et de Technologie Département de génie civil et d'hydraulique



Projet de Fin d'Etude préparé En vue de l'obtention du diplôme de MASTER

Spécialité : Génie Civil Option : Structure

L'étude des paramètres influençant la largeur du joint sismique dans les structures en béton armé

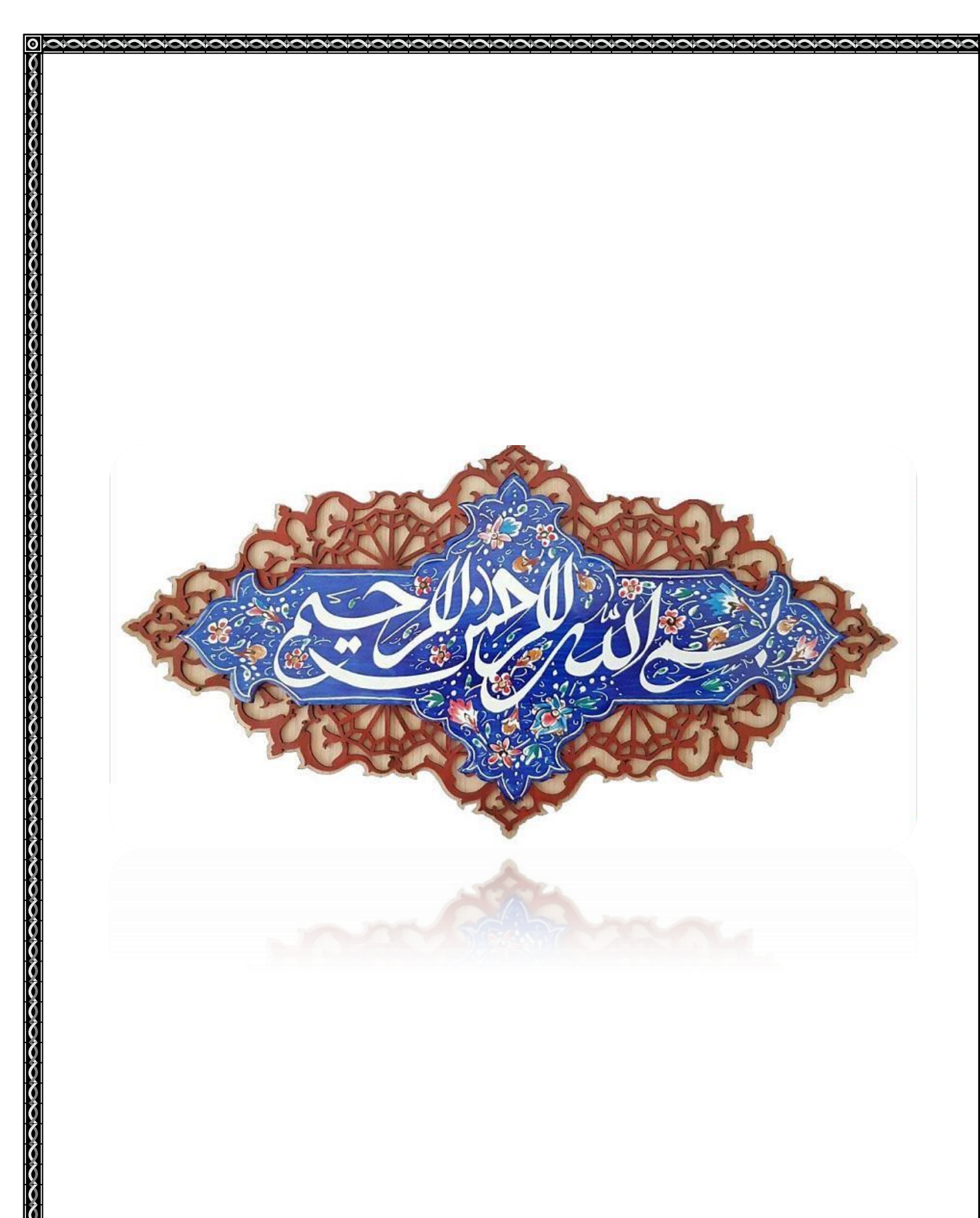
Réalisé par :

- BOUABIBSA Malika
- BOUHEMHEM Sabrina

Soutenu devant le jury :

Dr. ABADA Rofia Dr. DROUNA Karima Dr. BOUKOUR Salima Présidente Examinatrice Promotrice

Année universitaire: 2023/2024





Dédicace

Vers celui qui a guidé les cœurs de l'humanité et leurs esprits vers le havre de sécurité, le premier enseignant de l'humanité — # 43 À l'amour de mon âme, ma mère Je vous offre de l'optimisme. Et je n'ai réalisé sa vérité qu'à travers vos yeux...ou le succès ...et mon vrai succès est à vos pieds....... A mon -papa-bien-aimé.... Oh mon cœuret le pouls des lettres lorsque tes doigts les touchent.... Vous êtes la réponse lorsque je demande ce qu'est l'optimisme.... À mes soeurs d'honneur. Aicha. Khawla, et leurs enfants Wijdan, Roumisa, **7aj Aldin**. Afnan, et à ceux avec qui je suis lié par la lignée A mon frère Wassim, mon soutien dans la vie après mon père À mes amies Chaima, Rima, Malika, Amel Je te vois avec mon sourire. Et je vois la beauté de tes jours... À Redouane Sedari on dit que ton nom est le titre par lequel Commencent toutes les histoires de mon bonheur, de ma seconde naissance et du parfum durable de mon haleine......

À vous tous, je dédie le ressort de mes lettres et mes mots....

A chaque cœur, tu as marché avec moi sur le chemin du succès....



Bouhemhem Sabrina

Dédicace

Une dédicace à celui qui m'a attend pendant des années.

À celui qui m'a allaite avec du lait, de tendresse et de chaleur,

À celui qui me donne à chaque instant un morceau de son âme Voici un morceau de moi pour vous, que mon Seigneur vous protège toujours.

À mon soutien et de retour dans cette vie après ma mère et mon père Soufiane,

Sid Ali.

À celle dont on disait qu'elle était la mère, le deuxième refuge, mes très chères,

Saida, Massaouda, Sabiha, Hanane et Chahra. Je n'oublierai pas mes

neveux bien-aimés Idris, Maria et Isaac.

Ce sont mes amis, ma consolation, voici une cascade d'amour qui habite le cœur, mes compagnes sur mon chemin, mes bien-aimées Sabrina, Rima,

Chaima.

Malika



SOMMAIRE

Chapitre I : Généralité sur les séismes

I.1 Introduction	5
I.2 Les séismes (ou le tremblement de terre)	5
I.2.1 Notion des séisme.	5
I.2.2 Foyer et épicentre	5
I.3. Les failles	6
I.3.1 Type des failles	7
I.3.1.1. Faille normal	7
I.3.1.2 .Faille inverse.	7
I.3.1.3. Faille décrochan	7
I.4. Classification des séismes	8
I.4.1. Les séismes superficiels	8
I.4.2. Les séismes intermédiaires	8
I.4.3 Les séismes profonds	9
I.6. Caractéristiques d'un séisme	10
I.6.1. La Magnitude (M)	10
I.6.2. L'intensité	10
I.7. Effets directs et induits par le séisme	12
I.7.1 Effets de site directs	12
I.7.1.1 Les effets de site topographiques	12
I.7.1.2. Les effets de site liés à la structure et à la nature du sol	12
I.7.2. Effets induits	13
I.7.2.1 Le phénomène de liquéfaction	13
I.7.2.2 Dans le cas des mouvements de terrain	14
I.7.2.3 Les Avalanches	15
I.7.2.4 Les tsunamis	16

1.8. Classifications des zones sismiques (voir modificatifs et compléments aux RPA99)	16
I.9. Tremblements de Terre en Algérie	
I.10.CONCLUSION	19
Chapitre II : Les joints	
II.a. Les joints	22
II.a.1.Introduction	22
II.a.2. Joint	22
II.a.3.Les fonctions des joints	23
II.a.4.Les Produits de remplissage	23
II.a.5. Les types des joints	24
A. Joint de maçonnerie	24
A.1. Joint sec	24
A.2. Joint garni	25
A.3. Butée de maçon	25
A.4. Joint à emboîtement	25
A.6. Joint clavette	26
A.7. Joint à clé en queue d'aronde ou à crampon	26
B. Joint en structures industrielles	27
B.1. Joint de construction.	27
B.2. Joint de retrait	27
B.3. Joint de dilatation	28
B.4. Joint sismique	29
B.5. Joint de retrait induit	29
B.6. Joint de talon	29
B.7. Joint de mouvement	29
B.8. Joint ouvert ou joint d'écoulement	29
R 9 Joint de retrait partiel	29

B.10. Joint de tassement	29
B.11. Joint de rupture	29
II.b. les joints sismiques	30
II.b.1. Introduction	30
II.b.2.Qu'est-ce qu'un joint sismique ?	31
II.b.3. Utilisation des joints sismiques	33
II.b.4.Joint sismique et joint de dilatation	33
II.b.5.Dispositions minimales	34
II.b.6. Largeur des joints sismiques	34
❖Avantage	36
❖Inconvénients	36
II.c. CONCLUSION	. 36
Chapitre III : Présentation de l'ouvrage de la structure et	
caractéristiques des matériaux	
III.1. INTRODUCTION	38
III.2. Présentation de L'ouvrage	38
III.2.1 Caractéristiques géométriques de la construction	39
III.2.2 Caractéristiques du site	40
III.3. Les éléments de l'ouvrage	43
III.3.1. Les planchers	43
III.3.2. La maçonnerie	
a. Murs extérieurs	
b. Murs intérieurs	
III.3.3. Terrasse	
III.3.4. Revêtements	
III.3.5.Escaliers	

III.3.6.L'acrotère	45
III.3.7.Ossature contreventée	45
III.3.8.Infrastructure	46
III.4.Regles de Calcul	46
III.5. Méthodologie de Calcul	46
III.1. Caractéristiques des matériaux	47
III.1.1. Béton	47
III.1.1.1Composition du béton	47
III.1.1.2. Résistance du béton	48
III.2.Acier	54
III.2.1 Définition.	54
III.2.2 Résistance caractéristique de l'acier	54
III.2.3.Contrainte limite	55
III.4. Les Charges et Sollicitations	58
III.4.1.Les charges	58
a .Les Charges permanentes	58
b. Les charges variables	58
c .Les Charges accidentelles	58
III.4.2. Sollicitations.	59
III.4.2.1.Principe et justification	59
III.4.2.2.Sollicitations de calcul vis-à-vis des états limites	59
III.5.CONCLUSION	60
Chapitre IV : Pré dimensionnement des éléments et évaluation	des
<u>charges</u>	
IV.1. INTRODUCTION	62
IV.2. La pré dimensionnement des éléments secondaire	62
IV.2.1. Les planchers	62

IV.2.1.1. Plancher en corps creux	62
IV.2.1.2. Plancher dalle pleine	65
IV.2.2. Les escaliers	67
IV.2.3. L'acrotère	69
IV.2.4. Les Balcons	70
IV.3. Pré-dimensionnement des éléments structuraux	71
IV.3.1. Les poutres.	71
IV.3.2 Les poteaux	73
IV.3.3.Pré dimensionnement des voiles	74
IV.4.Evaluation des charges	76
IV.4.1.Plancher	76
IV.4.2. Balcon	79
IV.4.3. Murs.	79
IV.4.4. L'escalier	80
IV.4.5 Acrotère	81
IV.5. Descente de charges	81
IV.6. Conclusion	88
Chapitre V : Présentation du logiciel Robot et étude sismiq	<u>ue</u>
V.1 Introduction	90
V.2 Buts de l'analyse dynamique	90
V.3.Présentation des différentes méthodes d'estimation Des forces sismiques	90
V.3.1.Méthode statique équivalente	91
V.4.3. Espace de calcul.	94
V.4.3.1. Lancement du programme Robot	94
V.4.3.2. L'environnement de travail	96
V.4.3.3. Présentation de l'interface.	96
V 4 3 5 Réglage des préférences	97

V.4.3.5.2. Réglage des unités	98
V.4.3.5.3. Matériaux.	98
V.4.3.5.4. Réglage des normes	99
V.4.3.5.5. Divers	100
V.4.4. Modélisation	100
V.4.4.1. Définition des axes	100
V.4.4.1.1. Lignes de constructions	100
V.4.4.2. Définition de la section des éléments barres	101
V.4.4.2.1. Affectation des sections transversales	103
V.4.4.2.2. Translation	103
V.4.4.3. Définition de l'épaisseur des panneaux	104
V.4.4.4. Définition des appuis	104
V.4.5. Chargement.	105
V.4.5.1. Définition des cas de charges	105
V.4.5.2. Définition de la charge	106
V.4.6. Analyse	107
V.4.7. Résultats	107
V.5. Méthodologie de calcul	108
V.6. CONCLUSION.	112
Chapitre VI : Calcul du joint sismique pour des structur	<u>res</u>
<u>contreventées</u>	
VI.1. Introduction	114
VI.2. Description du système structurel	114
VI.2.1. Dimensions des éléments porteurs	114
VI.2.2. Evaluation des charges et des surcharges	115
Partie I : Cas d'une structure avec contreventement par portique	115
VI.I.1. Influence de la hauteur de la structure sur la largeur du joint	115
VI.I.2. Influence de la variation de la section des poteaux sur la largeur du join	ıt121

1.Pour R+4	121
2.Pour R+6	124
3. Pour R+8	126
4. Pour R+10	128
5.Pour R+12	129
VI.I.3. Influence de la variation de la section des poutres principales sur la largeu	ır du
joint	133
1.Pour R+4	133
2. Pour R+6	135
3.Pour R+8	138
4.Pour R+10	140
5. Pour R+12	142
VI.I.4. Influence de la variation de la section des chaînages sur la largeur du joint	145
1.Pour R+4	145
2.Pour R+6	147
3. Pour R+8	149
4.Pour R+10	151
5.Pour R+12	153
VI.I.5. Influence des paramètres sismiques sur la largeur du joint sismique	156
a. Groupe d'usage	156
b. Zone sismique	159
c. Site	162
Partie II: Le cas d'une structure avec contreventement par voile et portique	165
1.Pour R+4	166
2.Pour R+6	167

3.Pour R+8	168
4. Pour R+10	169
5.Pour R+12	171
VI.II.2. Influence de la position des voiles sur la largeur du joint sismique	173
1.PourR+4	174
2.Pour R+6	175
3.PourR+8	177
4.Pour R+10	179
5.PourR+12	. 180
VI .II.3 .Influence de la variation de l'épaisseur des voiles sur la largeur du joint	. 183
1.Pour R+4	183
2.Pour R+6	185
3.Pour R+8	186
4.Pour R+10	187
5.Pour R+12	189
VI.3.Conclusion	191

LISTE DES TABLEAUX

Chapitie 1. Generalite sur les seismes	
Tableau I.1 : Echelle de Richter	10
Tableau I.2 : L'intensité	.11
Tableau I.3: les séismes les plus importants (M>6) en Algérie depuis	un
siècle	19
Chapitre III : Présentation de l'ouvrage de la structure et	
caractéristiques des matériaux	
Tableau III.1: Fe en fonction du type d'acier	55
<u>Chapitre IV : Pré dimensionnement des éléments et évaluation d</u>	<u>es</u>
<u>charges</u>	
Tableau.IV.1: Charge permanente et d'exploitation d'étage courant à co	rps
creux	76
Tableau.IV.2 : Charge permanente de terrasse à corps creux	77
Tableau.IV.3 : Charge permanente et d'exploitation de balcon	78
Tableau.IV.4: Charge permanente de cloisons extérieures	79
Tableau IV.5 : Evaluation des charges de cloisons intérieures	79
Tableau.IV.6 : Charge permanente et d'exploitation de la paillasse	79
Tableau IV.7: Evaluation des charges du palier	.80
Tableau IV.8: Évaluation des poids propres des poteaux	82
Tableau IV.9: Dégression des charges d'exploitation	83
Tableau IV.10 : Descente de charge du poteau	83

Tableau V.1: Valeurs du coefficient de comportement R
Tableau V.2 : Valeur de facteur de qualité
Chapitre VI : Calcul du joint sismique pour des structures
<u>contreventées</u>
Tableau VI.1 : Influence de la hauteur de la structure sur la largeur du joint
sismique119
Tableau VI.2 : Influence de la variation de la section des poteaux sur la largeur
du joint sismique (R+4)
Tableau VI.3 : Influence de la variation de la section des poteaux sur la largeur
du joint sismique (R+6)125
Tableau VI.4: Influence de la variation de la section des poteaux sur la largeur
du joint sismique (R+8)127
Tableau VI.5 : Influence de la variation de la section des poteaux sur la largeur
du joint sismique (R+10)129
Tableau VI.6 : Influence de la variation de la section des poteaux sur la largeur
du joint sismique (R+12)131
Tableau VI.7 : Influence de la variation de la section des poutres principales sur
la largeur du joint sismique (R+4)135
Tableau VI.8: Influence de la variation de la section des poutres principales sur
la largeur du joint sismique (R+6)137
Tableau VI.9 : Influence de la variation de la section des poutres sur la largeur
du joint sismique (R+8)139
Tableau VI.10 : Influence de la variation de la section des poutres sur la largeur
du joint sismique(R+10)141
Tableau VI.11 : Influence de la variation de la section des poutres sur la largeur
du joint sismique (R+12)143

Chapitre V : Présentation du logiciel Robot et étude sismique

Tableau VI.12: Influence de la variation de la section des chainages sur la
largeur du joint sismique (R+4)147
Tableau VI.13: Influence de la variation de la section des chainages sur la
largeur du joint sismique (R+6)
Tableau VI.14: Influence de la variation de la section des chainages sur la
largeur du joint sismique (R+8)
Tableau VI.15 : Influence de la variation de la section des chainages sur la
largeur du joint sismique (R+10)
Tableau VI.16: Influence de la variation de la section des chainages sur la
largeur du joint sismique (R+12)
Tableau VI.17: Influence de groupe d'usage sur la largeur du joint sismique
(R+4)
Tableau VI.18: Influence de la zone sismique sur la largeur du joint sismique
R+4
Tableau VI.19 : Influence de site sur la largeur du joint sismique R+4164
Tableau VI.20 : Influence de diffèrent système de contreventement sur la
largeur du joint sismique R+4
Tableau VI.21 : Influence de diffèrent système de contreventement sur la
largeur du joint sismique R+6
Tableau VI.22 : Influence de diffèrent système de contreventement sur la
largeur du joint sismique R+8
Tableau VI.23 : Influence de diffèrent système de contreventement sur la
largeur du joint sismique R+10
Tableau VI.24 : Influence de diffèrent système de contreventement sur la
largeur du joint sismique R+12
Tableau VI.25: Influence de la position des voiles sur la largeur du joint
sismique R+4
Tableau VI.26 : Influence de la position des voiles sur la largeur du joint
sismique R+6

Tableau VI.27 : Influence de la position des voiles sur la largeur du joint
sismique R+8
Tableau VI.28 : Influence de la position des voiles sur la largeur du joint
sismique R+10 180
Tableau VI.29 : Influence de la position des voiles sur la largeur du joint
sismique R+12
Tableau VI.30 : Influence de la variation de l'épaisseur des voiles sur la largeur
du joint
Tableau VI.31 : Influence de la variation de l'épaisseur des voiles sur la largeur
du joint (R+6)
Tableau VI.32 : Influence de la variation de l'épaisseur des voiles sur la largeur
du joint(R+8)
Tableau VI.33: Influence de la variation de l'épaisseur des voiles sur la largeur
du joint (R+10)
Tableau VI.34 : Influence de la variation de l'épaisseur des voiles sur la largeur
du joint (R+12)

LISTE DES FIGURES

Chapitre I : Généralité sur les séismes

Figure I.1 : localisat	tion de	séisme			6
Figure I.2 : Les type	es des fa	illes sismiques			8
Figure I.3:la décrois	ssance de	e l'intensité sism	ique		12
Figure I.4: les effets	s liés à la	a structure et à la	nature	du sol (remplissage de	fond
de vallée)					13
FigureI.5 :1'effet top	ographi	que (Pilot butte)		•••••	13
FigureI.6:Représent	ation du	phénomène de l	iquéfact	ion des sols	14
FigureI.7:1 ^{er} cas de	mouven	nent de terrain (c	hute du	bloc)	14
FigureI.8:2 ^{ème} cas	de	mouvement	de	terrain(glissement	de
terrain)					15
FigureI.9: Avalanch	es de ne	eige sous-marine	S		15
Figure I.10 : L'effet	t de tsun	amis sur les con	struction	1	16
Figure I.11:carte de	zonage	sismique de l'A	lgérie		17
Figure I.12:Séisme	de Boun	nerdes (Mai 200	3)		18
Figure I.13:Localisa	ation des	s séismes en Alg	érie dep	uis 1990	18
	<u>C</u> :	hapitre II : L	es joint	t <u>s</u>	
Figure II.1 : Joint se	ec				24
Figure II.2: Joint gard	ni	••••			24
Figure II.3 : Butée o	de maçoi	n			24
Figure II.4 : Joint à e	mboîtem	ent			24
Figure II.5 : Joint à	feuillure	<u> </u>			25
Figure II.6: Joint cla	avette				25

Figure II.7 : Joint à clé en queue d'aronde ou à crampon	25
FigureII8: Joint de construction	26
Figure II.9 : joint de retrait	27
Figure II.10: joint de dilatation	27
Figure II.11: joint sismique.	28
Figure II.12 : joint de tassement	29
Figure II.13 : joint de rupture	30
Figure II.14: Comportement sismique différent pour les deux branches d'un pla	ın en
L	31
Figure II.15: D'une configuration en plan complexe (irrégulière) vers	deux
configurations simples (régulières) par l'adjonction d'un joint sismique	32
Figure II.16: Présentation d'un joint parasismique	32
Figure II.18: Largeur de joint sismique	36
Chapitre III : Présentation de l'ouvrage de la structure et	
<u>caractéristiques des matériaux</u>	
FigureIII.1: Situation géographique de notre ouvrage	39
FigureIII.2: Vue en plan du Rez-de- chaussée	41
FigureIII.3: Vue en plan d'étage courant	42
FigureIII.4: Dimensions en élévation du bâtiment	43
FigureIII.5 : Schéma de l'escalier	45
FigureIII.6: Évaluation de la résistance f_{cj} en fonction de l'âge du béton	49
Figure III.7 : Résistance à la traction du béton	50
(a) Essai de traction par flexion	50
(b) Essai de fendage	50
C. Contrainte limite	50
Figure III.8: Diagramme des contraintes du béton	51
Figure III.9 : Diagramme des contraintes limite du béton	52
Figure III.10: Diagramme contrainte déformation de l'acier	55

Chapitre IV : Pré dimensionnement des éléments et évaluation des **charges** Figure IV.1: Coupe transversale du plancher......62 Figure. IV.3 : Schéma des poutrelles......64 Figure IV.5: Schéma de l'acrotère......69 Figure. IV.7: La section de poutre principale......71 Figure. IV.8: La section de poutre secondaire......72 Figure. IV.9: La section de poutre Poteaux......73 Figure.IV.10: Coupe d'un voile en élévation......74 Figure IV.11: Plancher étage courant.......75 Figure IV.14: Murs extérieurs......78 Figure IV.15: Surface afférente du poteau......81 Figure IV.16: Schéma statique de la descente de charge......83 Chapitre V : Présentation du logiciel Robot et étude sismique Figure V.3: Environnement de travail......96 Figure V.6: Réglage des unités.....98 Figure V.7 a : Choix des matériaux.....98 Figure V.7 b : Choix des matériaux.....99

Figure V.8a: Réglage des normes......99

Figure V.8b: Réglage des normes
Figure V.9: Lignes de constructions
Figure V.10 : Profilés 102
Figure V.11 : Type de profilé
FigureV.12 : Définition des barres
Figure V.13: Définition du vecteur de translation
Figure V.14 : Définition d'épaisseur des panneaux104
Figure V.15 : Définition des appuis
Figure V.16 : Définition des cas de charges
Figure V.17 : Définition de la charge
Figure V.18 : Modèle numérique de la structure
Figure V.19 : Paramètres de calcul de l'action sismique
Figure V.19 : Paramètres de calcul de l'action sismique
Chapitre VI : Calcul du joint sismique pour des structures
Chapitre VI : Calcul du joint sismique pour des structures <u>contreventées</u>
Chapitre VI : Calcul du joint sismique pour des structures contreventées Figure VI.1: Modèle numérique de la structure(R+4)
Chapitre VI : Calcul du joint sismique pour des structures contreventées Figure VI.1: Modèle numérique de la structure(R+4)
Chapitre VI : Calcul du joint sismique pour des structures contreventées Figure VI.1: Modèle numérique de la structure(R+4)
Chapitre VI : Calcul du joint sismique pour des structures contreventées Figure VI.1: Modèle numérique de la structure(R+4)
Chapitre VI : Calcul du joint sismique pour des structures contreventées Figure VI.1: Modèle numérique de la structure(R+4)
Chapitre VI : Calcul du joint sismique pour des structures contreventées Figure VI.1: Modèle numérique de la structure(R+4)
Chapitre VI : Calcul du joint sismique pour des structures contreventées Figure VI.1: Modèle numérique de la structure(R+4)
Chapitre VI : Calcul du joint sismique pour des structures contreventées Figure VI.1: Modèle numérique de la structure (R+4)
Chapitre VI : Calcul du joint sismique pour des structures contreventées Figure VI.1: Modèle numérique de la structure (R+4)

Figure VI.10: Déplacement maximal U _x pour 5 sections différentes de
poteaux(R+8)127
Figure VI.11 : Déplacement maximal Ux pour 5 sections différentes de
poteaux(R+10)
Figure VI.12 : Déplacement maximal U _x pour 5 sections différentes de poteaux
(R+12)
FigureVI.13 : Courbe récapitulatif de l'influence des sections de poteaux132
Figure VI.14 : Déplacement maximal U _x pour 5 sections différentes de poutres
principales(R+4)135
Figure VI.15 : Déplacement maximal U _x pour 5 sections différentes de poutres
principales (R+6)137
Figure VI.16 : Déplacement maximal U _x pour 5 sections différentes de poutres
principales (R+8)
Figure VI.17 : Déplacement maximal U _x pour 5 sections différentes de poutres
principales (R+10)
Figure VI.18: Déplacement maximal U _x pour 5 sections différentes de poutres
principales (R+12)143
FigureVI.19: Courbe récapitulatif de l'influence des sections de poutres
principales144
Figure VI.20 : Déplacement maximal U _x pour 5 sections différentes de
chainages(R+4)147
Figure VI.21 : Déplacement maximal U _x pour 5 sections différentes de
chainages(R+6)149
Figure VI.22: Déplacement maximal U _x pour 5 sections différentes de
chainages(R+8)151
Figure VI.23 : Déplacement maximal U _x pour 5 sections différentes de
chainages(R+10)
Figure VI.24 : Déplacement maximal U _x pour 5 sections différentes de
chainages (R+12)

FigureVI.25: Courbe récapitulatif de l'influence des sections de poutres
chainages
Figure VI.26: Déplacement maximal Ux pour les quatre cas de groupes d'usage
(R+4) 158
Figure VI.27: Graphique récapitulatif de l'influence des Groupe d'usage159
Figure VI.28 : Déplacement maximal U_x pour les quatre cas de zone sismique
R+4161
FigureVI.29 : Graphique récapitulatif de l'influence de la zone sismique162
Figure VI.30 : Déplacement maximal U_x pour les quatre cas de site $R+4164$
FigureVI.31: Graphique récapitulatif de l'influence des catégories de
site
Figure VI.32: Modèle de la structure R+4167
Figure VI.33: Modèle de la structure R+6
Figure VI.34 : Modèle de la structure R+8
Figure VI.35 : Modèle de la structure R+10170
Figure VI.36 : Modèle de la structure R+12171
FigureVI.37 : Histogramme récapitulatif de l'influence des différents systèmes
de contreventement
Figure VI.38: Différentes positions des voiles de contreventement173
Figure VI.39 : Déplacement maximal U _x pour quatre configurations différentes
de voiles R+4
Figure VI.40 : Déplacement maximal U _x pour quatre configurations différentes
de voiles R+6
Figure VI.41 : Déplacement maximal U _x pour quatre configurations différentes
de voiles R+8
Figure VI.42: Déplacement maximal U _x pour quatre configurations différentes
de voiles R+10
Figure VI.43: Déplacement maximal U _x pour quatre configurations différentes
de voiles R+12

FigureVI.44 : Histogramme récapitulatif de l'influence de la position des voiles
Figure VI.45: Déplacement maximal U _x pour trois épaisseurs différentes (R+4)
Figure VI.46 : Déplacement maximal U _x pour trois épaisseurs différentes
(R+6) 185
Figure VI.47: Déplacement maximal U _x pour trois épaisseurs différentes (R+8)
Figure VI.48 : Déplacement maximal U _x pour trois épaisseurs différentes
(R+10)
Figure VI.49: Déplacement maximal U _x pour trois épaisseurs différentes
(R+12)
FigureVI.50 : histogramme récapitulatif de l'influence de l'épaisseur des voiles
190

Résumé:

Les joints sismiques autorisent de larges mouvements multidirectionnels permettant le libre déplacement des structures afin d'éviter les entrechoquements et assurer la pérennité des ouvrages. Plusieurs paramètres peuvent influencer la largeur des joints sismiques.

Dans ce projet, on s'intéresse au calcul et à la comparaison de la largeur du joint sismique pour des structures en béton armé en fonction de plusieurs paramètres, en se basant dans nos calculs sur la formule donnée par le règlement parasismique algérien (RPA99 Version 2003). Les paramètres tenus en compte sont le système de contreventement, la hauteur de la structure, la section des éléments porteurs et les paramètres sismiques tels que la zone sismique, le site et l'importance de l'ouvrage. L'influence de l'épaisseur et disposition des voiles de contreventement sur la largeur du joint sera également étudiée.

La modélisation en trois dimensions des diverses structures étudiées et le calcul des déplacements sont effectués à l'aide du logiciel Robot Structural Analysis.

Mots clés:

Joint sismique, RPA 2003, structure, système de contreventement, paramètres, modélisation, Robot.

Abstract:

Seismic joints allow large multidirectional movements, enabling structures to move freely to avoid collisions and ensure the durability of structures. Several parameters can influence the width of seismic joints.

In this project, we are interested in calculating and comparing the seismic joint width for reinforced concrete structures as a function of several parameters, basing our calculations on the formula given by the Algerian seismic regulations (RPA99 Version 2003). The parameters taken into account are the bracing system, the height of the structure, the cross-section of the load-bearing elements and seismic parameters such as the seismic zone, the site and the size of the structure. The influence of bracing wall thickness and layout on joint width will also be studied.

The three-dimensional modeling of the various structures studied and the calculation of displacements are carried out using the Robot Structural Analysis software.

Keywords:

Seismic joint, RPA 2003, structure, bracing system, parameters, modeling, Robot.

<u>ملخص:</u>

تسمح الوصلات الزلزالية بحركات كبيرة متعددة الاتجاهات، مما يمكن الهياكل من التحرك بحرية لتجنب التصادمات وضمان متانة الهياكل. يمكن أن تؤثر عدة معايير على عرض الفواصل الزلزالية.

نهتم في هذا المشروع بحساب ومقارنة عرض المفصل الزلزالي للمنشآت الخرسانية المسلحة بدلالة عدة معايير، معتمدين في حساباتنا على المعادلة الواردة في اللوائح الجزائرية الخاصة بالزلازل (RPA99 نسخة 2003). المعايير المأخوذة في الاعتبار هي نوع نظام التدعيم، وارتفاع الهيكل، أبعاد العناصر الحاملة والمعايير الزلزالية مثل المنطقة الزلزالية ونوع الموقع واهمية الهيكل. كما تمت دراسة تأثير سمك وتوزيع جدران التدعيم على عرض الوصلة.

تم إجراء النمذجة ثلاثية الأبعاد لمختلف الهياكل المدروسة وحساب الإزاحات باستخدام برنامج روبوت للتحليل الزلزالي.

الكلمات الدالة

الوصلة الزلزالية، اللوائح الجزائرية الخاصة بالزلازل، الهيكل، نظام التدعيم، المعايير، النمذجة، الروبوت.

Introduction générale

Introduction générale

Le Génie civil est l'ensemble des activités conduisant à la réalisation de tout ouvrage lié au sol, ces activités se partagent en deux grandes catégories :

- Les bâtiments : ouvrages abritant des individus ou des biens
- Les Travaux Publics : ouvrages de construction d'utilité générale

Un des principaux défis aux quel est confronté l'ingénieur civil est l'impact des séismes. C'est pourquoi des nombreux ingénieurs civils utilisés des joints sismiques dans la conception des structures pour support les effets des séismes.

Il est souhaitable de simplifier et réduire le nombre de joints dans la construction, mais actuellement, il est essentiel d'explorer diverses méthodes d'assemblage pour atteindre cet objectif. En construction industrielle, les joints sont classés en fonction de leur fonction : joint de mouvement pour permettre le déplacement, joint de dilatation pour absorber la dilatation, joint de glissement pour permettre un glissement relatif, et joint de retrait pour gérer la contraction, et... Il est crucial d'étudier ces différentes approches pour mieux comprendre leur application et leur diversité.

Des joints sismiques sont fréquemment utilisés pour séparer un bâtiment en plusieurs parties indépendantes. Ils créent une séparation entre les bâtiments adjacents ou les différentes parties d'un même bâtiment, permettant ainsi aux murs, planchers et toits de se déplacer librement lors d'un séisme sans interagir les uns avec les autres.

Les joints entre blocs sont nécessaires pour permettre des déformations différentes des structures sous l'action du séisme, une largeur insuffisante ou leur remplissage entraîne un risque de chocs entre blocs. En situation sismique, il est nécessaire de prévoir un joint sismique avec une distance minimale entre deux bâtiments voisins, permettant d'éviter l'entrechoquement. Pour créer et dimensionner un joint sismique, des exigences minimales doivent être respectées.

Dans ce travail, on va étudier les paramètres influençant la largeur du joint sismique dans les structures en béton armée.

Le travail de mémoire est organisé en six chapitres :

O Le premier chapitre : L'objectif de ce chapitre est de donner d'une part, un aperçu sur les séismes et leurs effets sur l'environnement, et de préciser d'autre

Introduction générale

part les principes et les objectifs visés par les règlements parasismiques afin d'améliorer d'avantage le comportement des structures vis-à-vis des séismes et minimiser de ce fait les pertes en vies humaines.

- O Le deuxième chapitre se concentre sur l'étude des joints, en analysant leur rôle dans la résistance aux séismes et en examinant les différentes techniques de conception et de renforcement des joints pour améliorer la performance sismique des structures.
- L'exposition et la présentation des structures a étudiées seront l'objet du troisième chapitre: les caractéristiques géométriques, structurelles et les matériaux utilisées
- Le quatrième chapitre est réservée au pré- dimensionnement des éléments de la structure d'origine, tels que les planchers, et les escaliers.... et la descente de charge des éléments.
- O Dans le cinquième chapitre, on présente brièvement le logiciel de calcul par élément finis robot, avec lequel on va réaliser notre modélisation,
- L'objectif de ce dernier chapitre est se concentré sur la modélisation des structures en béton armé contreventées par portique et d'évaluer par la suite l'influence de différents paramètres sur la largeur du joint sismique. Parmi ces paramètres, nous examinerons la variation de la hauteur de la structure, cinq niveaux serons présentés (R+4, R+6, R+8, R+10, R+12), les changements de sections des éléments structurels tels que les poteaux, les poutres principales et les poutres de chaînage, ainsi que l'impact des paramètres sismiques, tels que le site, la zone sismique et l'importance de l'ouvrage.

En deuxième lieu, nous exposons les résultats de comparaison entre une structure contreventée par portique et la même structure avec un contreventement mixte. Ensuite, nous effectuerons une analyse paramétrique pour examiner l'impact de divers paramètres tels que l'épaisseur et la disposition des voiles de contreventement sur la largeur du joint sismique. Notre travail sera clôturer par une conclusion.

Chapitre I : Généralité sur les séismes

I.1 Introduction:

Les séismes apparaissent comme une manifestation perceptible de phénomènes qui se poursuivent à l'échelle des temps géologiques. Il est malheureusement certain que les séismes continueront à surprendre l'homme.

Il est encore sans doute-prévoir ou empêcher les séismes, nous devons s'efforcer d'en limiter les dégâts. Cette démarche commence par la connaissance détaillée de l'action sismique à savoir la naissance du séisme la formation et la propagation des ondes, la représentativité des accéléro-grammes et des spectres associés. L'aboutissement de toutes ces connaissances nous amènerons certainement à une construction parasismique [1].

I.2 Les séismes (ou le tremblement de terre) :

A l'échelle des temps géologiques, les tremblements de terre sont des phénomènes instantanés qui résultent du glissement instable de deux compartiments de la partie supérieure de la croûte terrestre le long d'une zone de faille. La surface de faille affectée peut varier, de quelques (m²) pour les tremblements de terre les plus faibles, à plusieurs milliers de (km²) pour les séismes les plus importants.

I.2.1 Notion des séismes :

Le mot séisme vient du grec seismos qui signifie « secousse ». C'est une série de secousses du sol, plus ou moins violentes, soudaines, imprévisibles et localisées. On parle également de tremblement de terre. Les séismes mettent en évidence l'activité interne de la planète Terre. Un séisme est une libération brutale de l'énergie potentielle accumulée dans les roches par le jeu des mouvements relatifs des différentes parties de l'écorce terrestre. Lorsque les contraintes dépassent un certain seuil, une rupture d'équilibre se produit et donne naissance aux ondes sismiques qui se propagent dans toutes les directions et atteignent la surface du sol [1].

I.2.2 Foyer et épicentre :

Les ondes sismiques semblent provenir d'une région déterminée appelée foyer ou hypocentre du séisme. Le point de la surface du sol situé à la verticale du foyer est son épicentre. La distance entre ce point et l'endroit d'enregistrement de l'accélérogramme est appelée distance épicentrale [1].

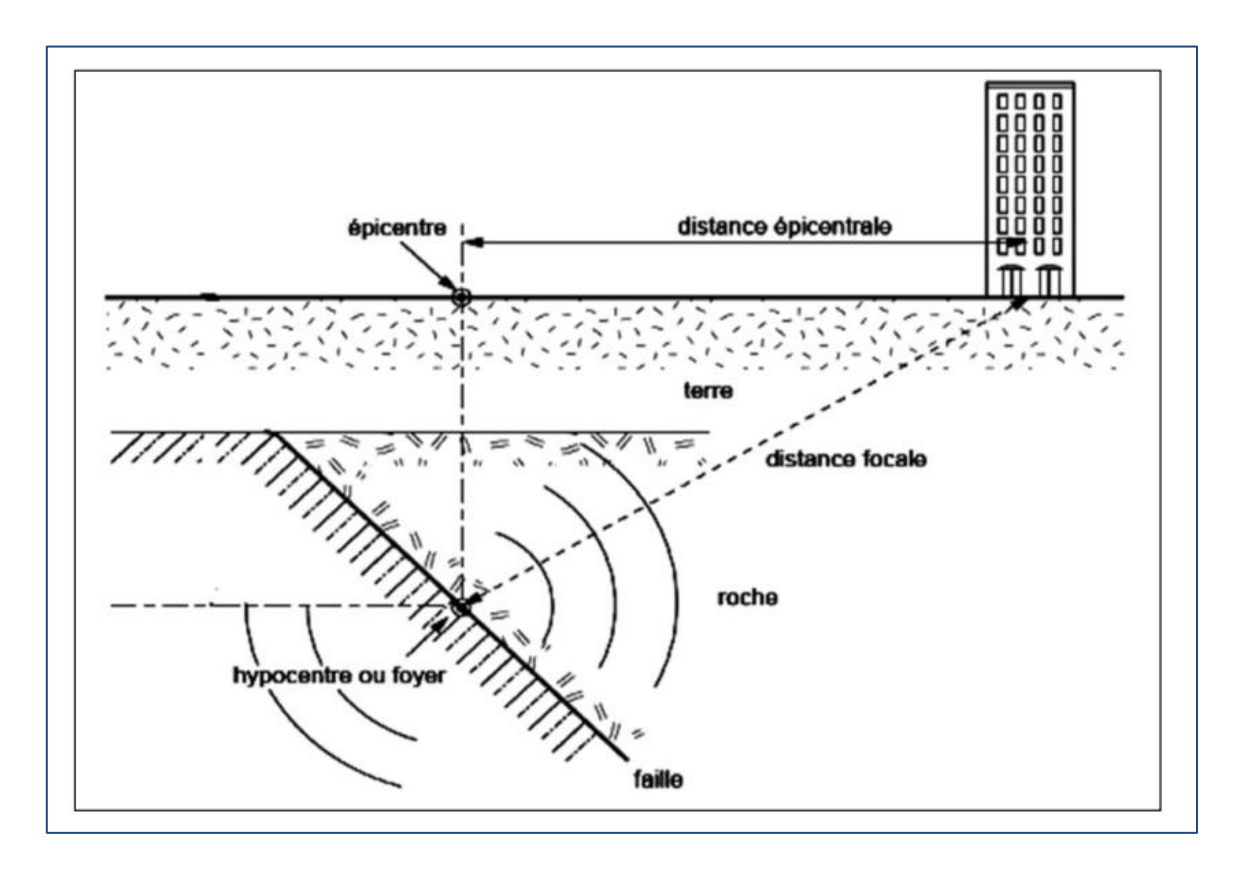


Figure I.1 : localisation de séisme. [2]

I.3. Les failles :

Le mouvement relatif continu des plaques tectoniques qui existe en profondeur dans la partie ductile du manteau est généralement accommodé par des ruptures successives dans la partie fragile superficielle de l'écorce terrestre. Les surfaces de ruptures sont nommées des failles tectoniques.

Une faille est donc une cassure avec déplacement de masse dans les matériaux rigides de l'écorce terrestre, en réaction à une contrainte. Les forces qui génèrent cette

contrainte peuvent agir en compression, en extension ou en couple, définissant autant de types de failles [1].

I.3.1 Type des failles :

Il existe trois types principaux de failles, classées selon le rejeu le long du miroir de faille. L'analyse des ondes sismiques permet de comprendre quel type de faille est à l'origine du séisme, de trouver l'orientation de cette faille, ainsi que la direction du glissement sur cette faille.

I.3.1.1. Faille normal:

Une faille est dite normale lorsque le compartiment supérieur descend par rapport au compartiment inférieur. Le pendage des failles normales est classiquement situé autour de 60 °. Ce type de faille est caractéristique des contextes d'**extension** : on en retrouve dans les bassins sédimentaires et au niveau des marges passives. Sur les cartes géologiques, le symbole universel pour une faille normale est une ligne noire bordée par de petits rectangles pointant vers le compartiment inférieur

I.3.1.2 .Faille inverse:

Une faille est dite inverse lorsque le compartiment supérieur monte par rapport au compartiment inférieur. Le pendage des failles inverses est classiquement situé autour de 30 °. Ce type de faille est caractéristique des contextes de **compression** : on en retrouve dans les zones de subduction et de collision. Sur les cartes géologiques, le symbole universel pour une faille inverse est une ligne noire bordée par de petits triangles pointant vers le compartiment inférieur.

I.3.1.3. Faille décrochant :

Une faille est dite décrochant lorsque son pendage est de 90 ° et que les deux compartiments coulissent. Les failles décrochant peuvent être **dextres** (bloc en face de la faille allant vers la droite) ou **sénestres** (vers la gauche). Ce type de faille est la conséquence de contraintes **cisaillant**. Sur les cartes géologiques, le symbole universel pour une faille décrochant est une ligne noire.

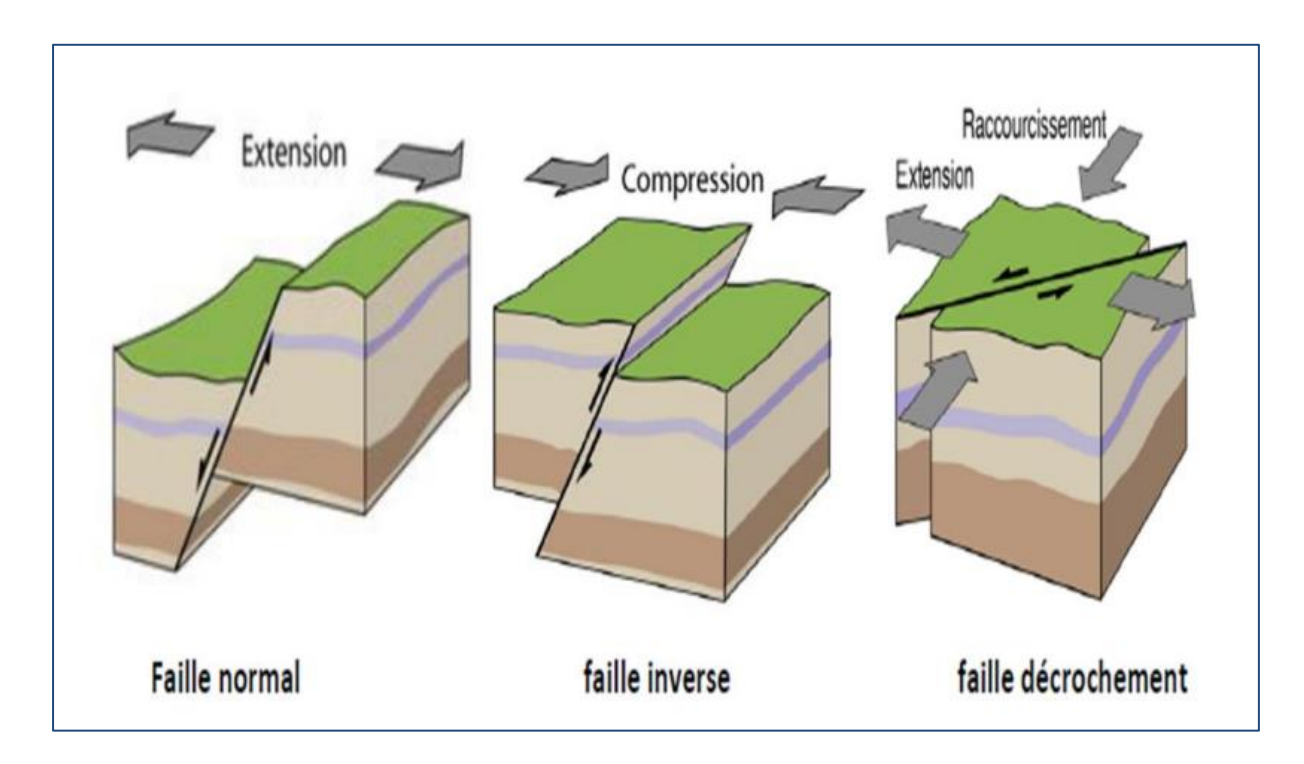


Figure I.2: Les types des failles sismiques. [3]

I.4. Classification des séismes :

Le foyer ou l'hypocentre est le lieu qui constitue l'origine de l'énergie de l'ébranlement des roches. Selon la profondeur des foyers on classe les séismes en [1]:

- Les séismes superficiels.
- Les séismes intermédiaires.
- Les séismes profonds

I.4.1. Les séismes superficiels :

La croûte terrestre étant rigide, elle peut casser. Etant donné que les plaques lithosphériques épaisseur moyenne d'environ 70 Km, la majorité des séismes sont évidemment superficiels c'est à dire que les ont un foyer ne dépassent pas une profondeur de quelques dizaines de kilomètre (0 –70 Km environ).

I.4.2. Les séismes intermédiaires :

Ce sont des ébranlements dont la profondeur des foyers est comprise entre 70 et 350 Km. Cette catégorie de séismes constitue environ 25% de la totalité des séismes.

Chapitre I: Généralité sur les séismes

I.4.3 Les séismes profonds :

Ils sont rares que les deux catégories précédentes et ne représentent qu'environ 5%. Les séismes profonds ont des foyers qui se situent entre 350 et 700 Km.

I.5.Les Différentes Ondes sismiques :

Lors de la rupture, les ondes se propagent dans toutes les directions à partir du foyer et s'atténuent progressivement au fur et à mesure qu'elles s'éloignent. On distingue deux grands types d'ondes émises par un séisme: les ondes de fond, celles qui se propagent à l'intérieur de la terre et qui comprennent les ondes S et les ondes P, et les ondes de surface, celles qui ne se propagent qu'en surface et qui comprennent les ondes de Love et de Rayleigh.

1. Les ondes de surface qui se propagent à la surface du globe. Ce sont les moins rapides mais leur amplitude est généralement plus importante.

Elles sont donc très destructrices. Leur effet est comparable à rides formées à la surface d'un lac.

*Les ondes L (ondes de Love) qui se déplacent horizontalement et occasionnent de nombreux dégâts sur les fondations des constructions

*Les ondes R (ondes de Rayleigh): Leur déplacement est assez complexe (horizontal et vertical), à l'image d'une poussière portée par une vague.

2. Les ondes de volume qui se propagent à l'intérieur du globe. Leur vitesse de propagation dépend de la nature du matériau traversé.

*les ondes P (primaires) ou ondes de compression sont plus les plus rapides et donc les premières à être enregistrés par les sismographes. Elles se propagent dans tous les types de matériaux (solide, liquide, gaz). Elles sont responsables du grondement sourd que l'on peut entendre au début d'un séisme.

*Les ondes S (secondaires) ou ondes de cisaillement se propagent uniquement dans les solides.

I.6. Caractéristiques d'un séisme:

Le mouvement sismique est souvent caractérisé par : [1]

I.6.1. La Magnitude (M):

La notion magnitude a été introduite en 1935 par le sismologue américain RICHTER. Elle caractérise l'énergie libérée par la rupture de la faille dans la zone épicentrale. En pratique, la magnitude d'une secousse sismique est déterminée d'après les enregistrements des mouvements du sol effectués en un certain nombre de points d'observation située à des distances quelconques de l'épicentre. La notion de magnitude est incomparablement supérieure à celle d'intensité, pour un même tremblement de terre.

Tableau I.1 : Echelle de Richter [4]

Magnitude	Description de l'intensité de séisme	
2,5	Non ressenti, mais énergie par les sismographes	
4,5	Provoque de faibles dommages	
6	Destructif dans les régions peuplées	
7	Grand séisme, provoque de sérieux dommages	
8	Séisme majeur qui provoque la destruction totale des habitations	

I.6.2. L'intensité : [1]

L'intensité d'un séisme est définie en un lieu par rapport aux effets produits par ce séisme, qu'ils soient seulement observés ou ressentis par l'homme (réveil, chute d'objets, fissures ...) ou qu'ils aient causés des dégâts plus ou moins importants aux constructions.

L'intensité d'un séisme dépend du lieu d'observation des effets causés par le séisme. Elle décroît généralement lorsqu'on s'éloigne de l'épicentre du séisme mais varie aussi selon la structure géologique. Une forte intensité est souvent associée à des zones de roches molles (sable, vase, argile et remblais), alors qu'on note une faible intensité

dans des zones de roches plus solides (grès). Plusieurs échelles d'intensité ont été définies. Les plus utilisées sont l'échelle de Mercalli qui date de 1902 et qui a été modifiée en 1956 et l'échelle MSK créée en 1964, du nom des trois sismologues européens Medvedev, Sponheuer et Karnik. Ces deux échelles comportent douze degrés notés généralement en chiffres romains de I à XII. Le degré I correspond aux secousses les plus faibles, à peine ressenties, le degré XII aux secousses les plus fortes, celles ayant entraînées une destruction totale des bâtiments.

Tableau I. 2: L'intensité [5]

Degré	Description
I	Non ressenti
п	Rarement ressenti
ш	Faiblement ressenti
IV Largement ressenti	
V	Fortement ressenti
VI	Dégâts légers
VII	Dégâts significatifs
VII	Dégâts importants
IX	Destructions
X	Destructions généralisées
XI	Catastrophe
XII	Changement du paysage

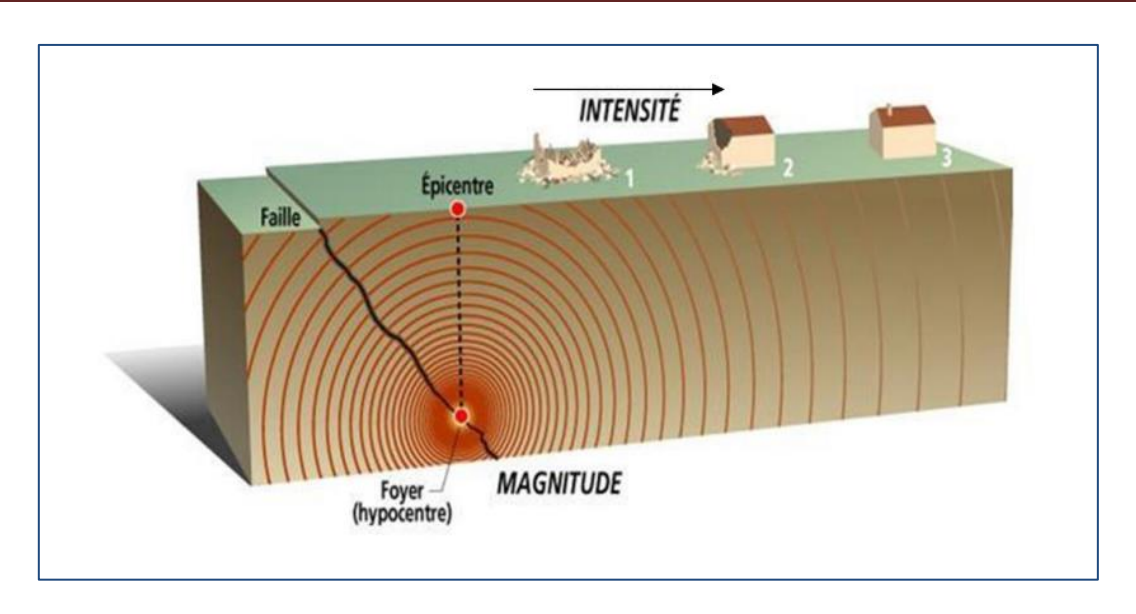


Figure I.3 : la décroissance de l'intensité sismique. [1]

I.7. Effets directs et induits par le séisme :

I.7.1 Effets de site directs :

Il s'agit d'une amplification des ondes sismiques directement liée à la configuration topographique ou géologique du site. Les ondes sismiques se trouvent piégées dans la structure. On en distingue deux types [1]:

I.7.1.1 Les effets de site topographiques :

Les sommets de butte, crêtes allongées, rebords de plateaux et de falaises sont le siège d'amplification importante du mouvement sismique.

I.7.1.2. Les effets de site liés à la structure et à la nature du sol :

Les caractéristiques mécaniques (densité, rigidité), la géométrie des formations (remplissage de fond de vallée) peuvent accentuer les effets du mouvement sismique.

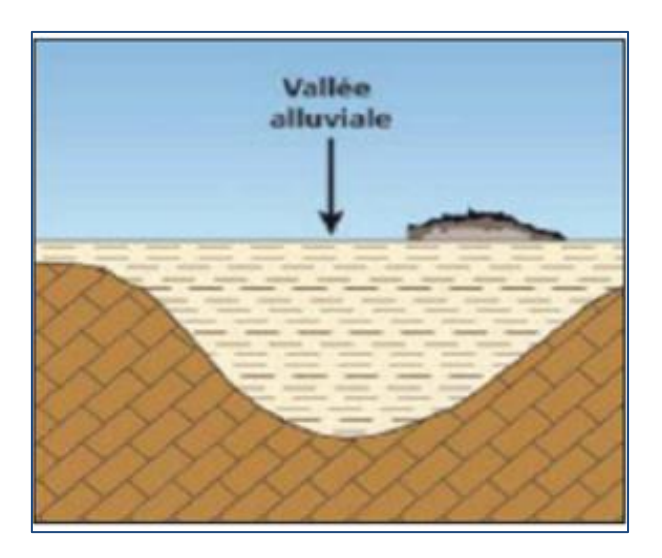


Figure I.4: les effets liés à la structure et à la nature du sol (remplissage de fond de vallée) [4].

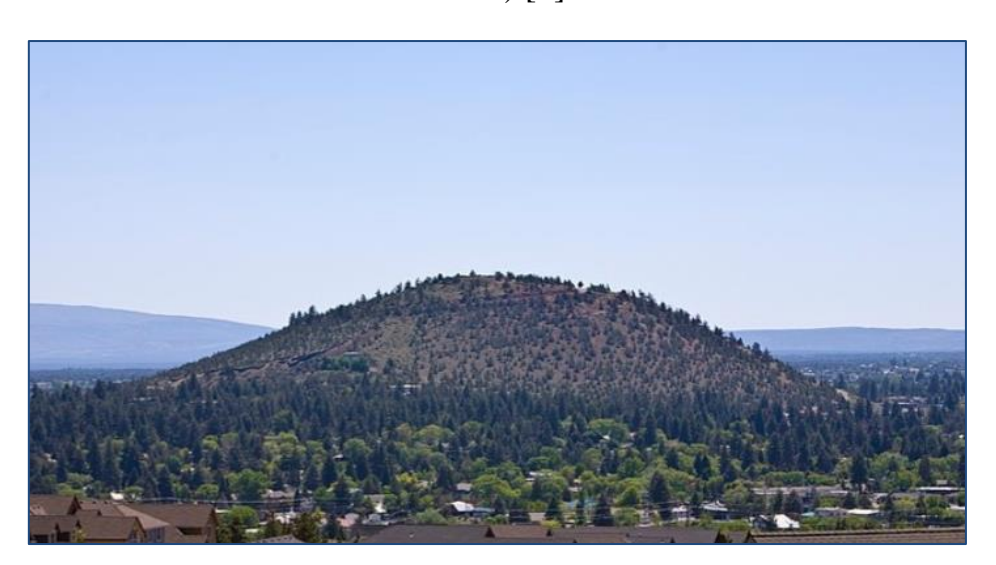


Figure I.5: l'effet topographique (Pilot butte).

I.7.2. Effets induits:

Il s'agit de l'apparition d'un phénomène dont la naissance est déclenchée par la vibration sismique [1].

I.7.2.1 Le phénomène de liquéfaction :

C'est un phénomène momentané. Il concerne les milieux granulaires (sableux ou limoneux) gorgés d'eau, l'agitation sismique peut provoquer un tassement rapide des sédiments, l'eau contenue dans les sédiments va alors être expulsée. Et cette action se traduit par la déstructuration du sol. Les constructions reposant sur des sols soumis au phénomène vont être particulièrement instables.



Figure I.6: Représentation du phénomène de liquéfaction des sols. [4]

I.7.2.2 Dans le cas des mouvements de terrain :

Les séismes peuvent provoquer des instabilités de terrain. Le plus souvent, la vibration sismique agit en tant que facteur déclenchant pour des terrains dont l'instabilité était le plus souvent latente. Les mouvements de terrain concernés peuvent être: des chutes de blocs, des glissements de terrain.[1]

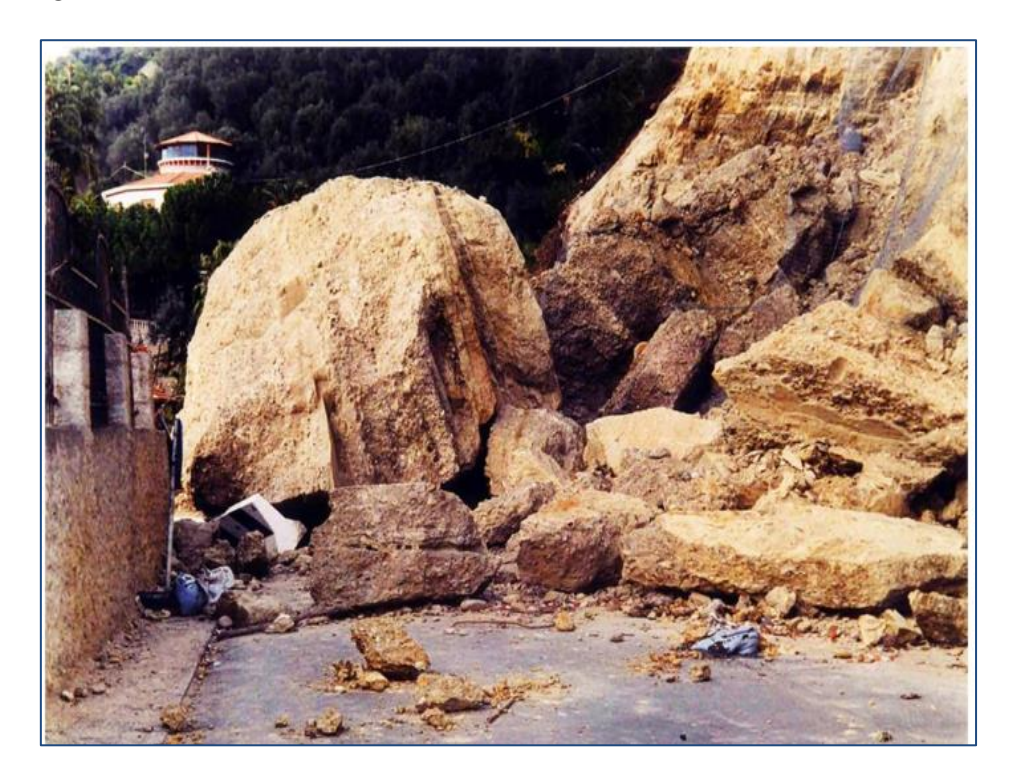


Figure I.7: 1^{er} cas de mouvement de terrain (chute du bloc). [4]



Figure I.8: 2^{ème} cas de mouvement de terrain (glissement de terrain). [4]

I.7.2.3.Les Avalanches:

Selon le même principe, un séisme peut être le déclencheur d'avalanches. La cohésion du manteau neigeux ou des couches de neige entre elles peut être rompue par la vibration.



Figure I.9: Avalanches de neige sous-marines

I.7.2.4. Les tsunamis :

Les séismes, s'ils se produisent dans la mer ou à proximité de la côte, peuvent être à l'origine de raz-de-marée ou tsunamis. La plus importante caractéristique d'un tsunami est sa capacité à se propager à travers tout un océan.

Des côtes situées à des milliers de kilomètres de l'épicentre peuvent être frappées, et cela de manière très meurtrière et dévastatrice.



Figure I.10: L'effet de tsunamis sur les constructions.

I.8. Classifications des zones sismiques (voir modificatifs et compléments aux RPA99) : [5]

Le territoire national est divisé en quatre (04) zones de séismicité croissante, définies sur la carte des zones de séismicité et le tableau associé qui précise cette répartition par wilaya et par commune, soit :

• Zone 0 : sismicité négligeable,

• Zone I : sismicité faible,

• Zone II : sismicité moyenne,

• Zone III : sismicité élevé.

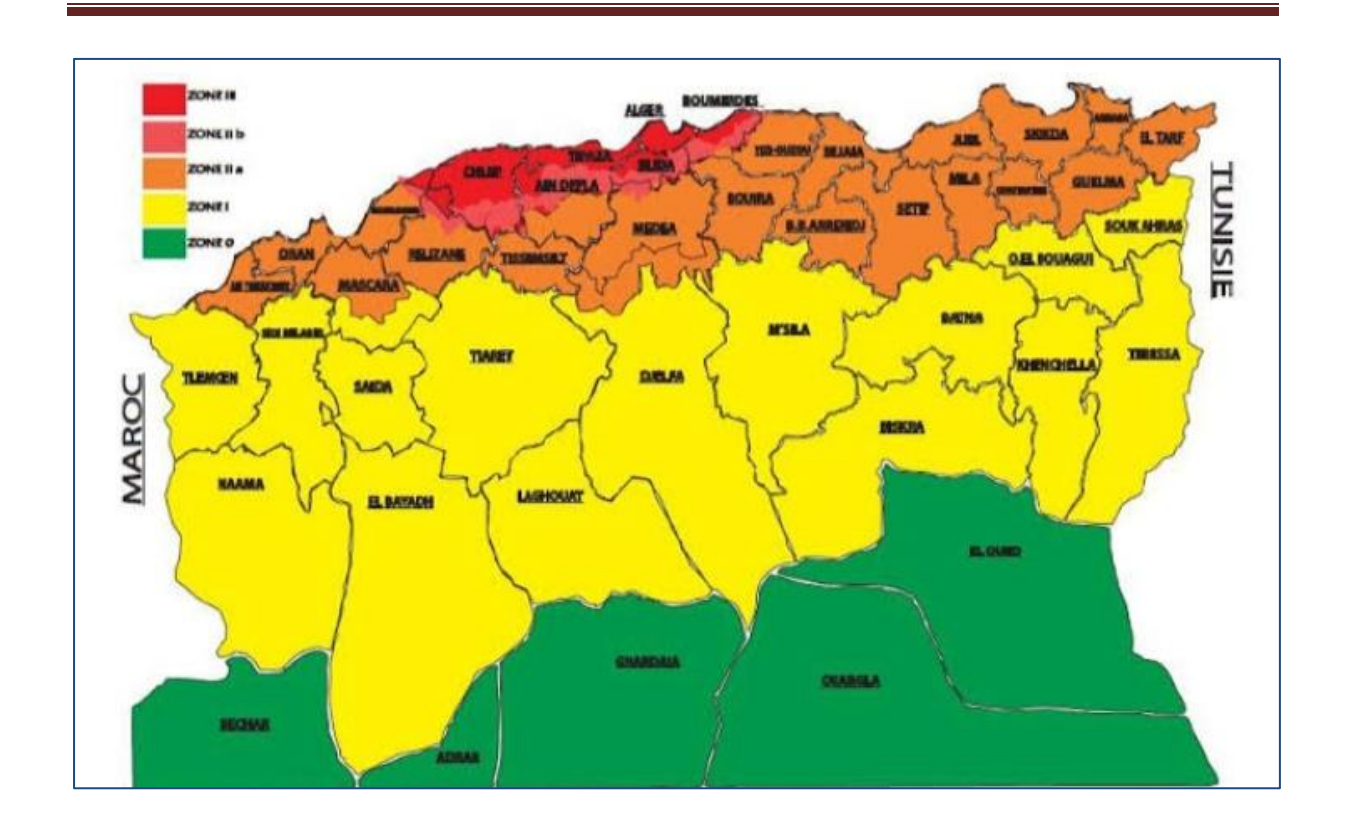


Figure I.11: carte de zonage sismique de l'Algérie

I.9. Tremblements de Terre en Algérie [5] :

L'Algérie (Boumerdes) a connu, le 21 mai 2003 (voir figure 3.6), un terrible séisme qui a fait plus de 2000 morts et des milliers de blessés et de sans-abri.





Figure I.12: Séisme de Boumerdes (Mai 2003)

Toute la côte nord de l'Algérie se situe dans une zone tectonique des plus propices aux tremblements de terre. On se souviendra du grand séisme dévastateur d'Al Asnam en 1980 qui a fait 3500 morts. La côte nord de l'Algérie est traversée par une limite de plaques lithosphériques continentales convergentes: la plaque eurasienne, au nord, chevauche la plaque africaine au sud. C'est dans cette faille de chevauchement que se déclenchent les séismes de la région. La carte ci-dessous (voire figure) présente l'histoire sismique de la région depuis 1990. La plus part des séismes sont superficiels, dans la zone entre 0 et 33 km de profondeur.

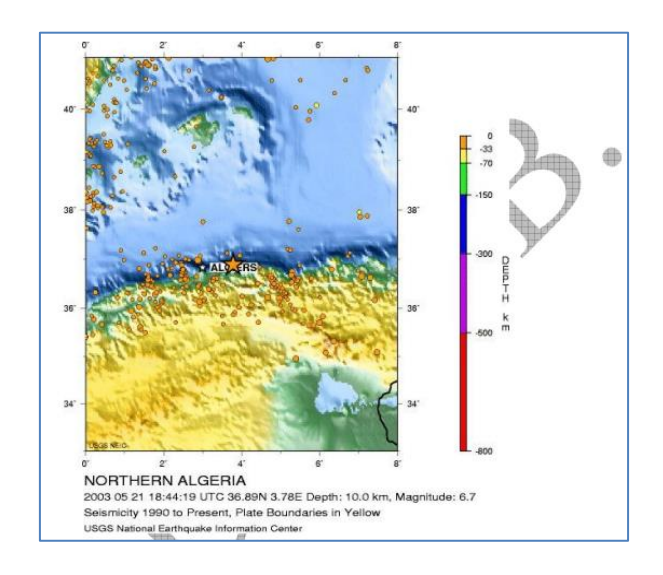


Figure I.13: Localisation des séismes en Algérie depuis 1990

Les tremblements de terre les plus importants (magnitude supérieure à 6) en Algérie des 100 dernières années sont donnés dans le tableau 3.

Tableau I.3 : les séismes les plus importants (M>6) en Algérie depuis un siècle. [5]

Ville / Zone	Date	Magnitude	Victimes
Sour el Ghozlane	24/06/1910	M=6,6	
Nord d'El	25/09/1922	M=6,1	2 morts
Asnam (Chlef)			
El Asnam	09/09/1954	M=6,7	1243 morts
(Chlef)			
El Asnam(Chlef)	10/10/1980	M=7,3	2600 morts
Zemmouri	21/05/2003	M=6,9	2300 morts
(Boumerdes)			

I.10.Conclusion:

L'aléa sismique est omniprésent sur le globe terrestre et cela depuis les ères précédentes, à cause de la tectonique des plaques. Aujourd'hui la recherche s'améliore afin de trouver les causalités des séismes, et par conséquent de limiter les effondrements des constructions entrouvrant les procédures de prévention contre ce risque naturel.

Chapitre II:
Les joints

II.a. Les joints

II.a.1.Introduction: [5]

Un joint est un dispositif utilisé dans plusieurs domaines ses fonctions et utilités diffèrent d'un domaine à un autre.

Un joint est une coupure (qui peut s'étendre jusqu'aux fondations) réalisée dans un ouvrage pour le diviser en plusieurs parties, chaque partie pouvant se déplacer ou se déformer librement sans que les sollicitations auxquelles elle se trouve soumise n'influencent l'autre partie. Un joint est donc une coupure artificielle dont l'emplacement, judicieusement choisi, évite l'apparition de fissures et leurs conséquences (perte d'étanchéité, infiltrations d'eau, chute de résistance, instabilité...).

II.a.2. Joint:

Aujourd'hui, en technologie de la construction, le terme de « joint » se rapporte à la façon dont les produits de construction se rencontrent et où ils se rencontrent. Deux définitions distinctes sont données par la norme internationale : [6]

- 1- Construction formée par les parties contiguës de deux ou plusieurs produits, composants ou ensemble de composants réunis, fixés ou solidarisés avec ou sans l'utilisation d'un produit de jonction.
- 2- Endroit dans le bâtiment où un joint est situé. Le joint peut être formé sans produit de jonction, comme entre les pierres d'un mur appareillé à joint sec, ou avec un ou plusieurs produits de jonction qui sont utilisés pour sceller le joint, fournir une fixation ou répondre à d'autres exigences [6].
- 3- Un joint est donc une coupure artificielle (fausses fissures) dont l'emplacement, judicieusement choisi évite l'apparition de fissures et leur conséquences (perte d'étanchéité, infiltrations d'eau, chute de résistance, instabilité)
- 4- Ces éléments peuvent être de même nature ou de nature différente (bois et béton)
- 5- Les qualités d'un produit pour joint sont :

Chapitre II: Les joints

Adhérence

•Plasticité plus ou moins permanente (cela dépend des joints) pour permettre un

libre jeu des éléments.

•Facilité d'utilisation et de mise en œuvre

II.a.3.Les fonctions des joints [7]

Les joints peuvent remplir 5 fonctions.

En premier lieu, ils permettent de faire face aux changements climatiques et à la dilatation thermique. En effet, des écarts de températures importants peuvent provoquer la fissuration des appuis et des façades, voire leur soulèvement. Ce phénomène peut compromettre la stabilité des ouvrages et s'avérer dangereuse pour leurs occupants.

Les joints peuvent également réduire et compenser en partie les conséquences des **tassements différentiels** des fondations engendrées par les forces verticales et horizontales.

Par ailleurs, les joints limitent le phénomène de **retrait du béton** (retrait thermique et hydraulique) lors de son séchage.

Les joints sont employés pour réduire les conséquences sur les ouvrages des **vibrations** provoquées par la circulation des machines et des véhicules.

Les joints remplissent une dernière fonction : ils permettent d'atténuer la **déformation des ouvrages** sous l'effet de la pression exercée par le vent.

II.a.4.Les Produits de remplissage :

Les joint sont traités au plâtre ou au mortier, dans certains cas toutefois lorsque par exemple les faces des joint doivent jouer fortement l'une par rapport l'autre on est amené à utilises des produits spéciaux.

• Mastic: produit dans la consistance à froids est suffisamment molle pour permettre l'utilisation en calfeutrement (bouchage) étanche des joints.

Chapitre II: Les joints

• Garniture d'étanchéité: cardon ou bande de matière plastique ou élastique

servant à assurer l'étanchéité du joint à l'air ou à l'eau.

• Joint à la pompe : produit poteaux, plastique appliqué à la pompe à main

ou mécanique.

• En Caoutchouc

II.a.5. Les types des joints [6]

A. Joint de maçonnerie : [8]

Les joints de maçonnerie désignent tous les intervalles comblés entre les pierres ou les

moellons. Les joints ont une utilité essentielle dans le travail de finition. Il en existe de

plusieurs sortes. Les joints de maçonnerie servent à combler les intervalles entre les

pierres, les briques ou les moellons. On les réalise surtout pour rectifier le calibrage et

compenser les irrégularités des supports, à l'horizontale comme à la verticale.

Le jointage ne doit pas être effectué tout de suite après la maçonnerie. Il est préférable

d'attendre quelques semaines et de les réaliser par un temps sec. Les joints de

maçonnerie peuvent avoir plusieurs utilités. On peut s'en servir pour :

• lisser la façade;

• accentuer la forme des briques;

• obtenir une finition brossée, peignée, etc :

réaliser des moulures;

changer la texture de la façade

A.1. Joint sec

Joint entre pierres de taille réalisée sans aucun matériau de jonction, un joint sec est

l'étanchéité entre deux pièces, seulement assurée par le parfait état des surfaces en

contact. Néanmoins, pour des usages sévères (température et pression élevées, liquide

corrosif) les déformations accentuent les légers défauts de planéité occasionnant des

fuites.

-23-



Figure II.1: Joint sec.

A.2. Joint garni

Joint entre pierres, garni d'un matériau de jonction.

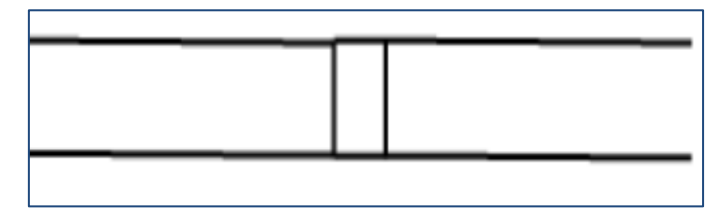


Figure II.2: Joint garni.

A.3. Butée de maçon

Joint d'équerre bout à bout formé par une pierre d'angle.

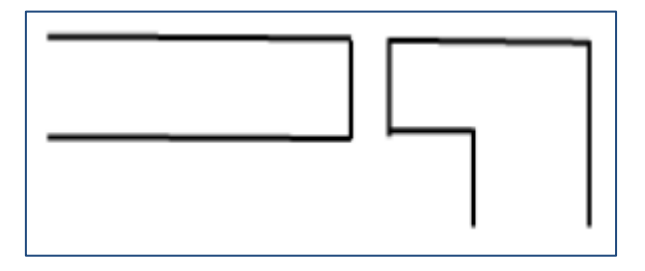


Figure II.3 : Butée de maçon

A.4. Joint à emboîtement

Joint entre pierres de taille dont une pierre possède une saillie taillée pour s'adapter dans une rainure de la pierre adjacente.

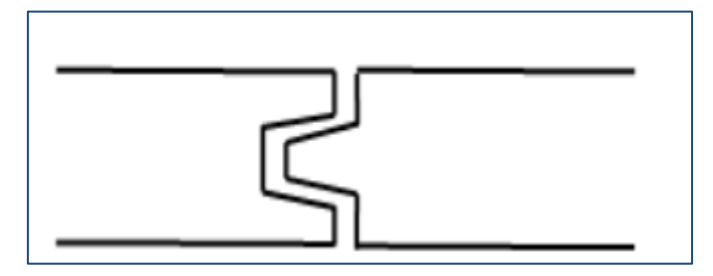


Figure II.4: Joint à emboîtement

A.5. Joint à feuillure

Joint qui possède une coupe en feuillure dans les côtés opposés de deux pierres associées.

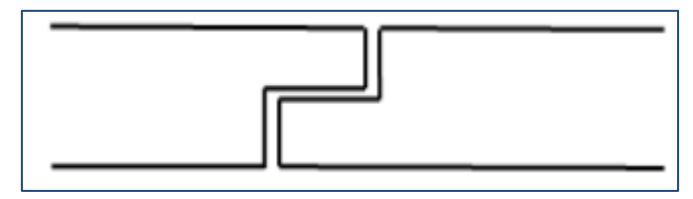


Figure II.5: Joint à feuillure.

A.6. Joint clavette

Joint connecté au moyen d'une ardoise ou d'une clé, en métal non ferreux, ou d'une pierre formant clavette, utilisé horizontalement entre les pierres d'un couronnement ou verticalement entre les pierres constituant le fût d'une colonne.

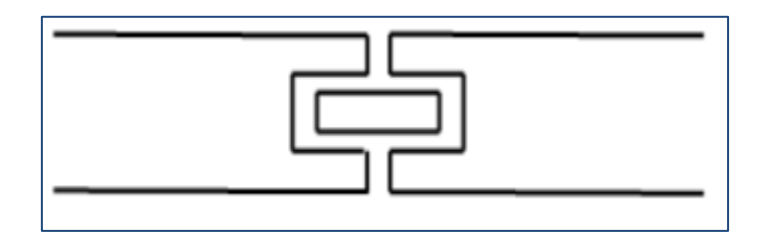


Figure II.6: Joint clavette.

A.7. Joint à clé en queue d'aronde ou à crampon

Joint qui possède une rainure taillée en queue d'aronde dans les pierres contiguës de façon à ce qu'un crampon d'ardoise, de plomb ou de métal non ferreux puisse y être ajusté pour former une clé.

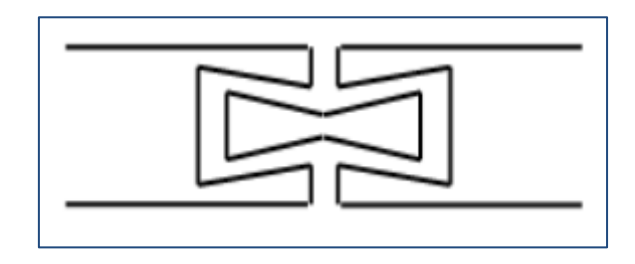
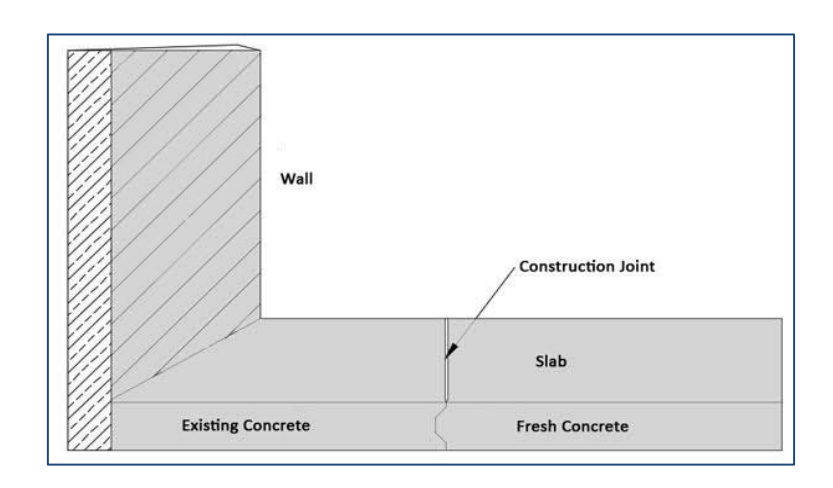


Figure II.7 : Joint à clé en queue d'aronde ou à crampon

B. Joint en structures industrielles [6]

B.1. Joint de construction

Également dénommé joint d'arrêt de coulage, Joint, particulièrement en ouvrage de béton, formé à un endroit d'interruption de l'ouvrage construit. Les opérations de bétonnage doivent être prévues, lorsque cela est possible, pour s'arrêter au niveau d'un joint de dilatation ou de retrait, mais lorsque cela n'est pas possible, un joint de construction est utilisé. Il n'est pas conçu pour prendre en charge le mouvement, mais il constitue un plan de faiblesse et est donc une source potentielle de fissures.



FigureII8: Joint de construction

B.2. Joint de retrait

Joint qui est formé pour prendre en charge les mouvements de retrait, particulièrement à la contraction du béton due à la perte d'humidité et à la contraction thermique associée à la perte de chaleur ou d'hydratation, cette dernière causant un retrait plus important. Les mouvements de retrait peuvent être considérés comme irréversibles bien que le joint soit toujours sujet à un mouvement cyclique dû aux variations d'hygrométrie et de température.

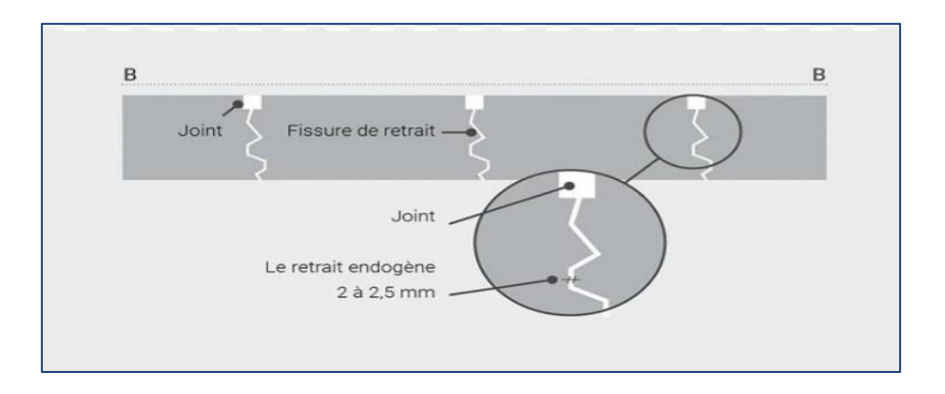


Figure II.9 : joint de retrait.

B.3. Joint de dilatation

Joint formé pour prendre en charge à la fois les mouvements de dilatation et de contraction de la structure causés par les variations cycliques de température et d'hygrométrie. En ouvrage de béton, le joint de dilatation fournit une discontinuité à la fois dans le béton et l'armature. L'interstice formé entre les parties adjacentes de la structure est conçu pour prendre en compte le mouvement maximal de fermeture. Une limitation des longueurs des éléments limitera leur allongement (ou rétrécissement). C'est pourquoi les règlements imposent une distance entre joints, pour les constructions en béton armé, d'une façon générale :

- De 25m pour les régions à fortes variations thermiques ou très sèches (montagne, désert).
- De 50m dans les régions humides et tempérées.
- Ces distances sont doublées pour les constructions en acier

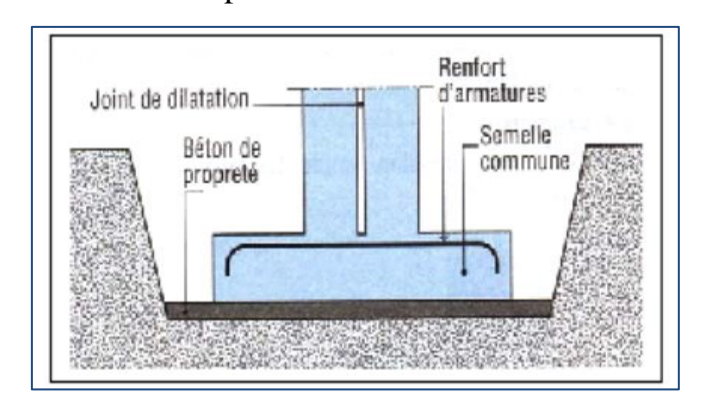


Figure II.10: joint de dilatation.

B.4. Joint sismique [9]

On peut parler de joint parasismique, lorsque le joint de dilatation est mis en œuvre sur une construction en zone sismique. Pour éviter que 2 parties d'une construction susceptibles d'être mises en mouvement pendant un séisme avec des vibrations et des tassements différentiels importants ne se touchent, on prévoit des joints sismiques dont l'épaisseur devra être calculée conformément aux règles parasismiques en vigueur.

Ces joints doivent être comblés au moyen de produits conçus pour résister à des conditions extrêmes. Le joint sismique Techno-K proposé par Adesol, expert en profilés techniques, trouve ses applications sur des constructions particulièrement exigeantes (centres commerciaux, hôpitaux, gares, aéroport et autres établissements recevant du public) implantées sur un site exposé au risque de tremblement de terre.



Figure II.11: joint sismique

B.5. Joint de retrait induit

Joint de retrait constitué d'une rainure superficielle destinée à permettre la formation éventuelle d'une fissure régulière de retrait. Cette rainure, jointoyée en surface, reçoit un remplissage en milieu ou en fond de joint.

B.6. Joint de talon

Joint de construction horizontal entre le talon réalisé verticalement sur la dalle de fondation et le mur de béton coulé in situ au-dessus du talon.

B.7. Joint de mouvement

Joint formé pour prendre en charge un mouvement relatif entre des parties contiguës de structure.

B.8. Joint ouvert ou joint d'écoulement

Joint entre deux composants de construction, particulièrement des panneaux de béton, entre lesquels l'interstice est conçu pour être laissé ouvert, avec éventuellement une protection par déflecteur.

B.9. Joint de retrait partiel

Joint de retrait dans lequel une discontinuité intentionnelle est prévue dans le béton tout en maintenant la continuité de l'armature.

B.10. Joint de tassement

Il est prévu lorsque le sol n'est pas homogène sous la construction ou lorsque les charges sont différentes. Le joint de tassement permet d'éviter les fissures et les dégâts que provoquerait un tassement différentiel du sol. Les joints de tassement sont réalisés en divisant les parois en 2 parties entièrement indépendantes, sur toute leur hauteur et leur profondeur. La division doit être franche et les joints doivent être les plus rectilignes.

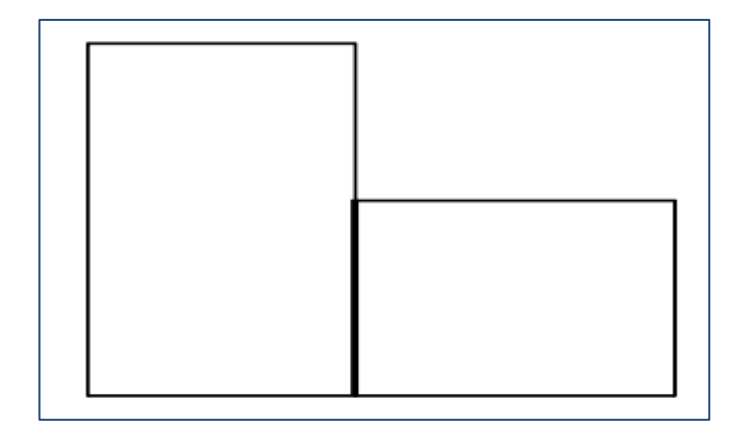


Figure II.12: joint de tassement.

B.11. Joint de rupture

Doit être prévu entre deux parties mitoyennes d'un ouvrage où entre deux ouvrages mitoyens quand il existe des risques de tassements différentiels pour des ouvrages de

poids différents ou avec sol à changement brusque de compressibilité. Les joints de rupture sont eux aussi placés sur toute la hauteur et toute la largeur du bâtiment.

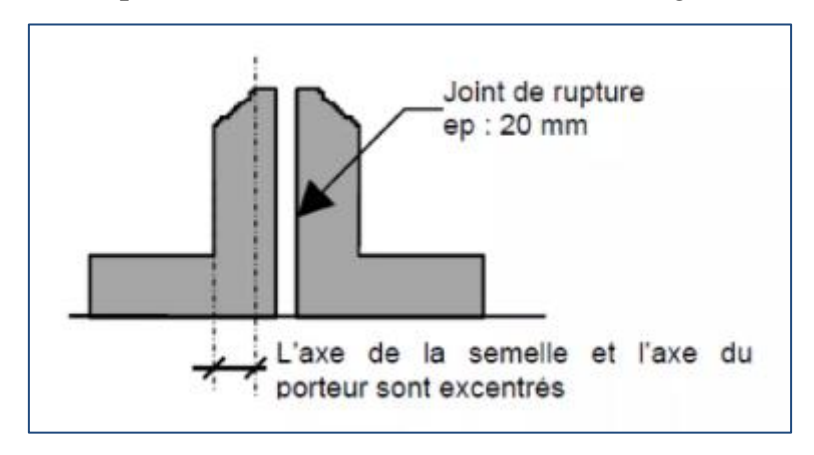


Figure II.13: joint de rupture.

II.b. les joints sismiques

II.b.1. Introduction:[10]

Les joints séismiques se produisent naturellement quand un bâtiment est construit à côté des autres. Des joints séismiques sont également fréquemment utilisés pour séparer un bâtiment en plusieurs parties simple. Un joint séismique crée typiquement une séparation entre les bâtiments adjacents ou des parties d'un bâtiment produisant la séparation des murs, des planchers, toits....etc. La conception des joints séismiques est complexe et nécessite des efforts par tous les membres de l'équipe de conception de s'assurer que le joint est correctement placé. Les joints sont coûteux et structuralement indésirables, ainsi, ils devraient être incorporés avec discrétion.

Ils sont disposés de façon :

- A limiter des longueurs de bâtiments trop importantes
- A séparer les blocs de bâtiments ou ouvrages accolés de géométrie et /ou de rigidités et de masses inégales.
- A simplifier les formes en plan de bâtiments présentant des configurations complexes (Forme en T, U, L, H,...).

II.b.2.Qu'est-ce qu'un joint sismique ? [10]

Un joint sismique est l'espace laissé libre entre deux bâtiments ou deux parties d'un même bâtiment afin de dissocier complètement le comportement sismique des structures ainsi séparées. La présence du joint sismique permet de concevoir, de calculer et de dimensionner de manière indépendante les deux structures pour la situation sismique.

Les joints sismiques sont utilisés principalement dans les cas suivants :

- Pour deux bâtiments au voisinage l'un de l'autre ;
- Lorsque la configuration en plan d'un bâtiment est complexe, le comportement sismique peut être aggravé par les phénomènes de torsion, le comportement modal distinct des différentes parties d'un niveau et les concentrations locales de charges qui en découlent (Figure II.14). Dans ce cas, il peut être intéressant de transformer la configuration en plan par deux (ou plus) configurations plus simples, souvent rectangulaires, séparés par des joints sismiques (Figure II.15). Le bâtiment est alors constitué par deux (ou plus) structures dynamiquement indépendantes. La réalisation d'un joint sismique séparant un bâtiment en deux unités distinctes d'un point de vue dynamique améliore le comportement sismique d'ensemble. Elle peut par contre s'avérer assez délicate d'étanchéité et d'isolation thermique.

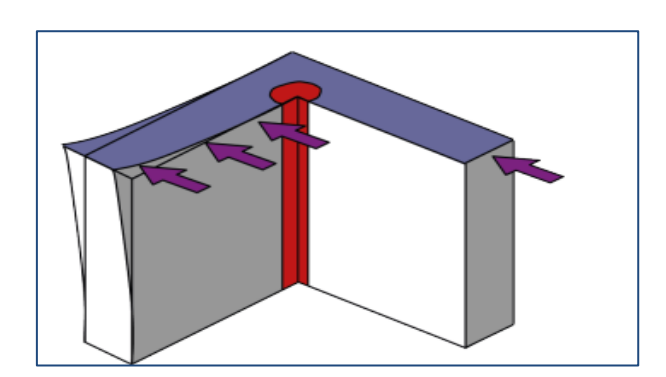


Figure II.14: Comportement sismique différent pour les deux branches d'un plan en

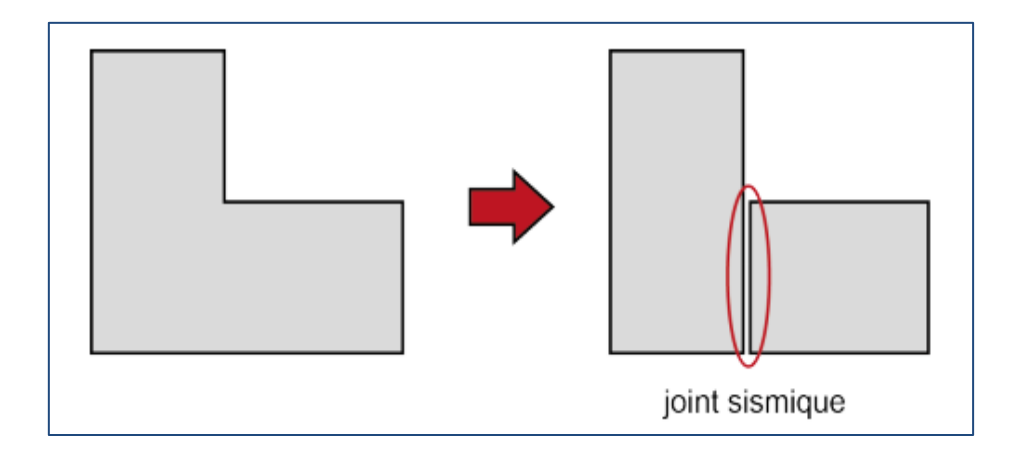


Figure II.15: D'une configuration en plan complexe (irrégulière) vers deux configurations simples (régulières) par l'adjonction d'un joint sismique

La Figure (a) montre un joint parasismique vertical large entre deux constructions susceptibles de présenter des déformations importantes en partie supérieure. Par contre la Figure (b) présente un joint parasismique vertical étroit entre deux parties d'un même bâtiment. Le joint est couvert d'un couvre joint souple [11].

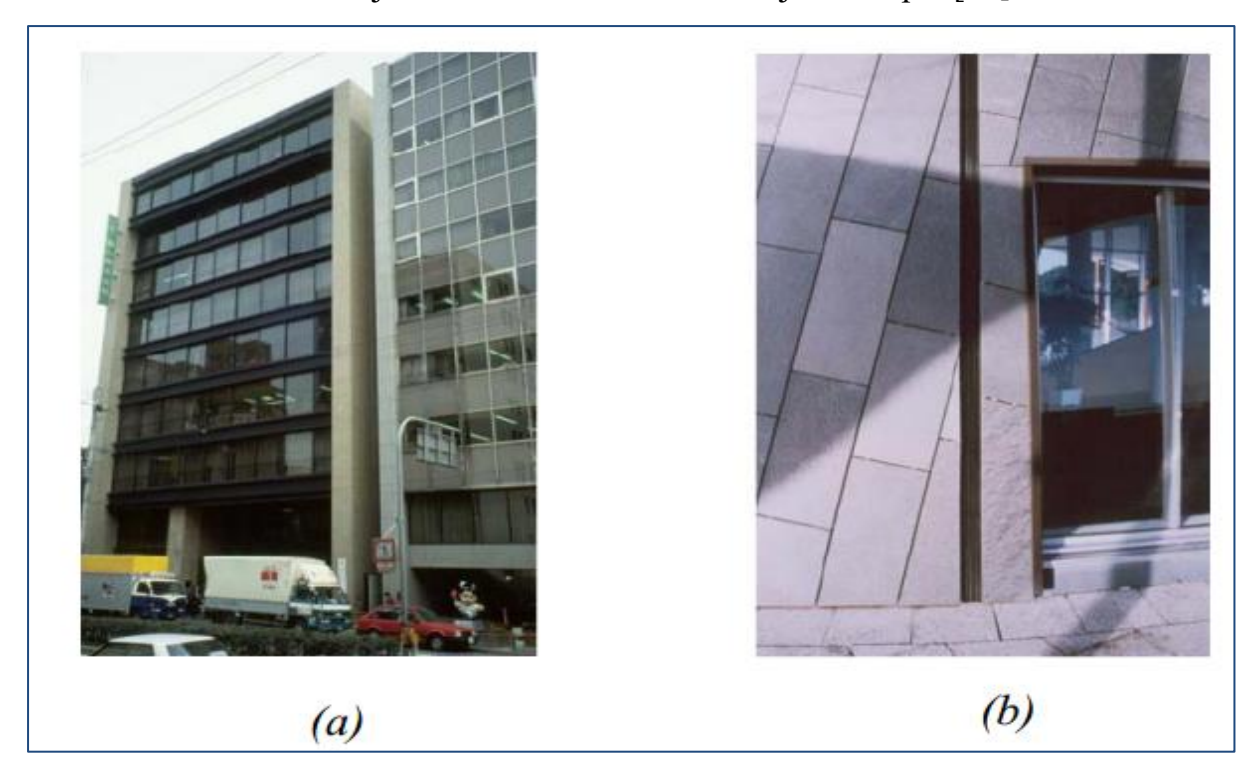


Figure II.16 : Présentation d'un joint parasismique. [11]

La structure de la Figure (a) illustre un entrechoquement de bâtiments pour cause de joint parasismique trop étroit au regard des déplacements réels, en outre, les deux bâtiments la Figure (b) se sont entrechoqués en l'absence de joints parasismiques [11].

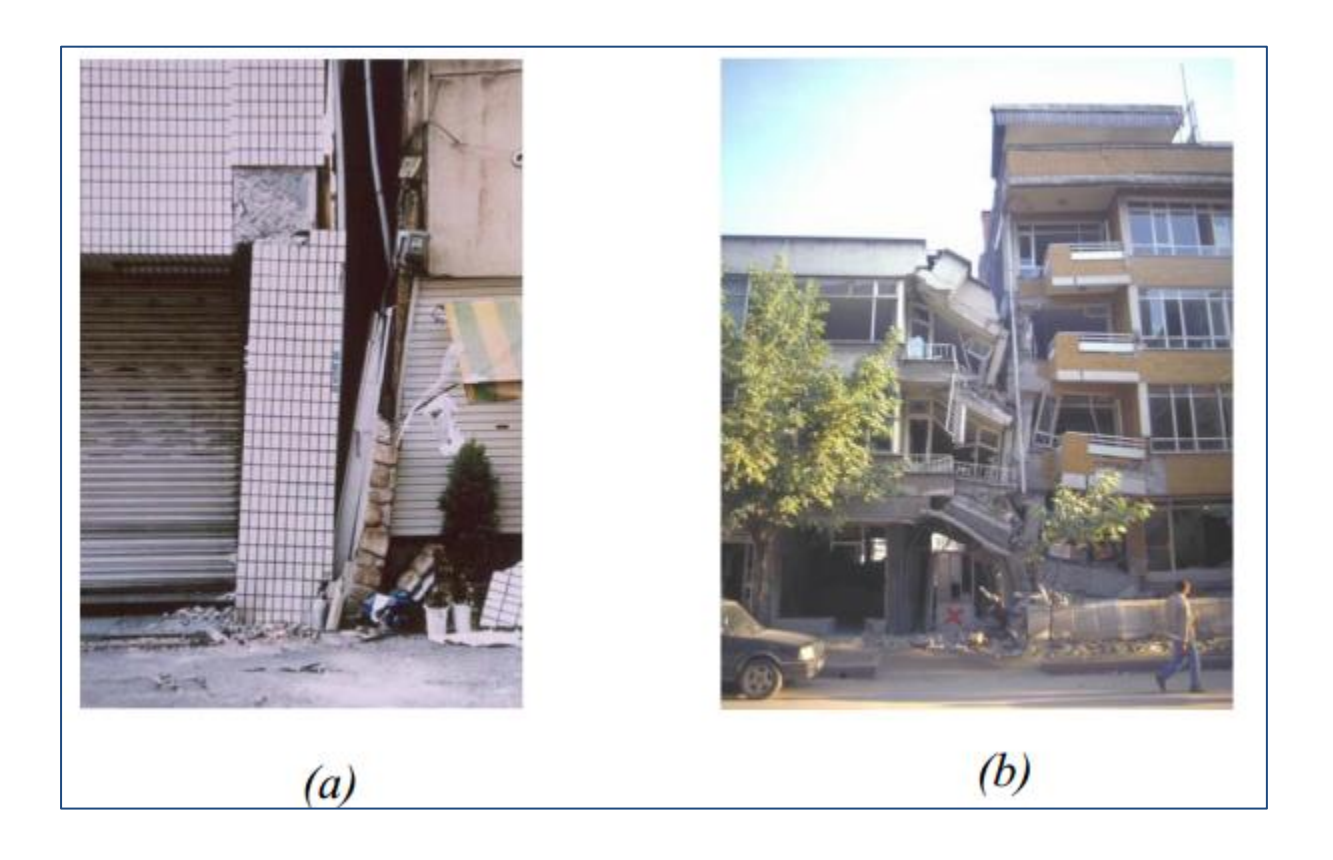


Figure II.17: Effondrement des structures par entre choquement.[11]

II.b.3. Utilisation des joints sismiques [6]

Des joints sismiques ou des séparations entre des bâtiments adjacents qui sont construits à différentes périodes, ou ne sont pas compatibles l'un avec l'autre sont nécessaires et généralement inévitables. Dans un bâtiment simple, cependant, il est souhaitable d'éviter les joints séismiques autant que possible. En revanche de l'utilisation habituelle des joints sismiques dans le passé, les méthodes d'analyse modernes peuvent souvent fournir à l'ingénieur l'information et la confiance suffisante pour éliminer ces joints. Parfois il est même possible et souhaitable d'éviter des joints entre les ailes d'un bâtiment qui doivent être construites en deux phases ou plus.

II.b.4. Joint sismique et joint de dilatation

En situation sismique, il est recommandé d'une manière générale de traiter un joint de dilatation comme un joint sismique. Dans ce cas, le découplage entre les deux parties

séparées par le joint doit au minimum concerner les deux composantes horizontales de l'action sismique. [10]

Des joints de dilatation sont généralement placés à un certain intervalle régulier de longueur basé sur le taux prévu de mouvement de rétrécissement ou de température au-dessus de la longueur de bâtiment. Les joints sismiques, d'autre part, doivent s'adapter au mouvement dans les deux directions orthogonales simultanément et leur espacement n'est pas typiquement affecté par la longueur ou la taille de la construction. [6]

II.b.5.Dispositions minimales

Un joint sismique doit être dimensionné pour que l'espacement entre les deux structures limite le risque de ruine par entrechoquement. Il doit être libre de tout matériau et une distance minimale de 4 cm est recommandée par l'Annexe Nationale de l'EN 1998-1. Il n'est pas nécessaire de prolonger le joint sismique dans les fondations. Pour deux structures indépendantes séparées par un joint sismique et supportées par les mêmes fondations, le calcul de celles-ci doit tenir compte de la descente de charges simultanée des deux ouvrages le cas échéant.

II.b.6. Largeur des joints sismiques : [10]

La largeur des joints séismiques dans les bâtiments modernes peut changer juste de quelques millimètres à plusieurs centimètres, selon la taille et la rigidité du bâtiment. Les joints dans des bâtiments modernes tendent à être beaucoup plus larges, c'est dû à plusieurs facteurs principaux, en particulier les changements des codes de règles de calcul. D'autres facteurs de contribution sont, la rigidité latérale des bâtiments et l'identification de l'importance de déformations latérales.

La largeur du joint entre deux blocs a connu une évolution après chaque séisme qui a donné naissance à un règlement ou à un addenda au règlement .Par exemple :

L'article 3.21 des règles PS69 définit la valeur du joint entre deux bâtiments mitoyen par :

Chapitre II: Les joints

Les déplacements d_1 et d_2 sont déterminés suivant les hypothèses des articles 3.21 et 3.22 des règles PS69. La condition à satisfaire est :

 $e = 1.15 (d_1+d_2)$: contreventement par voile;

 $e = 1.30 (d_1+d_2)$: contreventement par ossature.

Avec:

d₁: Déplacement du bloc 1 : mitoyen au bloc 2

d₂: Déplacement du bloc 2

Selon les règles parasismiques algériennes RPA99, la valeur du joint est déterminée par :

 $e = H_1/\alpha$

Avec:

H₁: Hauteur du bâtiment mitoyen le moins haut

 $\alpha = 300$ pour une construction en béton armé

 $\alpha=100$ pour une construction métallique La largeur minimale est fixée à 2.00 cm Dans les règles parasismiques algériennes RPA99, la largeur du joint est donnée par : Deux blocs voisins doivent séparés par un joint de largeur telle que ;

 $d_{min} = 15mm + R (\delta_i + \delta_2) mm$: supérieur ou égal à 40 mm

Où:

 δ_i : Déplacement du niveau (i) dû à la translation + la rotation

 δ_1 : Déplacement maximal du bloc 1

 δ_2 : Déplacement maximal du bloc 2

Nota : Les déplacements δ_1 et δ_2 sont calculés au sommet du bloc le moins élevé.

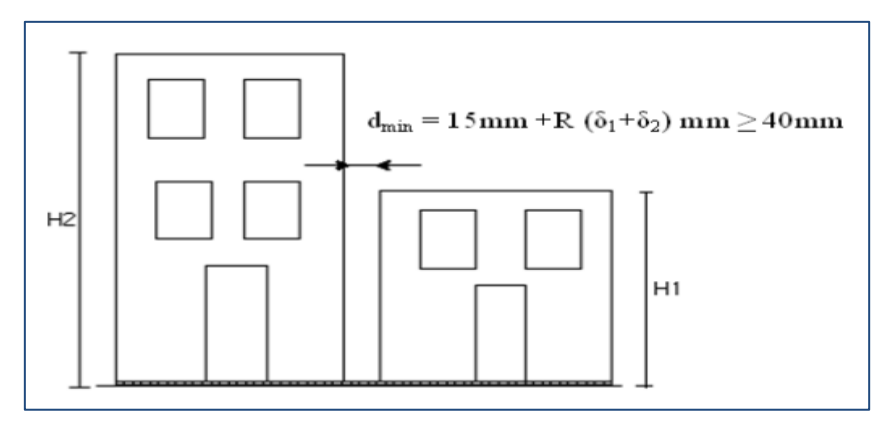


Figure II.18: Largeur de joint sismique. [5]

Avantage:

- O Possibilité d'absorber des déplacements horizontaux et verticaux importants,
- o Emploi de liaisons et d'assemblages classiques entre éléments de la structure,
- Possibilité de séparer les deux parties du bâtiment vis-à-vis de l'état limite de résistance au feu de la structure. Un mur pare-feu ou coup feu peut être facilement construit au droit du joint de dilatation.
- Solutions recommandées dans les régions sismiques (dans ce cas, le joint doit satisfaire aux règles sismiques de conception et de calcul relatives à l'espacement entre blocs).
- o Modification de la trame du bâtiment,
- o Doublement des travaux de fondation,
- o Nécessité d'un portique supplémentaire,

II.c.Conclusion:

Les joints ont un rôle est très important dans une construction, c'est un régulateur de conflits (amortisseur de choc), il faut les disposer à chaque fois que cela est nécessaire (indispensable).

Chapitre III:

Présentation de l'ouvrage et caractéristique des matériaux

> PARTIE 1

III.1. INTRODUCTION:

La conception d'un projet en génie civil s'élabore en tenant compte des aspects fonctionnels ; structuraux et formels, ce qui oblige l'ingénieur à tenir compte des données suivantes :

- L'usage.
- La résistance et la stabilité.
- Les exigences architecturales, fonctionnelles et esthétiques.
- Les conditions économiques.

Le présent travail a pour objet l'étude d'une structure (R+4). Un RDC et 04 étages à usage d'habitations. Tous les calculs sont effectués conformément aux règlements en vigueur, à savoir :

- BAEL 91 modifié 99 et CBA93
- RPA99 version 2003.

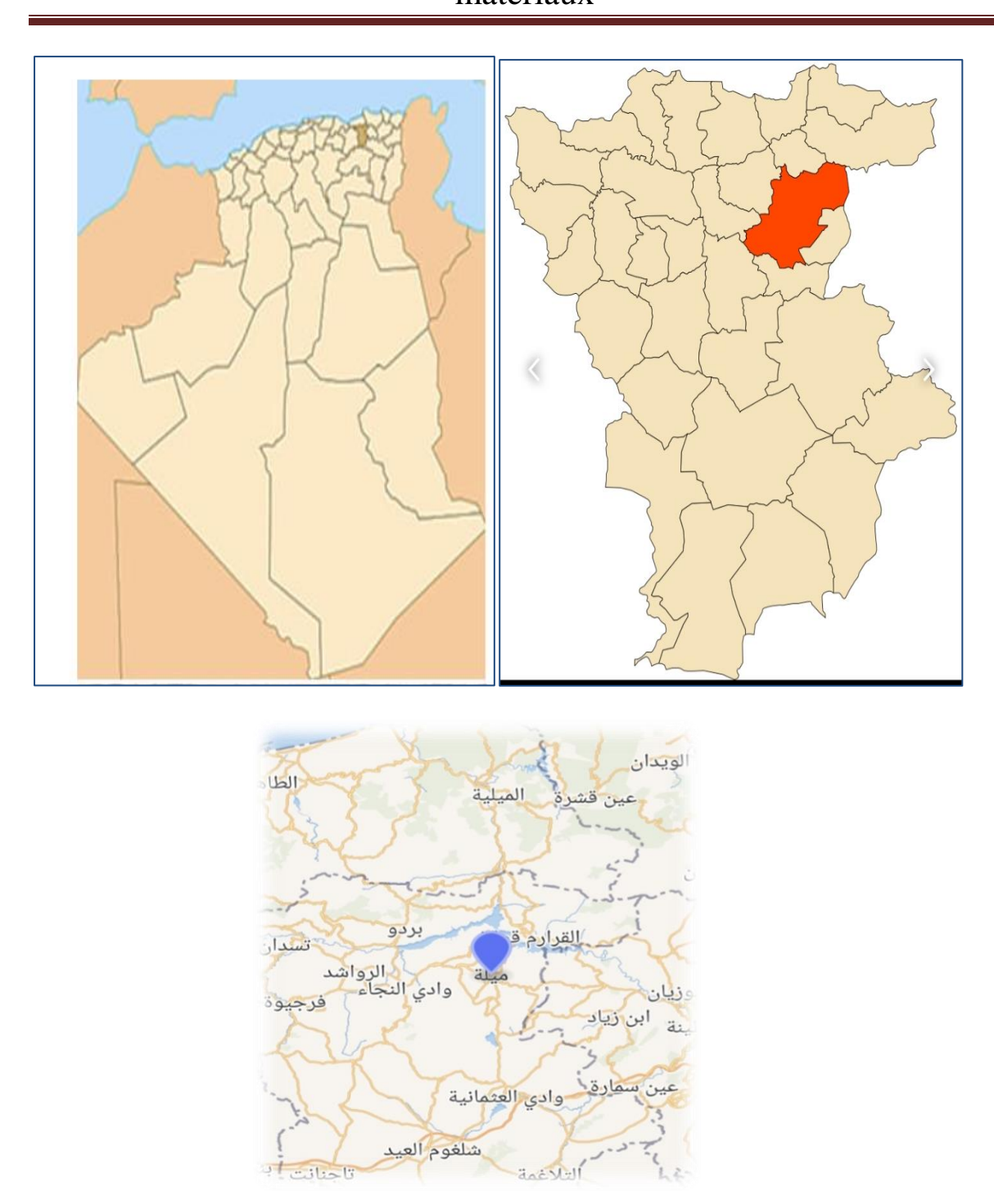
III.2. Présentation de L'ouvrage :

Le projet consiste à l'étude des paramètres influençant la largeur du joint sismique pour les structures en béton armé à usage d'habitation constitué de:

✓ Cet ouvrage, est implanté dans la willaya de MILA classé selon le RPA 99 version 2003 comme zone de moyenne sismicité (Zone II a).

Ce projet est un ouvrage courant ayant une importance moyenne, sa hauteur totale est inférieur à 48 mètres, ce qui conduit à le classer d'après le règlement parasismique algérien RPA 99/ version 2003 « **article 3.2** » dans le groupe d'usage 2.

Chapitre III : Présentation de l'ouvrage et caractéristiques des matériaux



FigureIII.1: Situation géographique de notre ouvrage.

III.2.1 Caractéristiques géométriques de la construction

Les caractéristiques géométriques de notre ouvrage sont relevées des plans d'architecture du projet. Ces caractéristiques sont données comme suit :

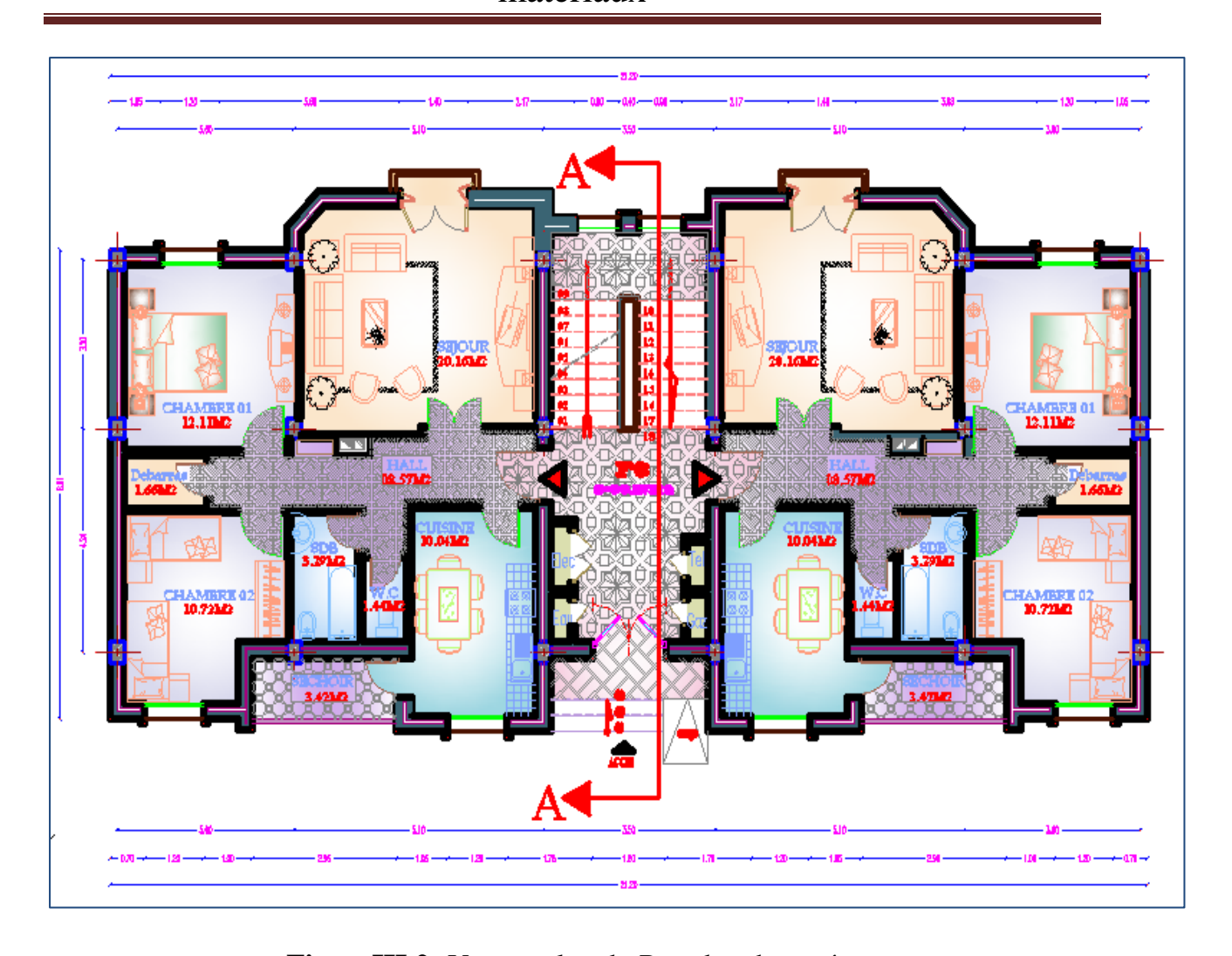
Dimensions en plan

➤ Longueur de l'ouvrage
➤ Largeur de l'ouvrage
➤ La surface de l'ouvrage
Dimensions en élévation
➤ Etages courants ont une hauteur
➤ Hauteur de RDC
➤ La hauteur totale de l'ouvrage
➤ La hauteur totale (Acrotère inclue)
Le bâtiment a une forme rectangulaire.

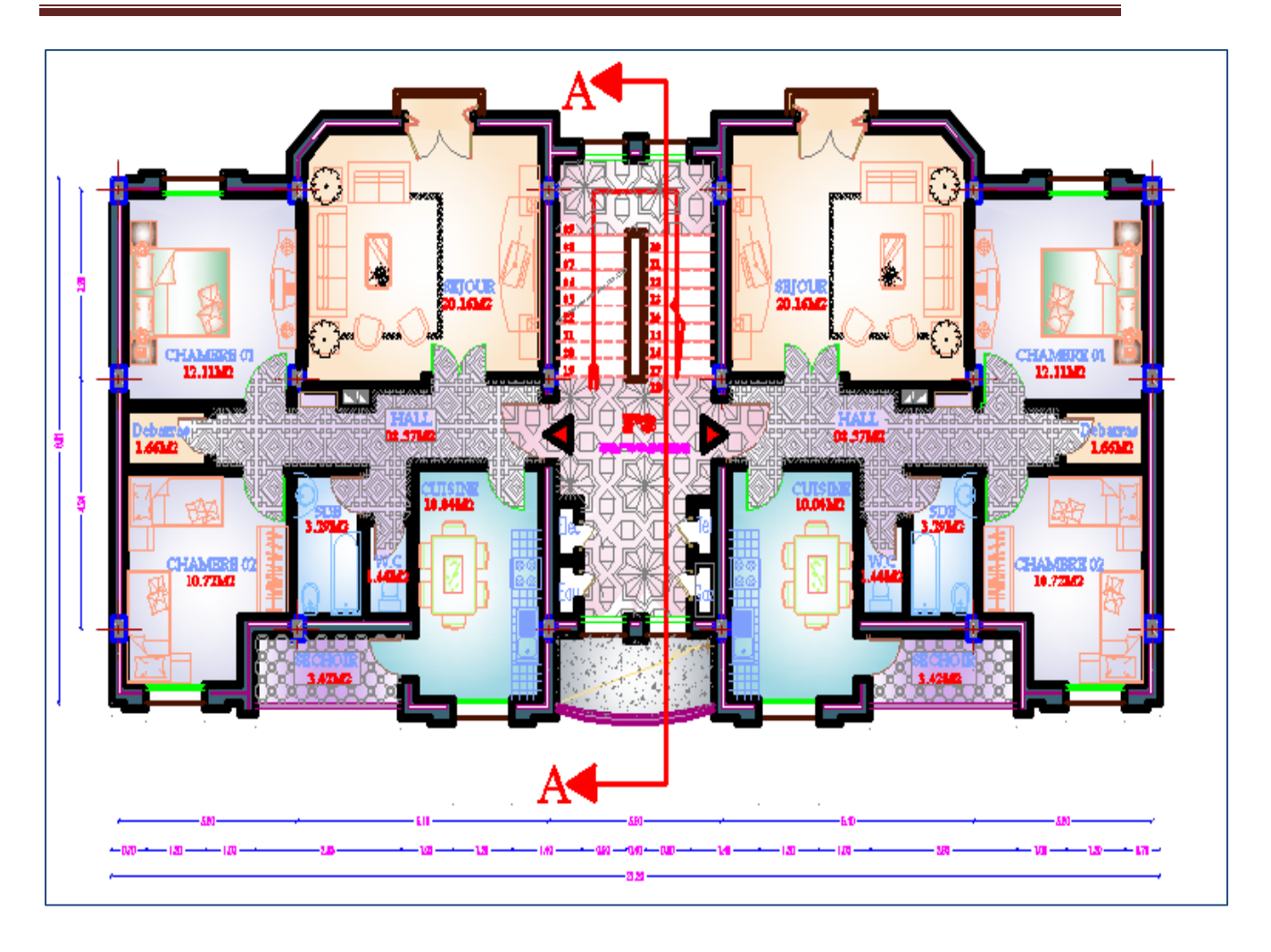
III.2.2 Caractéristiques du site

Le bâtiment est implanté dans une zone classée par les règles parasismiques Algériennes 99/version 2003 comme zone de forte sismicité (zone II a).

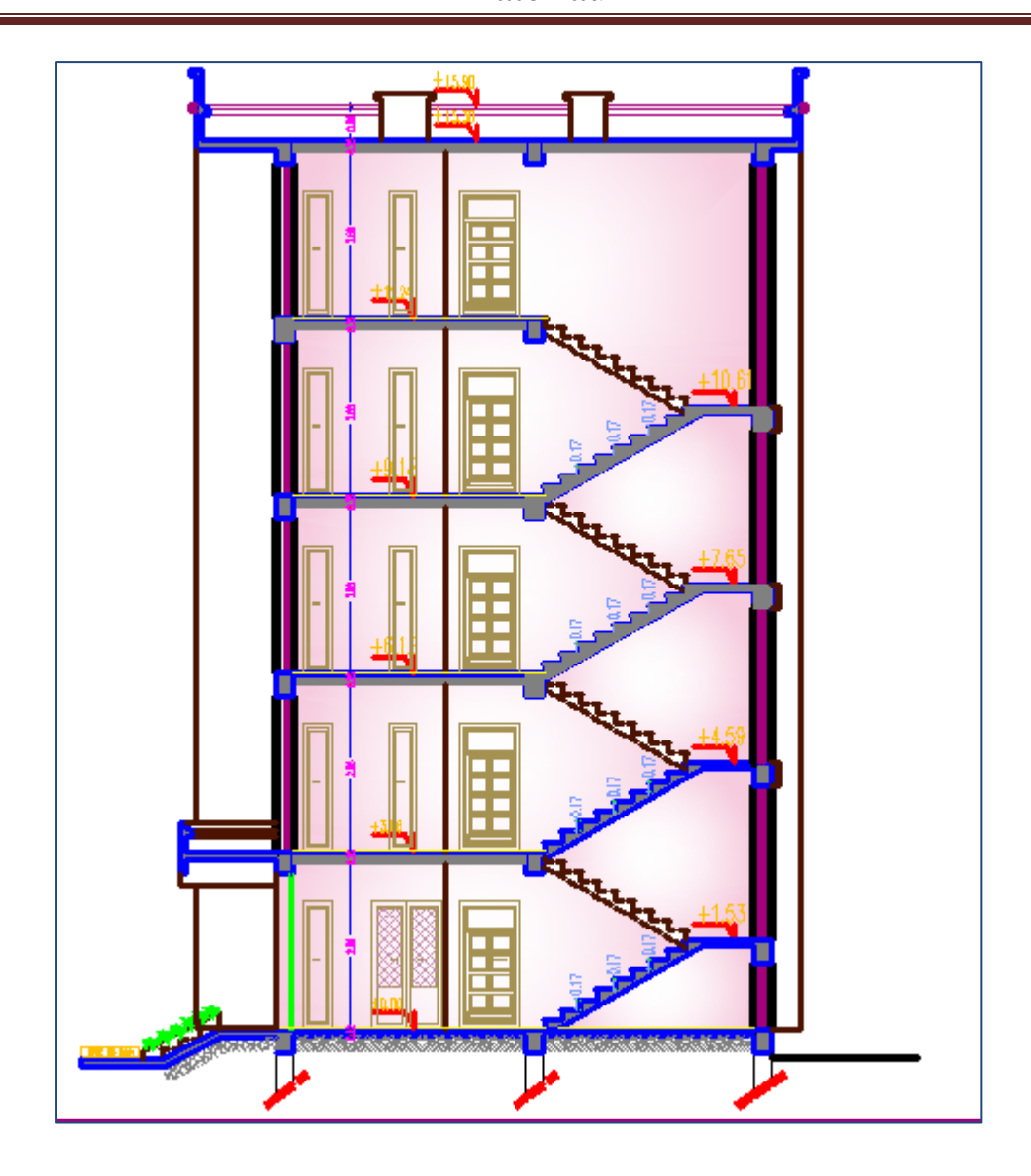
- ➤ L'ouvrage appartient au groupe d'usage 2.
- ➤ Le site est considéré comme meuble (S3)
- \succ La contrainte admissible du sol σ_{sol} = 1.6 bars.



FigureIII.2: Vue en plan du Rez-de- chaussée.



FigureIII.3: Vue en plan d'étage courant.



FigureIII.4: Dimensions en élévation du bâtiment.

III.3. Les éléments de l'ouvrage:

Les éléments de l'ouvrage peuvent varier en fonction du type de construction. Cependant, voici quelques éléments communs que l'on retrouve généralement dans de nombreux ouvrages :

III.3.1. Les planchers :

Les planchers sont des éléments porteurs horizontaux qui ont deux fonctions principales qui sont la séparation des différents niveaux et de reprendre les différentes charges et surcharges, dans notre projet on a opté pour (02) deux types de plancher :

- ➤ Plancher en corps creux « 16+4 cm» pour le rez de chaussée et les différents étages
- ➤ Plancher dalle pleine pour le balcon

III.3.2. La maçonnerie :

La maçonnerie du bâtiment est réalisée en briques creuse :

- **a.** <u>Murs extérieurs</u>: constitués d'une double paroi en briques (10 cm et 15 cm d'épaisseur) séparées par une l'âme d'air de 5 cm d'épaisseur (10+5+10)
- Murs intérieurs : constitués par une seule paroi de briques creuses de 10 ou 15 cm d'épaisseur

III.3.3. Terrasse:

La terrasse est inaccessible, et l'étanchéité du plancher terrasse est assuré par une forme de pente et système en multicouches.

III.3.4. Revêtements:

Les revêtements font référence aux matériaux utilisés pour couvrir et habiller les surfaces intérieures et extérieures d'un bâtiment. Ils jouent un rôle important dans l'esthétique, la protection et la fonctionnalité de l'ouvrage

a. Terrasse

- > Protection gravillon.
- Enduit en plâtre.
- ➤ Isolation thermique.
- Forme de pente.
- Etanchéité multicouche.

b. Étage courant

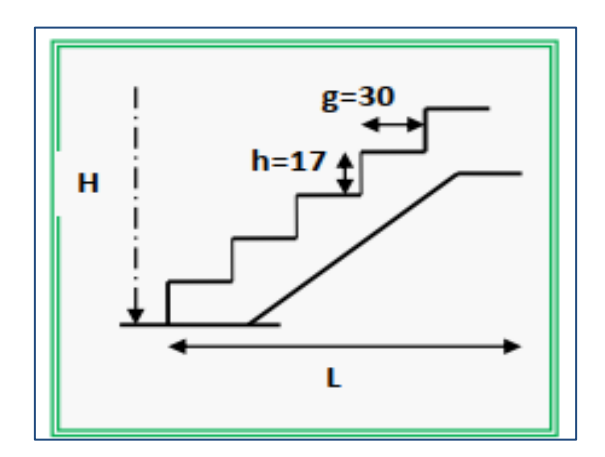
- > Enduit en plâtre.
- Lit de sable.
- Mortier de pose.
- Carrelage.

c. Murs extérieurs (double paroi)

Enduit en ciment de 2cm à l'intérieur et à l'extérieur.

III.3.5.Escaliers:

Les escaliers sont des éléments architecturaux conçus pour faciliter la circulation verticale entre différents niveaux d'un bâtiment. Ils sont composés de marches horizontales et de contremarches verticales, permettant aux personnes de monter ou descendre en toute sécurité. La structure comporte une cage d'escalier. RDC au 4^{ème} étage qu'est composé de deux volées et un palier.



FigureIII.5 : Schéma de l'escalier

III.3.6.L'acrotère:

Au niveau de la terrasse, le bâtiment est entouré d'un acrotère conçu en béton armé de 60 cm d'auteur et de 10 ou 15 cm d'épaisseur. L'acrotère a pour objectif principal de faciliter le drainage des eaux de pluie et de garantir la sécurité.

III.3.7.Ossature contreventée :

Une ossature contreventée est un système de construction utilisé pour renforcer la stabilité d'une structure en lui conférant une résistance accrue aux charges latérales telles que les vents et les séismes. Elle est conçue pour éviter les déformations excessives et les dommages structuraux en cas de contraintes horizontales.

Le bâtiment est constitué par des portiques auto stables en béton armé et des voiles suivant les deux sens. Le contreventement de la structure est assuré par des voiles et des portiques tout en justifiant l'interaction portiques - voiles, pour assurer la stabilité de l'ensemble sous l'effet des actions verticales et des actions horizontales.

III.3.8.Infrastructure:

C'est la partie d'interaction structure-sol, qui forme un ensemble rigide assurant l'encastrement de la structure dans le terrain ainsi que la transmission des charges apportées par la structure au bon sol.

III.4.Regles de Calcul:

Les règles de calcul sont des directives et des normes établies par des organismes de réglementation et d'ingénierie pour assurer la sécurité, la fiabilité et la conformité des structures et des ouvrages. Ces règles sont utilisées lors de la conception et de l'analyse des structures afin de déterminer les dimensions, les charges et les matériaux appropriés. On utilise pour le calcul de ce projet les règlements suivants :

✓ Réglés Parasismique Algérienne (**RPA99 version 2003 ; DTR-BC.2.48**). ✓ Charges permanentes et charges d'exploitations (**DTR-BC.2.2**).

✓ Règles Techniques de Conception et de Calcul des Ouvrages et Constructions en Béton Armé suivant la Méthode des États Limites (BAEL 91).

✓ Initiation au Béton Armé (Règles BAEL91).

III.5. Méthodologie de Calcul:

La méthodologie adoptée s'articule autour des points suivants :

- ✓ Etablissement d'un modèle numérique de calcul tridimensionnel en élément finis de la structure par le logiciel **ROBOT.**
- ✓ Définition des différentes charges statiques **G** et **Q**.
- ✓ Définition des charges statiques et dynamiques Ex, Ey.

✓ Calculs et vérifications selon le **BAEL91** et le **RPA99 version2003.**

PARTIE 2 :

III.1. Caractéristiques des matériaux

Le choix des matériaux de structure est un compromis entre différents critères tels que

le coût, la disponibilité locale et la facilité de mise en œuvre. Cependant, lorsqu'il

s'agit de constructions de grandes dimensions, la résistance mécanique devient un

critère décisif. Les caractéristiques des matériaux utilisés dans la construction doivent

être conformes aux règles techniques de conception et de calcul des ouvrages en béton

armé, telles que celles définies par le Code du Béton Armé de 1993 (CBA93).

Le béton armé se compose de béton et d'armatures. La présence des armatures est

indispensable pour reprendre les charges horizontales mais aussi les efforts de traction

et cisaillement vu que le béton a une faible résistance vis-à-vis de ce genre de

sollicitation contrairement à sa résistance à la compression. Donc l'association de ces

deux matériaux résulte en un matériau composite dans lequel chacun répond au mieux

aux sollicitations auxquelles il est soumis

III.1.1. Béton

Le béton est un matériau constitué par le mélange dans des proportions convenables,

de ciment, de granulats (graviers, sable), les adjuvants et de l'eau. Le rôle fondamental

du béton dans une structure est de reprendre les efforts de compression qui seront

développés.

III.1.1.1Composition du béton

Un béton courant un mètre cube, est composé de:

350 Kg de ciment (CPA 325).

4001 Sable (0 < Dg < 5mm).

800 1 de:

• Gravillons (5 < Dg < 15mm).

-47-

• Gravier (15 < Dg < 25mm).

175 *l* d'eau de gâchage.

Le béton obtenu aura une masse volumique qui varie entre 2200 $\mathrm{Kg/m^3}$ et 2500 $\mathrm{Kg/m^3}$

III.1.1.2. Résistance du béton :

a. Résistance à la compression :

Dans les constructions courantes, le béton est défini, du point de vue mécanique par sa résistance caractéristique à la compression (à 28 jours d'âge noté « f_{c28} »). Cette résistance (f_{cj} en MPa) est obtenue par un grand nombre d'essais de compression jusqu'à la rupture sur une éprouvette cylindrique normalisée de 16 cm de diamètre et 32 cm de hauteur.

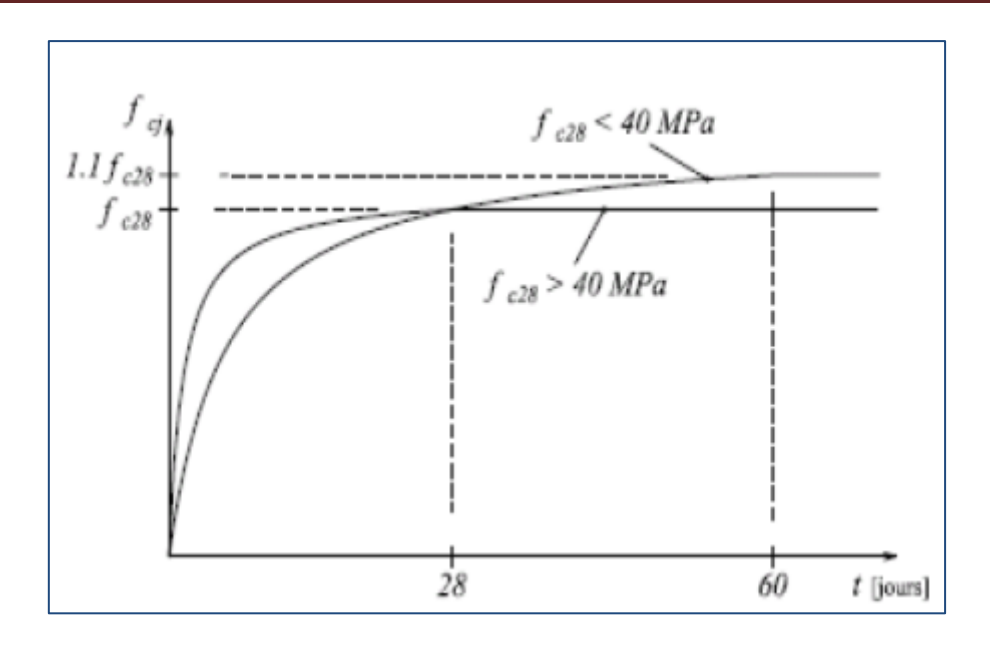
Le durcissement étant progressif, f_{cj} est fonction de l'âge du béton. Aussi, la valeur conventionnellement retenue pour le calcul des ouvrages est f_{cj} .

• Pour des résistances $f_{c28} \le 40 MPa$.

$$fcj = \frac{j}{4.76 + 0.83j} f_{c28}$$
 Si $j \le 60$ jours $fcj = 1.1 f_{c28}$ Si $j > 60$ jours

• Pour des résistances $f_{c28} > 40MPa$.

$$fcj = \frac{j}{1.40+0.95j} fc28$$
 Si $j \le 28$ jours
$$fcj = f_{c28}$$
 Si $j > 28$ jours



FigureIII.6: Évaluation de la résistance f_{cj} en fonction de l'âge du béton

Pour 1m^3 de béton courant doser à 350kg de ciment portland artificiel (CPA325), la résistance moyenne f_{c28} comprise entre 22 et 25MPa.

On prend $f_{c28} = 25MPa$

b. Résistance à la traction fti

La mesure directe de la résistance à la traction par un essai de traction axiale étant délicate on a recours à deux modes opératoires différents :

- > Flexion d'éprouvettes prismatiques non armées.
- Fendage diamétral d'une éprouvette cylindrique (essai Brésilien)

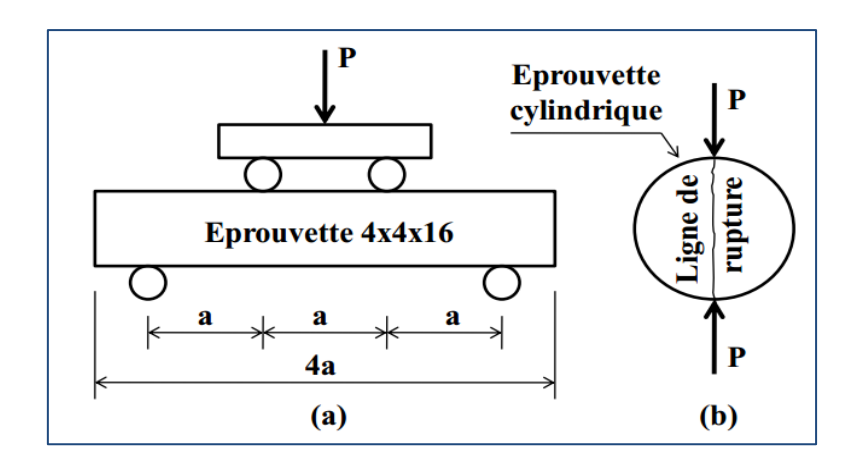


Figure III.7: Résistance à la traction du béton

(a) Essai de traction par flexion

(b) Essai de fendage

La résistance caractéristique à la traction du béton à j jours, notée f_{tj} , est conventionnellement définie par les relations:

$$f_{tj} = 0.6 + 0.06 f_{cj}$$
 Si $f_{c28} \le 60 \text{MPa}$
 $f_{tj} = 0.275 f_{tj}$ Si $f_{c28} > 60 \text{MPa}$

Pour j=28 jours

 $f_{c28} = 25MPa$; $f_{t28} = 2,1MPa$

C. Contrainte limite

C.1. Etat limite ultime

• Contrainte ultime de compression

Pour les calculs à l'ELU, le comportement réel du béton est modélisé par la loi parabole-rectangle sur un diagramme contraintes déformations donné sur la Figure ciaprès,

Avec:

-
$$\varepsilon_{bc1} = 2 \%_0$$

$$(4,5;0,025f_{cj})$$
 ‰Si $f_{cj} > 40$ MPa.

- La valeur de calcul de la résistance en compression du béton f_{bu} est donnée par :

$$f_{bu} = \frac{0.85 f_{c28}}{\theta \gamma_b}$$

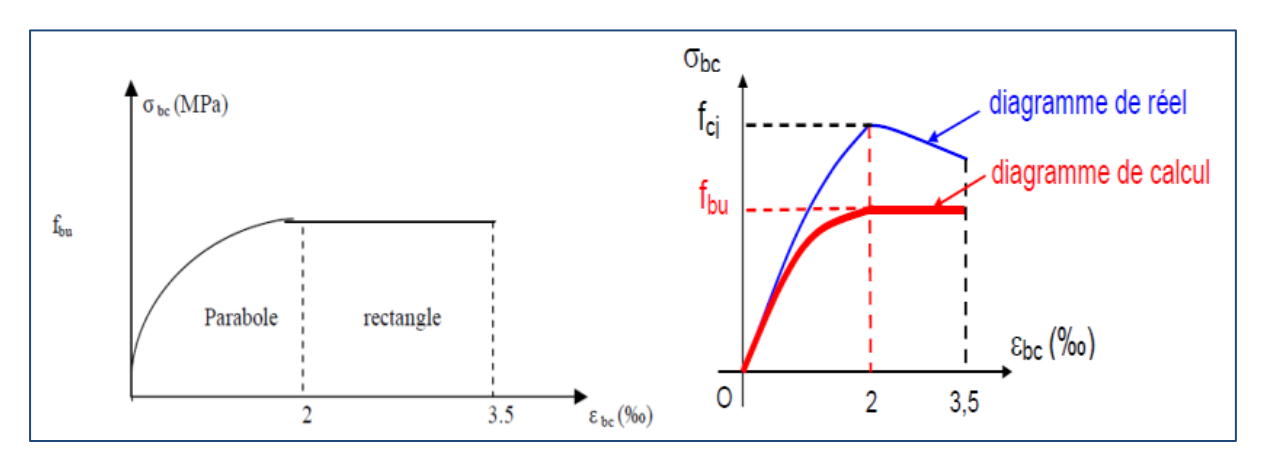


Figure III.8: Diagramme des contraintes du béton

 f_{bu} : Contrainte ultime du béton en compression.

 γ_b : Coefficient de sécurité:

 $\gamma_b = 1.5$ en situations durables ou transitoires.

 $\gamma_b = 1,15$ en situations accidentelles.

 θ : dépend de la durée d'application des charges.

- \triangleright $\theta = 1$: lorsque la durée probable d'application des charges considérées est supérieure à 24 heures.
- \triangleright $\theta = 0.9$: lorsque cette durée est comprise entre 1 heure et 24 heures.
- \rightarrow $\theta = 0.85$: lorsqu'elle est inférieure à 1 heure.

Dans notre cas on $\theta = 1$.

 $f_{bu} = 14,17 MPa pour : \gamma_b = 1,5$

 $f_{bu} = 18,48$ MPa pour : $\gamma_b = 1,15$

• Contrainte ultime de cisaillement

La contrainte ultime de cisaillement est limitée par :

$$\tau \leq \tau_{adm}$$

Pour la fissuration peu nuisible.

$$\tau_{adm} = \min (0.2 \frac{f_{cj}}{\gamma_b}; 5\text{MPa})$$

Pour la fissuration préjudiciable ou bien très préjudiciable

$$\tau_{adm} = \min (0.15 \frac{f_{cj}}{\gamma_b}; 4\text{MPa}).$$

Dans notre cas on a $f_{c28} = 25MPa$ donc:

 τ_{adm} = 3,33MPa fissuration peu nuisible.

 τ_{adm} = 2,5MPa fissuration préjudiciable et très préjudiciable.

C.2. Etat limite de service

Dans le cas de l'ELS on suppose que le diagramme parabole rectangle reste dans le domaine élastique linéaire, est défini par son module d'élasticité.

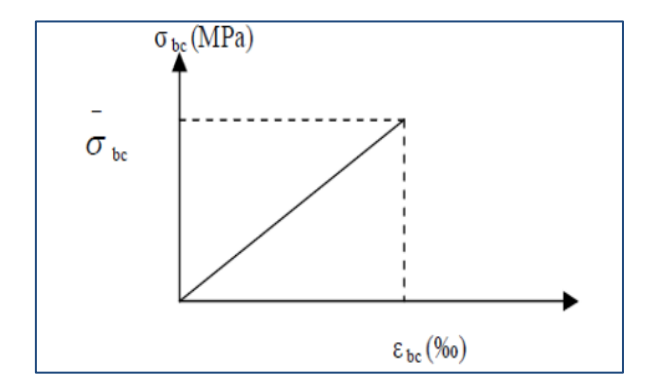


Figure III.9 : Diagramme des contraintes limite du béton

La contrainte limite de service en compression du béton est limitée par : $\sigma_{bc} = \overline{\sigma}_{bc}$

Avec:

$$\sigma_{bc} = 0.6 \; f_{c28} = 15 MPa$$

❖ Déformation longitudinale du béton

On distingue deux modules de déformation longitudinale du béton; le module de Young instantané E_{ij} et différé E_{vj}

❖ Le module de déformation longitudinale instantané

Sous les contraintes normales d'une durée d'application inférieure à 24h. On admet à défaut de mesures, qu'à l'âge « j » jours le module de déformation longitudinale instantanée du béton E_{ij} est égal à :

$$E_{ij} = 11000 \sqrt[3]{f_{cj}}$$
, $(f_{cj} = f_{c28} = 25\text{MPa})$

D'où : $E_{128} = 3216MPa$.

Le module de déformation longitudinale différé

Sous des chargements de longue durée (cas courant), le module de déformation Longitudinale différé qui permet de calculer la déformation finale du béton (qui prend en compte les déformations de fluage du béton) est donné par la formule :

$$E_{vi} = 3700 \sqrt[3]{f_{ci}}$$

$$E_{vj} = (\frac{1}{3}) E_{ij}$$

$$E_{ij} = 11000 \sqrt[3]{f_{28}}$$

Pour les vérifications courantes : j > 28 jours on a:

Pour : f_{c28} = 25MPa on a :

 $E_{v28} = 10721,40 MPa$

 $E_{i28} = 32164,20$ MPa

* Module déformation transversale

$$G = \frac{E}{2(2\nu+1)}$$
 (module de glissement)

Avec:

E: module de Young.

v : Coefficient de poisson.

 $G_{Els} = 18493,45 MPa$.

La déformation longitudinale est toujours accompagnée d'une déformation transversale, le coefficient de poisson **v** par définition est le rapport entre la déformation transversale et la déformation longitudinale.

$$v = \frac{\text{Déformatio n transver sale}}{\text{Déformatio n longitudin ale}}$$

$$v = \frac{\Delta d \setminus d0}{\Delta L \setminus L0} = \frac{\xi t}{\xi l}$$

Avec:

 ξ_t : déformation limite transversale.

 ξ_{l} : **déformation** limite longitudinale.

Pour le calcul des sollicitations (à l'ELS), le coefficient de poisson est pris égal à 0.2. Pour le calcul des déformations (à l'ELU), le coefficient de poisson est pris égal à 0.

III.2.Acier

III.2.1 Définition

Le matériau acier est un alliage Fer et Carbone en faible pourcentage, l'acier est un matériau caractérisé par une bonne résistance aussi bien en traction qu'en compression; Sa bonne adhérence au béton, en constitue un matériau homogène. Le module d'élasticité longitudinal de l'acier est pris égale à : Es= 200 000MPa.

III.2.2 Résistance caractéristique de l'acier

On définit la résistance caractéristique de l'acier comme étant sa limite d'élasticité: F_e

• Principales armatures utilisés

Tableau III.1: Fe en fonction du type d'acier

	Aciers ronds lisses		Aciers à hautes adhérences		Treillis soude à fils lisses	Treillis soude à hautes adhérences
désignation	FeE215	FeE235	FeE400	FeE500	TLE500	FeTE500
Fe [MPa]	215	235	400	500	500	500

Dans notre cas on utilise des armatures à haute adhérence, un acier de FeE400.

III.2.3.Contrainte limite

Les caractéristiques mécaniques des aciers d'armature sont données de façon empirique à partir des essais de traction, en déterminant la relation entre σ et la déformation relative ϵ .

• Etat limite ultime

Le comportement des aciers pour les calculs à l'ELU vérifie une loi de type élastoplastique parfait, comme décrit sur le diagramme contrainte-déformation:

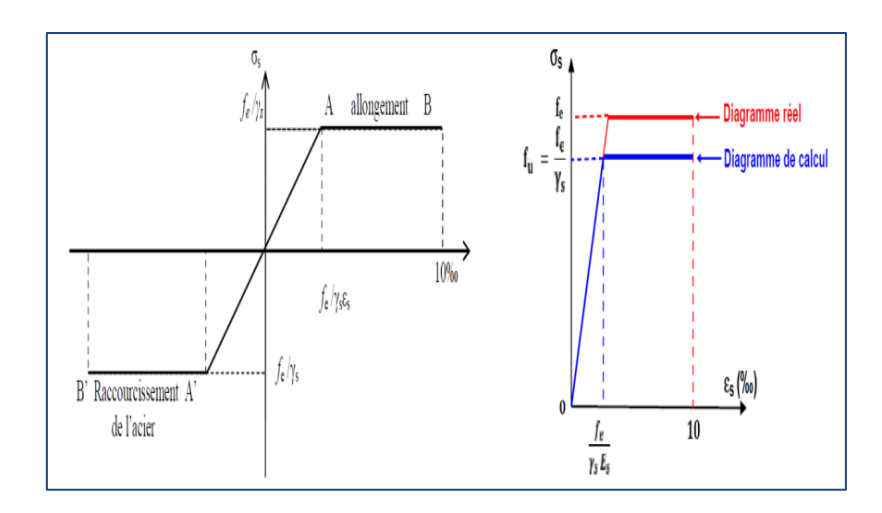


Figure III.10: Diagramme contrainte déformation de l'acier

$$\sigma = \frac{f_e}{\gamma_s}$$

$$\varepsilon_{es} = \frac{\sigma_s}{E_s}$$

Avec:

 $E_s = 200~000MPa$.

 σ_s : Coefficient de sécurité $\rightarrow \gamma = 1,15$ cas de situations durable où transitoire.

 $\gamma = 1$ cas de situations accidentel les.

• Etat limite de service

On ne limite pas de la contrainte de l'acier sauf en état d'ouverture des, nous avons pour cet état :

➤ Fissuration peu nuisible (Art A-4.5.32 BAEL91):

Aucune vérification n'est requise.

$$\bar{\sigma}_{st} = \text{Fe}$$

➤ Fissuration préjudiciable (Art A-4.5.33 BAEL91):

$$\bar{\sigma}_{st} = \min(2 \backslash 3\text{fe}, 110 \sqrt{\eta} * f_{tj})$$

> Fissuration très préjudiciable

$$\bar{\sigma}_{st} = \min(1 \backslash 2\text{fe}, 90 \sqrt{\eta * f_{tj}})$$

Avec η: Coefficient de fissuration.

 η = 1 pour les ronds lisses(RL).

 η = 1,6 pour les hautes adhérences(HA).

Dispositions constructives

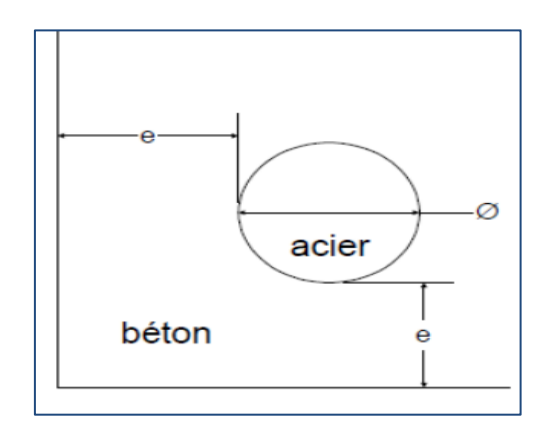
Enrobage des armatures

Afin de protéger les armatures de la corrosion, celles-ci doivent être suffisamment enrobées de béton. Est défini l'enrobage e.

L'enrobage e de toutes armatures est au moins égal à :

• 1 cm : locaux couverts non exposés aux condensations.

- 3 cm : exposé aux intempéries, condensations et liquide ou actions agressives.
- 5 cm : atmosphère très agressive, mer, fondationset toujours supérieur à Φ .



Dans notre étude, les hypothèses de calcul adoptées sont :

• Résistance mécanique du béton à la compression et à la traction:

$$f_{c28} = 25MPa; f_{t28} = 2.1MPa.$$

• La Résistance mécanique élastique d'armature à la compression et à la traction:

$$Fe = 400MPa$$
.

• Module de déformation longitudinal instantané du béton : $E_{ii} = 32164 \text{MPa}$, calculé selon la formule suivante :

$$E_{ii} = 11000 (f_{cj})^{1/3}$$

• Module de déformation longitudinal différé du béton: E_{vj} = 10819MPa, calculé selon la formule suivante :

$$E_{vj} = 3700 (f_{cj})^{1/3}$$

- Module de déformation longitudinal des armatures : $E_s = 200000 MPa$
- Poids volumique du béton : $\gamma = 25KN/m^3$
- v = 0.2: dans le cas des états limitent de services.
- v = 0: dans le cas des états limites ultimes.

III.4. Les Charges et Sollicitations: [5]

III.4.1.Les charges:

a .Les Charges permanentes :

Ces actions représentées par « G » sont celles dons l'intensité est constante, ou très peu variable dans le temps, elles comprennent :

- ➤ Le poids propre de la structure.
- ➤ Le poids des équipements fixe, tels que les cloisons dans les bâtiments et les machines dans les constructions industrielles.
- ➤ Les poussés et les pressions des terres.
- ➤ Les déformations imposées à la construction « retrait tassement différentiels les appuis ».

b. Les charges variables :

Ces actions représentées par « Q » sont celles dont l'intensité varie fréquemment et de façon importante dans le temps, elles comprennent :

- Les charges d'exploitations.
- Les charges climatique « vent et neige ».
- Les charges appliquées en cours d'exécution.
- Les effets dus à la température.
- > Effet des chocs « explosion ».

c .Les Charges accidentelles :

Ce sont des actions provenant de phénomène rare tel que :

- **>**Séisme
- ➤ Effet des chocs « explosion » .

III.4.2. Sollicitations:

Les sollicitations sont les efforts provoqués, en charge point et sur chaque section de

la structure par les actions qui s'exercent sur elle, elles sont exprimées sous forme de

forces:

-Effort normal: N

-Effort tranchant: V

-Moment fléchissant : M

-Couple de torsion : T

III.4.2.1.Principe et justification : (Article A-3-3 BAEL 91) page 23-24-25 [12]

Les justifications produites doivent montrer pour les divers éléments constitutifs et

pour l'ensemble de la structure, que les sollicitations de calcul définis dans la suite ne

provoquent pas le phénomène qu'on vent éviter.

III.4.2.2.Sollicitations de calcul vis-à-vis des états limites :

✓ Etat limite ultime :

Les sollicitations de calcul sont déterminées à partir de la combinaison d'action

suivante : 1,35 G + 1,5 Q.

✓ Etat limite de service :

Combinaison d'action suivante : G + Q

S'il y a intervention des efforts horizontaux dus au séisme, les règles parasismiques

Algériennes a prévu des combinaisons d'action suivantes

 $G+Q\pm 1.2E$ $G+Q\pm E$

 $0.8G \pm E$

Avec : G : charge permanent

Q : charge d'exploitation

E : Effort de séisme.

-59-

III.5.Conclusion

Le calcul d'un bâtiment en béton armé passe par l'application rigoureuse et précise des réglés en vigueur. Cependant, chaque ouvrage présente ses propres caractéristiques qui font que le calcul doit être fait avec précaution.

Chapitre IV:

Pré dimensionnement des éléments de structures et évaluation des charges

IV.1. INTRODUCTION:

Le Pré-dimensionnement est une étape nécessaire dans une étude d'un projet en béton armé, elle a pour but le pré calcul des sections des différents éléments résistants. Il sera fait selon les règles du BAEL 91 et le RPA 99 modifié 2003 et du CBA93, pour arriver à déterminer une épaisseur économique afin d'éviter un sur plus d'acier et du béton. Les résultats obtenus ne sont pas définitifs, ils peuvent être augmentés après vérifications dans la phase du dimensionnement.

Pour ce faire, nous commençons le pré dimensionnement du sommet vers la base :

- Planchers;
- Poutres;
- Poteaux;
- Voiles.

IV.2. La pré dimensionnement des éléments secondaire :

IV.2.1. Les planchers :

Le planches est une séparation ente les niveaux qui transmet les charges et les surcharges qui lui sont directement appliqués aux éléments porteurs tout en assurant des fonctions de confort comme l'isolation phonique, thermique et l'étanchéité des niveaux extrêmes.

Pour le bâtiment étudié, deux types de planchers vont être utilisés :

- Plancher à corps creux.
- Plancher à dalle pleine.

IV.2.1.1. Plancher en corps creux :

Ce plancher est constitué d'éléments résistants ; ce sont les poutrelles en béton armé et des éléments de coffrage « les entres vous » ; corps creux. Après la mise en place d'un ferraillage complémentaire, une dalle de répartition est coulée sur place (hourdis).

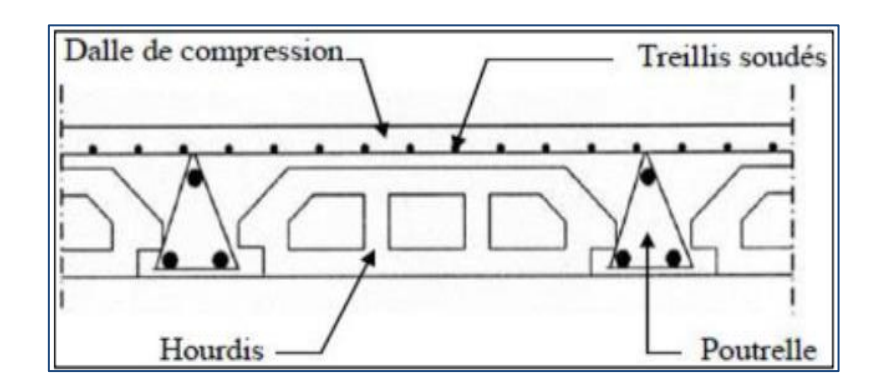


Figure IV.1: Coupe transversale du plancher.

L'épaisseur des planchers est choisie d'une manière à satisfaire des conditions d'utilisation plus que les conditions de résistance. Pour trouver cette épaisseur on vérifiera les conditions ci-après

1. Condition de résistance au feu :

D'après le BAEL91 [5]:

• e = 7cm: Pour une (01) heure de coupe de feu.

• e = 11cm : Pour deux (02) heures de coupe de feu.

• e = 17.5cm: Pour quatre (04) heures de coupe de feu.

Dans notre projet on prend e = 20 cm.

2. Condition acoustique:

Pour assurer une isolation phonique minimale, l'épaisseur de plancher doit être supérieure ou égale à 15 cm; on adopte : e = 20 cm.

3. Condition de résistance à la flèche :

D'après BAEL91 la hauteur totale de la section des planchers en corps creux est donnée par les formules suivantes : [3]

$$h_t \ge \frac{L}{22.5}$$

Avec:

 h_t : Hauteur totale du plancher (Epaisseur).

L: La portée maximale entre nus d'appuis dans le sens de la disposition des poutrelles.

 L_{max} =384 cm.

$$h_t \ge \frac{384}{22.5} = 17.06$$
cm

On opte pour la hauteur du plancher $h_t = 20cm$

Dalle de compression = 4 cm.

Corps creux = 16 cm.

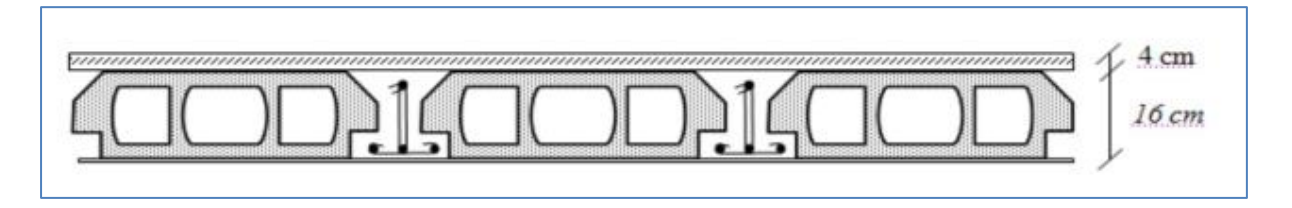


Figure.IV.2: Planchers à corps creux.

a) Les poutrelles :

Les poutrelles sont des sections en **T** en béton armé, servant à transmettre les charges réparties ou concentrées aux poutres principales, elles sont calculées en flexion simple.

> Dimensionnement des poutrelles

Détermination de la largeur de la table de compression :

D'après le BAEL.6.11:

$$L_{max}$$
= 384 cm

On a
$$b = 2b_1 + b_0$$

$$b_0 \ge [0.3 h_t; 0.4 h_t]$$

Avec:
$$h_t = 20 \text{ cm}$$

Donc on adopte $b_0 \ge [6; 8]$

$$\Rightarrow$$
 On adopte $b_0 = 10$ cm.

$$b_1 \ge \min \left[\frac{L_{max}}{2}; \frac{L_{max}}{10} \right]$$

Tel que : $L=b - b_0 = 65 - 10 = 55$ cm.

$$b_1 \ge min \left[\frac{55}{2}; \frac{384}{10}\right] = min (27,5; 38.4) cm;$$

On adopt

$$b_1 = 27.5$$
 cm.

$$b = 2b_1 + b_0 = 2(27.5) + 10 = 65 \text{ cm}.$$

$$\frac{L}{2} = 27,5$$
cm

$$b_0 = 10 \text{cm}$$

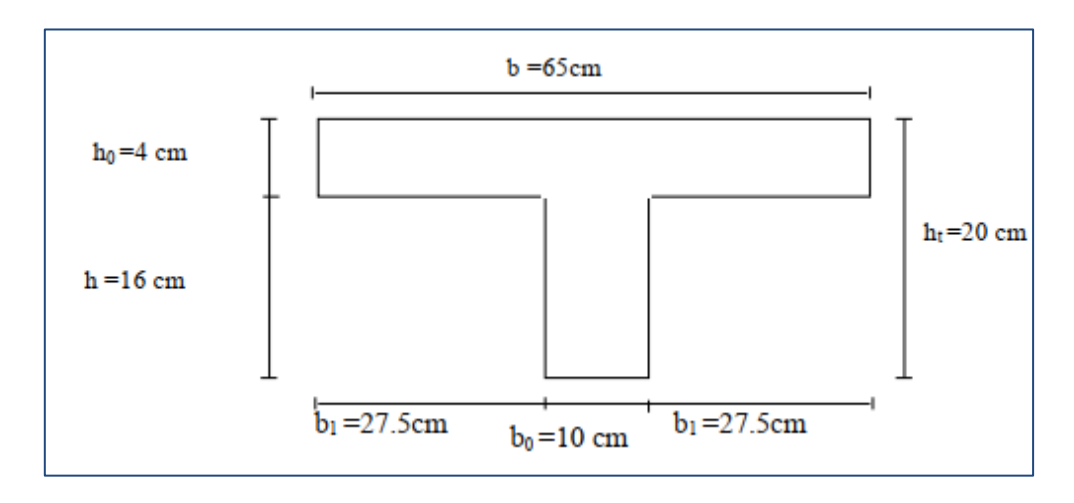


Figure. IV.3 : Schéma des poutrelles.

IV.2.1.2. Plancher dalle pleine:

Ce sont des planchers totalement en béton armé coulé sur place. Elles reposent sur 1, 2, 3, ou 4 appuis constitués par des poutres en béton armé.

L'épaisseur des dalles dépend le plus souvent beaucoup plus des conditions d'utilisation que des vérifications de résistance, on déduira donc l'épaisseur des dalles à partir des conditions ci-après :

a) Résistance au feu :

ightharpoonupe \geq 7 cm pour une heure de coup de feu.

ightharpoonup e \geq 11 cm pour deux heures de coup de feu.

ightharpoonup e \geq 17,5cm pour quatre heures de coup de feu.

Nous optons : e = 15cm.

b) Isolation phonique

Selon les règles techniques **CBA93** en vigueur en Algérie l'épaisseur du plancher doit être supérieure ou égale à 16 cm pour obtenir une bonne isolation acoustique. Nous limitons donc notre épaisseur à **15cm**.

c) Critère de résistance [5] :

- Si $\alpha = \frac{L_X}{L_y} < 0.4$ la dalle porte suivant sa petite portée uniquement et son calcul se fera comme pour une **poutre de 1 mètre de largeur**.
- Si $\alpha = \frac{L_X}{L_y} > 0.4$ La dalle porte suivant les 2 directions x et y, et c'est le cas pour lequel on pré dimensionne les planchers

Avec:

L_x: petite portée du plancher.

L_y : grande portée du plancher.

Dans tous les cas on a :

✓ Dalle pleine portant dans deux directions ($L_x/L_y > 0.4$):

• Travée isostatique : $L_x/40 \le h_0 \le L_x/25$

• Travée hyperstatique : $L_x/50 \le h_0 \le L_x/35$

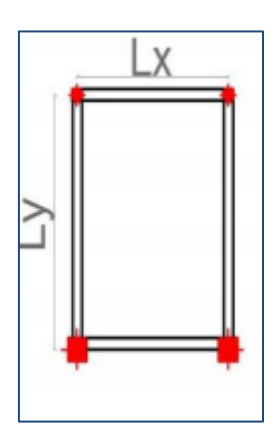
✓ Dalle pleine portant dans une direction $(L_x/L_y < 0.4)$:

• Travée isostatique : $L_x/30 \le h_0 \le L_x/20$

• Travée hyperstatique : $L_x/35 \le h_0 \le L_x/25$

 L_x étant la plus petite portée de panneau le plus sollicité (cas le plus défavorable). Dans notre cas les dalles reposant sur quatre appuis ont une portée

$$L_x = 3.84m$$
. $L_y = 4.70m$



Donc

 $\alpha = \frac{L_X}{L_y} = 0.82 > 0.4$ Le panneau isostatique porte dans les deux directions

Alors la dalle est reposée sur quatre appuis :

$$\frac{L_x}{30} \le h_0 \le \frac{L_x}{20}$$

$$\frac{384}{30} \le h_0 \le \frac{384}{20}$$

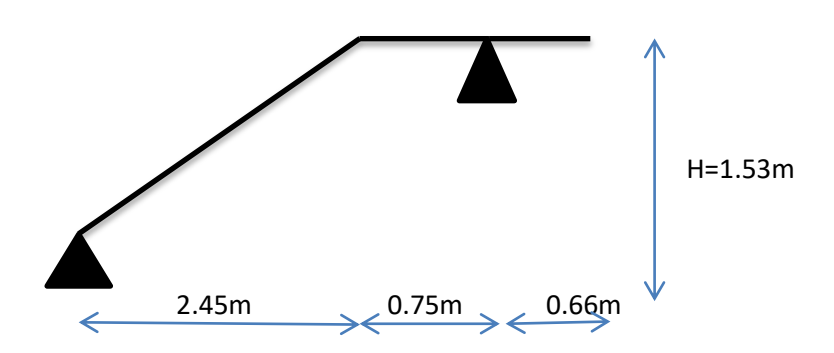
 $12.8 \le h_0 \le 19.2$

Choix final : Il faut satisfaire toutes les conditions précédentes :

Donc: $h_0 = 15cm$

IV.2.2. Les escaliers :

L'escalier est la partie d'ouvrage qui sert à assurer la liaison entre les différents niveaux d'une construction, est déterminé par sa montée, son emmarchement, son giron, sa hauteur de marche.



Pour le dimensionnement des marches (g) et les contre marche (h) on utilise la formule de **BLONDEL** :

$$59 < 2h + g < 66$$
.

Avec:

$$h = \frac{H}{n}$$

$$g = \frac{L}{n-1}$$

n : nombre de contre marche.

H: hauteur de la volée.

L : La projection de la longueur de volée.

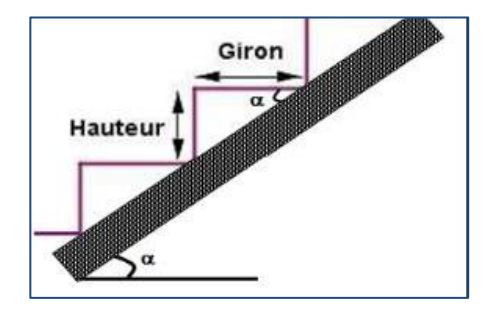


Figure. IV.4: Escalier

Soit: H = 1,53 m. et L = 2.45 m.

$$g+2h \approx 64$$
 \longrightarrow $2\frac{H}{n} + \frac{L}{n-1} = 64$ \longrightarrow $2H (n-1) + L_n \approx 0.64n (n-1)$

3.06 (n-1) + 2.45 n = 0.64 n (n-1)

Après la résolution, on trouve : n = 9 contres marches.

Donc on adopte:

$$h = 17 \text{ cm} = 0.17 \text{ m}$$

$$g = 30 \text{ cm} = 0.30 \text{ m}$$

n = H/h = 1.53/0.17 = 9 contre marches

Donc on aura: 8 marches

Détermination de l'épaisseur de la paillasse :

L'inclinaison de la paillasse

$$\tan \alpha = \frac{H}{L}$$
 \longrightarrow $\tan \alpha = \frac{153}{245} = 0.62$ \longrightarrow $\alpha = 31.98°$

La paillasse est une dalle appuyée sur deux côtés d'épaisseur e.

$$\frac{L_{max}}{30} \leq e \leq \frac{L_{max}}{20}$$

La longueur de volée

$$\cos\alpha = \frac{L}{L_{max}}$$

$$L_{max} = \frac{L}{\cos \alpha} + 0.75 + 0.66$$

 $L_{max} = 4.29 \text{m}$

$$\frac{429}{30} \le e \le \frac{429}{20}$$

 $14.3cm \le e \le 21.45cm$

On prend e = 16cm

IV.2.3. L'acrotère:

L'acrotère est un élément non structural, il sera calculé comme une console encastrée au niveau du plancher terrasse qui est la section dangereuse, d'après sa disposition, l'acrotère est soumis à une flexion composée due aux charges suivantes :

- Son poids propre sous forme d'un effort normal vertical.
- Une force horizontale due à une main courante Q=1kN/ml

Le calcul se fera pour une bande de 1m dans la section d'encastrement.

Les sollicitations à utiliser pour le calcul du ferraillage sont données dans le tableau suivant:

$$\gamma_b = 25000 \text{ N/m}^3$$

$$S = (0.6 \times 0.1) + (0.06 \times 0.1) + [(0.1 \times 0.04)/2] = 0.068 \text{ m}^2$$

Les dimensions de l'acrotère sont représentées sur la figure IV.5

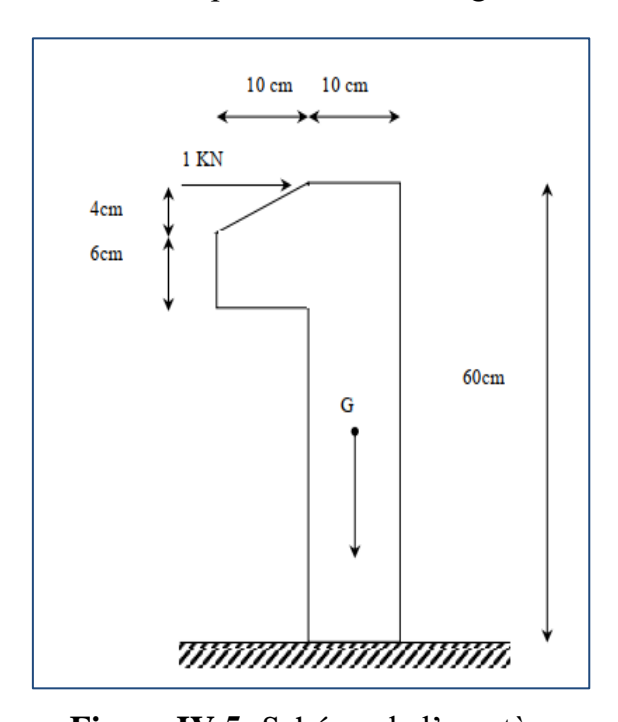


Figure IV.5: Schéma de l'acrotère

IV.2.4. Les Balcons:

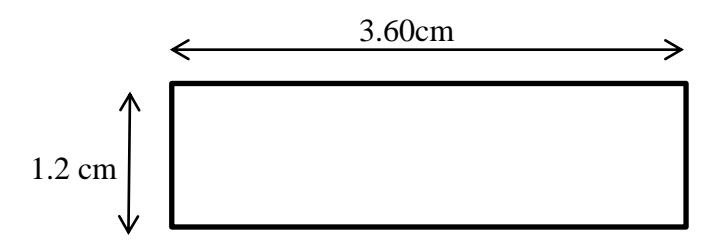


Figure IV.6: Schéma de balcon

•Epaisseur de balcon :

L'épaisseur de la dalle pleine de balcon selon les règles usuel de pré dimensionnement est conditionnée par :

$$e \ge \frac{L}{20}$$

Avec:

e : L'épaisseur de la dalle pleine de balcon.

L : la distance de l'extrémité de consol jusqu'à nu d'appui.

$$e \ge \frac{120}{20}$$
 $e \ge 6cm$

D'après condition de résistance au feu il faut que e ≥15cm

On adopte: e=15cm

IV.3. Pré-dimensionnement des éléments structuraux

IV.3.1. Les poutres

Ce sont des éléments en béton armé coulés sur place dont la portée est prise entre nus d'appuis. Leurs rôle est l'acheminement des charges et surcharges des planchers aux éléments verticaux (poteaux et voiles).

a.Les poutres principales

Selon le règlement **B.A.E.L 91 mode 99** les poutres seront pré dimensionné par la condition de la flèche et elles sont vérifiées par le R.P.A99 version 2003.

$$\frac{L_{max}}{15} \leq h_t \leq \frac{L_{max}}{10}$$

$$0.4h_t\!\leq b \leq 0.7h_t$$

Avec:

 h_t : hauteur de la poutre.

 L_{max} : distance maximale entre nus d'appuis ($\mathbf{L} = L_{max} = 4.80\mathbf{m}$)

D'où:

$$\frac{480}{15} \le \text{ht} \le \frac{480}{10}$$

$$32 \le ht \le 48$$

Donc: h_t =35cm et b=30cm

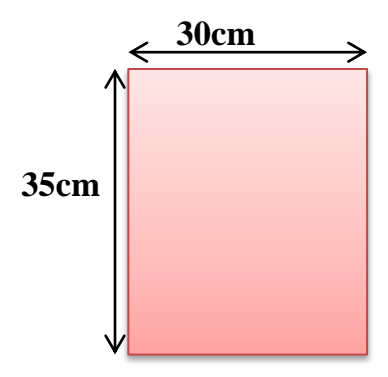


Figure. IV.7: La section de poutre principale.

• Vérification selon le RPA 99 version 2003(Article 7.5.1).[5]:

Pour la zone Iia:

Les dimensions des poutres doivent respecter les dimensions ci-après :

Ces conditions sont vérifiées donc on opte pour les l'ensemble des poutres principale les dimensions suivantes :

•
$$h = 35 cm$$

•
$$b = 30cm$$

b. Les poutres secondaires

$$\frac{L_{max}}{15} \le ht \le \frac{L_{max}}{10}$$

$$0.4h_t \le b \le 0.7h_t$$

Avec:

h_t: hauteur de la poutre. L_{max} : distance maximale entre nus d'appuis (L = L_{max} = 3.84m)

D'où:

$$\frac{384}{15} \le h_t \le \frac{384}{10}$$

$$23.2 \le h_t \le 38.4$$

Donc: $h_t=30cm$ et b=30cm

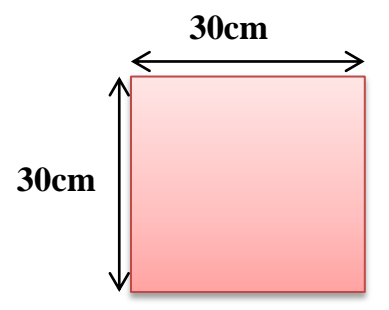


Figure. IV.8: La section de poutre secondaire.

•Vérification selon le RPA 99 version 2003(Article 7.5.1). [5]:

On doit vérifier les dimensions adoptées aux exigences du RPA (Art : 7.5.1 RPA 99 version 2003) qui sont les suivantes :

$$b \ge 20 \text{cm}$$
 $b = 30 \text{cm} \ge 20 \text{cm}$CV

Ces conditions sont vérifiées, donc on opte pour l'ensemble des poutres secondaires les dimensions suivantes:

- h = 30 cm
- b = 30 cm

IV.3.2 Les poteaux

Les poteaux se sont des éléments porteurs, leurs fonction principale est de reprendre les efforts dus aux charges du plancher. Le pré dimensionnement des poteaux se fera en fonction des sollicitations de calcul en compression simple à l'ELU.

Les dimensions de la section transversale des poteaux selon le RPA99, doivent satisfaire les conditions suivantes pour **la zone II a**

- Min (b, h) ≥ 30 cm
- Min (b, h) $\geq \frac{he}{20}$
- $0.25 \le \frac{b}{h} \le 4$

 h_e : Hauteur d'étage courant

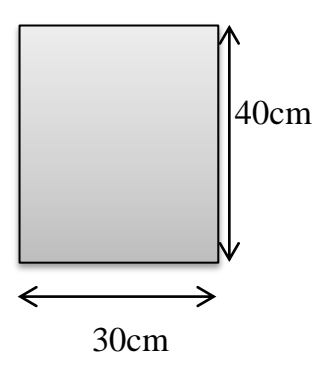


Figure. IV.9: La section de Poteaux.

On fixera les dimensions des poteaux après avoir effectué la descente de charge, tout en vérifiant les recommandations du RPA99/version 2003 citées ci-dessus. Les dimensions des poteaux supposées :

- RDC : Poteaux (40, 30) cm².
- 1^{er} , $2^{\text{ème}}$, $3^{\text{ème}}$, $4^{\text{ème}}$: Poteaux (40, 30) cm²

IV.3.3.Pré dimensionnement des voiles :

Les voiles sont des éléments rigides en béton armé coulés sur place. Ils sont destinés d'une part à reprendre une partie des charges verticales et d'autre part à assurer la stabilité de l'ouvrage sous l'effet des chargements horizontaux.

Leur pré dimensionnement se fera conformément à « Art 7.7.1 du RPA99 version 2003 ».

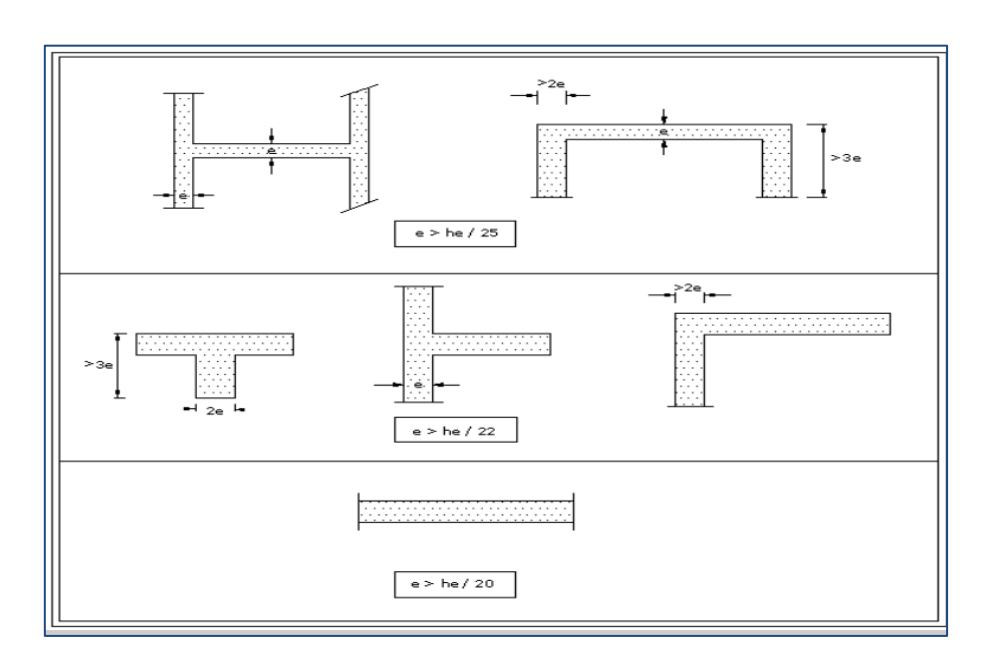


Figure.IV.10: Coupe d'un voile en élévation.

D'après cet article: "Les éléments satisfaisants la condition ($L \ge 4e$) sont considérés comme des voiles".

Avec:

h_e: Hauteur libre d'étage.

L : porté du voile.

e: épaisseur du voile.

Les voiles sont des murs en béton armé justifiant à l'article 7.7.1 de (RPA99). [5]:

 e_{min} = 15 cm

Avec:

A partir de la hauteur d'étage $h_e=306~{\rm cm}$ et de condition de rigidité aux extrémités suivantes : [5]

❖ Cas voiles à deux (02) extrémités rigides :

$$e \ge h/25 \rightarrow e \ge 306/25 \rightarrow e \ge 12.24 \text{ cm}$$

Cas à une (01) extrémité rigide :

$$e \ge h/22 \rightarrow e \ge 306/22 \rightarrow e \ge 13.90 \text{ cm}$$

* Cas voiles simples:

$$e \ge h/20 \rightarrow e \ge 306/20 \rightarrow e \ge 15.30$$
cm

Alors: $e \ge max$ (e_{min} , $h_e/25$; $h_e/22$; $h_e/20$)

 \Rightarrow e \geq max (15; 12.24; 13.90; 15.30) cm

Donc: $e \ge 15.30$ cm.

On adopte pour tous les voiles une épaisseur de: 15cm

IV.4. Evaluation des charges :

Les charges permanentes G et les surcharges d'exploitations Q sont évaluées selon le

D.T.R.B.C.22

IV.4.1: Plancher

- a. Plancher étage courant :
- 1. Carrelage
- 2. Mortier de pose
- 3. Lit de sable
- 4. Plancher à corps creux.
- 5. Enduit en plâtre.

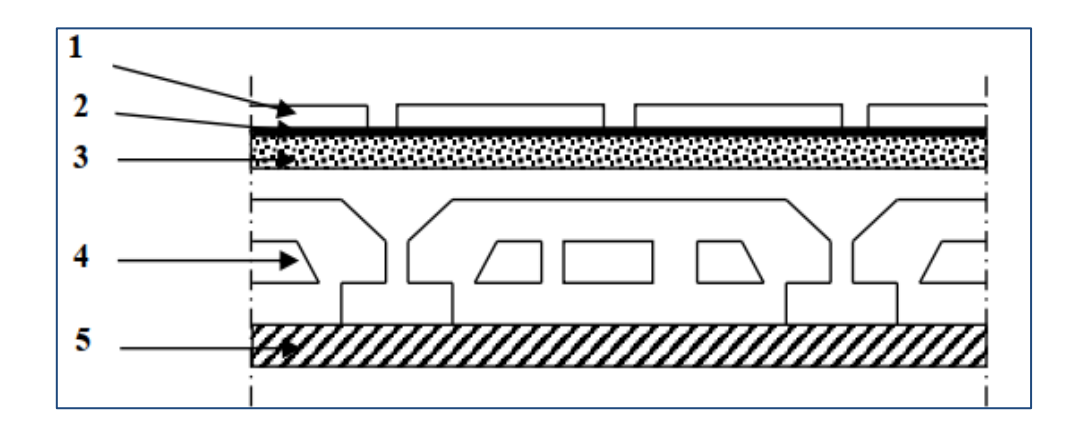


Figure IV.11:Plancher étage courant.

❖ Charge permanente (DTR B.C 2.2): [13]

Tableau.IV.1: Charge permanente et d'exploitation d'étage courant à corps creux

N°	Désignation	e (m)	γ (KN/m ³)	Charge (KN/m²)
1	Cloison en brique	0.1	10	1
2	Carrelage	0.02	20	0.4
3	Mortier de pose	0.02	20	0.4
4	Lit de sable	0.03	18	0.54
5	Plancher à corps creux	0.2	14	2.8
6	Enduit en plâtre	0.02	10	0.2
			Charge permanente	$G_E = 5.34$
			Surcharge d'exploitation	$Q_E = 1.5$

b. Plancher terrasse:

- 1. Gravillon de protection.
- 2. Etanchéité multicouches.
- 3. Béton de pente.
- 4. Isolation thermique.

5. Plancher à corps creux.

6. Enduit en plâtre

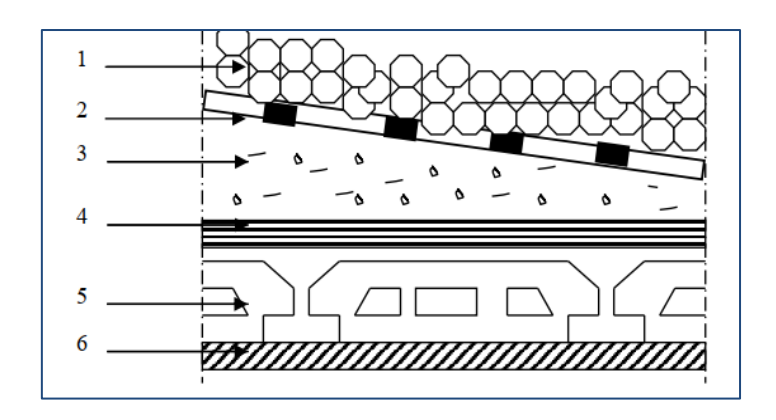


Figure.IV.12: Plancher à corps creux de terrasse.

❖ Charge permanente et d'exploitation (DTR B.C 2.2) : [13]

Tableau.IV.2 : Charge permanente de terrasse à corps creux.

N°	Désignation	e (m)	$\gamma (KN/m^3)$	Charge (KN/m²)
1	Gravillon de protection	0.05	20	1
2	Etanchéité multicouches	0.02	6	0.12
4	Forme de pente	0.08	20	1.6
3	Isolation thermique	0.04	4	0.16
5	Dalle à corps creux	0.20	14	2.8
6	Enduit en plâtre	0.02	10	0.2
			Charge permanente totale	$G_T = 5.88$
			Surcharge d'exploitation	$Q_T = 1$

IV.4.2. Balcon:

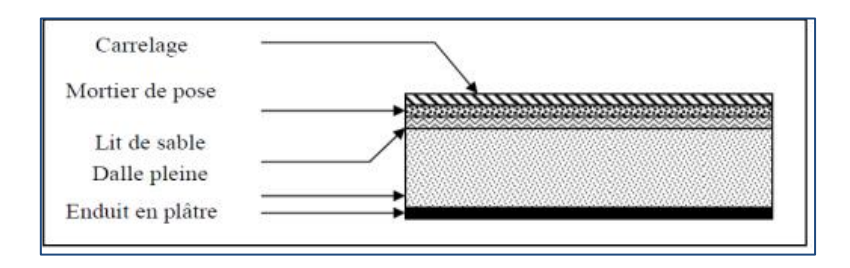


Figure IV.13: Balcon.

Tableau.IV.3 : Charge permanente et d'exploitation de balcon.

Désignation	e (m)	$\gamma (KN/m^3)$	Charge (KN/m²)
Carrelage	0.02	20	0.4
Mortier de pose	0.02	20	0.4
Lit de sable	0.03	18	0.54
Dalle	0.15	25	3.75
Enduit en ciment	0.02	18	0.36
		Charge permanente totale	$G_b = 5.45$
		Surcharge d'exploitation	$Q_b = 3.5$

IV.4.3. Murs:

a. Murs extérieurs:

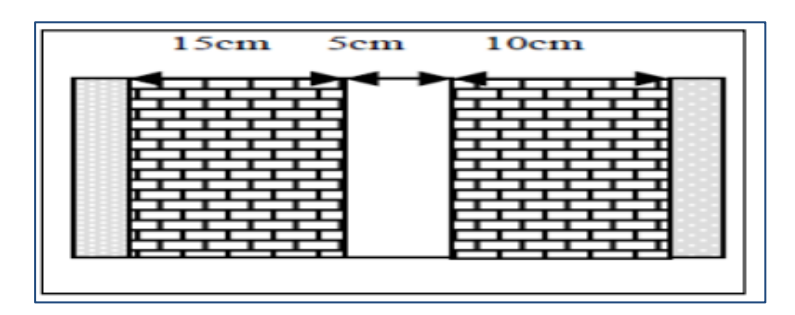


Figure IV.14: Murs extérieurs.

Tableau.IV.4: Charge permanente de cloisons extérieures.

Désignation	e (m)	$\gamma (KN/m^3)$	Charge (KN/m²)
Enduit de ciment (extérieur)	0.02	18	0.36
Brique creux de 15	0.15	9	1.35
Lame d'air	0.05	-	-
Brique creux de 10	0.1	9	0.9
Enduit plâtre (intérieure)	0.02	10	0.2
		Charge permanente totale	$G_{\rm E}=2.81$

b. Murs intérieurs :

Tableau IV.5 : Evaluation des charges de cloisons intérieures.

Désignation	Epaisseur (m)	Densité (KN/m³)	G (KN/m ²)
Enduit extérieur en ciment	0.02	18	0.36
Brique creuse	0.1	9	0.9
Enduit intérieur en ciment	0.02	18	0.36
		TOTAL	1.62

IV.4.4. L'escalier:

a. La paillasse RDC + EC

Tableau.IV.6: Charge permanente et d'exploitation de la paillasse.

Désignation des éléments	Epaisseur (m)	Densité (KN/m ³)	Poids (KN/m ²)
Carrelage verticale	0.02	20	0.40
Carrelage horizontale	0.02	20	0.40
Mortier de pose	0.02	20	0,40
Lit de sable	0.02	18	0,36
Paillasse	$0.16/\cos\alpha$	25	4.71
Gardes corps	//	//	1.0
Marches	0.17*(1/2)	22	1,87

Chapitre IV: Pré dimensionnement des éléments et évaluation des charges

Enduit de plâtre	0.02	10	0.2
	Charge permanente totale		G = 9.34
	Surcharge d'exploitation		Q = 2,50

b.Palier:

Tableau IV.7: Evaluation des charges du palier

Désignation des éléments	Epaisseur (m)	Densité (KN/m³)	Poids (KN/m ²)
Carrelage	0.02	20	0.4
Mortier de pose	0.02	20	0.4
Lit de sable	0.02	18	0.36
Dalle en BA	0.16	25	4
Enduit ciment	0.02	10	0.2
	Charge permanente totale		G = 5.36
	Surcharge d	Q = 2,50	

IV.4.5 Acrotère:

 $S = 0.068 \text{ m}^2$

Le poids propre de l'acrotère est:

 $P = (0.068 \times 25) = 1.70 KN/m$

G = 1.70 KN/m

Q = 1.00 KN/m

IV.5. Descente de charges

Afin d'assurer la résistance et la stabilité de l'ouvrage, une distribution des charges et surcharges pour chaque élément nécessaire. La descente des charges permet l'évaluation de la plupart des charges revenant à chaque élément de la structure, on aura considéré :

- le poids propre de l'élément.
- la charge de plancher qu'il supporte.

- la part de cloison répartie qui lui revient.
- les éléments secondaires (escalier, acrotère...)

La descente de charge se fait du niveau le plus haut (charpente ou toiture terrasse) vers le niveau inférieur et cela jusqu'au niveau le plus bas (les fondations). Nous appliquons les lois de dégression uniquement pour les étages à usages d'habitation.

• Surcharges différentes selon la loi de dégression

-Sous la terrasse : Q₀

-Sous le première étage à partir du sommet : Q₀+Q₁.

-Sous le deuxième étage : $Q_0+0.95*(Q_1+Q_2)$.

-Sous troisième étage : $Q_0+0.90*(Q_1+Q_2+Q_2)$.

-Pour n étage :
$$Q_0 + \frac{3+n}{2+n} * (Q_1 + Q_2 + Q_3 + Q_4 + \dots + Q_n)$$
.

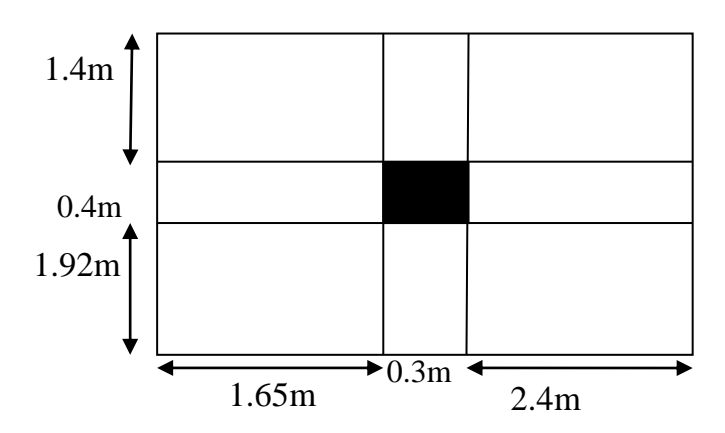


Figure IV.15: Surface afférente du poteau.

La surface afférente :

$$S = (1.65*1.92) + (1.92*1.4) + (2.4*1.92) + (2.4*1.4) = 13.446m^{2}$$
.

Plancher terrasse:

$$\begin{cases} G = 13.446 * 5.88 = 79.062 \, KN \\ Q = 13.446 * 1 = 13.446 \, KN \end{cases}$$

Plancher étages:

$$\begin{cases} G = 13.446 * 5.34 = 71.802 \, KN \\ Q = 13.446 * 1.5 = 20.169 \, KN \end{cases}$$

Les poutres :

$$\begin{cases} G_{pp} = 4.05 * 0.3 * 0.35 * 25 = 10.631 KN \\ G_{PS} = 3.32 * 0.30 * 0.30 * 25 = 7.47 KN \end{cases}$$

a) Poteaux:

$$G_{Pot} = S. 25. H_e$$

Tableau IV.8: Évaluation des poids propres des poteaux.

Étage	RDC
$S(m^2)$	0.12
Gp	9.18

•Application de la dégression

- Un bâtiment en béton armé (R+4) à usage d'habitation :
- Plancher RDC Q=1.5 KN/m².
- Plancher 1^{er} au 4^{éme} (habitations) Q=1,5 KN/m².
- Plancher terrasse (non accessible) Q=1 KN/m².

Comme les charges d'exploitation n'agissent pas en même temps, alors on applique la loi de dégression.

On a le nombre d'étage est supérieur à 5, donc le coefficient $(\frac{3+n}{2n})$ étant valable, et on obtient les valeurs suivantes : La loi de dégression ne s'applique pas pour les planchers à usage commercial, les charges vont se sommer avec leurs valeurs réelles (sans coefficients).

Tableau IV.9: Dégression des charges d'exploitation

Niveau	Dégression des charges par niveau	La charge (KN/m ²)
4	$Nq_0=1,00$	1
3	$Nq_1 = q_0 + q_1$	2.5
2	$Nq_2=q_0+0.95 (q_1+q_2)$	3,85
1	$Nq_3=q_0+0.90(q_1+q_2+q_3)$	5,05
RDC	$Nq_4=q_0+0.85 (q_1+q_2+q_3+q_4)$	6,1

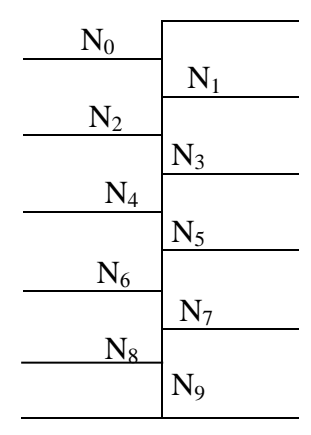


Figure IV.16: Schéma statique de la descente de charge.

• Descente de charges

Tableau IV.10 : Descente de charge du poteau.

Niveau	Éléments	G(KN)	Q(KN)
N_0	Plancher terrasse G_{pp} (30 x 35) cm ² G_{ps} (30 x 30) cm ²	79.062 10.631 7.47	
	Total	97.163	13.446
N_1	Venant N ₁ Poteau (30 x 40) cm ²	97.163 9.18	
	Total	106.343	
N_2	Venant N ₂ Plancher étage G_{pp} (30 x 35) cm ² G_{ps} (30 x 30) cm ²	106.34 71.802 10.631 7.47	
	Total	196.246	33.615
	Venant N ₃	196.246	

Chapitre IV: Pré dimensionnement des éléments et évaluation des charges

N_3	Poteau (30 x 40) cm ²	9.18	
113	Total	205.426	
N_4	Venant N ₄ Plancher étage G_{pp} (30 x 35) cm ² G_{ps} (30 x 30) cm ²	205.426 71.802 10.631 7.47	
	Total	295.329	51.767
N_5	Venant de N ₅ Poteau (30 x 40) cm ²	295.329 9.18	
	Total	304.509	
	Venant de N ₆ Plancher étage	304.509 71.802	
N_6	G_{pp} (30x 35) cm ² G_{ps} (30 x 30) cm ²	10.631 7.47	
	Total	394.412	67.902
N_7	Venant de N ₇ Poteau (30x 40) cm ²	394.412 9.18	
	Total	403.592	100.71
N_8	Venant de N ₈ Plancher étage G_{pp} (30x 35) cm ² G_{ps} (30 x 30) cm ²	403.592 71.802 10.631 7.47	
	Total	493.495	
N ₉	Venant de N ₉ Poteau (30 x 40) cm ²	493.495 9.18	
	TOTAL	502.675	82.021

***** Les vérifications nécessaires

a) Poteau RDC:

• L'effort normal ultime

 N_u =1.35G + 1.5Q =1.35*502.6075+1.5*82.021=810.642KN

Selon le CBA93 (article B.8.11) on doit majorer l'effort normal de compression ultime N_u de **15%** tel que: N_u = 1.15*(1.35G+1.5Q).

Donc: $N_u = 1.15*810.642 = 932.238KN$.

• Vérification à la compression simple :

On doit vérifier la condition suivante :

$$\frac{N_u}{R} \le 0.6 \times f_{c28}$$

Avec:

B: Section de béton.

$$B \ge \frac{N_u}{0.6*f_{c28}} \Longrightarrow B \ge \frac{932.238*10^{-3}}{0.6*25} = 0.062m^2$$

On a: $B = 0.12 \text{ m}^2$

 $B = 0.12 \text{ m}^2 > 0.062 \text{ m}^2$ Condition vérifiée.

• Vérification au flambement:

On doit faire la vérification suivante :

$$N_u \le \alpha \times \left[\frac{B_r \times f_{c28}}{0.9 \times \gamma_b} + \frac{A_S \times f_e}{\gamma_S} \right]$$

$$B_{r} \geq \frac{N_{u}}{\alpha * \left(\frac{f_{c28}}{0.9 * \gamma_{b}} + \frac{A_{s} * f_{e}}{B_{r} * \gamma_{s}}\right)}$$

B_r: Section réduite du béton.

A_s: Section des armatures.

 γ_b : Coefficient de sécurité de béton

 γ_s : Coefficient de sécurité des aciers.

 α : Coefficient en fonction de l'élancement λ .

$$\alpha = \begin{cases} \frac{0.85}{1 + 0.2 \times (\frac{\lambda}{35})^2} \to 0 < \lambda \le 50 \\ 0.6 \times (\frac{50}{\lambda})^2 \to 50 < \lambda \le 70 \end{cases}$$

On calcule l'élancement $\lambda = \frac{l_f}{l_f}$

 l_f : Longueur de flambement.

 l_0 : Longueur de poteau.

i: Rayon de giration $i = \sqrt{\frac{I}{R}}$

I: Moment d'inertie $I = \frac{b_1 \times h_1^3}{12}$

 $l_f = 0.7 * l_0 = 0.7 * 3.06 = 2.142 m$

 $B=0.12m^2$

$$I = \frac{0.0128}{12} = 0.107 * 10^{-2} m^4$$

$$i = \sqrt{\frac{0.107 * 10^{-2}}{0.12}} = 0.094$$

$$\lambda = \frac{2.142}{0.094} = 22.78 < 50 \Rightarrow \alpha = \frac{0.85}{1 + 0.2 * \left(\frac{22.78}{35}\right)^2} = 0.783$$

D'après le BAEL91 on doit vérifier :

$$B_{r} \ge \frac{\text{Nu}}{\alpha * \left(\frac{fc28}{0.9 * \gamma_{b}} + \frac{A * f_{e}}{B_{r} * \gamma_{s}}\right)} \Rightarrow$$

$$B_{r} \ge \frac{\text{Nu}}{\alpha * \left(\frac{fc28}{0.9 * \gamma_{b}} + \frac{A * f_{e}}{B_{r} * \gamma_{s}}\right)} \Rightarrow B_{r} \ge \frac{932.238 * 10^{-3}}{0.783 * \left(\frac{25}{0.9 * 1.5} + \frac{8 * 400}{1000 * 1.15}\right)} = 0.055 m^{2}$$

$$A_s = 0.7\% \times B_r$$
....Zone I

$$A_{s} = 0.8\% \text{ x B}_{r}.....Zone II a$$

$$A_s = 0.9\% \text{ x B}_r....Zone II b$$

$$A_{s} = 0.9\% \text{ x B}_{r}.....Zone III$$

Nous avons:

$$B_r = (30-2) * (40-2)*10^{-4} = 0.1064 \text{ m}^2$$

 $0.1064 \text{ m}^2 > 0.055 \text{ m}^2$ donc le poteau ne risque pas de flamber.

IV.6. Conclusion:

Après avoir pré dimensionné tous les éléments structuraux et que nous avons fait toutes les vérifications nécessaires, on a opté pour les sections suivantes :

Poutres principales: $b \times h = (30 \times 35) \text{ cm}^2$

Poutre secondaire: $b \times h = (30 \times 30) \text{ cm}^2$

Poutre palière : $b \times h = (30 \times 30) \text{ cm}^2$

Balcon: e=15cm

Escalier: e=16cm

Poteaux: (30×40) cm²

Voile : e= 15cm

Chapitre V: Présentation du logiciel Robot et étude sismique

V.1 Introduction:

Le séisme est le phénomène naturel le plus destructeur et le plus difficile à prédire quand et où il frappe, et avec quelle intensité vas secouer nos constructions. Le séisme correspond à des vibrations du sol provoqué une vibration soudaine d'énergie de déformation accumulée la croûte terre ou dans la couche sous-jacente appelée manteau. Ce phénomène naturel peut creuser des pertes humaines et matérielles ce qui rond l'étude de comportement de structure sons l'effet des actions dynamique dues au séisme est obligatoire et doit être justifie selon les règles parasismique algériennes. Notre travail, consiste en l'étude et la conception d'un bâtiment (R+4) à usage d'habitation contreventé par portiques, est implanté à **Mila.** C'est une zone classée par le RPA 99/version 2003 comme zone sismicité moyenne (Zone IIa: sismicité moyenne) et dans un site ferme (S3).

V.2 Buts de l'analyse dynamique :

- Détermination des caractéristiques dynamiques propres de la structure.
- Déterminer les modes et les périodes propres. ROBOT considère un modèle brochette encastré à la base où les masses sont considéré concentrées au niveau de chaque plancher.
- La masse des planchers est calculée de manière à inclure une partie de la surcharge d'exploitation..... (β=0,2) Tab.4.5. RPA99-v2003.

V.3. Présentation des différentes méthodes d'estimation Des forces sismiques :

SelonRPA99/version2003 le calcul des forces sismiques peut être mené suivant trois méthodes :

- La méthode statique équivalente.
- La méthode d'analyse modale spectrale.
- La méthode d'analyse dynamique par accéléro-gramme.

V.3.1 Méthode statique équivalente: (Article 4.2 du RPA99/2003) [5]

a. Principe:

Les forces réelles dynamiques qui se développent dans la construction sont remplacées par un système de forces statiques fictives dont les effets sont considérés à ceux de l'action sismique.

Les forces sismiques horizontales équivalentes seront considérées appliquées successivement suivant deux directions des axes principales du plan horizontal. Le mode fondamental de vibration de la structure est à considérer dans le calcul de la force sismique totale.

b. Conditions d'application :

b.1. Le bâtiment ou le bloc étudié, satisfaisait aux conditions de régularité en plan et en élévation prescrites au chapitre III, paragraphe 3.5 (RPA99/Version 2003) avec une hauteur au plus égale à 65 m en zones I et II et à 30m en zones III.

b.2. Le bâtiment ou bloc étudié présente une configuration irrégulière tout en respectant, outres les conditions de hauteur énoncées en a), les conditions complémentaires suivantes :

• **Zone I :** Tous groupes.

• Zone II:

- o Groupe d'usage 3
- O Groupe d'usage 2 Si la hauteur est inférieure ou égale à 7 niveaux ou 23m.
- Groupe d'usage 1B : Si la hauteur est inférieure ou égale à 5 niveaux ou
 17m.
- o Groupe d'usage 1A : Si la hauteur est inférieure ou égale à 3 niveaux ou 10m.

• Zone III:

o Groupes d'usage 3 et 2 : Si hauteur est inférieure ou égale à 5 niveaux ou 17m.

- Groupe d'usage 1B : Si la hauteur est inférieure ou égale à 3 niveaux ou
 10m.
- Groupe d'usage 1A : Si la hauteur est inférieure ou égale à 2 niveaux ou
 8m.

c. Méthode de modélisation :

- Le modèle du bâtiment à utiliser dans chacune des deux directions de calcul est plan avec les masses concentrées au centre de gravité des planchers et un seul degré de liberté en translation horizontale par niveau sous réserve que les systèmes de contreventement dans les deux (2) directions puissent être découplés.
- La rigidité latérale des éléments porteurs du système de contreventement est calculée à partir de sections non fissurées pour les structures en béton armé ou en maçonnerie.
- Seul le mode fondamental de vibration de la structure est à considérer dans le calcul de la force sismique totale.

V.3.2 Méthode dynamique modale spectrale : [5]

a. Principe de la méthode dynamique modale spectrale :

Par cette méthode, il est recherché pour chaque mode de vibration, le maximum des effets engendrés dans la structure par les forces sismiques représentées par un spectre de réponse de calcul. Ces effets sont par la suite combinés pour obtenir la réponse de la structure.

b. Modélisation:

- **b.1.** Pour les structures régulières en plan comportant des planchers rigides, l'analysées faite séparément dans chacune des deux directions principales du bâtiment. Celui-ci est alors représenté dans chacune des deux directions de calcul par un modèle plan, encastré à la base et où les masses sont concentrées au niveau des centres de gravité des planchers avec un seul DDL en translation horizontale.
- **b.2.** Pour les structures irrégulières en plan, sujettes à la torsion et comportant des planchers rigides, elles sont représentées par un modèle tridimensionnel, encastré à la

base et où les masses sont concentrées au niveau des centres de gravité des planchers avec trois (03) DDL (2 translations horizontales et une rotation d'axe vertical).

- **b.3.** Pour les structures régulières ou non régulières comportant des planchers flexibles, elles sont représentées par des modèles tridimensionnels encastrés à la base et à plusieurs DDL par plancher.
- **b.4.** La déformabilité du sol de fondation doit être prise en compte dans le modèle toutes les fois où la réponse de la structure en dépend de façon significative.
- **b.5.** Le modèle de bâtiment à utiliser doit représenter au mieux les distributions des rigidités et des masses de façon à prendre en compte tous les modes de déformation significatifs dans le calcul des forces d'inertie sismiques (ex : contribution des zones nodales et des éléments non structuraux à la rigidité du bâtiment).
- **b.6.** Dans le cas des bâtiments en béton armé ou en maçonnerie la rigidité des éléments porteurs doit être calculée en considérant les sections non fissurées. Si les déplacements sont critiques particulièrement dans le cas de structures associées à des valeurs élevées du coefficient de comportement, une estimation plus précise de la rigidité devient nécessaire par la prise en compte de sections fissurées.

V.4. Présentation générale du logiciel Robot Structural Analysis

V.4.1. Introduction

Le logiciel **Autodesk Robot Structural Analysis** (nommé **Robot** dans le fichier d'aide entier) est un progiciel CAO/DAO destiné à modéliser, analyser et dimensionner les différents types de structures. Le logiciel **Robot** permet de créer les structures, les calculer, vérifier les résultats obtenus, dimensionner les éléments spécifiques de la structure ; La dernière étape gérée par Robot est la création de la documentation pour la structure calculée et dimensionnée.

V.4.2. Caractéristiques principales du logiciel Robot

Selon le manuel d'utilisation de ce logiciel, les principales caractéristiques de ce dernier permettent d'effectuer plusieurs taches, à savoir :

Définition de la structure réalisée en mode entièrement graphique dans
 l'éditeur conçu à cet effet (vous pouvez aussi ouvrir un fichier au format

DXF et importer la géométrie d'une structure définie dans un autre logiciel CAO/DAO).

- Présentation graphique de la structure étudiée et de représenter à l'écran les différents types de résultats de calcul (efforts, déplacements, travail simultané en plusieurs fenêtres ouvertes etc.);
- Calculer (dimensionner) une structure et d'en étudier simultanément une autre (architecture multithread);
- Effectuer l'analyse statique et dynamique de la structure ;
- Composer librement les impressions (notes de calcul, captures d'écran, composition de l'impression, copie des objets vers les autres logiciels).

V.4.3. Espace de calcul [14]

V.4.3.1. Lancement du programme Robot

Lors de l'installation du logiciel Robot, le programme d'installation crée un dossier dans le menu Démarrage de Windows. De même, une icône est créée sur le bureau de l'ordinateur.

Afin de lancer le logiciel **Robot**: Dans le menu Démarrage de Windows sélectionnez le dossier créé lors de l'installation Robot Office) et, ensuite, sélectionnez la commande Autodesk ® Robot Structural Analysis ou bien, cliquez sur l'icône du

logiciel Robot pro affichée sur le bureau de votre ordinateur. Après le lancement du système Robot (pour cela, cliquez sur l'icône appropriée affichée sur le bureau ou sélectionnez la commande appropriée dans la barre des tâches), il s'affiche la fenêtre (Figure V.1) dans laquelle :

- 1. Vous pouvez choisir l'affaire existant de la structure (option projet) :
- 2. Il est possible de sélectionner l'une des affaires dernièrement éditées



3. Vous pouvez choisir une affaire enregistrée sur le disque dur (option Ouvrir projet).

- 4. Vous pouvez commencer le travail avec une nouvelle affaire (option Nouveau projet).
- 5. Il est possible de sélectionner l'un des types des structures par défaut (conception

Nouveau projet

D) Avancé... utilisés pour

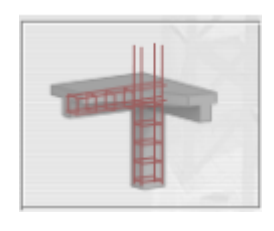
d'un bâtiment, d'une plaque, coque ou portique 3D) les dernières affaires.

6. Vous pouvez choisir un nouveau type de projet (option Avancé...)



Figure V.1: Lancement du programme Robot

Après la sélection de l'option Avancé 6, la fenêtre ci-dessous s'affiche (Figure V.2). Dans cette fenêtre vous pouvez définir le type de la structure à étudier, ouvrir une structure existante ou charger le module permettant d'effectuer le dimensionnement de la structure



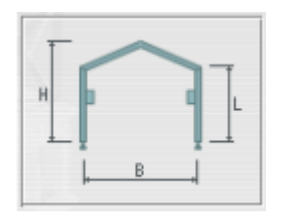
Dimensionnement des éléments des structures BA



Dimensionnement assemblages
Acier



Etude des profilés des barres (pleins ou à parois minces)



Création d'une structure type simple

Figure V.2: Types des structures [14]

V.4.3.2. L'environnement de travail [14]

Une fois un type de structure sélectionné de la Figure V.2, vous arrivez à l'écran représenté sur la Figure V.3 avec un certain nombre de zones utiles à connaître pour le déroulement de votre modélisation et de l'exploitation des résultats

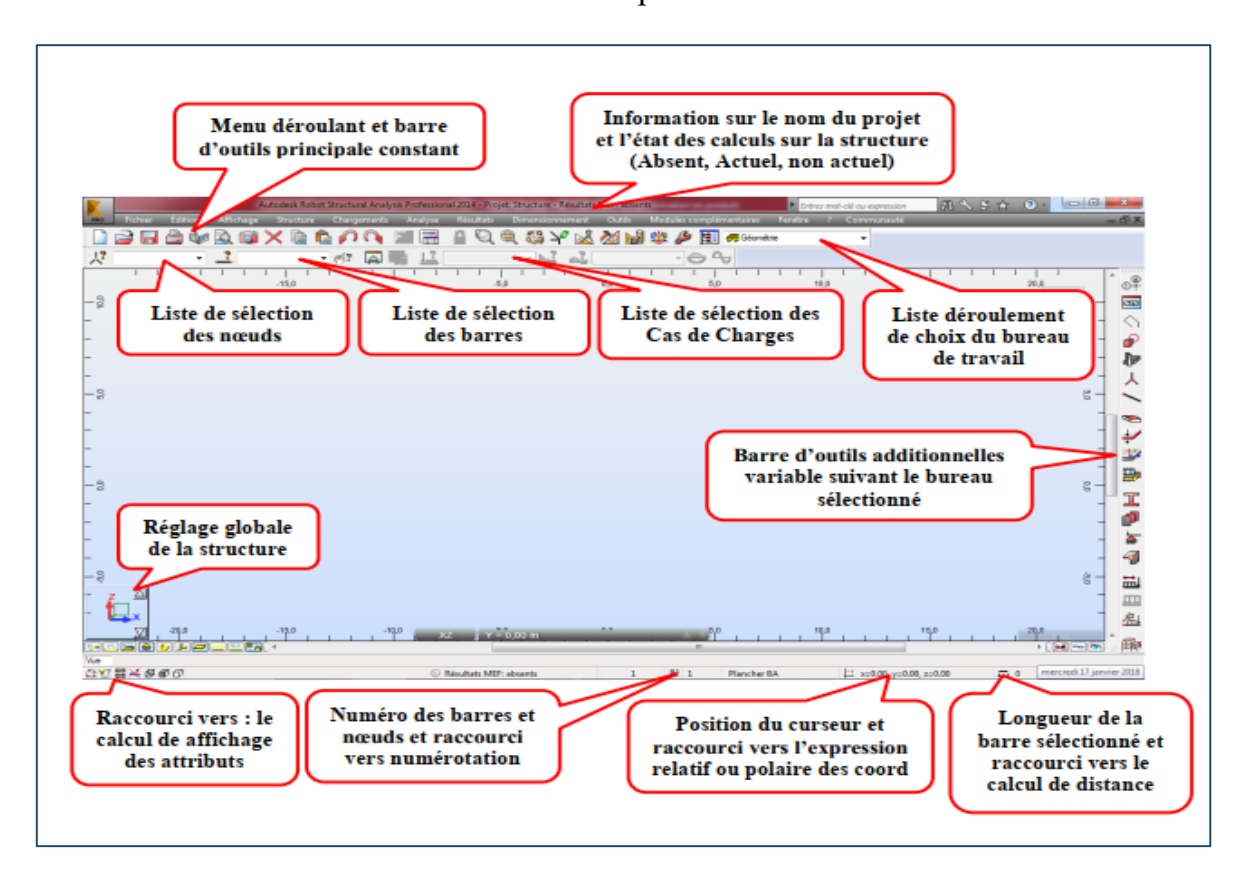


Figure V.3 : Environnement de travail

V.4.3.3. Présentation de l'interface [14]

Les principales fonctions de l'interface utilisateur sont répertoriées sur la Figure V.4.

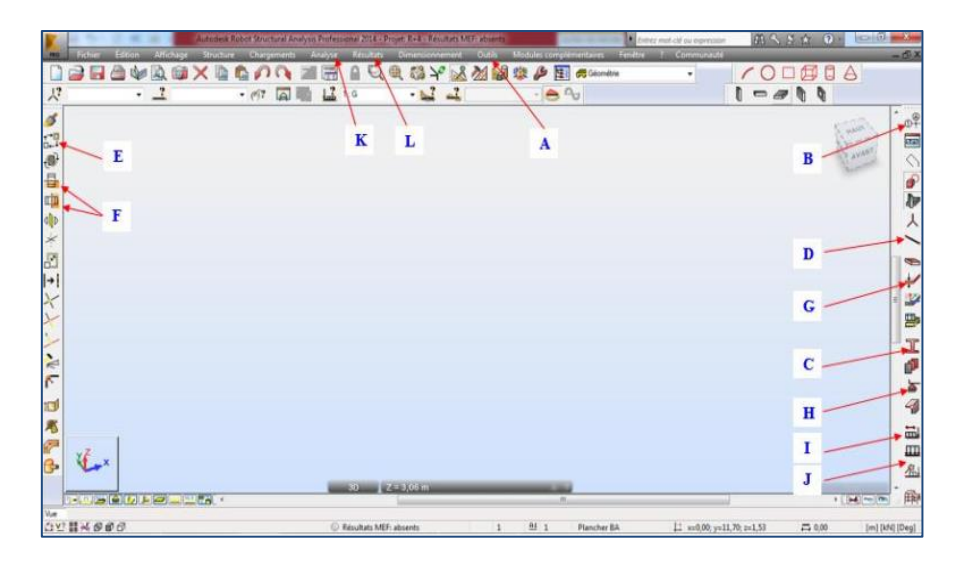


Figure V.4: Interface du logiciel Robot Structural Analysis

V.4.3.5. Réglage des préférences

Les préférences de la tâche (A) vous permettent de changer le fond de votre étude à savoir les unités, les matériaux, les normes, etc.

V.4.3.5.1. Préférences de la tâche

Accède dans le menu déroulant Outils 1 /préférences de la tâche 2 (Figure V.5). On navigue dans l'arborescence de ROBOT afin de régler les différentes unités de Forces, Dimensions et Normes

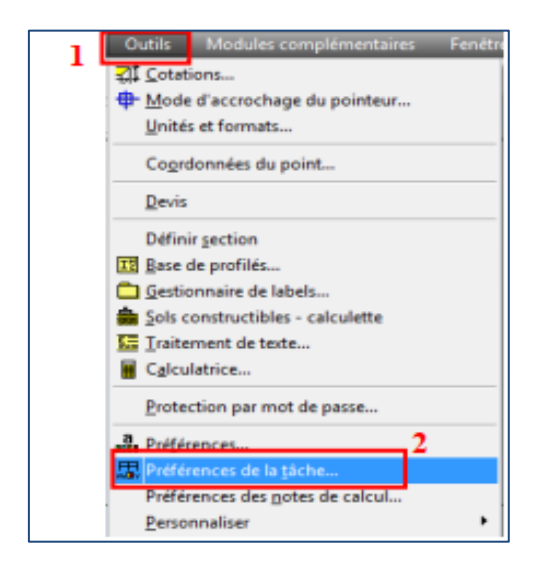


Figure V.5 : Préférences de la tâche

V.4.3.5.2. Réglage des unités

La fenêtre de réglage des unités **3** est présentée sur la Figure **V.6** ci-dessous. Les indications à droite des entrées d'unités correspondent au nombre de chiffres après la virgule souhaitée **4**.

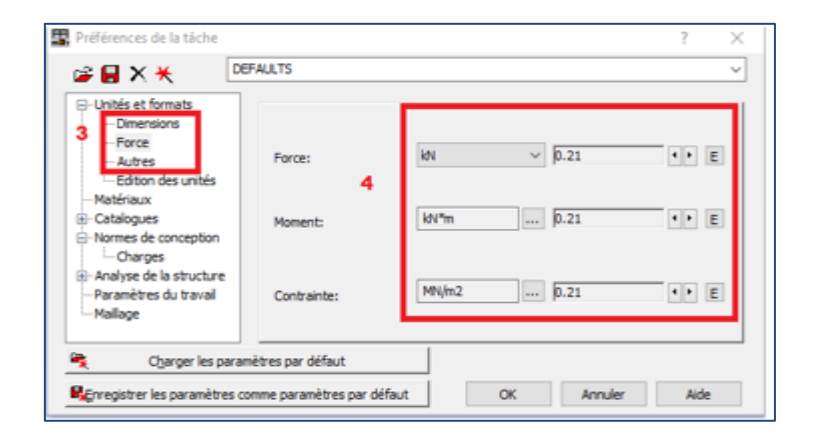


Figure V.6 : Réglage des unités

V.4.3.5.3. Matériaux

La fenêtre des préférences relatives aux matériaux est présentée dans les Figures V.7 a et V.7 b ci-après. Pour consulter les caractéristiques des matériaux, les modifier ou même rajouter un matériau, vous devez sélectionner dans l'arborescence Matériaux 1 et cliquez sur le bouton Modifier 2. Il suffit alors de consulter ou de modifier les données en faisant Ajouter pour valider les modifications.

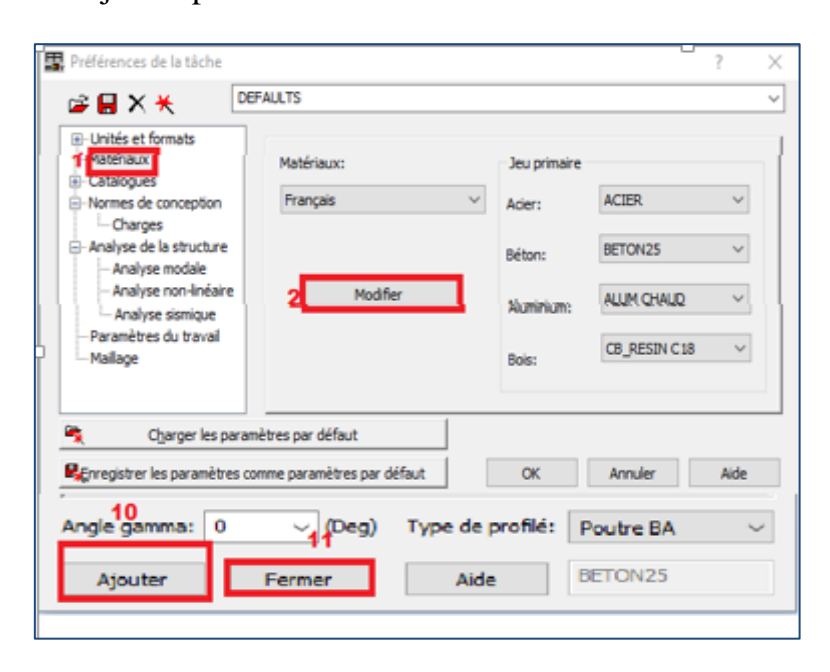


Figure V.7 a : Choix des matériaux

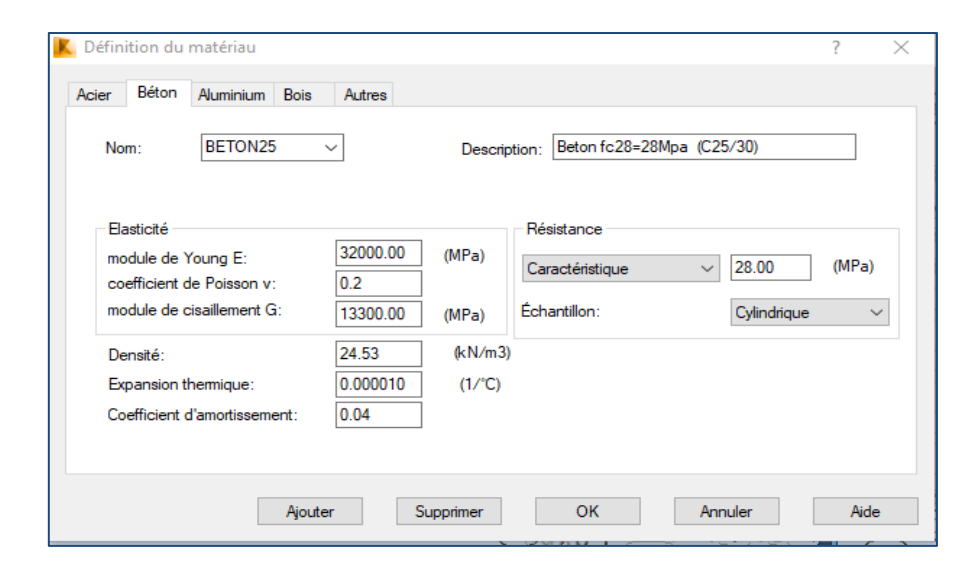


Figure V.7 b : Choix des matériaux

V.4.3.5.4. Réglage des normes

La fenêtre de réglage des normes est présentée sur les figures V.8a et V.8b ci-après :

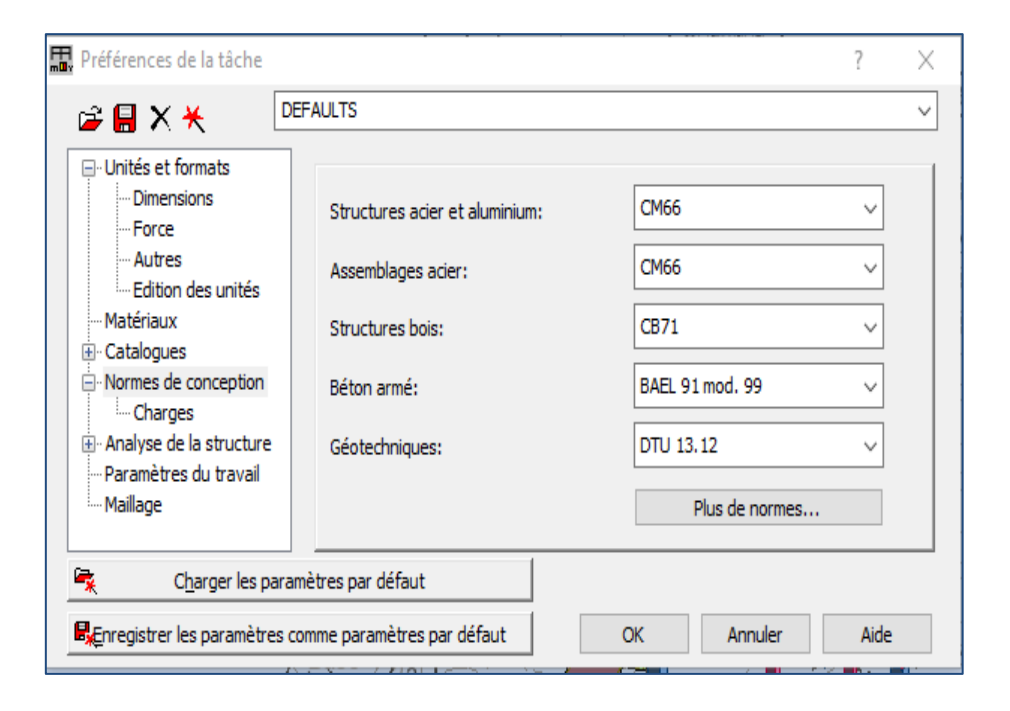


Figure V.8a: Réglage des normes

Le chapitre Norme de conception 1 cache une sous-arborescence que vous pouvez afficher en cliquant sur le petit +.

Le sous-chapitre Charges 2 apparaît et permet de définir notamment les paramètres d'actions du vent et le règlement de pondération utilisé (il peut être différent de la norme de dimensionnement).

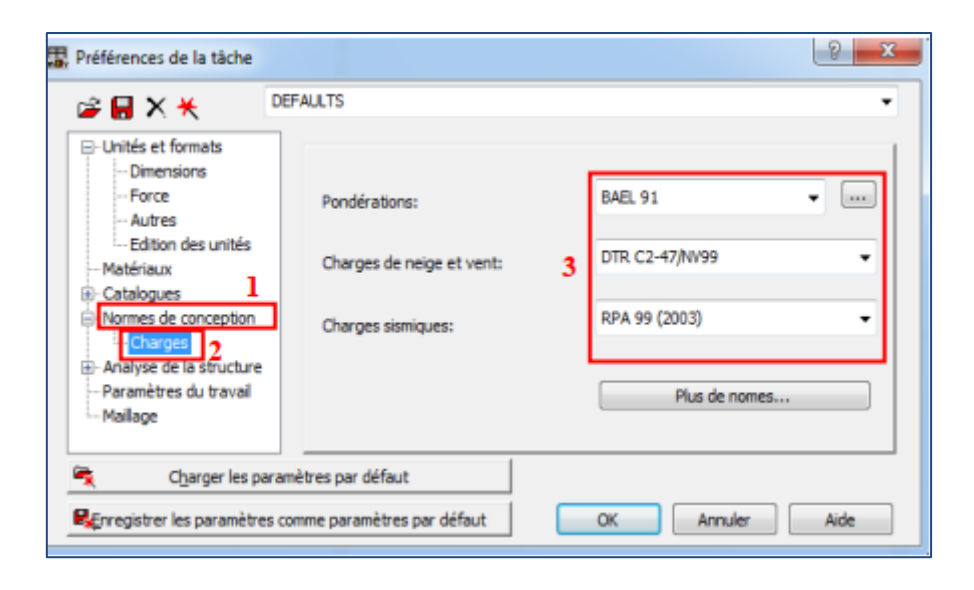


Figure V.8b: Réglage des normes

V.4.3.5.5. Divers [14]

D'autres éléments, moins importants pour la formation, sont également accessibles dans les préférences de la tâche, comme l'ajout de catalogues de profilés étrangers, les modifications des paramètres d'analyse de structure ou encore des paramètres de maillage éléments finis.

V.4.4. Modélisation [14]

V.4.4.1. Définition des axes

V.4.4.1.1. Lignes de constructions

Les lignes de construction (bouton **B**) forment une grille auxiliaire qui peut servir à définir les différents éléments de la structure et à se référer aux composants de la structure sélectionnés (effectuer la sélection). Les intersections de la grille forment des points qui facilitent le travail du concepteur en guidant les mouvements du curseur lors de la définition graphique d'une structure à l'aide de la souris.

La boîte de dialogue contient 3 onglets définissant respectivement (dans le cas du système cartésien) (Figure V.9) :

- Les lignes verticales (dans le plan YZ, les coordonnées X)
- Les lignes horizontales (dans le plan XY, les coordonnées Z)
- Les lignes horizontales (dans le plan XZ, les coordonnées Y)

Vous pouvez saisir tout type de structure avec des lignes dans le système cartésien, polaires ou arbitraires.

- 1. Choisir le sens X, Y ou Z
- 2. Donner la position de démarrage.
- 3. Donner le nombre de fois de répétition des axes identiques.
- 4. Mettre la valeur de l'espacement des axes chaque fois il faut : Insérer

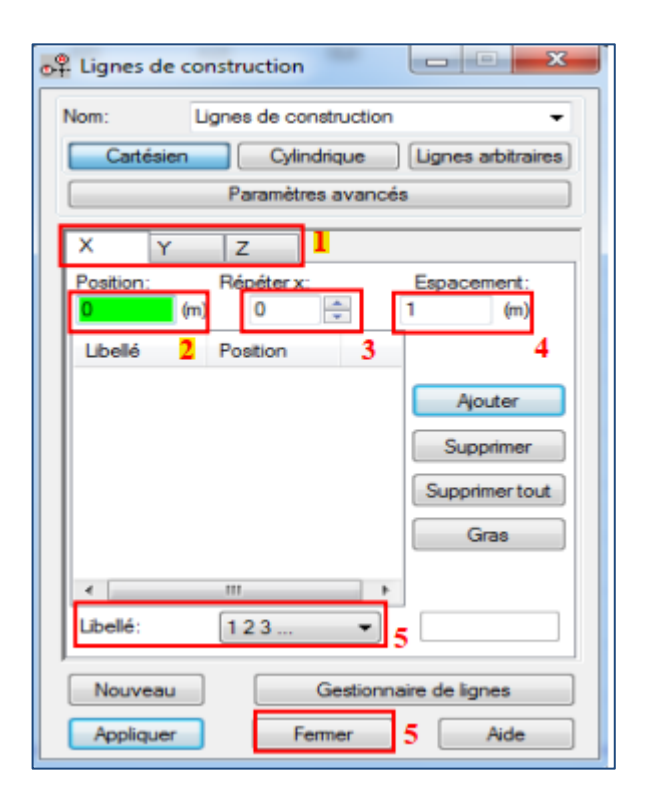


Figure V.9: Lignes de constructions

V.4.4.2. Définition de la section des éléments barres [14]

Cliquer dans l'écran principale (C), cette boite de dialogue s'affiche (Figure **V.10**). Les icônes suivantes sont disponibles dans la partie supérieure de la boîte de dialogue — ajoute un nouveau type de profilé ou permet de sélectionner un profilé dans le catalogue des profilés (Définir un nouveau profilé)

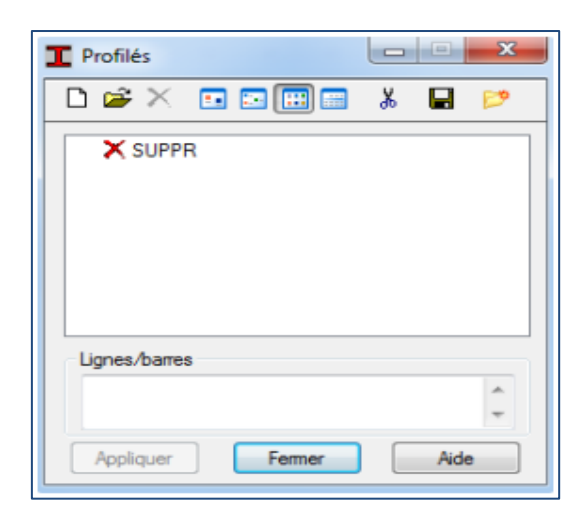


Figure V.10 : Profilés

- supprime de la liste active tous les types de profilés non utilisés dans la structure étudiée.
- Si la liste active des types de profilés est vide ou si un nouveau type de profilé doit être ajouté dans cette liste, cliquez sur Nouveau profilé.
- Dans la boîte de dialogue, vous pouvez sélectionner le type de profilé de la poutre (Figure V.11) (rectangulaire, en T, en I, en T) et définir ses dimensions.
- Saisir le nom du profilé ; par défaut, *Robot* saisit le nom du profilé composé de quelques lettres définissant le type de profilé et les dimensions de la section transversale.
- Sélectionner la couleur du profilé.
- N'oublier pas, ajouter pour chaque section, sélectionner avant de fermer.

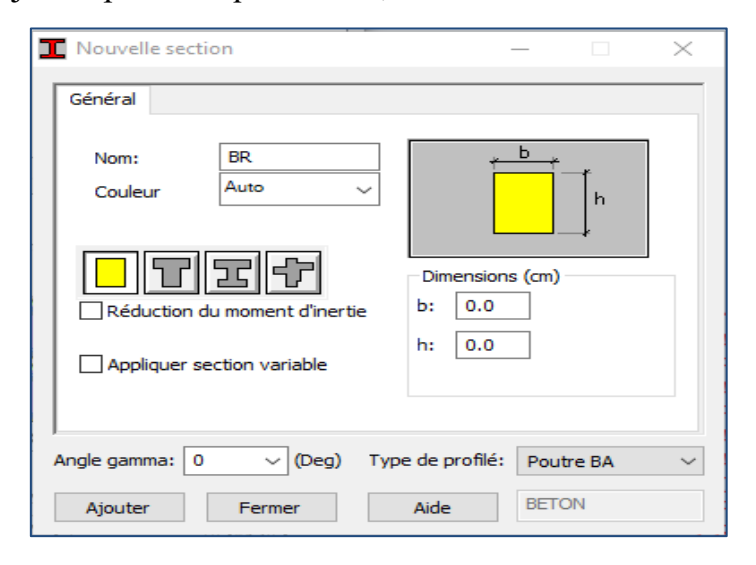


Figure V.11 : Type de profilé

V.4.4.2.1. Affectation des sections transversales

Cliquer dans l'écran principale (D), cette boite de dialogue s'affiche (Figure V.12). Le mode de définition des barres dépend du mode d'accrochage du pointeur, il est préférable d'utiliser directement le pointeur de la souris sur les lignes de construction (grille) déjà préparé. Vous pouvez saisir des informations supplémentaires concernant les caractéristiques de la barre, à savoir : type de barre, section transversale de la barre (profil), matériau, par défaut, défini pour le type de profilé sélectionné.

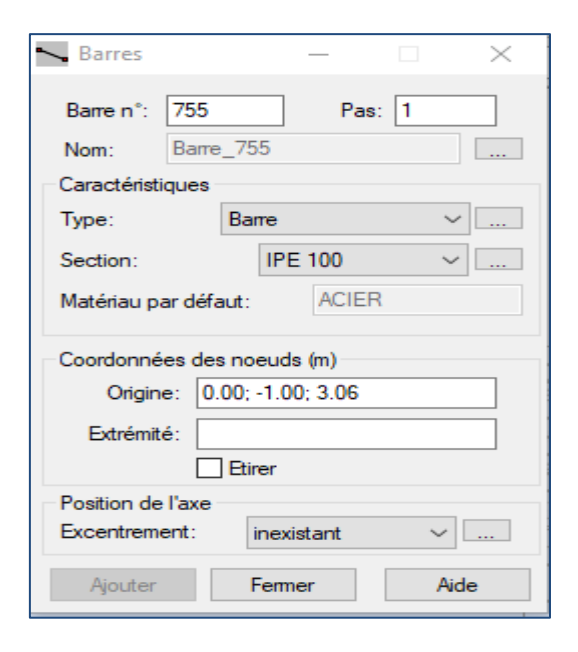


Figure V.12 : Définition des barres

V.4.4.2.2. Translation [14]

Cliquer dans l'écran principale (E), cette boite de dialogue s'affiche (Figure V.13). Vous devez définir le vecteur de translation : dans le champ (dX, dY, dZ) pour la vue 3D ou dans le champ (dX, dY) pour la vue 2D.

Copier - Si cette option est activée, de nouveaux nœuds ou éléments sont créés dans une structure (les nœuds ou les éléments d'origine restent intacts)

Déplacer - Si cette option est activée, les nœuds/éléments sélectionnés sont déplacés dans la structure (les nœuds/éléments d'origine changent d'emplacement dans la structure).

Nombre de répétition : quand les distances sont identiques.

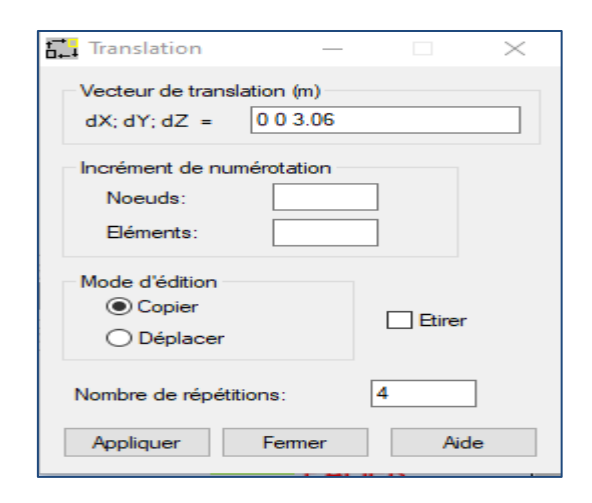


Figure V.13: Définition du vecteur de translation

V.4.4.3. Définition de l'épaisseur des panneaux

Utilisez cette option pour attribuer une épaisseur aux éléments de structure plane (panneaux).on clique sur l'icône (G), après un clic sur l'icône «définir nouvelle section» et sur l'onglet «uniforme» on introduit le nom, l'épaisseur et sa variation ainsi que le matériau (Figure V.14)

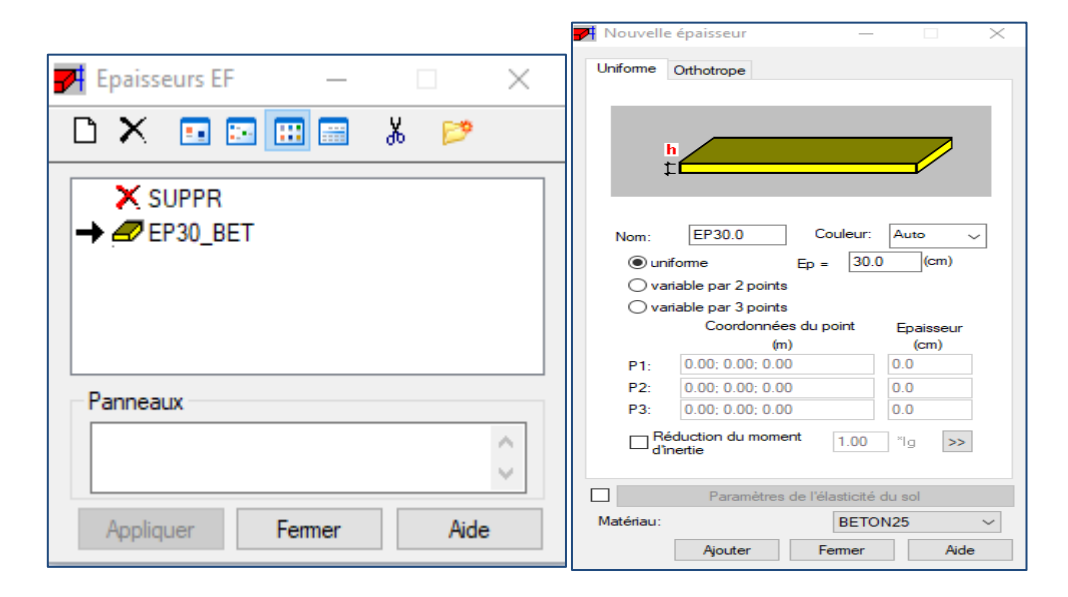


Figure V.14 : Définition d'épaisseur des panneaux

V.4.4.4. Définition des appuis

Afin d'effectuer les appuis dans notre structure on clique sur l'icône (H), on choisit les encastrements nodaux pour les nœuds (Figure V.15) et les encastrements linéaire pour les voiles (bords des contours)

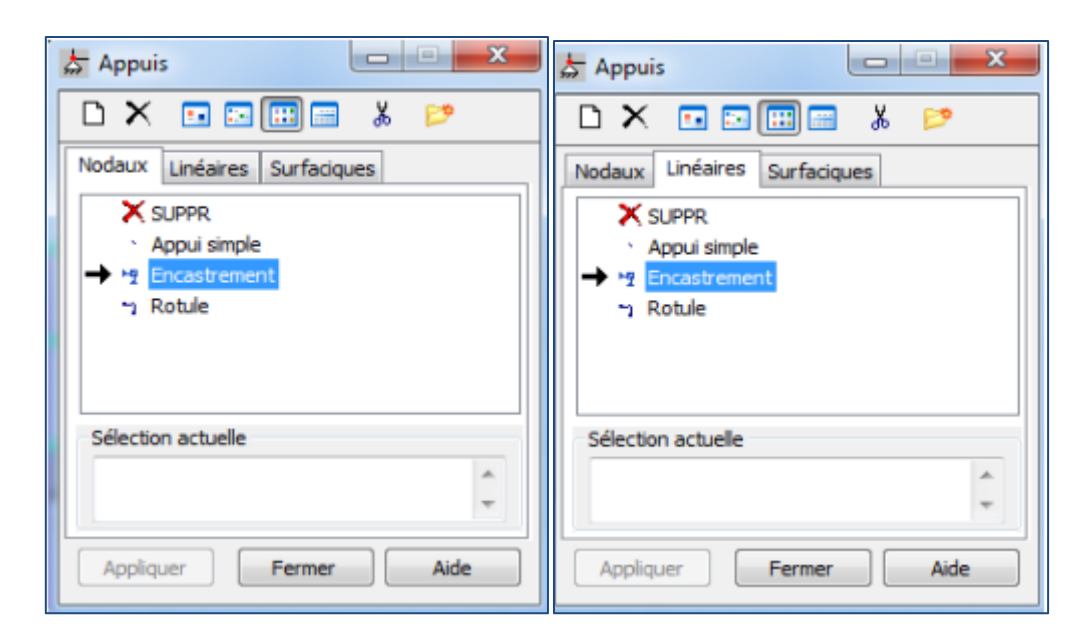
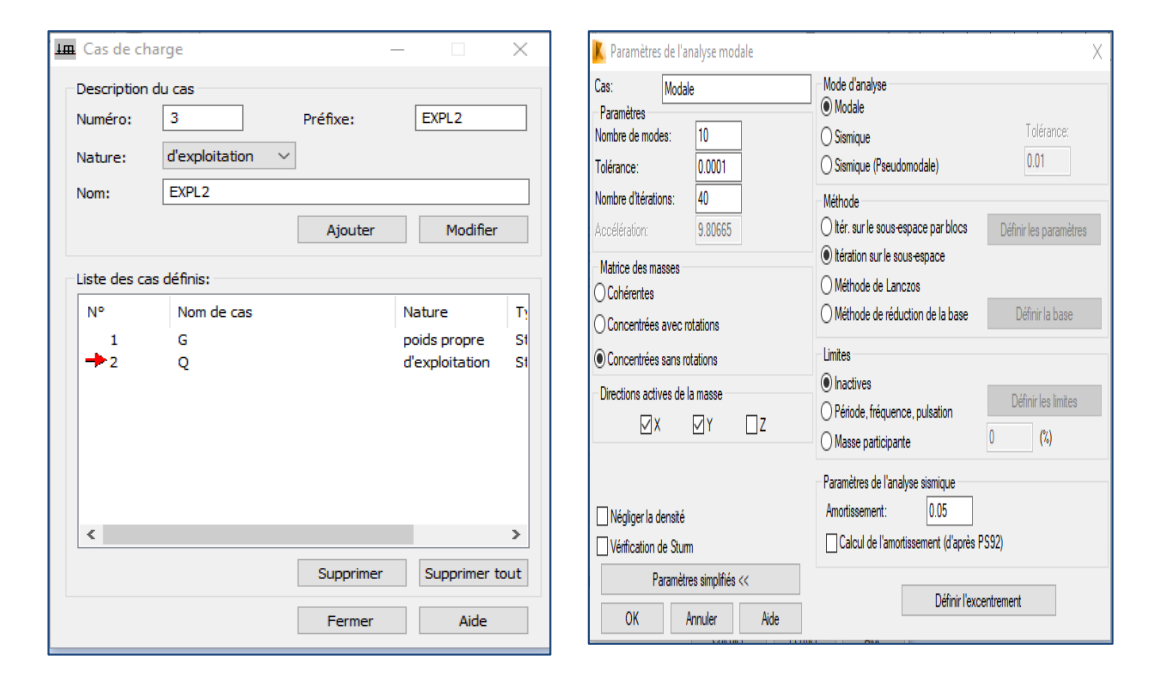


Figure V.15 : Définition des appuis

V.4.5. Chargement

V.4.5.1. Définition des cas de charges

Pour définir les charges statiques (permanentes et d'exploitation) de la structure, on clique sur l'icône (I), on choisit le nom et la nature de la charge puis on clique sur « nouveau » (Figure V.16)



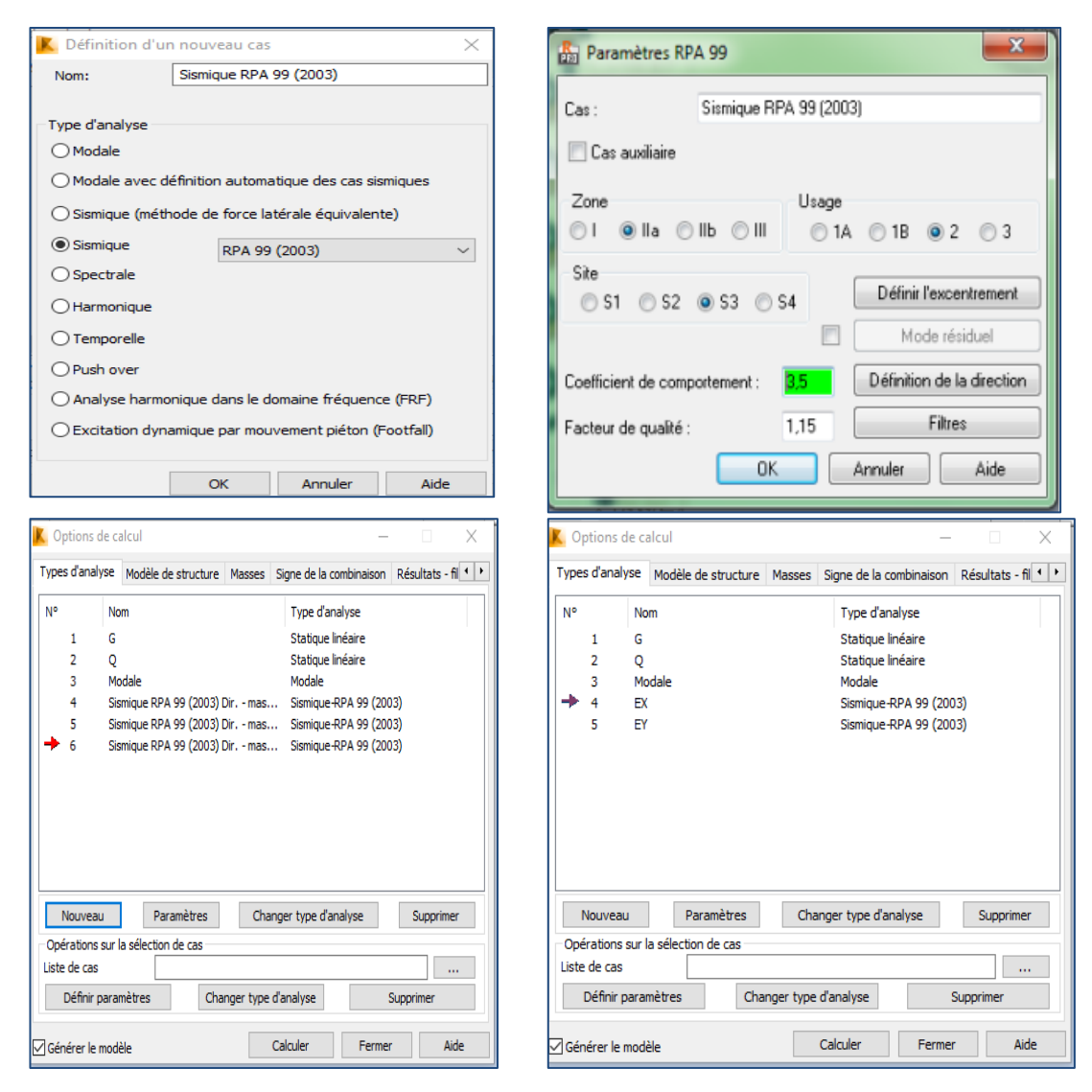


Figure V.16 : Définition des cas de charges

V.4.5.2. Définition de la charge

Pour charger la structure on choisit le type de charge G (permanente) ou Q (exploitation), puis on sélectionne dans l'icône (J) « autres charges », « charge surfacique sur barre par objet 3D », on introduit la valeur de G ou Q dans la zone « valeur » (Figure V.17).

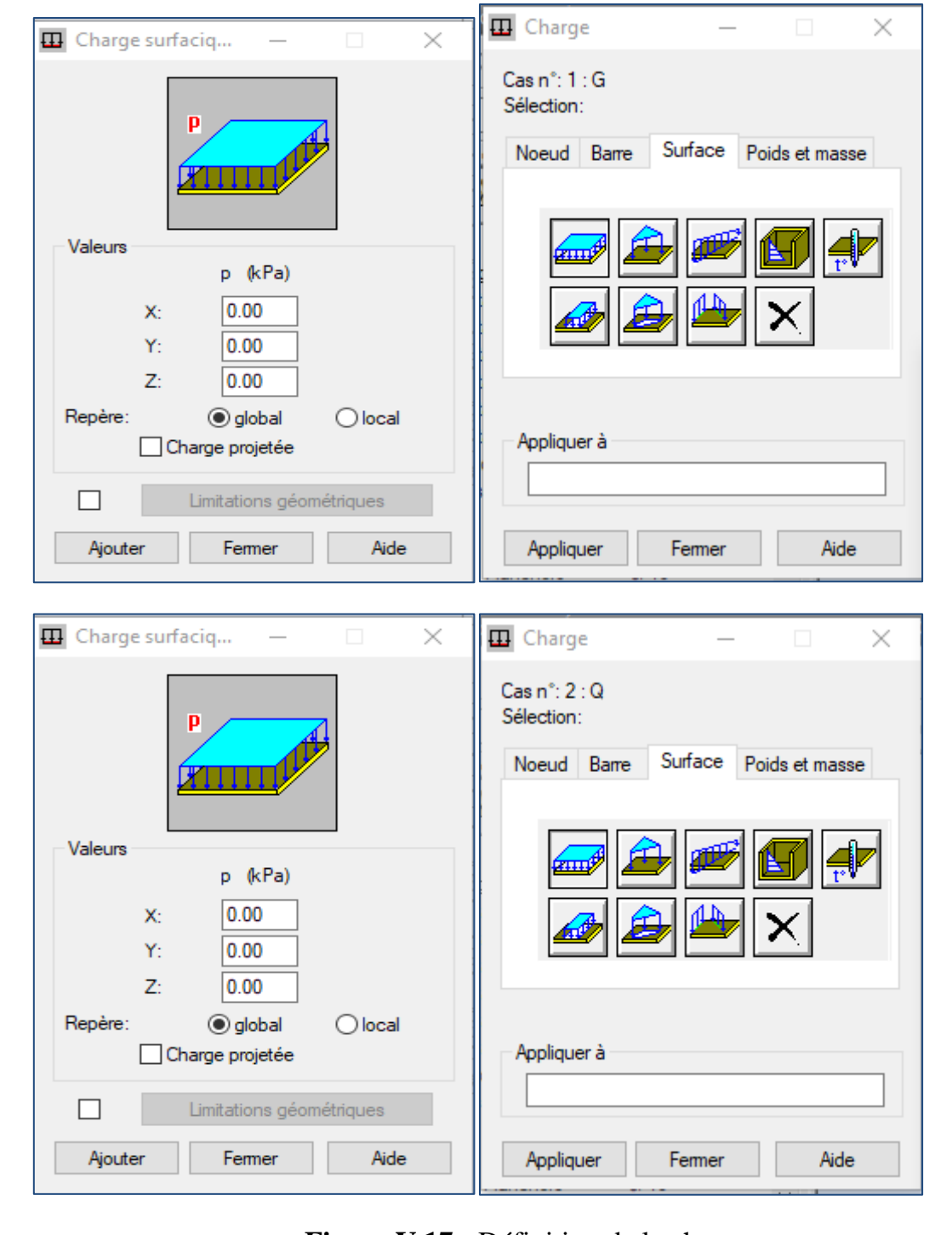


Figure V.17 : Définition de la charge

V.4.6. Analyse

Dans le menu « analyse », « calculer » (K), on lance le calcul de la structure

V.4.7. Résultats

Pour afficher les différents résultats qu'on veut (diagrammes, réactions, flèches, contraintes, déplacements,...) on clique sur le menu « résultat » (L)

En utilisant le logiciel de calcul basé sur la méthode des éléments finis 'Robot Bat', le modèle de calcul a été établi comme suit :

- □Les poteaux et les poutres sont assimilés à des éléments barres.
- □Les caractéristiques géométriques et mécaniques telles que identifiées cidessus sont introduites en utilisant le pré-processeur du logiciel de calcul Robot Bat;
- □ La structure est supposée encastrée au niveau bas ;
- □Les charges et surcharges ont été appliquées sur poutres porteuses, qui à leurs tours cheminent les efforts aux poteaux.

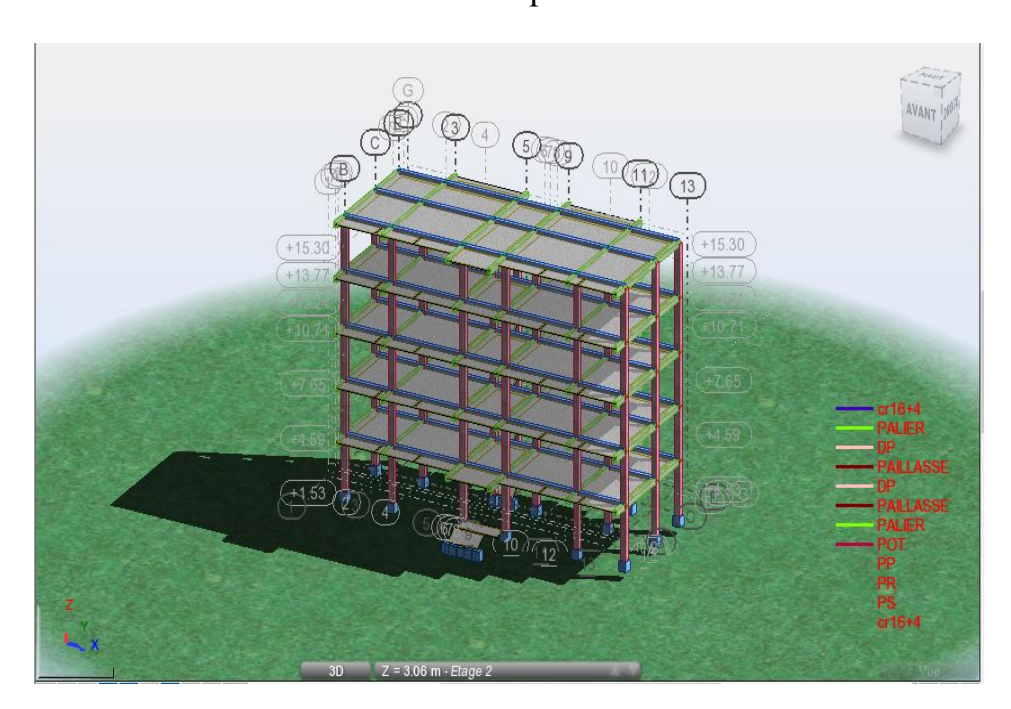


Figure V.18: Modèle numérique de la structure.

V.5. Méthodologie de calcul

La méthodologie adoptée s'articule autour des points suivants :

- Etablissement d'un modèle numérique de calcul tridimensionnel en élément finis de la structure par le logiciel Robot Bat;
- Définition des différentes charges statiques G et Q.
- L'analyse statique permet de vérifier les éléments de la structure sous l'effet des charges statiques, telles que, la charge permanente G et la charge d'exploitation Q.

Ainsi la vérification de la contrainte de béton à l'état limite de service ELS sous la combinaison G + Q.

- Pour le calcul dynamique, la méthode d'analyse dynamique utilisée est celle exigée par le RPA2003, qui est la méthode d'analyse spectrale modale. Cette méthode est basée sur la superposition modale, elle combine le maximum des effets engendrés dans la structure par les forces sismiques représentées par un spectre de réponse de calcul, pour obtenir la réponse de la structure
- Calculs et vérifications selon le BAEL.99 et le RPA.2003.

La largeur du joint sismique a pour valeur :

$$d_{min} = 1.5 \text{ cm} + \text{R.} (\delta 1 + \delta 2) \text{ cm}$$

δ1 : Déplacement maximal du bloc 1

δ2: Déplacement maximal du bloc 2

• Coefficient de comportement global de structure (R):

Sa valeur unique est donnée par le tableau 4.3 en fonction du système de contreventement tel que défini en 3.4 En cas d'utilisation de systèmes de contreventement différents dans les deux directions considérées il y a lieu d'adopter pour le coefficient **R** la valeur la plus petite.

Tableau V.1: Valeurs du coefficient de comportement R.

Béton armé.	Coefficient de comportement (R).
Portiques auto-stables sans remplissages en maçonnerie rigide.	5
Portiques auto-stables avec remplissages en maçonnerie rigide.	3.5
Voiles porteurs.	3.5
Noyau.	3.5
Mixte portiques/voiles avec interaction.	<mark>5</mark>
Portiques contreventés par des voiles.	4
Console verticale à masses réparties.	2
Pendule inverse.	2

Dans notre étude on a utilisé deux type de contreventement

♣ Mixte portiques/voiles avec interaction.: R= 5

Raramètres RPA 99 Raramètres RPA 99 EX EX Cas: Cas auxiliaire Cas auxiliaire Zone Zone Usage ○1A ○1B **◎**2 ○3 OI @ Ila O Ilb O III O1A O1B ●2 O3 Définir l'excentrement OS1 OS2 ●S3 OS4 Définir l'excentrement OS1 OS2 ●S3 OS4 Mode résiduel Mode résiduel 3.5000 Définir la direction Coefficient de comportement: Coefficient de comportement: 5.0000 Définir la direction 1.1500 Filtres Filtres 1.1500 Facteur de qualité: Facteur de qualité: 0K Annuler Aide OK Annuler Aide

↓ Portiques auto-stables avec remplissages en maçonnerie rigide: R= 3.5

R=5Figure V.19 : Paramètres de calcul de l'action sismique

R = 3.5

• Facteur de qualité Q :

Q : facteur de qualité c'est un facteur relatif à la qualité du système de contreventement de la structure. Il pénalise les mauvaises conceptions parasismiques (voir RPA99/2003).

Les critères de qualité "q" à vérifier sont :

- La redondance et la géométrie des éléments qui la constituent.
- La régularité en plan et en élévation.
- La qualité du contrôle de la construction.
- Conditions minimales sur les files de contreventement

Les critères de qualité Q à vérifier sont :

☐ Conditions minimales sur les files de contreventement

Système de portiques : chaque file de portique doit comporter à tous les niveaux, au moins trois (03) travées dont le rapport des portées n'excède pas 1,5. Les travées de portique peuvent être constituées de voiles de contreventement.

- Système de voiles : chaque file de voiles doit comporter à tous les niveaux, au moins un (01) trumeau ayant un rapport "hauteur d'étage sur largeur" inférieur ou égal à 0,67 ou bien deux (02) trumeaux ayant un rapport "hauteur d'étage sur largeur" inférieur ou égal à 1,0. Ces trumeaux doivent s'élever sur toute la hauteur de l'étage et ne doivent avoir aucune ouverture ou perforation qui puisse réduire de manière significative leur résistance ou leur rigidité.

☐ Redondance en plan

- Chaque étage devra avoir, en plan, au moins quatre (04) files de portiques et/ou de voiles dans la direction des forces latérales appliquées.
- Ces files de contreventement devront être disposées symétriquement autant que possible avec un rapport entre valeurs maximale et minimale d'espacement ne dépassant pas 1,5.

☐ Régularité en plan

- La structure est classée régulière en plan.

☐ Régularité en élévation

- La structure est classée régulière en élévation.

☐ Contrôle de la qualité des matériaux

- Des essais systématiques sur les matériaux mis en œuvre doivent être réalisés par l'entreprise.

☐ Contrôle de la qualité de l'exécution

Il est prévu contractuellement une mission de suivi des travaux sur chantier.
 Cette mission doit comprendre notamment une supervision des essais effectués sur les matériaux.

La valeur de Q est déterminée par la formule :

$$Q = 1 + \sum_{q=1}^{6} p_q$$
Article 4.4 (RPA99/2003).

Tableau V.2 : Valeur de facteur de qualité.

Critère: q	Sens X	Sens Y
1. Conditions minimales sur les files de contreventement.	0	0.05
2. Redondance en plan.	0	0.05
3. Régularité en plan.	0	0
4. Régularité en élévation.	0	0
5. Contrôle de la qualité des matériaux.	0.05	0.05
6. Contrôle de la qualité de l'exécution.	0	0
	0.05	0.15

Sens XX' \rightarrow Q_x=1+0.05 = **1.05.**

Sens YY' \rightarrow Q_y=1+0.15= **1.15.**

V.6. CONCLUSION:

- ❖ Parmi les méthodes utilisées pour la modélisation, on utilise la méthode statique équivalente qui vérifier tous les critères d'utilisation.
- ❖ Dans ce qui suit, Plusieurs modélisations seront présentées, pour évaluer en premier l'influence de la variation d'hauteur à travers la modélisation de la structure à étages différents ; changeant les dimensions des éléments porteurs (poteaux, poutres principales et poutres secondaires), Influence des paramètres sismiques tel que le Groupe d'usage, Zone sismique et Les sites, sur le calcul de la largeur du joint sismique et la deuxième partie évaluer l'influence du type de contreventement, épaisseur des voile et leurs positions.

Chapitre VI:

Calcul du joint sismique pour des structures contreventées

VI.1. Introduction

Dans ce chapitre, nous commençons à modéliser une structure en béton armé avec un système de contreventement par portique. Il s'agit d'un bâtiment d'habitation de (R+4) qui sera construit dans la wilaya de Mila. Après chaque phase de modélisation, nous calculons la largeur du joint sismique en utilisant la formule spécifiée par le règlement parasismique Algérien (RPA 2003). Nous présenterons plusieurs modélisations. Tout d'abord, nous étudierons l'influence de la variation de la hauteur sur le calcul de la largeur du joint en modélisant la structure avec des étages de différentes hauteurs (R+4, R+6, R+8, R+10 et R+12). Ensuite, nous effectuerons une série de modélisations en modifiant les dimensions des éléments structuraux (poteaux, poutres principales, poutres secondaires) afin de démontrer l'impact de la variation de l'inertie de ces éléments sur la largeur du joint.

La troisième série présente l'influence de l'existence des voiles, on va comparer deux structures ont le même niveau et les même dimensions, la première comparent des voiles et la deuxième sans voiles. La quatrième série sera l'influence de la disposition des voiles sur la largueur du joint sismique (quartes variantes de la disposition de voiles seront proposé) et la dernière série on va montrer l'influence de la rigidité du voile en variant leurs épaisseurs (15, 20 et 25c).

Enfin, nous terminons ce chapitre par des comparaisons et des conclusions sur l'influence des paramètres étudiés.

La variation du paramètre hauteur a été faite en vu d'avoir une estimation de la réponse structurelle théorique et ne reflète pas le comportement réelle des structures.

VI.2. Description du système structurel

Les planchers sont constitués par des dalles en corps creux d'une épaisseur de 16+4 cm plus dalles pleines sur les balcons, dont l'épaisseur est de 15 cm. L'ossature est constituée de poteaux, poutres et de chaînages. Les fondations sont constituées par des semelles continues sous poteaux.

VI.2.1. Dimensions des éléments porteurs
Poteaux
Poutres principales
Poutres secondaires
VI.2.2. Evaluation des charges et des surcharges
A- Charges permanente « G »
- Planchers Etage Courant
- Balcon $G=5.45KN/m^2$
- Plancher terrasse inaccessible. $G = 5.88 KN/m^2 \label{eq:G}$
B- Surcharges d'exploitation « Q »
- Planchers Etage Courant
- Balcons
- Planchers terrasses inaccessibles

Partie I : Cas d'une structure avec contreventement par portique

VI.I.1. Influence de la hauteur de la structure sur la largeur du joint

L'influence de la hauteur de la structure sur la largeur du joint sismique est un facteur important à prendre en compte dans la conception parasismique. Selon le règlement parasismique Algérien (RPA2003), la largeur du joint sismique est calculée en fonction de la hauteur de la structure.

Dans cette section, nous analysons l'impact de la variation de la hauteur de la structure sur la largeur du joint en modélisant les structures à différents niveaux. Nous débutons la modélisation d'une structure à (R+4), puis nous poursuivons avec des modélisations à (R+6), (R+8), (R+10) et enfin nous concluons avec une structure à (R+12).

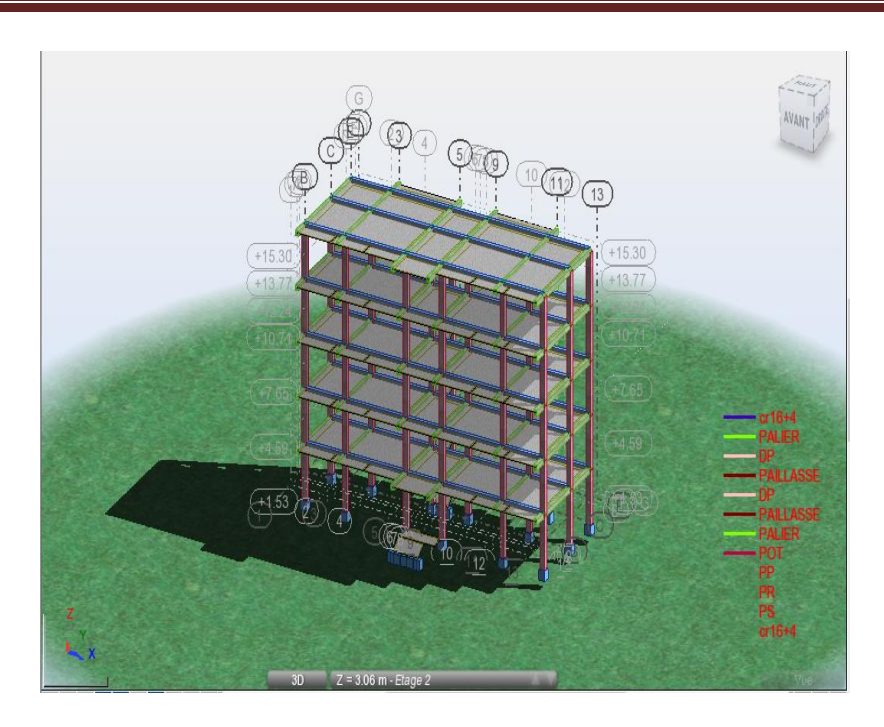


Figure VI.1: Modèle numérique de la structure(R+4)

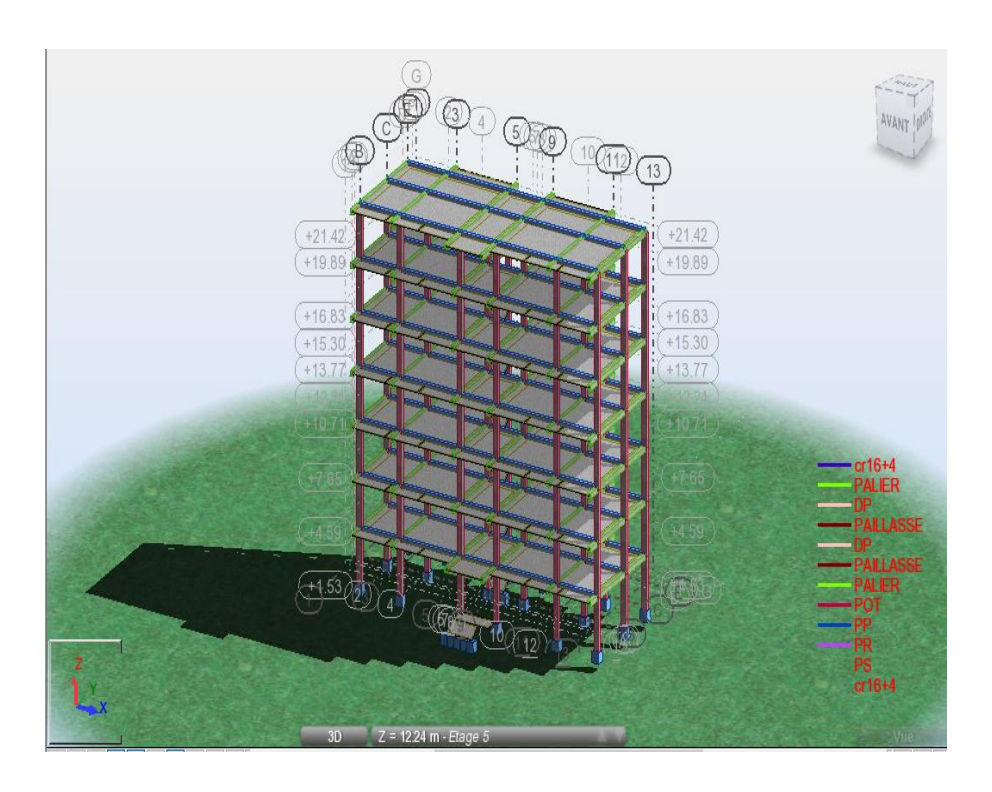


Figure VI.2: Modèle numérique de la structure à (R+6).



Figure VI.3 : Modèle numérique de la structure à (R+8)



Figure VI.4 : Modèle numérique de la structure à (R+10)



Figure VI.5 : Modèle numérique de la structure à (R+12)

Les résultats en déplacement horizontal pour les 5 cas d'étude sont présentés sur la figure VI.6.

	UX [cm]		UX [cm]
MAX	3.8	MAX	6.6
Noeud	2400	Noeud	2400
Cas	21	Cas	21
Mode	3	Mode	3
MIN	-0.6	MIN	-1.0
Noeud	2400	Noeud	2400
Cas	21	Cas	21
Mode	1	Mode	1
(a)	(R+4)		(b) (R+6)

Chapitre VI: Calcul du joint sismique pour des structures contreventées

	UX [cm]		UX [cm]
MAX	9.5	MAX	12.
Noeud	2401	Noeud	240
Cas	21	Cas	2
Mode	3	Mode	
MIN	-1.4	MIN	-1.
Noeud	2400	Noeud	240
Cas	21	Cas	2
Mode	1	Mode	
(0	e) (R+8)	(d) (R+1	10)
((10)
(0		(d) (R+1	10)
(0	2) (R+8) MAX	(d) (R+1	10)
(0	(R+8) MAX Noeud	(d) (R+1) UX [cm] 16.4 2401	10)
(0	MAX Noeud Cas	(d) (R+1) UX [cm] 16.4 2401 21	10)
(0	(R+8) MAX Noeud	(d) (R+1) UX [cm] 16.4 2401	10)
(0	MAX Noeud Cas Mode	(d) (R+1) UX [cm] 16.4 2401 21	10)
(0	MAX Noeud Cas	(d) (R+1) UX [cm] 16.4 2401 21 3	10)
(0	MAX Noeud Cas Mode	(d) (R+1) UX [cm] 16.4 2401 21 3 -2.3	10)

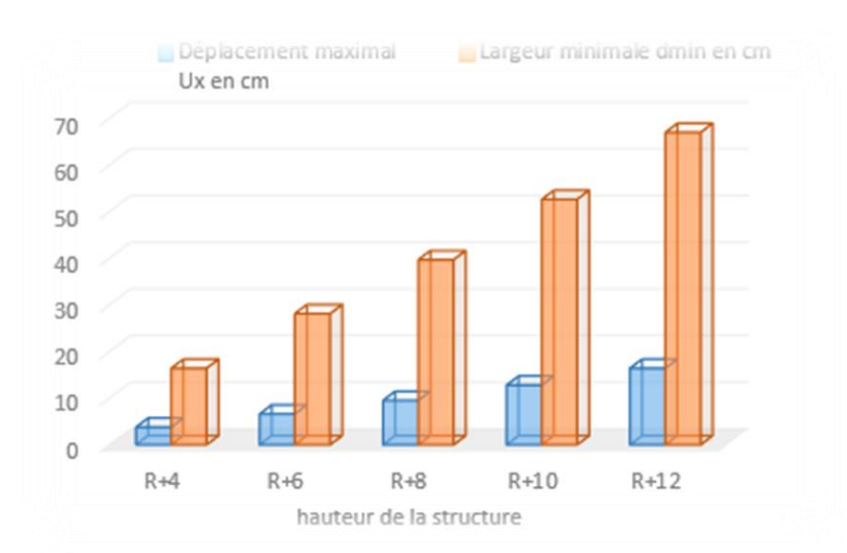
Figure VI.6: Déplacement maximal U_x pour cinq hauteurs différentes.

Le tableau et le graphe ci-dessous résume les différentes valeurs de la largeur du joint sismique pour les cinq cas d'études (R+4, R+6, R+8, R+10 et R+12).

Tableau VI.1: Influence de la hauteur de la structure sur la largeur du joint sismique.

Hauteur de la	Déplacement maximal	Largeur minimale d _{min}
construction	$\mathbf{U}_{\mathbf{x}}$ en cm	en cm
R+4	3.8	16.4
R+6	6.6	28.1
R+8	9.5	39.65
R+10	12.8	52.6
R+12	16.4	66.95

Histogramme récapitulatif de l'influence d'hauteur de la structure



FigureVI.7: Histogramme récapitulatif de l'influence d'hauteur de la structure

D'après les résultats du tableau précédent, il est clairement observé que l'augmentation de la largeur du joint est proportionnelle à l'augmentation de la hauteur de la construction. Cette relation s'explique par le fait que les déplacements engendrés par l'action sismique sont généralement plus importants aux sommets de la structure.

Lors d'un tremblement de terre, les forces sismiques agissent sur la structure et induisent des déformations et des déplacements horizontaux. Les sommets de la structure, en raison de leur position élevée, sont plus susceptibles d'être soumis à des forces et des déplacements plus importants par rapport aux parties inférieures de la construction.

Largeur minimale important est enregistré dans la structure R+12 (66.95cm). Par contre la structure R+4 est représenté une largeur minimale réduit (16.4cm), soit une augmentation de 4 fois de R+12 par rapport R+4

En général, plus la hauteur du bâtiment est importante, plus la largeur du joint sismique doit être dimensionnée pour permettre la déformation et l'absorption d'énergie lors d'un tremblement de terre. Cela est nécessaire pour éviter les dommages structurels.

VI.I.2. Influence de la variation de la section des poteaux sur la largeur du joint

L'influence de la variation de la section des poteaux sur la largeur du joint sismique est un aspect important à considérer lors de la conception parasismique d'une structure en béton armé. La section des poteaux, notamment leur inertie, joue un rôle crucial dans la résistance et la ductilité de la structure face aux forces sismiques.

Nous varions tout d'abord la section des poteaux avec un pas de 5cm des dimensions (largeur et hauteur). Le déplacement et la largeur du joint seront comparés pour tous les cas : Poteau (25x30), Poteau (30x40), Poteau (30x35), Poteau (35x40) et Poteau (40x50) pour les différentes hauteurs (R+4, R+6, R+8, R+10 et R+12).

La figure VI.8 présente les résultats de déplacement horizontal pour les 5 cas d'étude et pour une structure R+4.

1. Pour R+4:

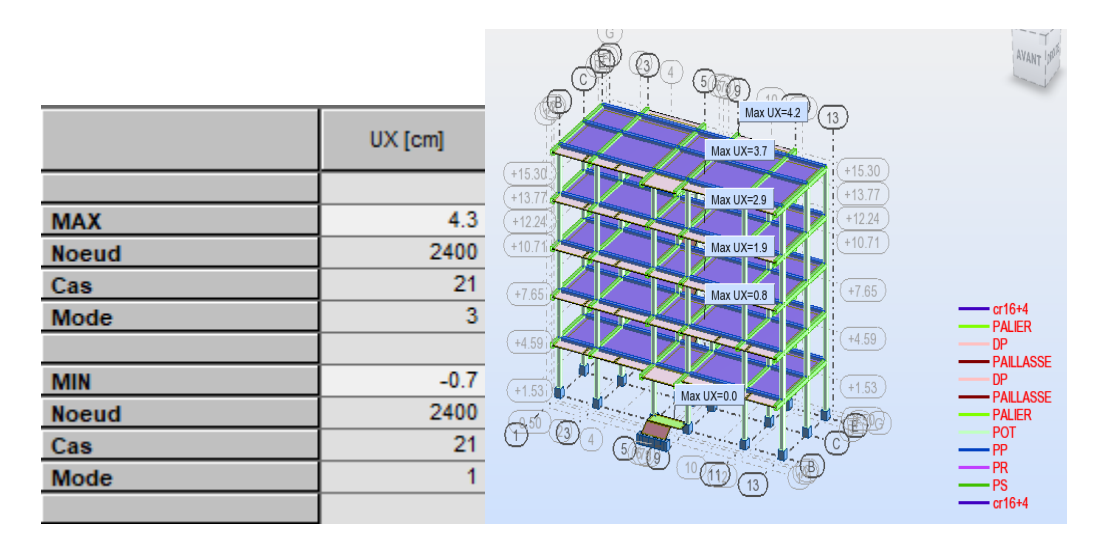
		<u></u>	
	UX [cm]	(B) (3) (5) (13) (Max UX=52) (13)	AVANT 1107
		Max UX=4.5	
MAX	5.2	Eagr 3.7 (4.13.77) Max UX=3.6 (+13.77)	
Noeud	2400	1 4/10 DA TE	
Cas	21	Elage 4	
Mode	CQC	(+7.65) Max UX=1.1	cr16+4
		Etage 3 (Etage 3 (+4.59)	PALIER DP
MIN	-0.9	Etage 2	PAILLASSE DP
Noeud	2400	(+1.53))) (Max UX=0.0	PAILLASSE PALIER
Cas	21		POT PP
Mode	1	1 (1) (1)	PR PS
		_	cr16+4

(a) Poteau (25x30)

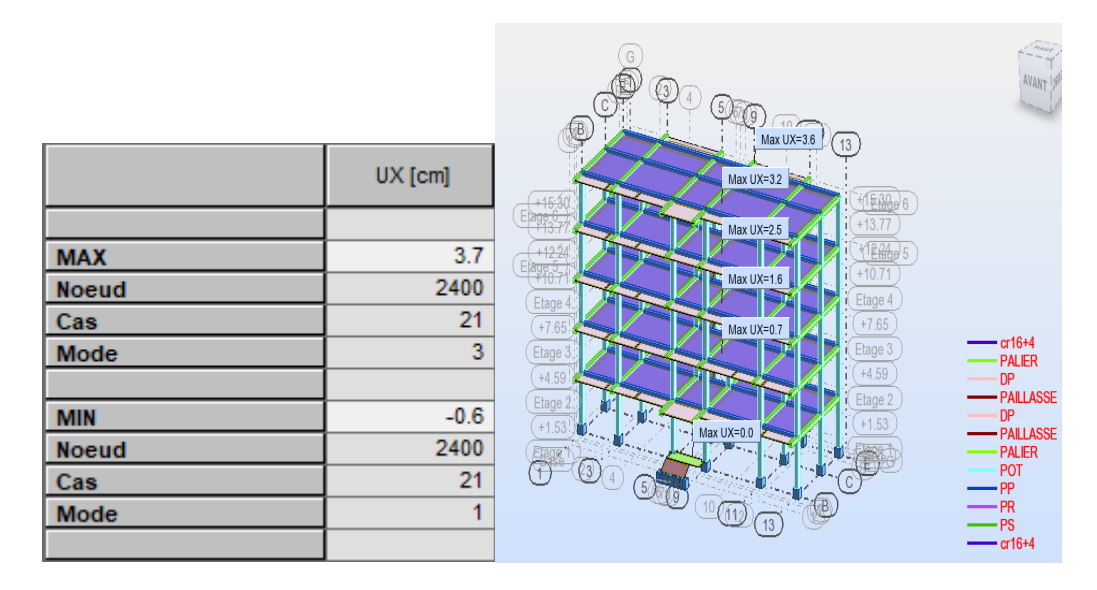
Chapitre VI : Calcul du joint sismique pour des structures contreventées

	AVANT India
Max UX=38 13	
Max UX=26 (+13.77)	
Max UX=1.7 (Etage 3)	
Etage 2 (+4.59)	cr16+4 PALIER DP
+1.53]	PAILLASSE DP PAILLASSE PALIER
1 (a) (a) (b) (b) (c) (c) (c) (c) (c) (c) (c) (c) (c) (c	POT PP PR PS
91 + 91 Et + Et + Et + Et + Et	Max UX=38 13 Max UX=38 13 Max UX=38 13 Max UX=33 4(E MAp 5) (+13.77) (+12.41) (+10.71) (+1

(b) Poteau (30x40)



(c) Poteau (30x35)



(d) Poteau (35x40)

Chapitre VI: Calcul du joint sismique pour des structures contreventées

		(a) (b) (b) (c) (d) (d) (d) (d) (d) (d) (d) (d) (d) (d	Wast of
	UX [cm]	Max UX=2.7 HEAD 6 HEAD 6 HEAD 777	
MAX	3.1	+1224 FMD 5	
Noeud	2400	Etage 4 (+10.71)	
Cas	21	+7.65 Max UX=0.5	-40.4
Mode	3	Etage 3	
		(44.59) Etage 2)	
MIN	-0.5	+1.53 Max UX=0.0	DP PAILLASSE
Noeud	3203	(EXECUTED IN THE SECOND	PALIER
Cas	21		POT PP
Mode	1	10 11 13	PR PS
		10	cr16+4

(e) Poteau (40x50)

Figure VI.8: Déplacement maximal U_x pour 5 sections différentes de poteaux (R+4).

La largeur du joint sismique pour ces Cinq cas et pour une structure R+4 est résumée dans le tableau ci-dessous :

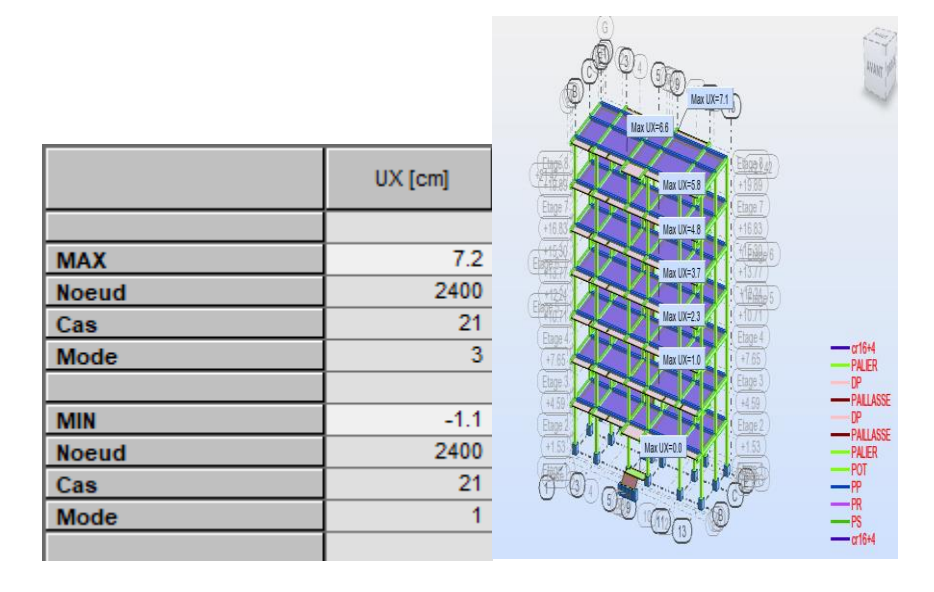
Tableau VI.2: Influence de la variation de la section des poteaux sur la largeur du joint sismique (R+4).

Section du	Déplacement maximal	Largeur minimale
poteau	U _x en cm	d _{min} en cm
Poteau (25x30)	5.2	22.85
Poteau (30x35)	4.3	19
Poteau (30x40)	3.8	16.4
Poteau (35x40)	3.7	16.55
Poteau (40x50)	3.1	14.1

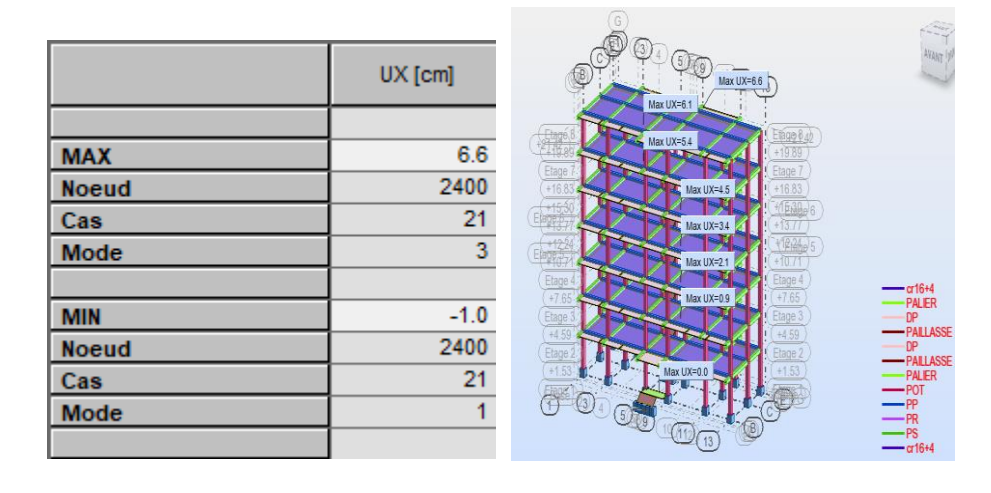
2.Pour R+6:

		(a) (a) Maxives3 b	AVANT PRO
	UX [cm]	Mar UX=17	
		(+19.85)	
MAX	8.3	(+16.83) Max UX=5.6 (1.46.83)	
Noeud	2400	Elaph 1 (4) (5) (4) (6) (6) (6) (6) (6) (6) (6) (6) (6) (6	
Cas	21	1 12 24 1 1 1 1 2 1 1 1 1 1 1 1 1 1 1 1	
Mode	3	Hage 4 Max UX=28 Eage 4 Eage 4	-10:1
		(+7.65)	— cr16+4 — PALIER — DP
MIN	-1.3	(+4.59)	PAILLASSE
Noeud	2400	Elage 2 (+1.53) (+1.53)	— DP — PAILLASSE
Cas	21		PALER POT
Mode	1		— PP — PR
		3 8	—PS —α16+4

(a) Poteau (25x30)

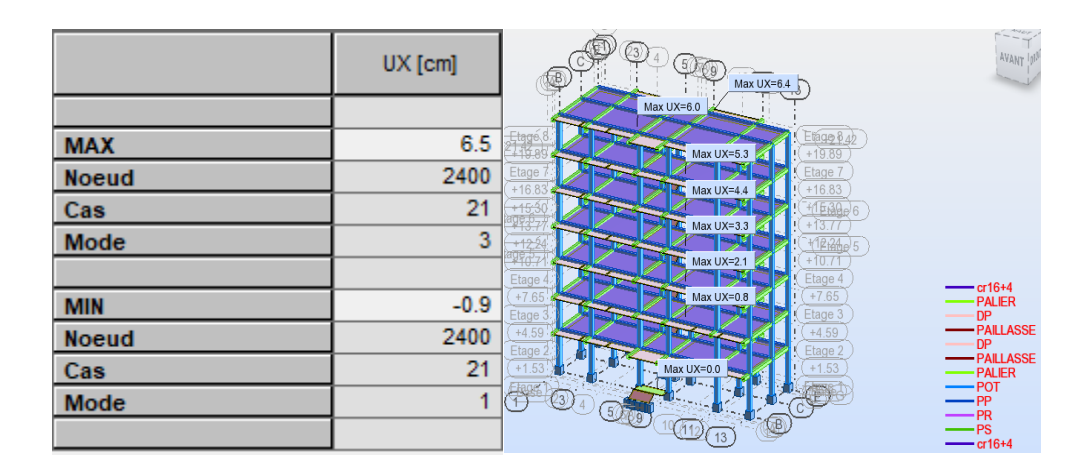


(b) Poteau (30x35)

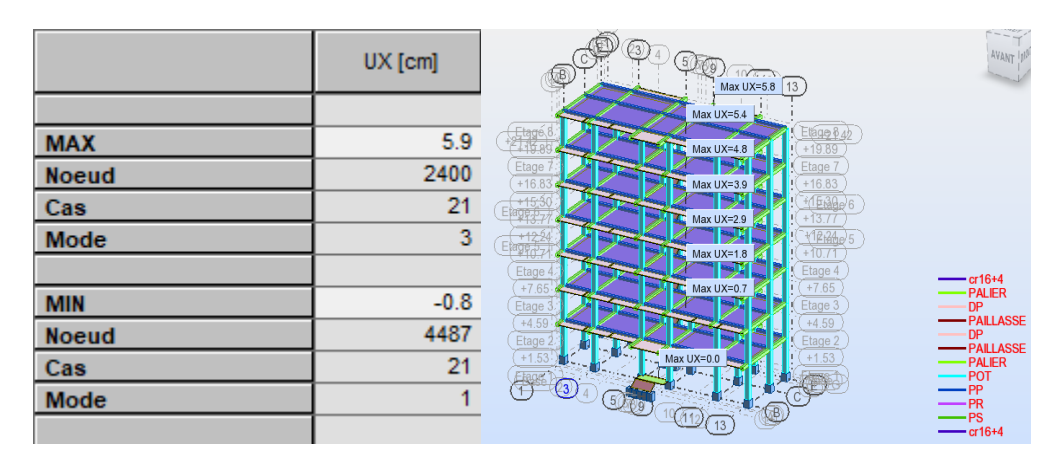


(c) Poteau (30x40)

Chapitre VI: Calcul du joint sismique pour des structures contreventées



(d) Poteau (35x40)



(e) Poteau (40x50)

Figure VI.9: Déplacement maximal U_x pour 5 sections différentes de poteaux (R+6). La largeur du joint sismique pour ces cinq cas et pour R+6 est résumée dans le tableau ci-dessous :

Tableau VI.3: Influence de la variation de la section des poteaux sur la largeur du joint sismique (R+6)

Section du poteau	Déplacement maximal	Largeur minimale
	$\mathbf{U}_{\mathbf{x}}$ en cm	d _{min} en cm
Poteau (25x30)	8.3	35.1
Poteau (30x35)	7.2	30.55
Poteau (30x40)	6.6	28.1
Poteau (35x40)	6.5	27.4
Poteau (40x50)	5.9	24.95

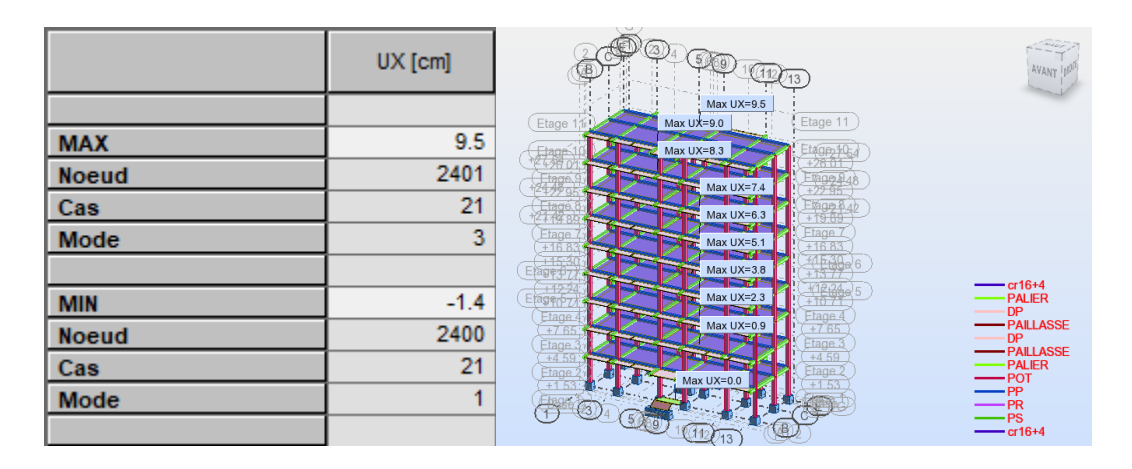
3. Pour R+8:

	UX [cm]	31 SO 1113
		Etage 11 Max UX=11.9 Etage 11
MAX	11.9	Elage 10 Max UX=10.4 Elage MG
Noeud	2400	Max UX=9.3 1225-1235-1235-1235-1235-1235-1235-1235-
Cas	21	Max UX=7.9
Mode	3	Etage 1 +16.83 + Hage 1 +16.83 + Hage 1
		Max UX-4.7 (1994) 5
MIN	-1.8	Max UX=3.0 Elager Max UX=1.3 Max UX=1.3 Max UX=1.3 PALEX PALLASSE
Noeud	2400	Flages — PALLASSE
Cas	21	Max IIX=0.0 POT
Mode	1	— PR
		—PS — 01644

(a) Poteau (25x30)

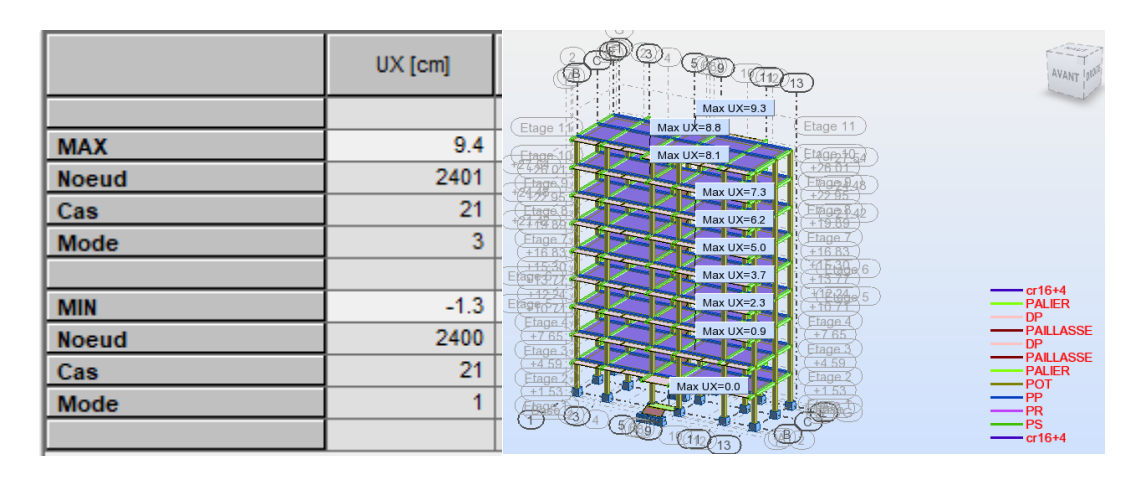
	UX [cm]	(B) (11) (11) (13)	AVANT 190
		Max UX=10.2 Etage 11 Max UX=9.7 Etage 11	
MAX	10.3		
Noeud	2401	Max UX=8.0 Eagp 50.4 Fig. 1.2	
Cas	21	(277935) Liago d 12 14 pt 1 Max UX=6.8	
Mode	3	Elage 7	
		EBUT 777 Max UX=4.1	40.4
MIN	-1.5	Etage 77 Max UX=2.6	cr16+4 PALIER DP
Noeud	2400	Etage 4 +7.65, Max UX=1.1 Etage 3	PAILLASSE DP
Cas	21	+4.59 +4.59 Etage 2	PAILLASSE PALIER
Mode	1	#1.53. Face: +1.53.	POT PP PR
		T 1 1 1 1 1 1 1 1 1 1 1 1 1 1 1 1 1 1 1	PR PS cr16+4

(b) Poteau (30x35)

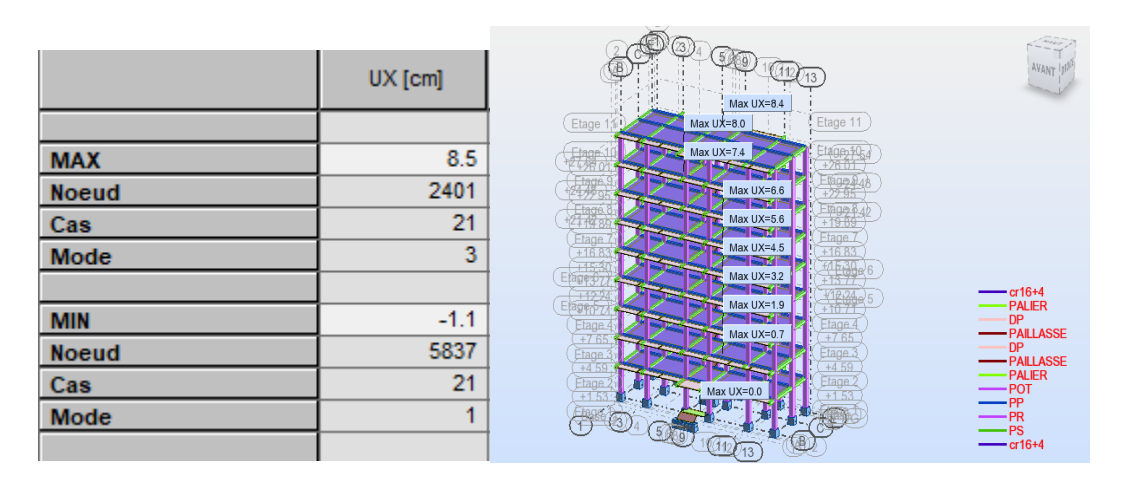


(c) Poteau (30x40)

Chapitre VI: Calcul du joint sismique pour des structures contreventées



(d) Poteau (35x40)



(e) Poteau (40x50)

Figure VI.10: Déplacement maximal U_x pour 5 sections différentes de poteaux(R+8).

La largeur du joint sismique pour ces cinq cas et pour R+8 est résumée dans le tableau ci-dessous :

Tableau VI.4: Influence de la variation de la section des poteaux sur la largeur du joint sismique (R+8).

Section du poteau	Déplacement maximal	Largeur minimale dmin en
	$\mathbf{U}_{\mathbf{x}}$ en cm	cm
Poteau (25x30)	11.9	49.45
Poteau (30x35)	10.3	39.8
Poteau (30x40)	9.5	39.65
Poteau (35x40)	9.4	38.95
Poteau (40x50)	8.5	35.1

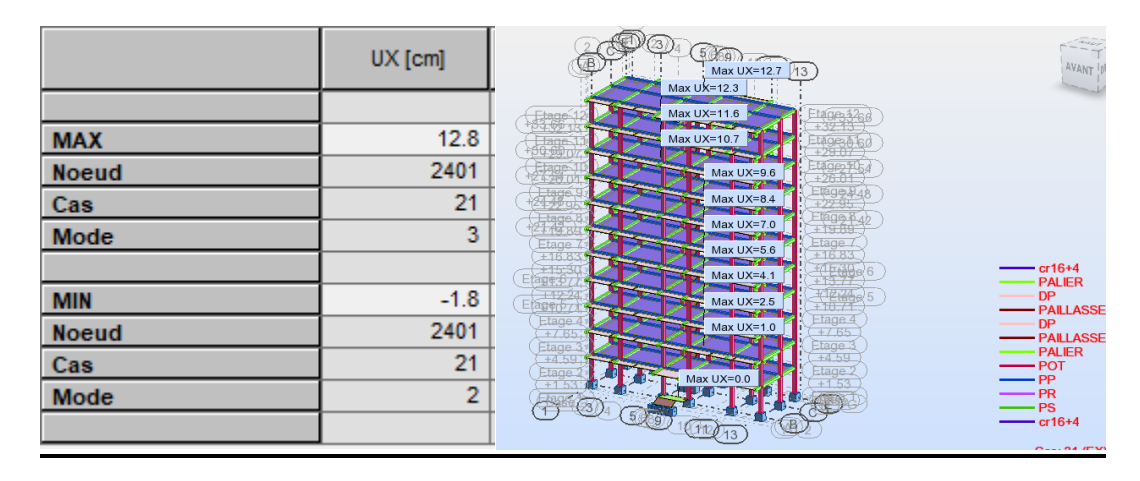
4. Pour R+10:

	UX [cm]	Max UX=15.9	AVANT IN
MAX	15.9	Max UX=13.3 F13(D) F13(
Noeud	2400	Max UX=12.0 Lage 71.5 lage	
Cas Mode	21	Tage 1 Max UX=8.8 Elage 1 Tage	
NAME OF THE PARTY	-2.4	Max UX=5.1	
MIN Noeud	2400	Elage d Max UX=1.4 Flage d Fla	PAILLASSE DP PAILLASSE
Cas	21	Etage 3 -4.59 Etage 2 -4.59 -4.59 -4.59 -4.59 -4.59 -4.59	PALIER POT PP
Mode	'		PR PS cr16+4

(a) Poteau (25x30)

	UX [cm]	Max UK=13.7 743	AVANT OUR
	40.0	Flags 12 Max UX=124 Elags 126	
MAX	13.8	Max UX=11.5	
Noeud	2401	Max UX=10.3	
Cas	21	Max UX=9.0	
Mode	3	Max UX=7.6	
		Etage 7, Max UX=6.0 Lage 115.83 Lage 125.83 Lage 125	cr16+4
MIN	-2.0	Max UX=2.7 Max U	PALIER DP
Noeud	2401	Hage 4	PAILLASSE DP PAILLASSE
Cas	21	Etage 3 (±4.59)	PALIER POT
Mode	2	Etage (+1.53%) Max UX=0.0 (+1.53%)	PP PR
			PS cr16+4

(b) Poteau (30x35)

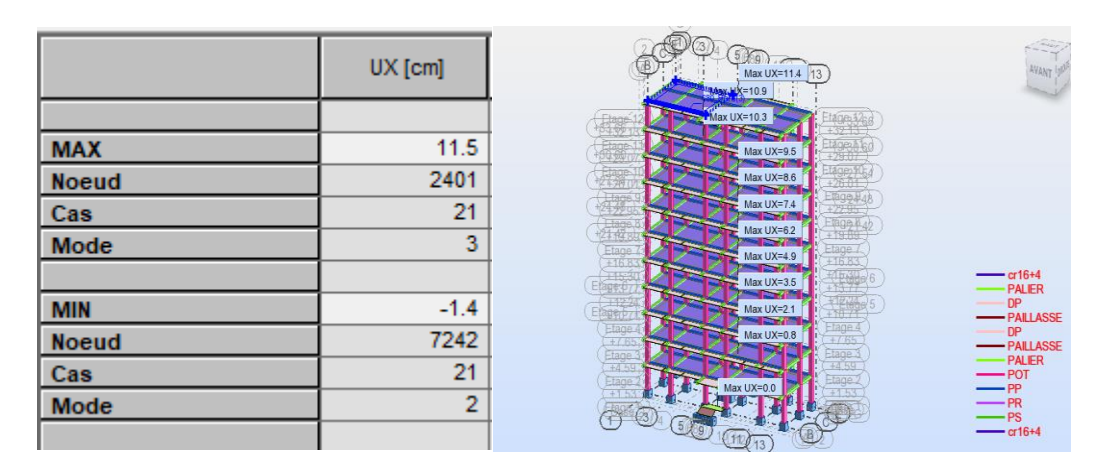


(c) Poteau (30x40)

Chapitre VI: Calcul du joint sismique pour des structures contreventées

	UX [cm]	Max UX=124 [13] Max UX=124 [13] Max UX=124 [13]
	42.0	Flags 1 Max UX=11.3 Elags 12.6 13.7
MAX	12.6	Max UX=10.4
Noeud	2401	Max UX=9.4
Cas	21	Max UX=8.2
Mode	3	Happe 25
		Max UX=4.0 C16+4
MIN	-1.7	Max UX=24 Max UX=24 PAILASSE
Noeud	7242	Hage 4 DP Max UX=1.0
Cas	21	Eage 3 PALER POT Elage 2 POT
Mode	2	Marcux-00 PPP PR

(d) Poteau (35x40)



(e) Poteau (40x50)

Figure VI.11 : Déplacement maximal U_x pour 5 sections différentes de poteaux(R+10).

La largeur du joint sismique pour ces cinq cas et pour R+10 est résumée dans le tableau ci-dessous :

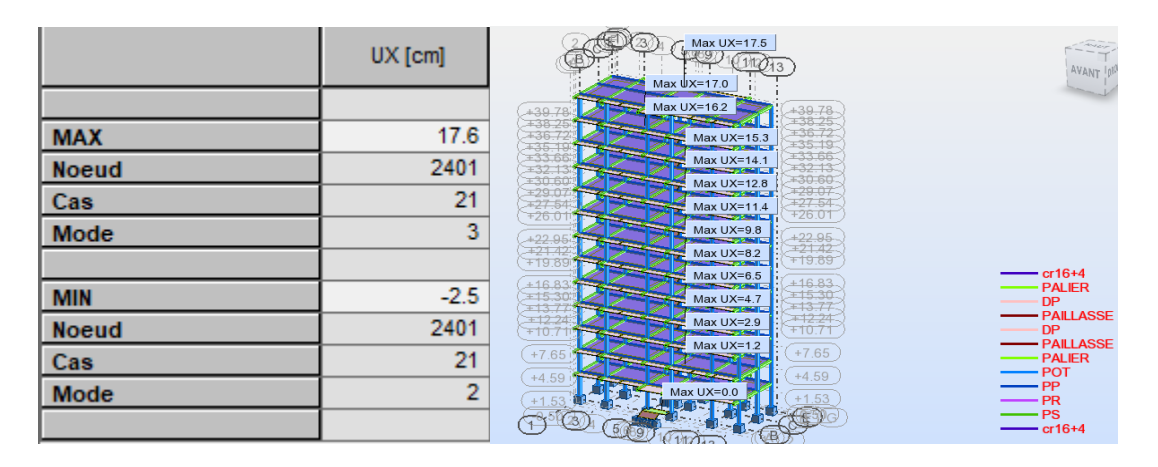
Tableau VI.5: Influence de la variation de la section des poteaux sur la largeur du joint sismique (R+10).

Section du poteau	Déplacement maximal	Largeur minimale
	$\mathbf{U_x}$ en cm	$\mathbf{d}_{\scriptscriptstyle{\mathrm{min}}}$ en cm
Poteau (25x30)	15.9	65.55
Poteau (30x35)	13.8	56.8
Poteau (30x40)	12.8	52.6
Poteau (35x40)	12.6	51.55
Poteau (40x50)	11.5	46.55

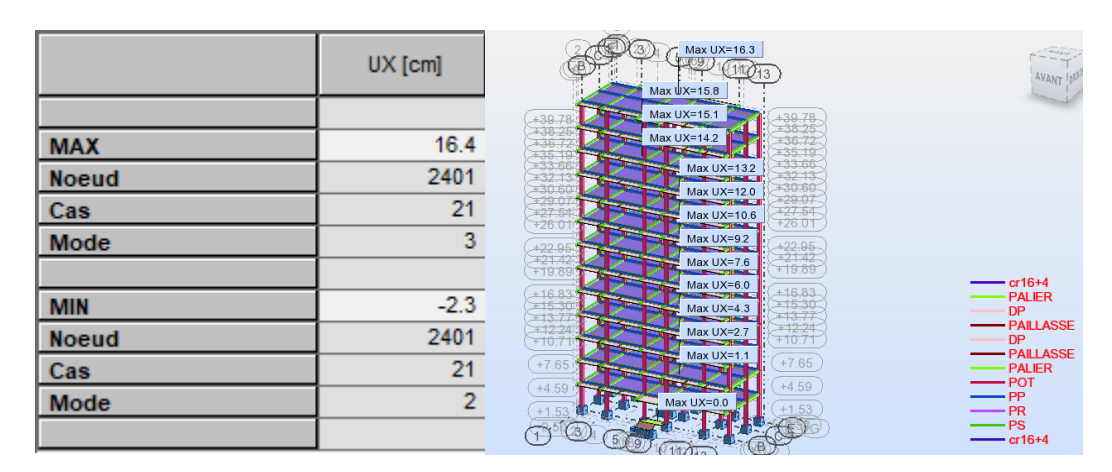
5.Pour R+12:

	UX [cm]	(3) Max UX=203 (117) 13 Max WX=19.7	AVANT PRIN
		#39.78 #38.25 #38.25	
MAX	20.3	Max UX=17.7	
Noeud	2401	Max UX=16.4 33.66 43.66	
Cas	21	#27.54 #26.011 #26.011	
Mode	3	Max UX=11.4 +22.96 +21.42 Max UX=9.5	
		Max UX=7.5	cr16+4
MIN	-2.9	±16.83 ±15.30 ±16.83 ±15.30 ±13.77	PALIER DP
Noeud	2401	Max UX=3.4 +10.711 Max UX=1.5	PAILLASSE DP PAILLASSE
Cas	21	+7.65 +4.59 +4.59	PALIER POT
Mode	2	+1.53 13 + 1.53 (+1.53)	PP PR
			PS cr16+4

(a) Poteau (25x30)



(b) Poteau (30x35)

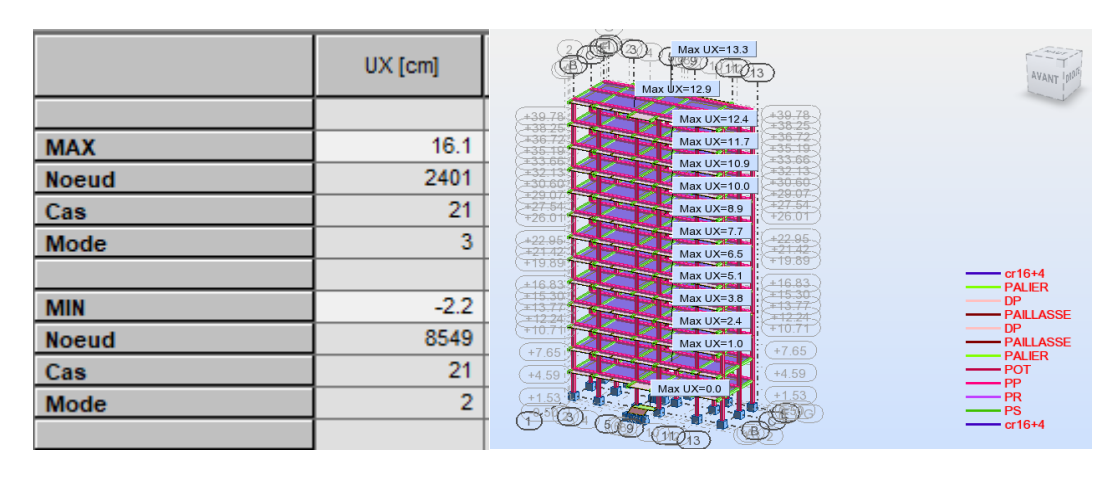


(c) Poteau (30x40)

Chapitre VI: Calcul du joint sismique pour des structures contreventées

	UX [cm]	Max UX=14.6 Max UX=14.6	AVANT JOS
		Max UX=13.5	
MAX	14.8	Max UX=12.7	
Noeud	2401	Max UX=11.8 #33.66 #32.18	
Cas	21	+29.07 +27.54 Max UX=9.5 +27.54	
Mode	3	May IIV=9.4	
		422.95 +21.42 +19.88 +19.88	cr16+4
MIN	-1.8	#16.83 #15.30 #15.30 #15.30 #15.30	PALIER DP
Noeud	8550	#13.71 #12.24 #10.71	PAILLASSE DP
Cas	21	+7.65 +7.65	PAILLASSE PALIER
Mode	2	+4.59 (+4.59) Max UX=0.0 (+1.53)	POT PP
		(+153) (1) 5(3) (1) (1) (1) (1) (1) (1) (1) (1) (1) (1	PR PS cr16+4

(d) Poteau (35x40)



(e) Poteau (40x50)

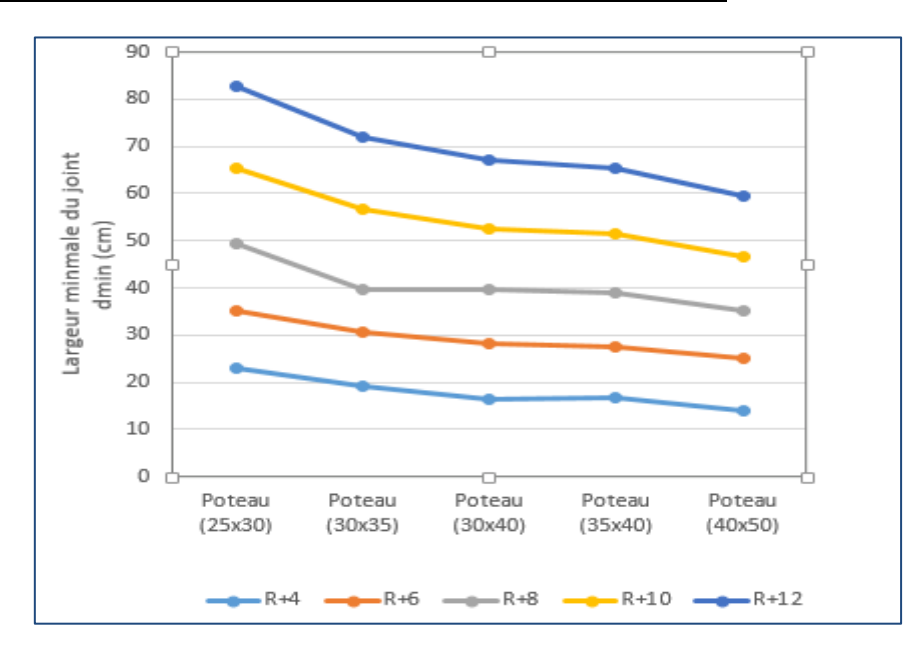
Figure VI.12 : Déplacement maximal U_x pour 5 sections différentes de poteaux (R+12).

La largeur du joint sismique pour ces cinq cas et pour R+12 est résumée dans le tableau ci-dessous :

Tableau VI.6 : Influence de la variation de la section des poteaux sur la largeur du joint sismique (R+12).

Section du	Déplacement maximal	Largeur minimale
poteau	U _x en cm	$\mathbf{d}_{\scriptscriptstyle{\mathrm{min}}}$ en cm
Poteau (25x30)	20.3	82.7
Poteau (30x35)	17.6	71.85
Poteau (30x40)	16.4	66.95
Poteau (35x40)	16.1	65.55
Poteau (40x50)	14.8	59.6

Courbe récapitulatif de l'influence des sections de poteaux



FigureVI.13 : Courbe récapitulatif de l'influence des sections de poteaux

Selon les résultats du tableau précédent, il est évident que, l'augmentation des dimensions de la section du poteau a très nettement influencé les déplacements provoqués au sommet de la structure et donc la largeur du joint a considérablement diminué. Cela s'explique par la diminution du déplacement horizontal maximal de la structure en raison de l'augmentation de la rigidité de la structure due à l'augmentation de l'inertie des poteaux.

La comparaison de ces résultats nous montre que les déplacements importants sont enregistrés pour la structure avec les sections de poteau minimales (25x30) que ce soit la hauteur de la structures, la largeur du joint sismique est réduits en moyenne de 27,93% pour la structure avec section de poteau (35x50) par rapport à la section de poteau (25x30) et cela pour une structure de 12 niveaux

Pour une structure R+4, le taux de réduction est de 38.29% pour la structure avec section de poteau (35x50) par rapport à la section de poteau (25x30)

Lorsque la section des poteaux est modifiée, cela peut avoir un impact significatif sur la réponse sismique de la structure et, par conséquent, sur la largeur du joint sismique. En général, si la section des poteaux est augmentée, cela conduit à une augmentation

de l'inertie de ces éléments, ce qui peut réduire les déformations et les déplacements horizontaux de la structure.

VI.I.3. Influence de la variation de la section des poutres principales sur la largeur du joint

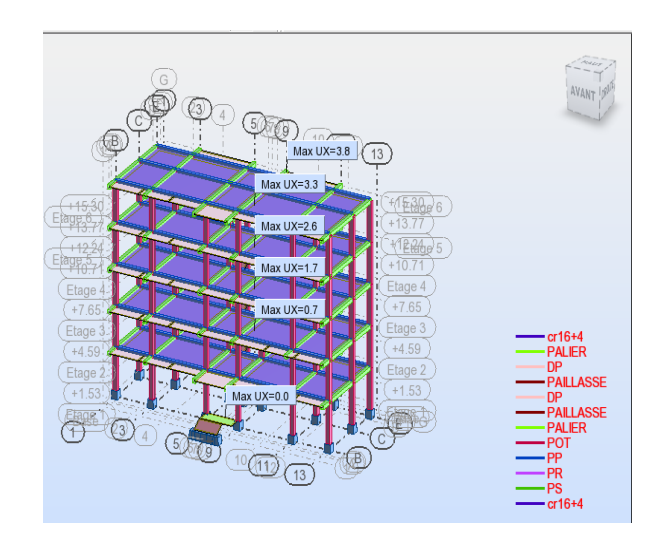
La variation de la section des poutres principales peut également avoir une influence sur la largeur du joint sismique. Les poutres principales jouent un rôle essentiel dans la résistance et la rigidité globale de la structure face aux forces sismiques.

Il est important de noter que les dimensions des poutres principales (largeur et hauteur) sont les variables clés dans cette variation, et nous les ajustons avec un pas de 5 cm pour observer les changements correspondants dans les déplacements et la largeur du joint sismique pour chaque hauteur de construction donnée (R+4, R+6, R+8, R+10 et R+12). Les dimensions de poutres principales adoptées sont : Poutre principale (30x35), poutre principale (35x40), poutre principale (40x40) poutre principale (45x50) et poutre principale (50x55).

La figure V.13 présente les résultats de déplacement horizontal pour les 5 cas d'étude et pour une structure R+4.

1. Pour R+4:

	UX [cm]
MAX	3.8
Noeud	2400
Cas	21
Mode	3
MIN	-0.6
Noeud	2400
Cas	21
Mode	1

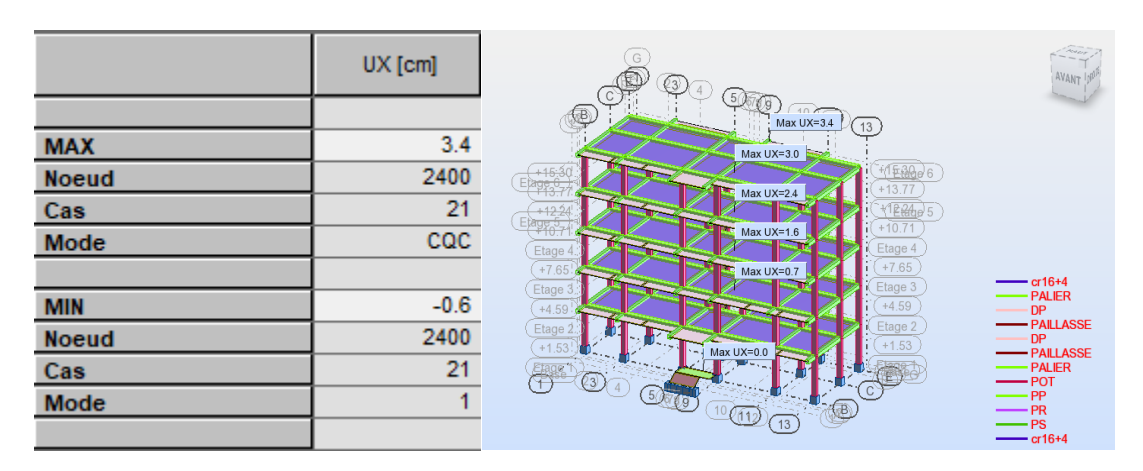


(a) Poutre principale (30x35)

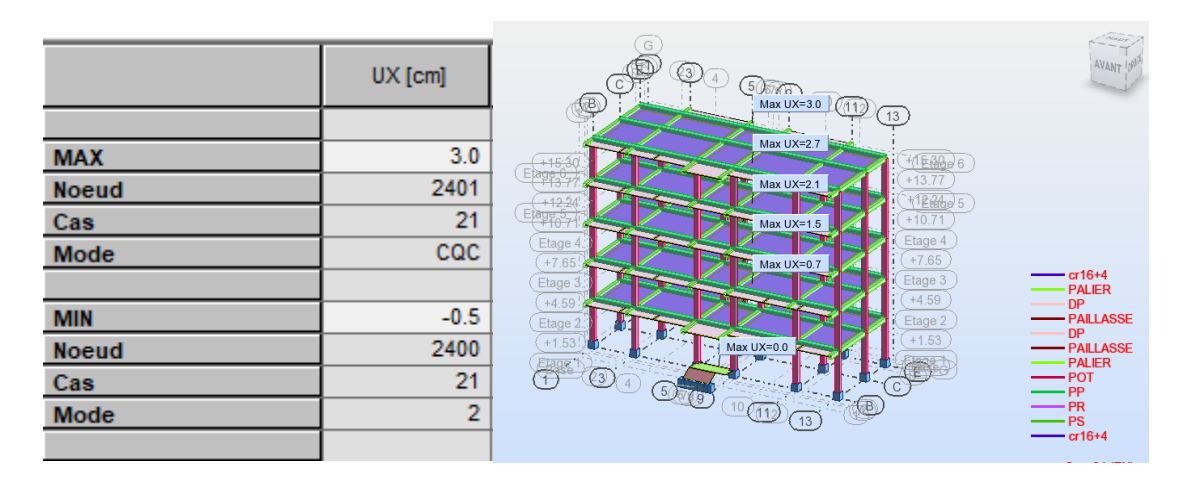
Chapitre VI : Calcul du joint sismique pour des structures contreventées

	UX [cm]		AVANT MIR
		Max UX=3.4 13	
MAX	3.4	Max UX=30 (150)	
Noeud	2400	Max UX=2.4	
Cas	21	11250 Enges 5 (+10.71)	
Mode	CQC	Etage 4 (Etage 4)	
		+7.65 Max UX=0.7	cr16+4
MIN	-0.6	Etage 3 (Etage 3 (44.59)	PALIER DP
Noeud	2400	Etage 2	PAILLASSE DP PAILLASSE
Cas	21	(+1.53) Max UX=0.0 (+1.53)	PALIER POT
Mode	1		PP PR
		13 13	PS cr16+4

(b) Poutre principale (35x40)

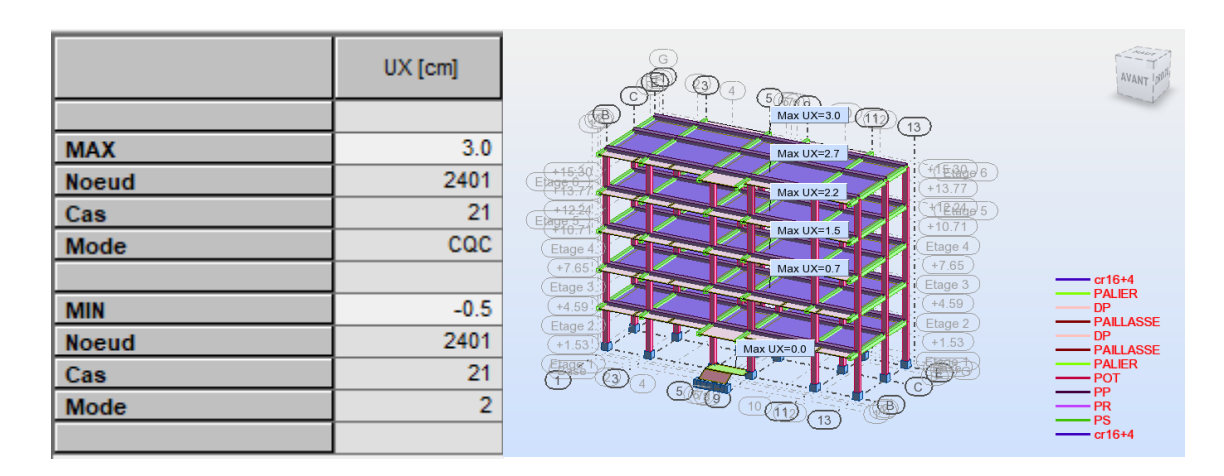


(c) Poutre principale (40x40)



(d) Poutre principale (45x50)

Chapitre VI: Calcul du joint sismique pour des structures contreventées



(e) Poutre principale (50x55)

Figure VI.14: Déplacement maximal U_x pour 5 sections différentes de poutres principales(R+4)

La largeur du joint sismique pour ces cinq cas et pour une structure R+4 est résumée dans le tableau ci-dessous :

Tableau VI.7: Influence de la variation de la section des poutres principales sur la largeur du joint sismique (R+4)

Section des poutres principales	Déplacement maximal U_{x} en cm	Largeur minimale d _{min} en cm
Poutre principale (30x35)	3.8	16.4
Poutre principale (35x40)	3.4	15.5
Poutre principale (40x40)	3.4	15.5
Poutre principale (45x50)	3	13.75
Poutre principale (50x55)	3	13.75

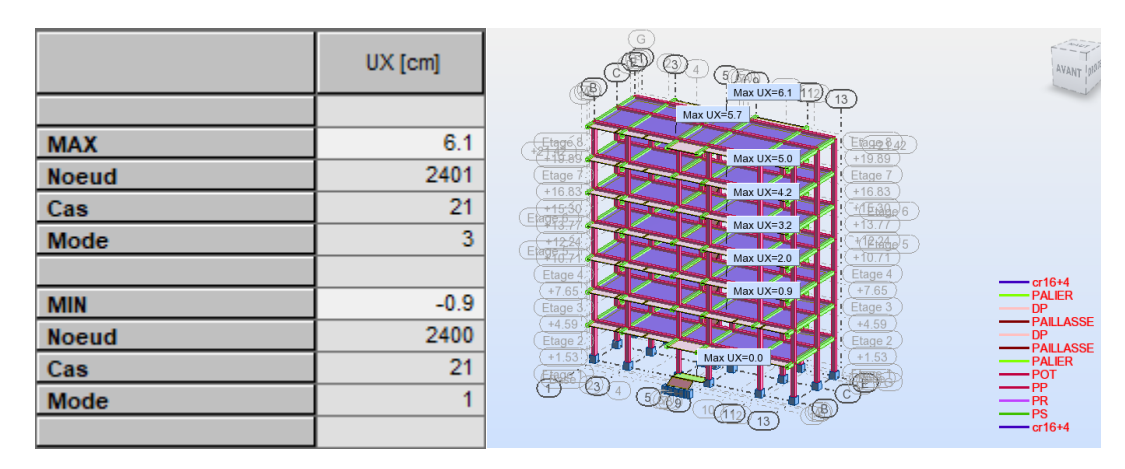
2. Pour R+6:

La figure VI.15 présente les résultats de déplacement horizontal pour les 5 cas d'étude et pour une structure R+6.

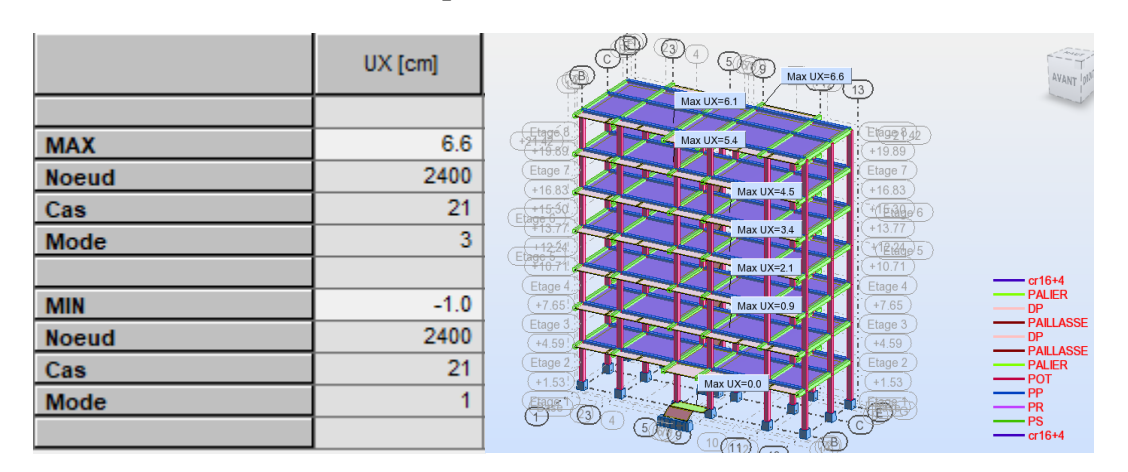
Chapitre VI : Calcul du joint sismique pour des structures contreventées

	UX [cm]	3 4 5 9 May 117-5 5 D	AVANT pl9
MAX Noeud Cas Mode	6.6 2400 21 3	Max UX=6 6 Max UX=6 1 Flag 6 8 P 15 8 9 Max UX=6 4 Flag 8 7 Flag 8 7	
MIN Noeud Cas Mode	-1.0 2400 21 1	Etage 4 (7 66) Etage 3 (4 59) Etage 2 (1 53) Max Ux=0 0 Etage 2 (1 53) Max Ux=0 0 Etage 2 (1 53) Etage 2 (1 53) Etage 2 (1 53)	

a) Poutre principale (30x35)

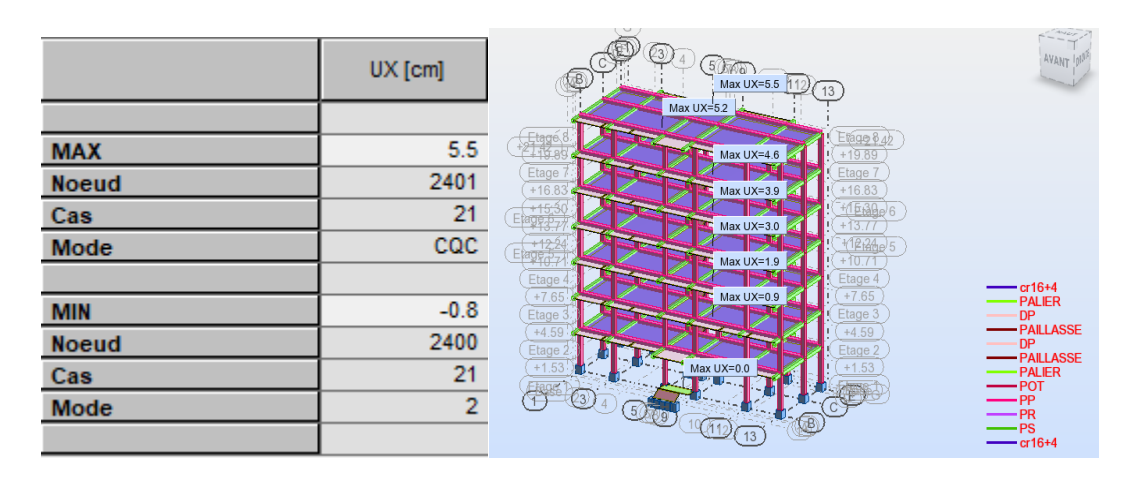


b) poutre principale (35x40)

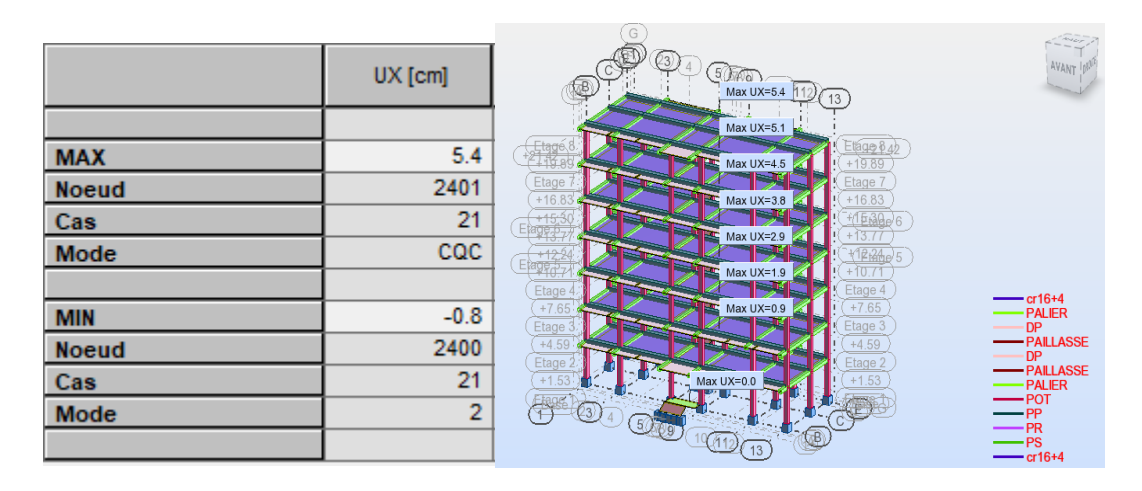


c) poutre principale (40 x 40)

Chapitre VI: Calcul du joint sismique pour des structures contreventées



d) poutre principale (45x50)



e) poutre principale (50x55)

Figure VI.15 : Déplacement maximal U_x pour 5 sections différentes de poutres principales (R+6)

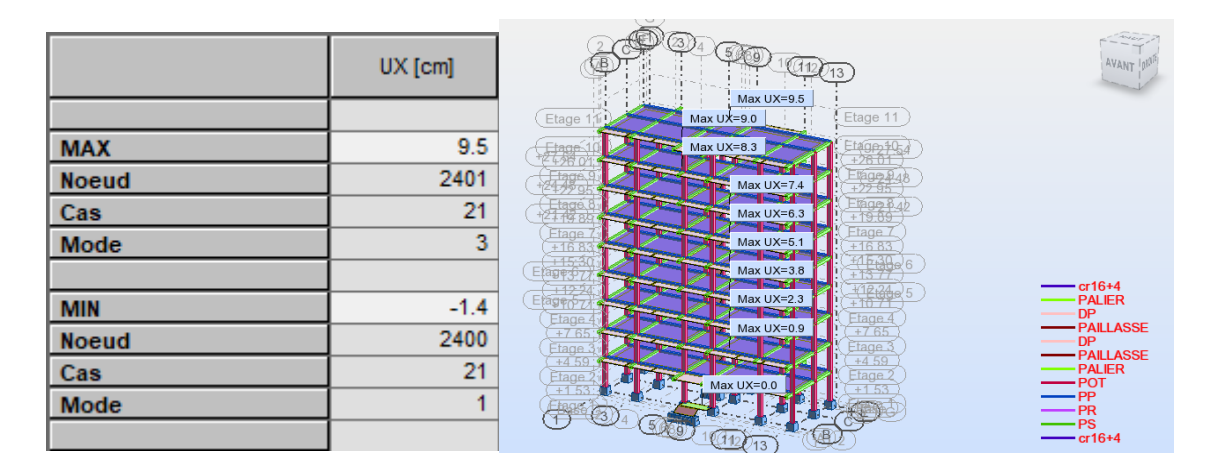
La largeur du joint sismique pour ces cinq cas et pour une structure R+6 est résumée dans le tableau ci-dessous :

Tableau VI.8: Influence de la variation de la section des poutres principales sur la largeur du joint sismique (R+6)

Section des poutres principales	Déplacement maximal U_x en cm	Largeur minimale d _{min} en cm
Poutre principale (30x35)	6.6	28.1
Poutre principale (35x40)	6.1	26
Poutre principale (40x40)	6.6	28.1
Poutre principale (45x50)	5.5	23.55
Poutre principale (50x55)	5.4	23.2

3.Pour R+8:

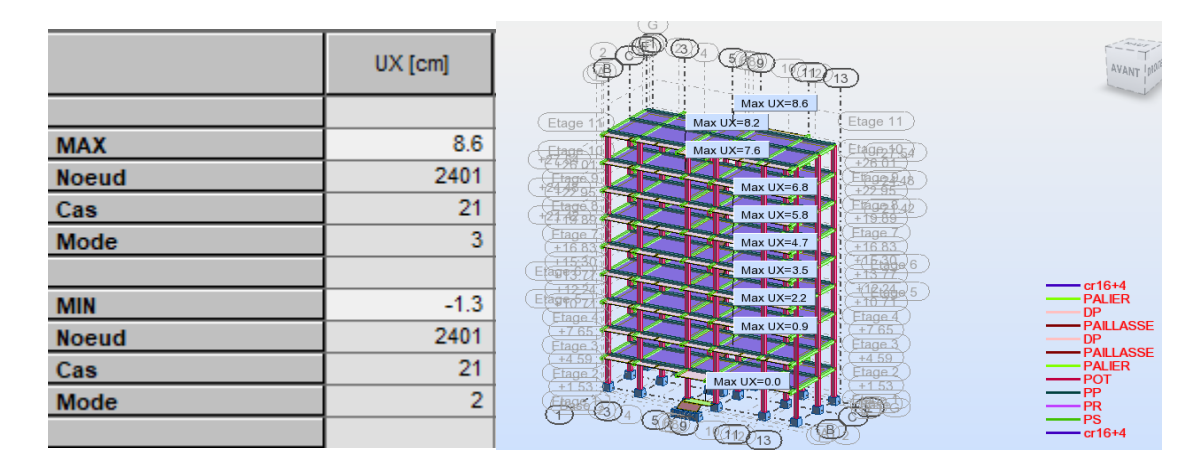
La figure VI.16 présente les résultats de déplacement horizontal pour les 5 cas d'étude et pour une structure R+8.



a) Poutre principale (30x35)

	UX [cm]		AVANT I PAN
	0.7	Max UX=8.7 Etage 11 Max UX=8.3 Etage 11	
MAX Noeud	8.7 2401	Max UX=7.7	
Cas	2401	Max UX=6.9 Fig. 8.40 (7.56.4)	
Mode	3	Elaga 3. Max UX=5 9 Fings 6.4 Fings 6.	
		Max UX=3.5 #1577 6	cr16+4
MIN	-1.3	Max UX=2.2	PALIER DP
Noeud	2401	Etage 4 +765 Etage 3	PAILLASSE DP
Cas	21	(+4.59) (Stage 2)	PAILLASSE PALIER POT
Mode	2	Max UX=0.0	PP PR
		111113	PS cr16+4

b) Poutre principale (35x40)

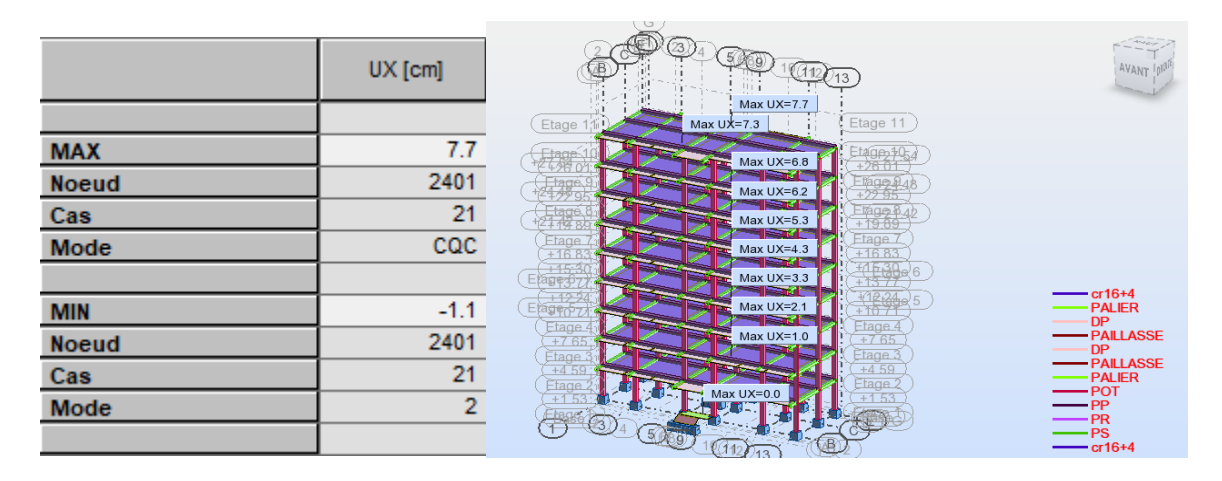


c) Poutre principale (40x40)

Chapitre VI: Calcul du joint sismique pour des structures contreventées

	UX [cm]	1 (112)	AVANT I MA
	7.0	Max UX=7.9 Etage 11 Etage 11	
MAX	7.9	Flage 10 Max UX=7.0 Etage 10.	
Noeud	2401	Hard 37 - 1 - 1 - 1 - 1 - 1 - 1 - 1 - 1 - 1 -	
Cas	21	Hage 8 47	
Mode	CQC	Hage 7 Ha	
		Eage 677 Max UX=3.3	
MIN	-1.1	Max UX=2.1	
Noeud	2401	Etage 4	PAILLASSE DP
Cas	21	+4 59 Flage 2	PAILLASSE PALIER POT
Mode	2	Max UX=0.0	PP PR
		T 04 5 0 1 (1973) B	PS cr16+4

d) Poutre principale (45x50)



e) Poutre principale (50x55)

Figure VI.16: Déplacement maximal U_x pour 5 sections différentes de poutres principales (R+8)

La largeur du joint sismique pour ces cinq cas et pour une structure R+8 est résumée dans le tableau ci-dessous :

Tableau VI.9: Influence de la variation de la section des poutres sur la largeur du joint sismique (R+8)

Section des poutres	Déplacement maximal	Largeur minimale
principales	$\mathbf{U}_{\mathbf{x}}$ en cm	$\mathbf{d}_{\scriptscriptstyle{\mathrm{min}}}$ en cm
Poutre principale (30x35)	9.5	39.65
Poutre principale (35x40)	8.7	36.5
Poutre principale (40x40)	8.6	36.15
Poutre principale (45x50)	7.9	33
Poutre principale (50x55)	7.1	32.3

4.Pour R+10:

La figure VI.17 présente les résultats de déplacement horizontal pour les 5 cas d'étude et pour une structure R+10.

	UX [cm]	Max UK=12.7 [13]	AVANT O
		Max UX=11.6 Elage 12.6	
MAX	12.8	Max UX=10.7	
Noeud	2401	Hage 11 Max UX=9.6	
Cas	21	Max UX=8.4	
Mode	3	Max UX=7.0 Egg # 40 15.05 Egg # 40 E	
		Max UX=5.6 15.5 15.5 15.5 15.5 15.5 15.5 15.5 1	cr16+4
MIN	-1.8	Eage 5 / Max UX=2.5	PALIER DP PAILLASSE
Noeud	2401	Etage 4 +7.65	DP PAILLASSE
Cas	21	Etage 3 F4 59 Etage 2	PALIER POT
Mode	2	Max 0.=0.0	—— PP —— PR —— PS
		(T)	cr16+4
			0 04 /EV

a) Poutre principale (30x35)

	UX [cm]	Max UX=11.6 13	AVANT 180
MAY	11.6	Max UX=11.5 Hage 12 Max UX=10.5 Etage 12 Etage	J
MAX Noeud	2401	Max UX=9.7 Max UX=8.8 Lager U.S.	
Cas	21	Etage 9 4/24 9/9 gt Max UX=7.7 Etage 9/48 4/24 9/9 gt Etage 8/4	
Mode	3	Max UX=6.5 Hage / H	
MIN	-1.6	Max UX=3.8 Figure 6 Max UX=2.4 Figure 5	cr16+4 PALIER
Noeud	2401	Etage 4 Max UX=1.0 Etage 4 +7.65	PAILLASSE DP
Cas	21	Etage 3	PAILLASSE PALIER
Mode	2	Max UX=0.0	—— POT —— PP —— PR
			——PS ——cr16+4

b) Poutre principale (40 x 40)

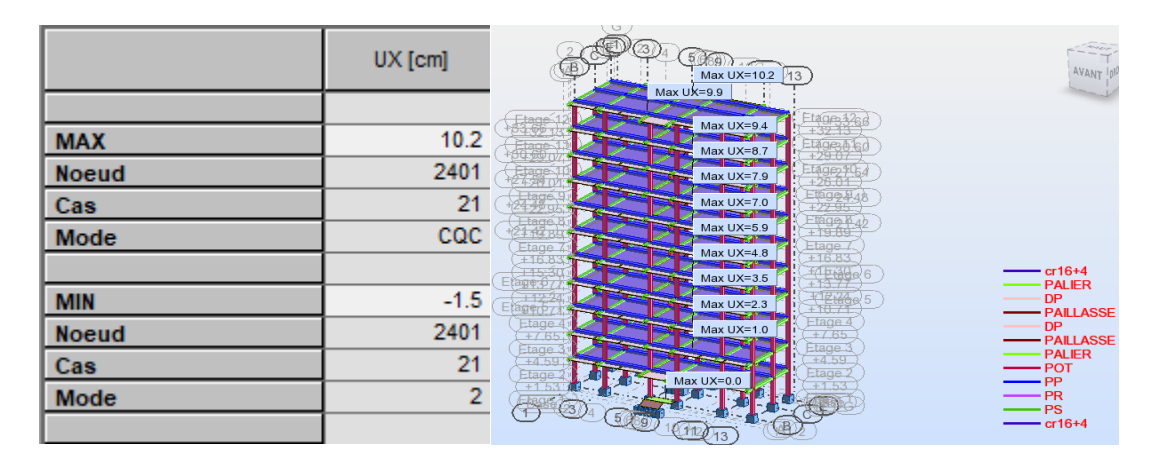
	UX [cm]	Max UX=117 13	17 1000
			in Art
MAX	11.7	Hangs 12	
Noeud	2401	Max UX=8.9 Lager II.	
Cas	21	Max UX=7.8	
Mode	3	Hage A H	
		May 117-29 - cr16+4	
MIN	-1.7	Max UX=2.4 DP	
Noeud	2401	Etage 4 Max UX=1.0 PAIL AS	
Cas	21	Etage 1 +4 591 POT	
Mode	2	+1.53 PR	
		PS cr16+4	

c) Poutre principale (35x40)

Chapitre VI: Calcul du joint sismique pour des structures contreventées

	UX [cm]	Max UX=10.4 [13]	AVANT 1010
		Max UX=10.1	
MAX	10.4	Max UX=9.6	
Noeud	2401	Max UX=8.9 Lage 11 50	
Cas	21	Max UX=8.0 Lager U Lag	
Mode	CQC	Hage U	
		Etage 7 Max UX=4.8 ±16.83	
MIN	-1.5	Elagrania Max UX=36	
Noeud	2401	Elagen Max UX=2.3 Hage 4 Hage	PAILLASSE DP
Cas	21	#1.65 Max 0x=1.0 Far.65 Etage 1 Far.65 Etage 1 Far.65 Etage 1 Far.65 Far.65	PAILLASSE PALIER
Mode	2	Etage 2 Max Ux=0.0 Etage 2 +1.53	POT PP
			PR PS cr16+4

d) Poutre principale (45x50)



e) Poutre principale (50x55)

Figure VI.17 : Déplacement maximal U_x pour 5 sections différentes de poutres principales (R+10)

La largeur du joint sismique pour ces cinq cas et pour une structure R+10 est résumée dans le tableau ci-dessous :

Tableau VI.10: Influence de la variation de la section des poutres sur la largeur du joint sismique (R+10)

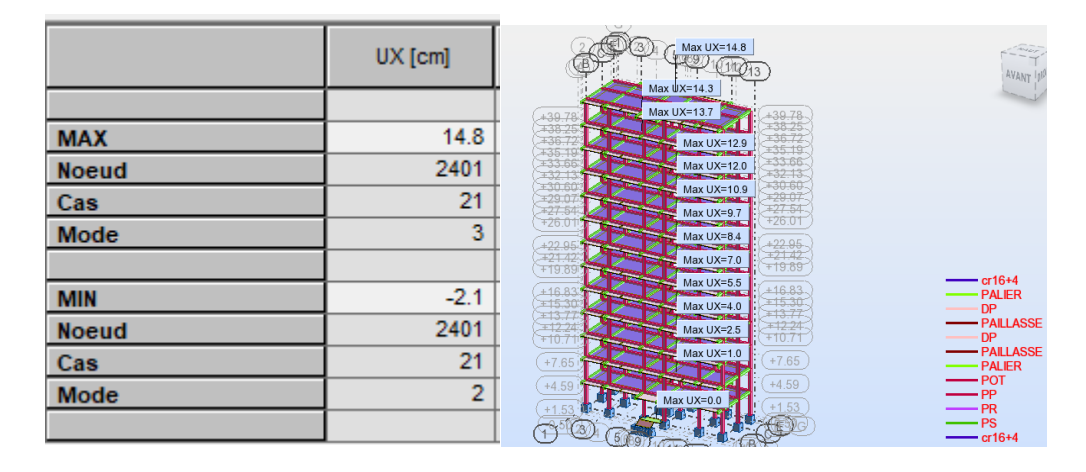
Section des poutres	Déplacement maximal	Largeur minimale
principales	$\mathbf{U}_{\mathbf{x}}$ en cm	$\mathbf{d}_{\scriptscriptstyle{ ext{min}}}$ en cm
Poutre principale (30x35)	12.8	52.6
Poutre principale (35x40)	11.7	48.4
Poutre principale (40x40)	11.6	47.7
Poutre principale (45x50)	10.4	43.15
Poutre principale (50x55)	10.2	42.45

5. Pour R+12:

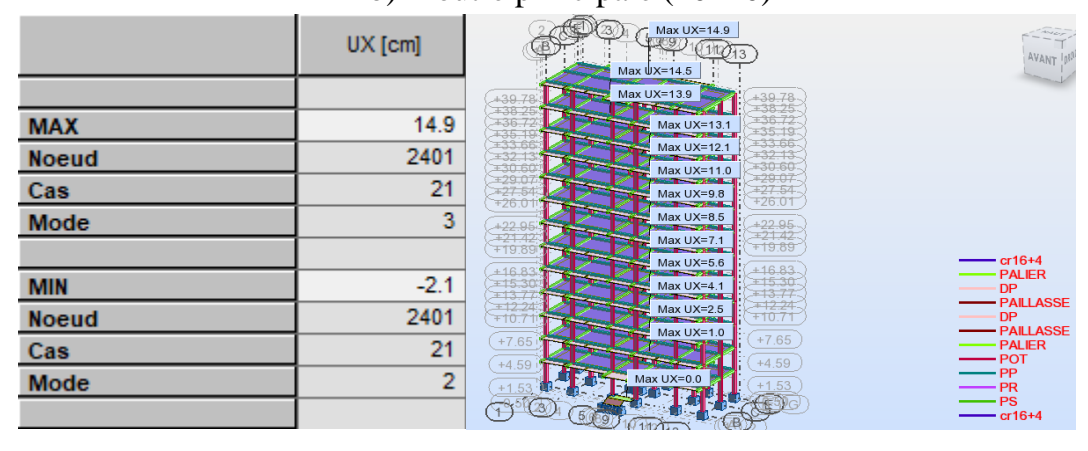
La figure VI.18 présente les résultats de déplacement horizontal pour les 5 cas d'étude et pour une structure R+12.

	UX [cm]	Max UX=16.3 Max UX=16.8	AVANT 1910
		439.78 Max UX=15.1	
MAX	16.4	Max UX=14.2 #36.77 #35.19	
Noeud	2401	Max UX=13.2 #33.563 Max UX=13.2 #33.563 Max UX=12.0	
Cas	21	Max UX=12.0 Max UX=12.0 Max UX=10.0 72.5	
Mode	3	+22.95 Max UX=9.2 +22.95	
		(±19.89)	cr16+4
MIN	-2.3	#16.83 #15.50 Max UX=4.3 #15.77 #12.77	PALIER DP
Noeud	2401	(±10.71)	PAILLASSE DP
Cas	21	+7.65 Max UX=1.1 +7.65	PAILLASSE PALIER POT
Mode	2	+4.59 +1.53 +1.53 +1.53	—— PP —— PR
			PS cr16+4

a) Poutre principale (30x35)

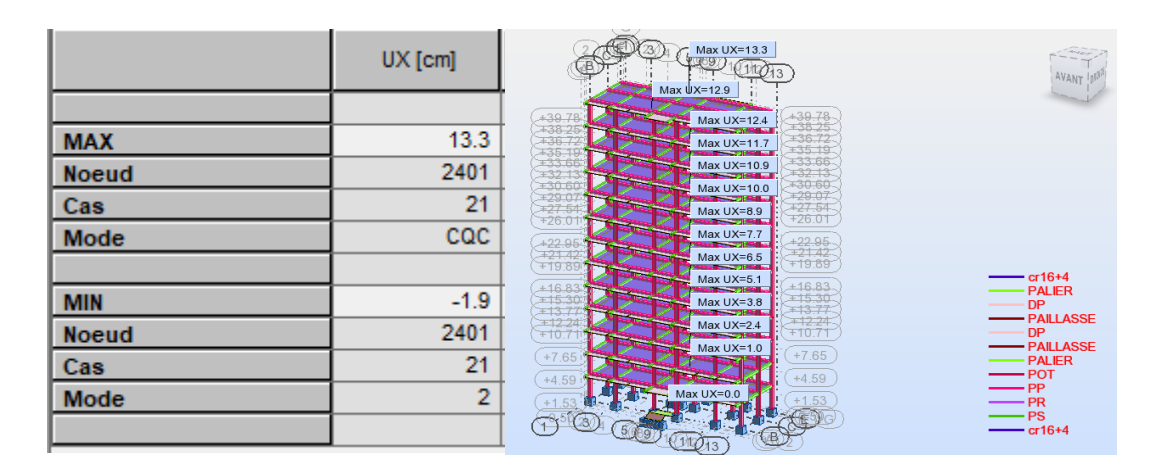


b) Poutre principale (40x40)

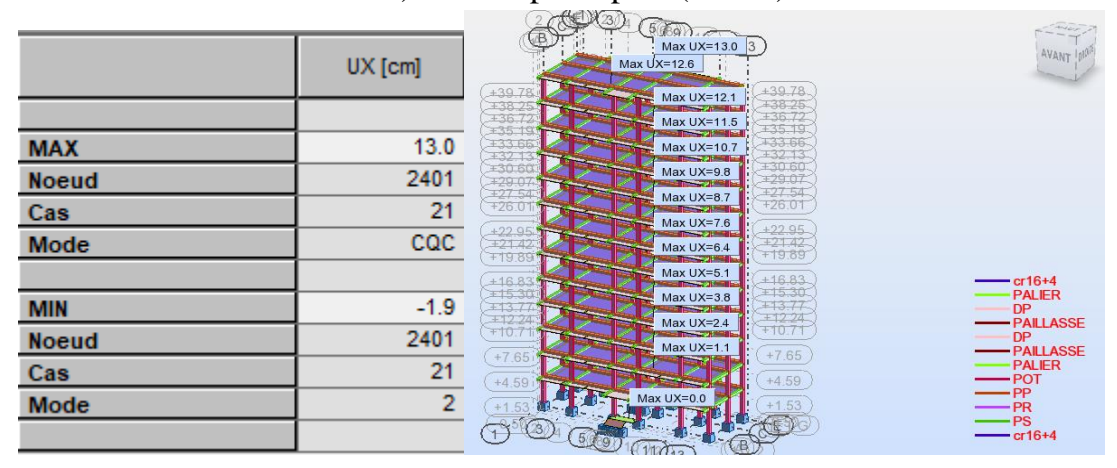


c) Poutre principale (35x40)

Chapitre VI: Calcul du joint sismique pour des structures contreventées



d) Poutre principale (45x50)



e) Poutre principale (50x55)

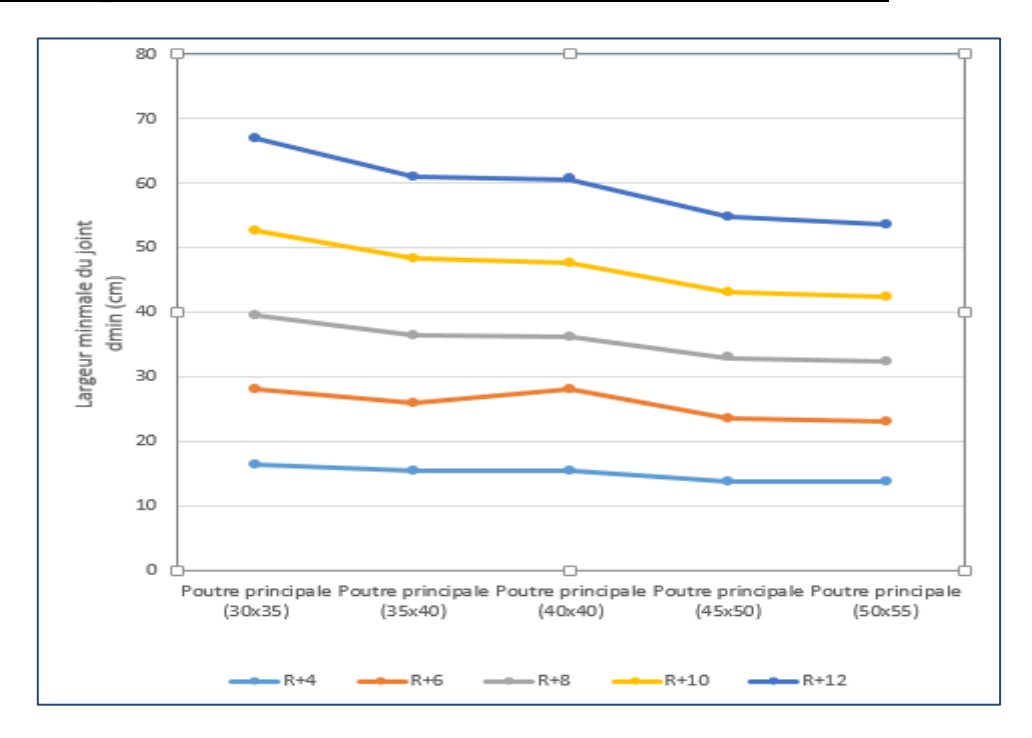
Figure VI.18: Déplacement maximal U_x pour 5 sections différentes de poutres principales (R+12)

La largeur du joint sismique pour ces cinq cas et pour une structure R+12 est résumée dans le tableau ci-dessous :

Tableau VI.11: Influence de la variation de la section des poutres sur la largeur du joint sismique (R+12)

Section des poutres	Déplacement maximal	Largeur minimale
principales	$\mathbf{U}_{\mathbf{x}}$ en cm	$\mathbf{d}_{\scriptscriptstyle{\mathrm{min}}}$ en cm
Poutre principale (30x35)	16.4	66.95
Poutre principale (35x40)	14.9	61
Poutre principale (40x40)	14.8	60.65
Poutre principale (45x50)	13.3	54.7
Poutre principale (50x55)	13	53.65

Courbe récapitulatif de l'influence des sections de poutres principales



FigureVI.19 : Courbe récapitulatif de l'influence des sections de poutres principales

Sur la base de l'ensemble des résultats obtenus, on peut voir que la largeur du joint sismique est inférieure au fur à mesure que la section des poutres principales augmente quel que soit la hauteur de la structure.

La largeur du joint sismique est réduite en moyenne de 19,86% pour la structure avec section des poutres principales (50x55) par rapport à la section de poteau (30x35) et cela pour une structure de 12 niveaux

Pour une structure R+4, le taux de réduction est de 16.10% pour la structure avec section de poteau (35x50) par rapport à la section de poteau (25x30).

Dans ce cas, il est possible que la largeur du joint sismique puisse être réduite car la structure serait plus rigide et capable de mieux résister aux forces sismiques. Cependant, il est important de noter que l'augmentation de la section des poutres principales peut également augmenter les forces internes dans la structure, ce qui doit être pris en compte dans la conception globale.

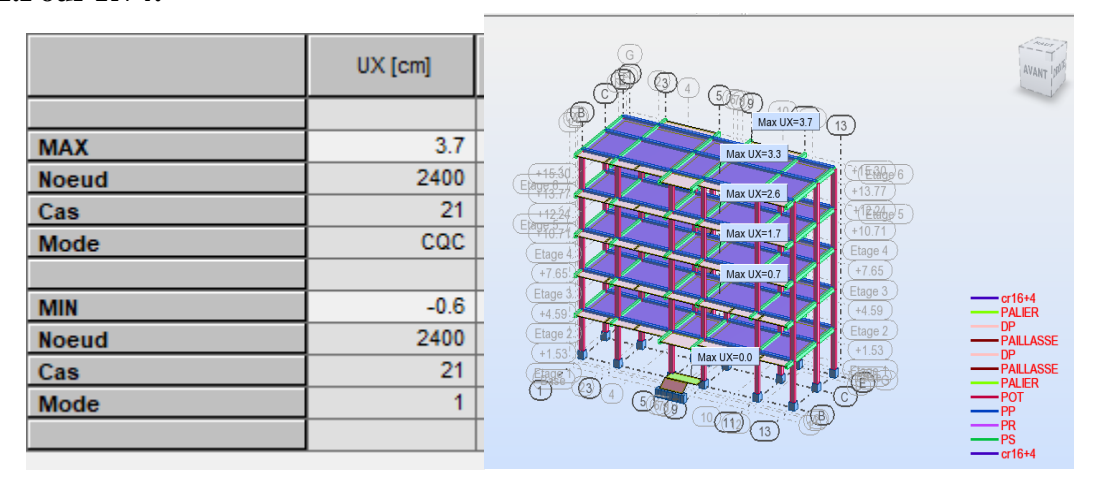
D'autre part, si la section des poutres principales est réduite, cela peut entraîner une diminution de la rigidité de la structure. Cela peut augmenter les déformations et les déplacements horizontaux, ce qui peut nécessiter une plus grande largeur de joint sismique pour permettre une déformation et une absorption d'énergie adéquates.

Mais on remarque si on fait la comparaison de deux sections successives où la différence est de 5cm, on ne voie pas trop de différence en terme de déplacement et la largeur du joint sismique.

VI.I.4. Influence de la variation de la section des chaînages sur la largeur du joint

La variation de la section des chaînages peut avoir une influence significative sur la largeur du joint sismique. Les chaînages sont des éléments structurels qui sont généralement utilisés pour assurer la continuité et le transfert des charges entre les éléments de la structure, tels que les poteaux et les poutres. Lorsqu'un joint sismique est prévu entre ces éléments, la variation de la section des chaînages peut créer des défis supplémentaires dans la conception du joint.

1.Pour R+4:

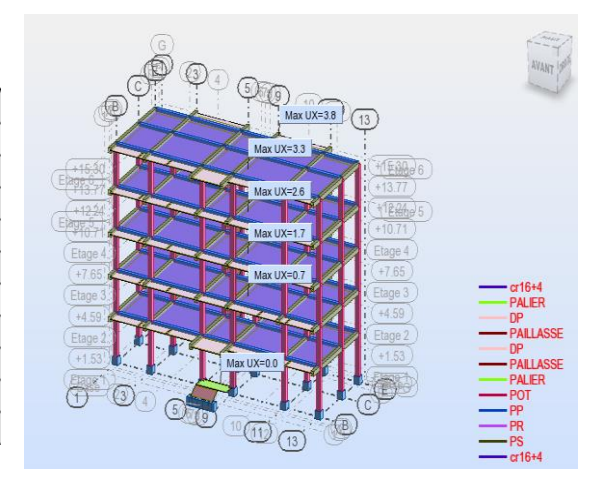


Chapitre VI : Calcul du joint sismique pour des structures contreventées

	UX [cm]	© (0) -	AVANT J905
MAX	3.8	Max UX=38 13	7
Noeud	2400	#15.30 Earp 3.77 Max UX=26 (+13.77)	
Cas Mode	21	Etage 4 + 10.71	
MIN	-0.6	(+7.65) Etage 3 (+4.59) Max UX=0.7 Etage 3 (+4.59)	cr16+4 PALIER DP
Noeud	2400	Etage 2 (+155) (Hax UX=00 (+155) (+155) (Hax UX=00 (+155)	PAILLASSE DP PAILLASSE
Cas Mode	21	T 34 6 10 11 13 18	PALIER POT PP PR
			PS cr16+4

(b) chainage (30x30)

	UX [cm]
MAX	3.8
Noeud	2400
Cas	21
Mode	3
MIN	-0.6
Noeud	2400
Cas	21
Mode	1



(c) chainage (30x35)

	UX [cm]	© © 3	AVANT S
		(5) (8) Max UX=3.6 (13)	
MAX	3.7	Max UX=3.1	
Noeud	2400	#15.50 E207.6 +13.77	
Cas	21	112 SA	
Mode	3	Etage 4 (+10.71)	
		(+7.65) (Etage 3) (A.65) (A.65) (A.65)	cr16+4
MIN	-0.3	(+4.59)	PALIER DP PAILLASSE
Noeud	2400	Etage 2 (+1.53) 0 - Max UX=00 (+1.53)	DP PAILLASSE
Cas	21		PALIER POT
Mode	1	1 S 1 1 1 1 1 1 1 1 1 1 1 1 1 1 1 1 1 1	— PP — PR — PS
			cr16+4

(d) chainage (30x45)

Chapitre VI: Calcul du joint sismique pour des structures contreventées

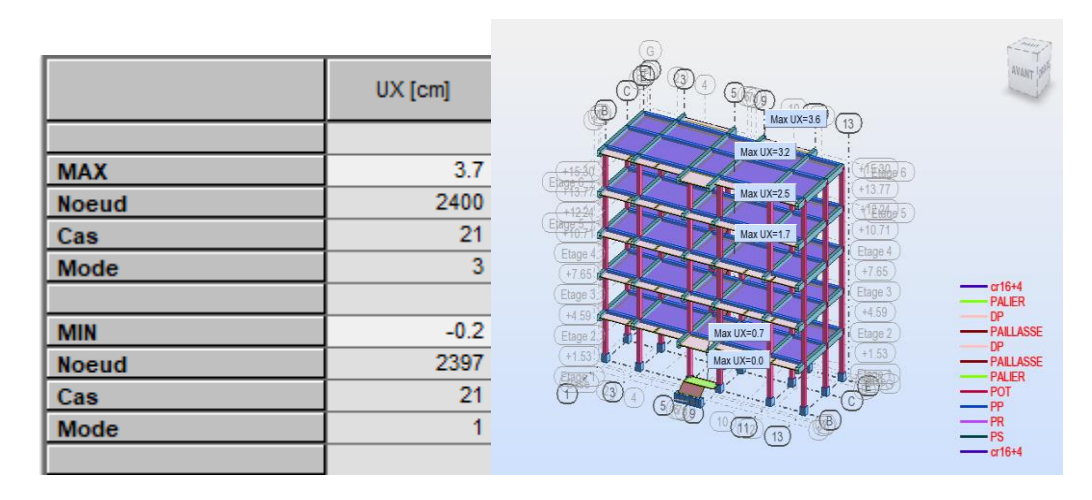


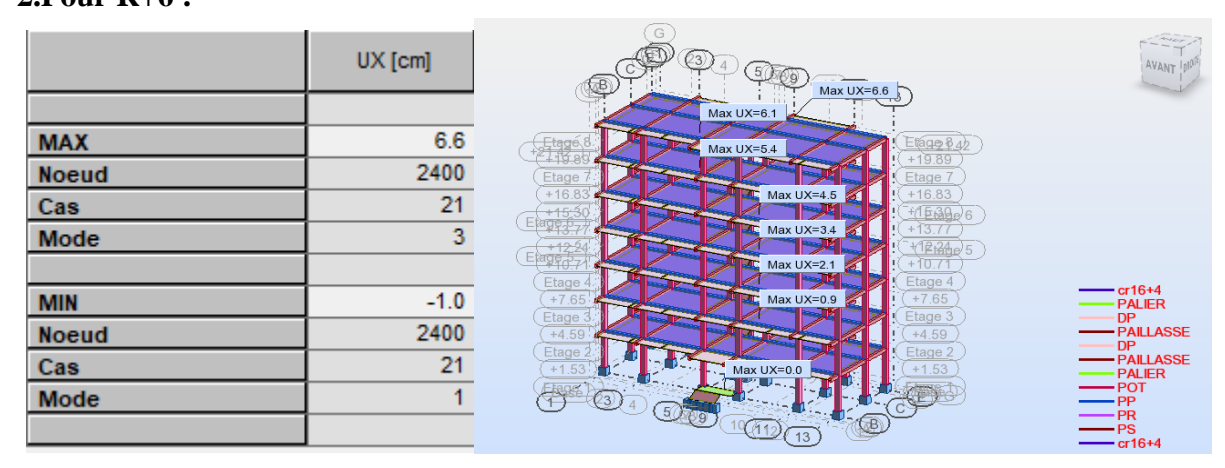
Figure VI.20 : Déplacement maximal U_x pour 5 sections différentes de chainages (R+4).

La largeur du joint sismique pour ces cinq cas est résumée dans le tableau ci-dessous :

Tableau VI.12 : Influence de la variation de la section des chainages sur la largeur du joint sismique (**R+4**).

Section du chainage	Déplacement maximal	Largeur minimale
	$\mathbf{U}_{\mathbf{x}}$ en cm	$\mathbf{d}_{\scriptscriptstyle{\mathrm{min}}}$ en cm
chainage (25x30)	3.7	16.55
chainage (30x30)	3.8	16.4
chainage (30x35)	3.8	16.9
chainage (30x45)	3.7	15.5
chainage (35x45)	3.7	15.15

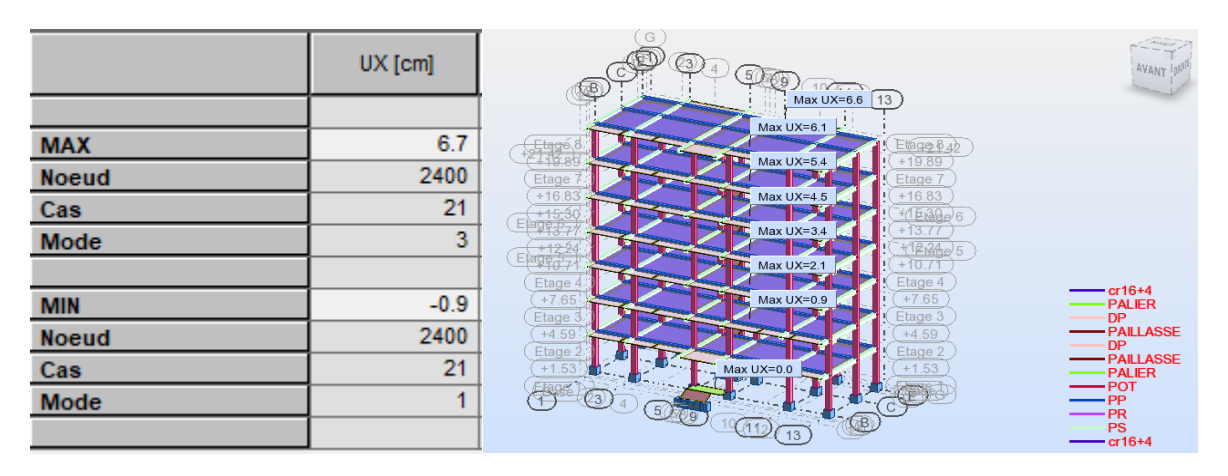
2.Pour R+6:



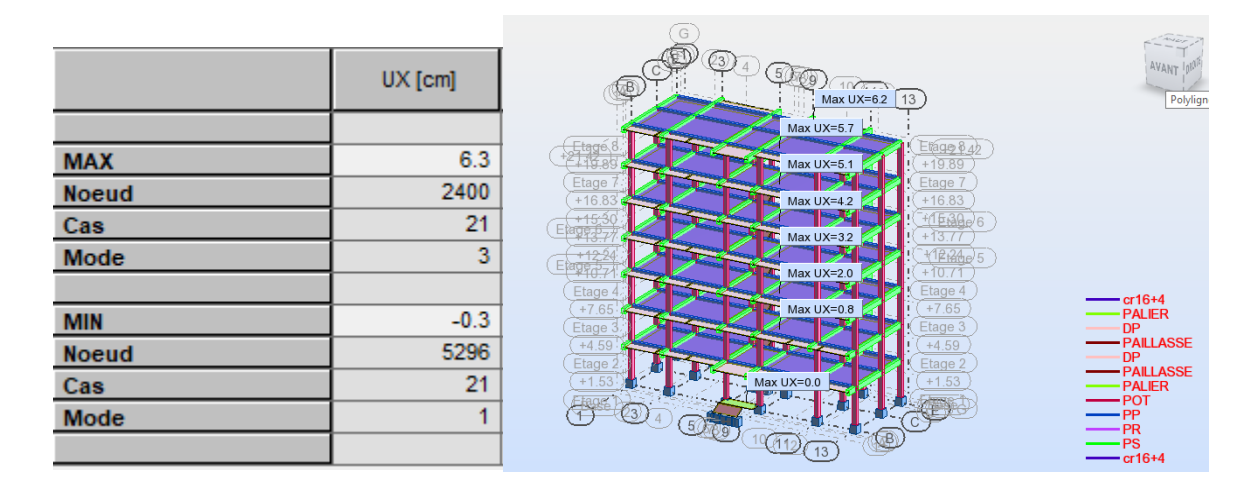
Chapitre VI : Calcul du joint sismique pour des structures contreventées

	UX [cm]	3 4 SIB MAX UX=6.6	AVANT INI
MAX Noeud Cas Mode	6.6 2400 21 3	Max UX=6.8 Max UX=6.8 Max UX=6.8	
MIN Noeud Cas Mode	-1.0 2400 21	Etage 4 (+7.65) Etage 3 (+4.59) Etage 2 (+1.53) Max Ux=0.0 Etage 2 (+1.53) Max Ux=0.0 Etage 2 (+1.53) Max Ux=0.0 Etage 3 (+4.59) Etage 2 (+1.53)	cr16+4 PALER DP PAILLASSE DP PAILLASSE PALER POT PP PR PS cr16+4

(b) chainage (30x30)



(c) chainage (30x35)



(d) chainage (30x45)

Chapitre VI: Calcul du joint sismique pour des structures contreventées

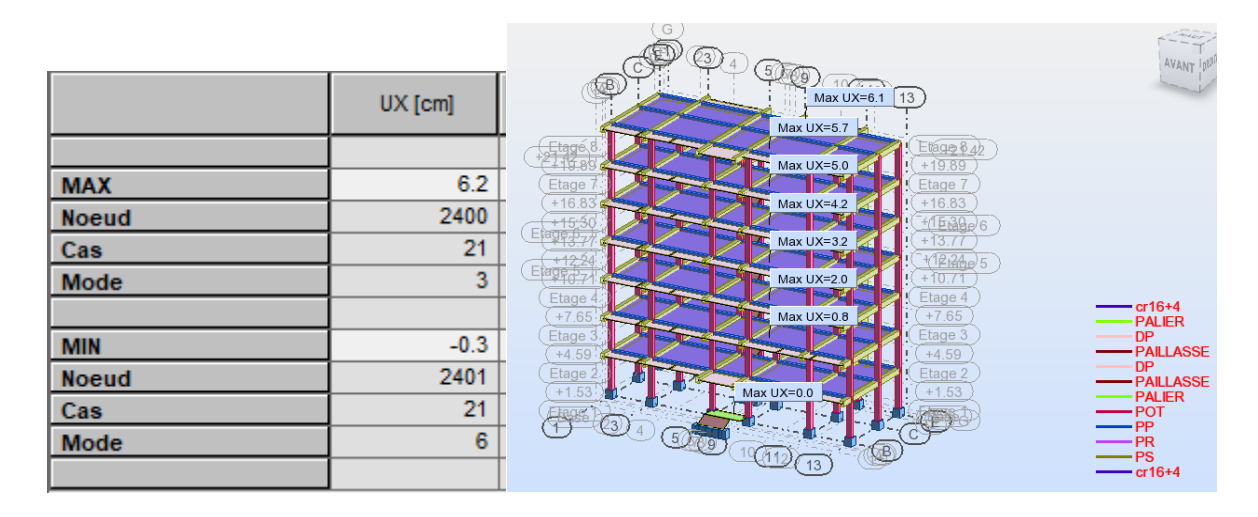
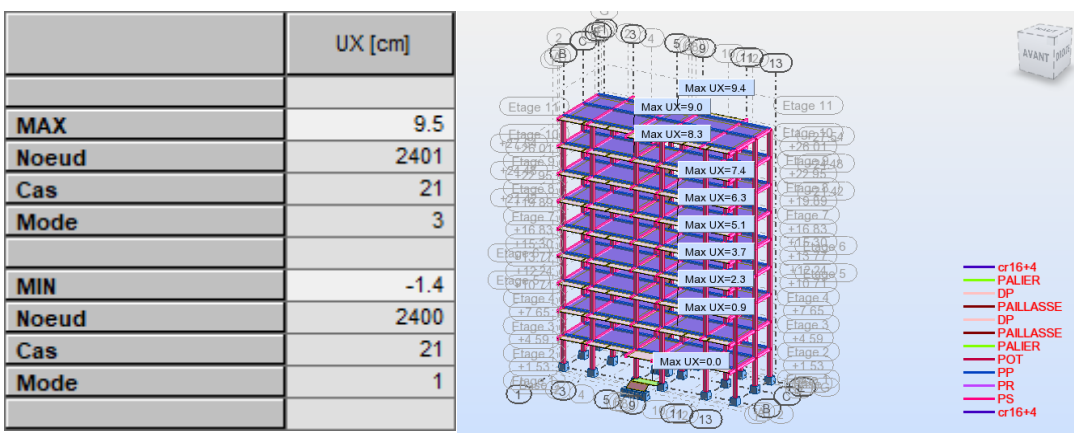


Figure VI.21 : Déplacement maximal U_x pour 5 sections différentes de chainages (R+6).

La largeur du joint sismique pour ces cinq cas est résumée dans le tableau ci –dessous **Tableau VI.13**: Influence de la variation de la section des chainages sur la largeur du joint sismique (R+6).

Section du	Déplacement maximal	Largeur minimale
chainage	$\mathbf{U}_{\mathbf{x}}$ en cm	d _{min} en cm
chainage (25x30)	6.6	28.10
chainage (30x30)	6.6	28.10
chainage (30x35)	6.7	28.10
chainage (30x45)	6.2	24.25
chainage (35x45)	6.3	24.60

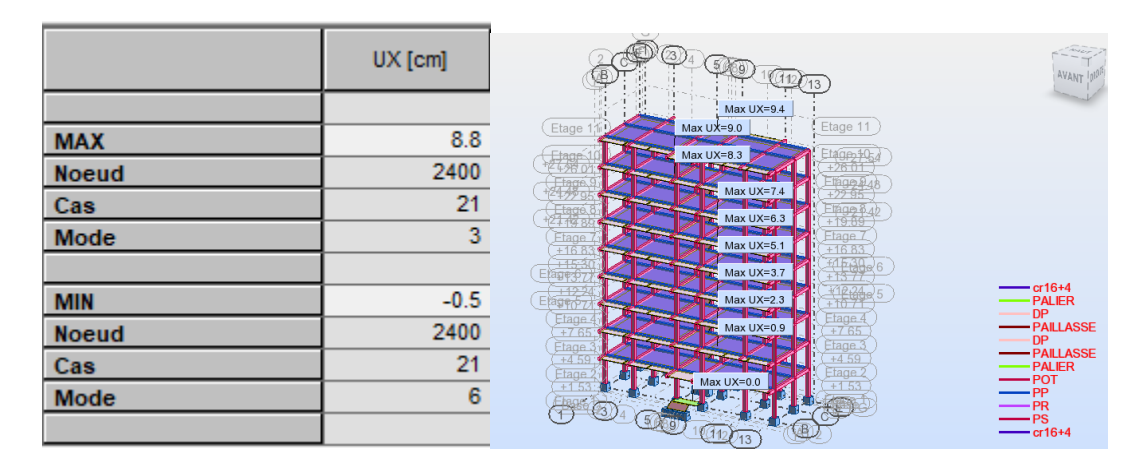
3. Pour R+8:



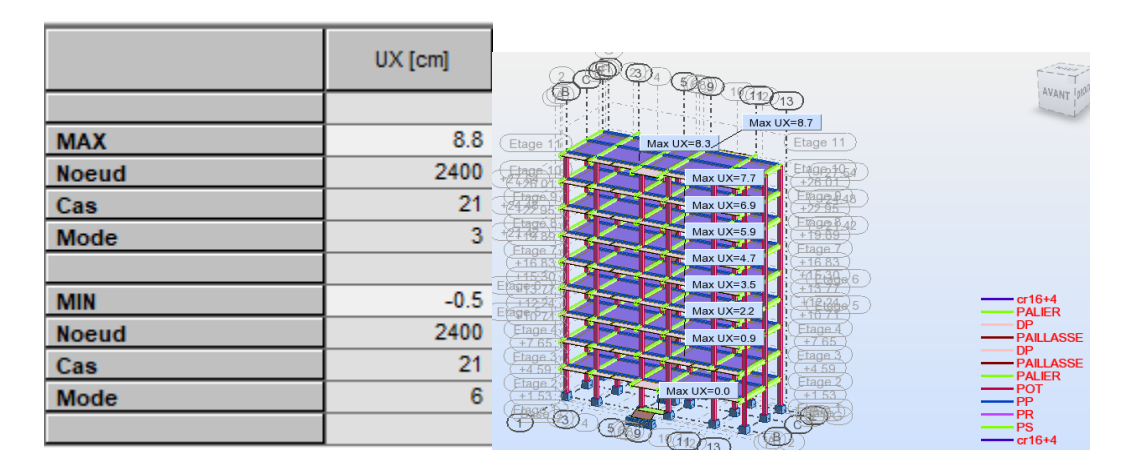
Chapitre VI : Calcul du joint sismique pour des structures contreventées

	UX [cm]	(B) (10) 1(11) (3) Avant 100
		Max UX=9.5
MAX	9.5	Etage 11 Max UX=9.0 Etage 11 Etage 11 Max UX=8.3 Etage 14
Noeud	2401	(学年增)(1)(1)(1)(1)(1)(1)(1)(1)(1)(1)(1)(1)(1)
Cas	21	Ingo 8 Max UX=74 Ingo 8 A Ingo 8
Mode	3	Etage / Land Max UX=5.1
		Enge 0.77 Max UX=3.8
MIN	-1.4	Max UX=2.3 PALIER
Noeud	2400	MAX UX=0.9 PAILLASSE DP
Cas	21	+4 59 PALES
Mode	1	— PP PR
		— PS — cr16+4

(b) chainage (30x30)



(c) chainage (30x35)



(d) chainage (30x45)

Chapitre VI : Calcul du joint sismique pour des structures contreventées

	UX [cm]	(B) (111/13) Max UX=8.7	AVANT 010 ft
		Etage 11 Max UX=82 Etage 11	
MAX	8.7	Flage 10	
Noeud	2400	Max UX=6.8	
Cas	21	Hage 8 40 Hage 8	
Mode	CQC	Flage 7. H16 R3. Hard War UX=4.7 Flage 7. H16 R3.	
		Etape 67 Max UX=3.5	cr16+4
MIN	-0.5	Erage 777	PALIER DP
Noeud	2401	Elage 4 ± 7.65 Elage 5 Elage 5	PAILLASSE DP
Cas	21	H4 59 Hane 2	PAILLASSE PALIER
Mode	6	Max UX=0.0	POT PP PR
		T 11/13 B	PS cr16+4

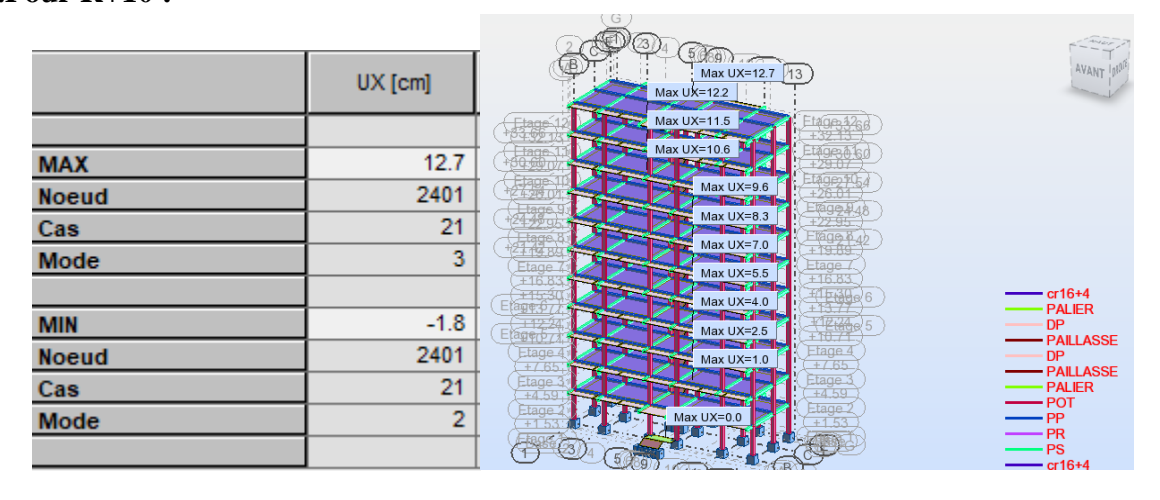
Figure VI.22: Déplacement maximal U_x pour 5 sections différentes de chainages (R+8).

La largeur du joint sismique pour ces cinq cas est résumée dans le tableau ci-dessous :

Tableau VI.14: Influence de la variation de la section des chainages sur la largeur du joint sismique (R+8).

Section du chainage	Déplacement maximal U_x en cm	Largeur minimale d _{min} en cm
chainage (25x30)	9.5	39.65
chainage (30x30)	9.5	39.65
chainage (30x35)	9.6	39.65
chainage (30x45)	8.8	34.05
chainage (35x45)	8.7	33.7

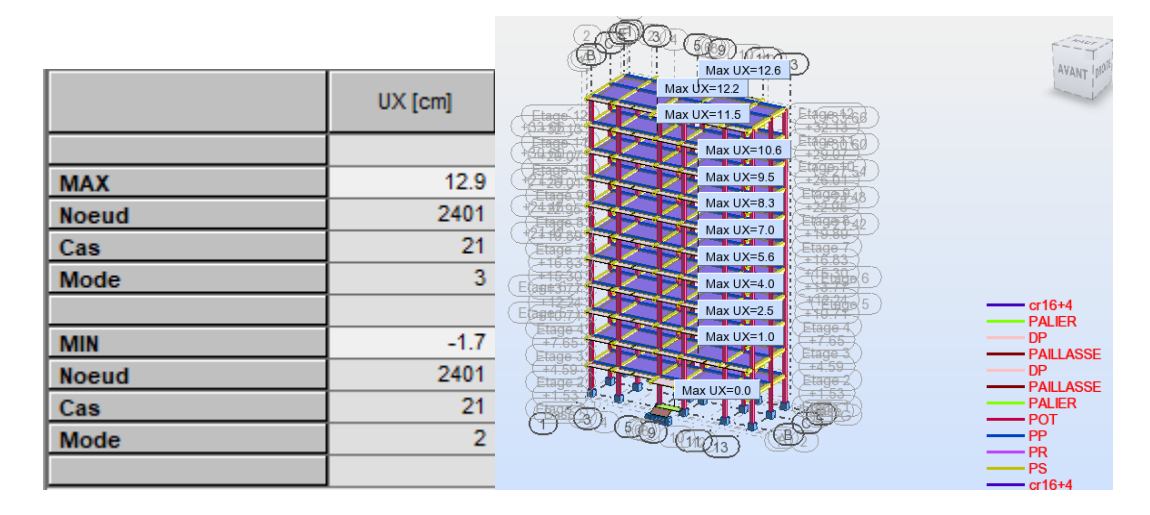
4.Pour R+10:



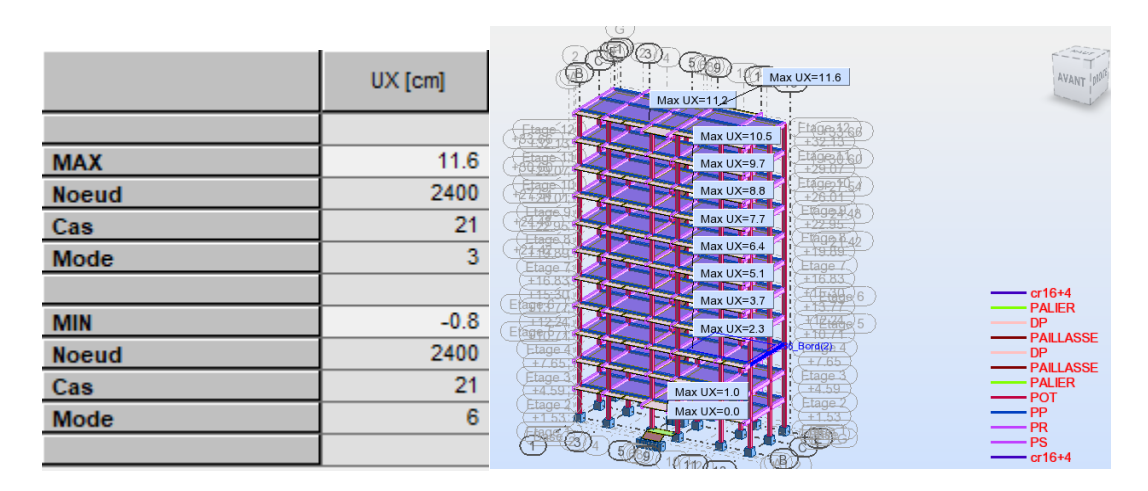
Chapitre VI : Calcul du joint sismique pour des structures contreventées

		Max UX=12.7 (13)	AVANT O
	UX [cm]	Max UX=12.3 Max UX=11.6 Max UX=10.7 Max U	
MAX	12.8	Max UX=9.6 Ltage FU54	
Noeud	2401 21	Max UX=7.0	
Cas Mode	3	Etage / His 83 H	
MIN	-1.8	Eager/1 Max UX=2.6 150 / 1	DP PAILLASSE DP PAILLASSE
Noeud	2401 21	Eage 3	PALIER POT
Cas Mode	21		PP PR PS cr16+4
		1013	CF16+4

(b) chainage (30x30)



(c) chainage (30x35)



(d) chainage (30x45)

Chapitre VI: Calcul du joint sismique pour des structures contreventées

	UX [cm]	Max UX-11.0 Max UX-11.1	AVANT JODA
MAX	11.8	Harge 1/2 Max UX=10.4 Elagas Mg8	
Noeud	2513	Max UX=7.6	
Cas Mode	CQC	Eage 7 Eage 7 Eage 7 Eage 7	
Mode		Elage 67 / Max UX=5.1	cr16+4
MIN	-0.8	Max UX=3.7 Lage 4 Lage	PALIER DP
Noeud	2401	Etage Max UX=1.0	PAILLASSE DP PAILLASSE
Cas	21	Hage 2 +1.53	PALIER POT
Mode	6		PP PR PS

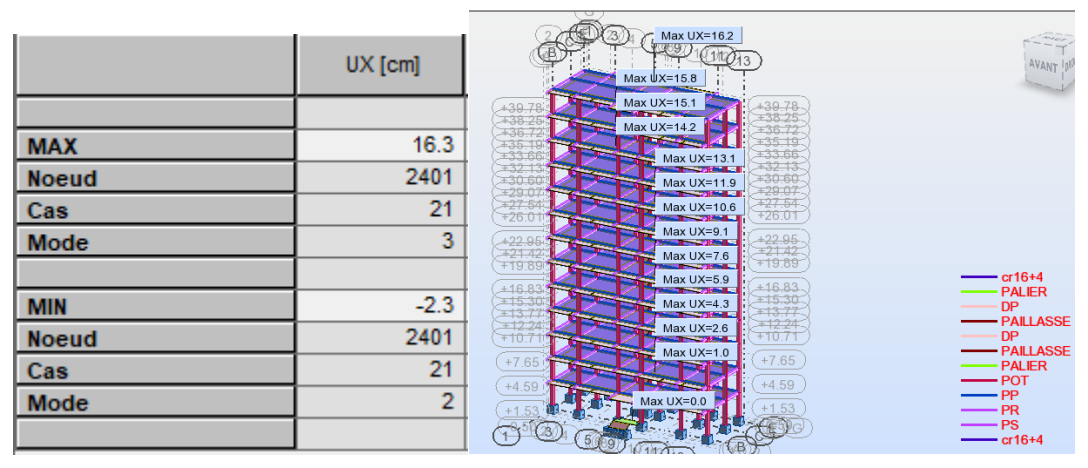
Figure VI.23 : Déplacement maximal U_x pour 5 sections différentes de chainages (R+10).

La largeur du joint sismique pour ces cinq cas est résumée dans le tableau ci-dessous :

Tableau VI.15: Influence de la variation de la section des chainages sur la largeur du joint sismique (R+10).

Section du	Déplacement maximal	Largeur minimale
chainage	U _x en cm	d _{min} en cm
chainage (25x30)	12.7	52.25
chainage (30x30)	12.8	52.6
chainage (30x35)	12.9	52.6
chainage (30x45)	11.6	44.9
chainage (35x45)	11.8	45.6

5.Pour R+12:



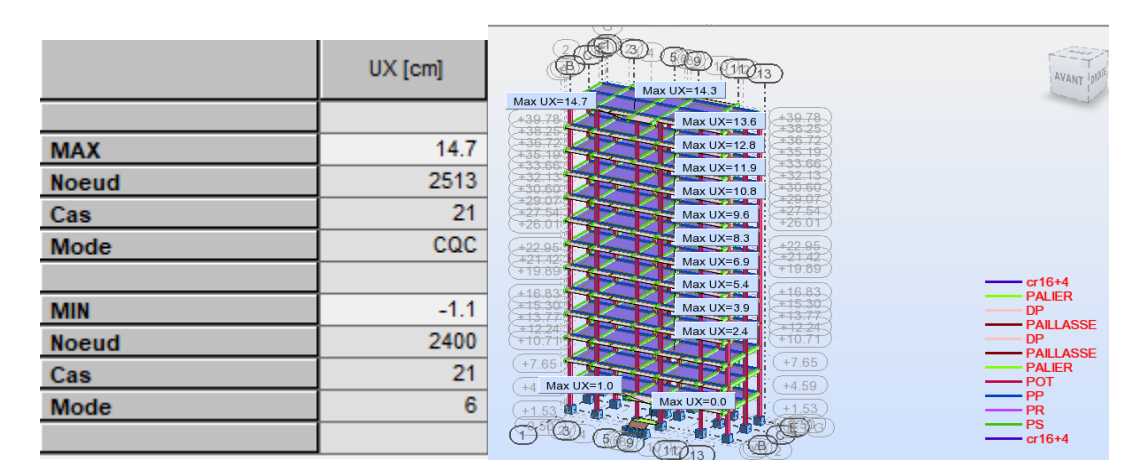
Chapitre VI : Calcul du joint sismique pour des structures contreventées

		Max UX=16.3	and the same of th
	UX [cm]	Max UX=15.8 Max UX=15.1 A39.78	AVANT SING
		Max UX=14.2	
MAX	16.4	#35.19 #35.05 #32.13 #32.13	
Noeud	2401	Max UX=12.0 #30.60 #250.07 #30.60 #25.07 #30.60 #25.07 #30.60 #25.07 #30.60 #27.54	
Cas	21	+26.01)	
Mode	3	+22.95 +21.42 +19.89 +19.89 +19.89	
		May IIV-6.0	cr16+4 PALIER
MIN	-2.3	±13.77	DP PAILLASSE
Noeud	2401	+10.71 Hax UX=11	DP PAILLASSE
Cas	21	(+7.65) (+4.59) (+4.59)	PALIER POT
Mode	2	153 Max UX=0.0 +1.53	PP PR
			PS cr16+4

(b) chainage (30x30)

	UX [cm]	Max UX=16.1 Max UX=16.1 Max UX=16.1	AVANT pts
MAX	16.5	A30.78 A3	
Noeud Cas	2401 21	Max UX=13.0 33.565 3	
Mode	3	#26.01 #22.95 #21.42: Max UX=9.1 #22.95 #21.42: Max UX=7.5 #19.89	
MIN	-2.1	Max UX=5.9	cr16+4 —— PALIER —— DP —— PAILLASSE
Noeud Cas	2401 21	+10.71 +7.65 +4.59	DP PAILLASSE PALIER POT
Mode	2	153 Max UX=0.0 (+1.53)	PP PR PS cr16+4

(c) chainage (30x35)



(d) chainage (30x45)

Chapitre VI : Calcul du joint sismique pour des structures contreventées

		6 6 9 9 1	AVANT prof.
	UX [cm]	Max UX=15.3 39.78 33.25 Max UX=14.4	
		#36.72 #35.19 #35.366	
MAX	15.3	Max UX=13.0 = 32.13 = 30.60	
Noeud	2513	Max UX=12.0 229.07 27.54 Max UX=10.9 27.54 426.01	
Cas	21	#22.95 Max UX=9.7 422.95 #21.42	
Mode	CQC	Max UX=8.4 (+19.89	40.4
		#16.83 #15.30 Hax UX=7.0 #16.83	cr16+4 PALIER
MIN	-1.1	13.77 Max UX=5.6	PAILLASSE
Noeud	2400	+10.71 Max UX=4.0 +10.71 +7.65 Max UX=2.5 +7.65	DP PAILLASSE
Cas	21	+4 Max UX=1.1 (+4.59)	PALIER POT
Mode	6	+1.53 (+1.53) (+1.53)	—— PP —— PR
			PS cr16+4

(e) chainage (35x45)

Figure VI.24 : Déplacement maximal U_x pour 5 sections différentes de chainages (R+12).

La largeur du joint sismique pour ces cinq cas est résumée dans le tableau ci-dessous :

Tableau VI.16: Influence de la variation de la section des chainages sur la largeur du joint sismique (R+12).

Section du	Déplacement maximal $\mathbf{U}_{\mathbf{x}}$	Largeur minimale
chainage	en cm	$\mathbf{d}_{\scriptscriptstyle{ ext{min}}}$ en cm
chainage (25x30)	16.3	66.6
chainage (30x30)	16.4	66.95
chainage (30x35)	16.5	66.6
chainage (30x45)	14.7	56.8
chainage (35x45)	15.3	58.9

Courbe récapitulatif de l'influence des sections de poutres chainages

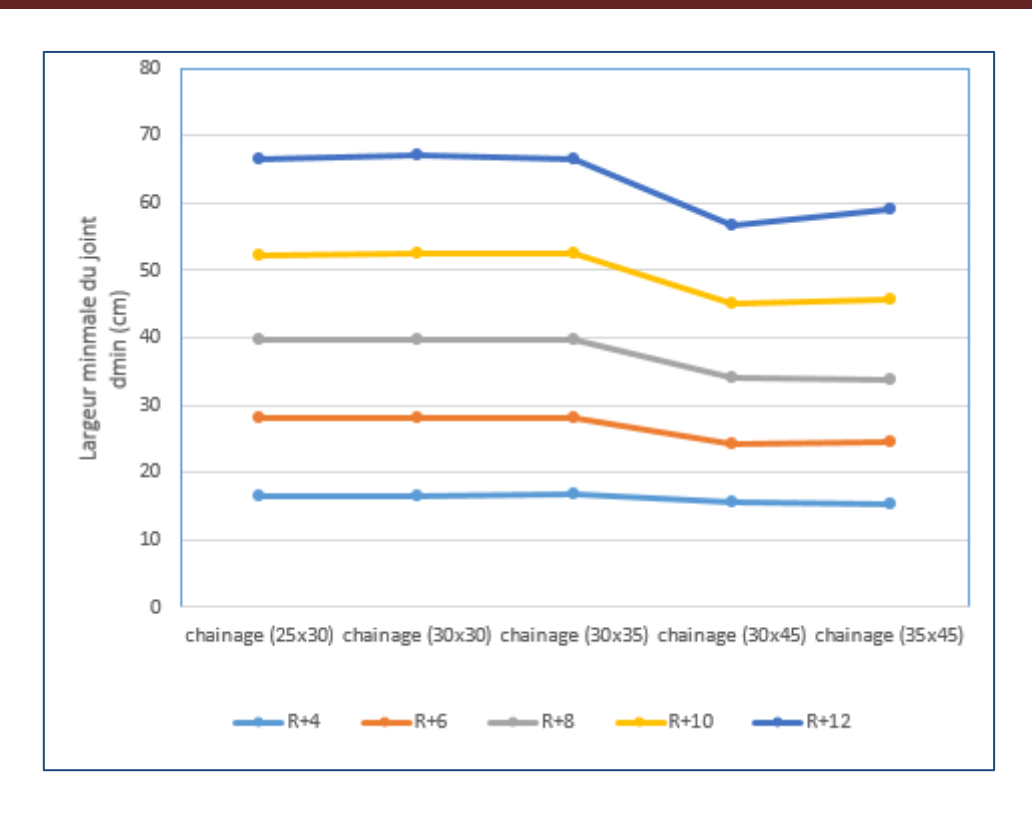


Figure VI.25 : Courbe récapitulatif de l'influence des sections de poutres chainages.

On ce qui concerne l'influence de la variation des sections de poutres de chainage, et sur la base de l'ensemble des résultats obtenus, un constat indique la même allure observé pour les poutres principales en termes de déplacements horizontaux dans la direction $X(U_x)$, engendrés par la composante horizontale de la force sismique dans la direction X et la largeur du joint sismique, mais les valeurs sont légèrement proche.

Pour une structure de R+12, l'augmentation des dimensions de la section du chainage (25x30) à (35x45), la largeur du joint a subit une diminution de l'ordre 11.56%.

VI.I.5. Influence des paramètres sismiques sur la largeur du joint sismique

D'autres part, Nous avons introduit des variations dans les paramètres sismiques, notamment le groupe d'usage, la zone sismique et le site.

a. Groupe d'usage:

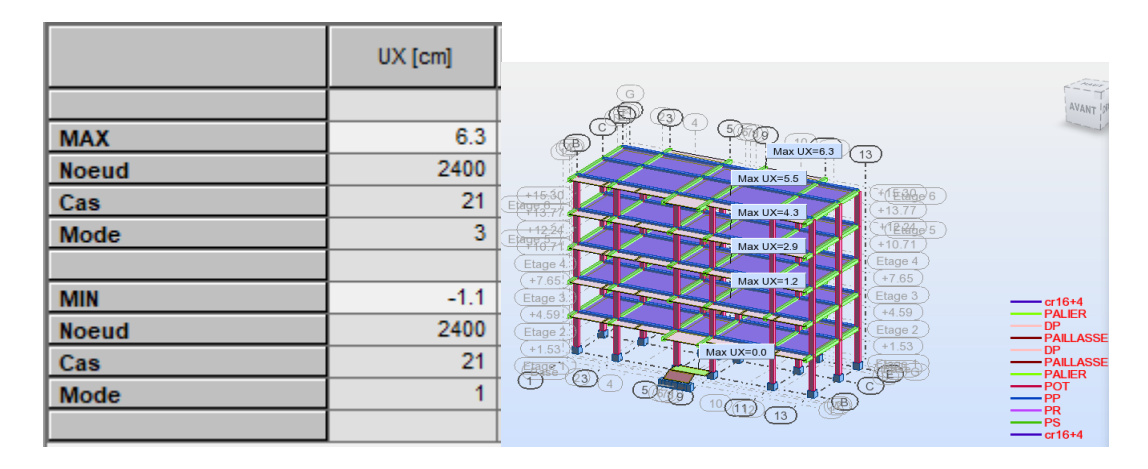
Le groupe d'usage fait référence à la classification fonctionnelle d'un bâtiment en fonction de son utilisation prévue, Il est donc essentiel de se référer aux normes et aux réglementations en vigueur pour évaluer l'influence du groupe d'usage sur les

déplacements sismiques et pour concevoir des structures résistantes aux séismes de manière appropriée.

Tout ouvrage qui relève du domaine d'application des présentes règles doit être classé dans L'un des quatre (04) groupes définis ci-après :

- Groupe 1A : Ouvrages d'importance vitale
- Groupe 1B : Ouvrages de grande importance
- Groupe 2 : Ouvrages courants ou d'importance moyenne
- Groupe 3 : Ouvrages de faible importance

Une modification du groupe d'usage de notre structure a été réalisée et nous avons comparé les résultats dans les quatre cas possibles en termes de déplacement horizontal et de largeur du joint sismique seulement pour une structure R+4. Les résultats des déplacements horizontaux pour les quatre cas d'étude de groupes d'usage sont présentés dans la figure **VI.23**.



Groupe 1A

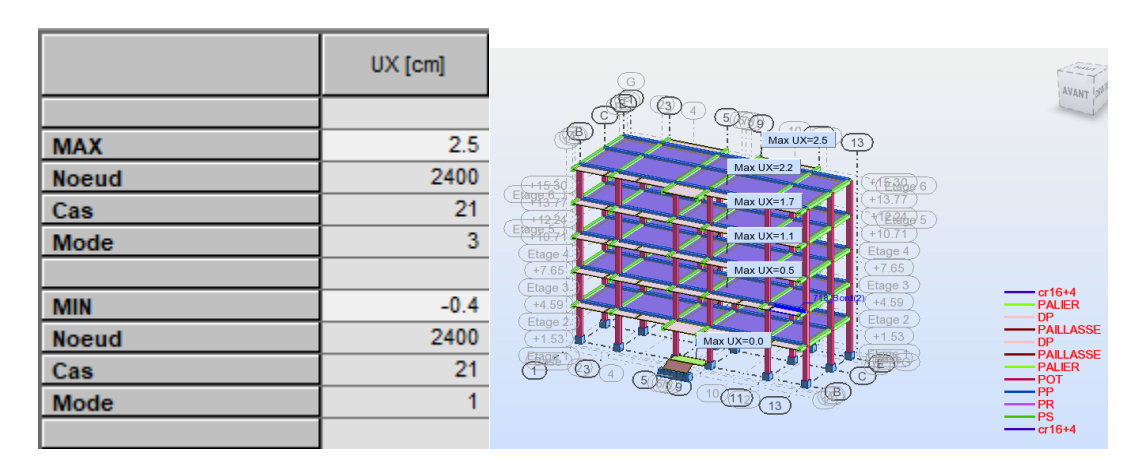
	UX [cm]		AVANT ISM
MAX Noeud Cas Mode	5.0 2400 21 3	Max UX=5.0 13 Max UX=5.0 13 Max UX=3.5 13.77 13.	
MIN Noeud Cas Mode	-0.8 2400 21 1	T7 65 Max UX-00 Elapo 3 (4.50 Elapo 2 (4.50 Elapo 3 (4.50 Elapo 3	cr16+4 PALER DP PALLASSE DP PALLASSE PALER POT PP PS cr16+4

Groupe 1B

Chapitre VI : Calcul du joint sismique pour des structures contreventées

	UX [cm]		AVANT I
MAX	3.8	Max UX=3.8 13	
Noeud Cas	2400 21 3	E 15-50 E 20-5-7 E 20-5-	
Mode	-0.6	Etage 4 (7.65) Etage 3 (4.59)	cr16+4 PALIER DP
Noeud Cas	2400 21	Etage 2 +1.53 Max ux=0.0	PAILLASSE DP PAILLASSE PALIER
Mode	1		POT PP PR PS cr16+4

Groupe 2



Groupe 3

Figure VI.26: Déplacement maximal U_x pour les quatre cas de groupes d'usage (R+4).

Le tableau et le graphe suivants présentent une synthèse des largeurs du joint sismique pour ces quatre modèles :

Tableau VI.17: Influence de groupe d'usage sur la largeur du joint sismique (R+4).

Groupe d'usage	Déplacement maximal Largeur minim	
	$\mathbf{U}_{\mathbf{x}}$ en cm	d _{min} en cm
Groupe 1A	6.3	27.4
Groupe 1B	5	21.8
Groupe 2	3.8	16.9
Groupe 3	2.5	11.95

Graphique récapitulatif de l'influence des Groupe d'usage

Chapitre VI: Calcul du joint sismique pour des structures contreventées

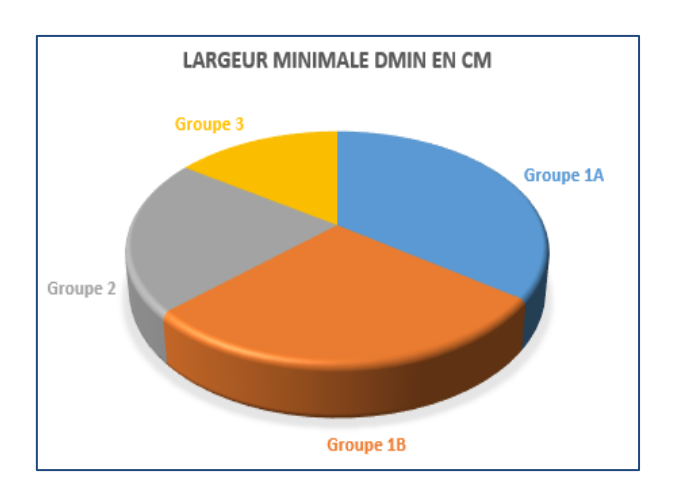


Figure VI.27: Graphique récapitulatif de l'influence des Groupe d'usage

En analysant les résultats de chaque variante, on remarque que les variantes groupe 3 subi une perte de la largeur de joint sismique en comparant avec les autres groupe ; la valeur de la largeur du joint sismique enregistré pour le groupe 3 est de 11.95cm, et pour une groupe d'usage de grande importance Groupe 1A soit 27,4cm soit une différence de 129%). Cela confirme l'importance de l'ouvrage influence fortement la largeur du joint sismique.

L'importance de l'ouvrage joue un rôle crucial. Plus l'ouvrage est important, c'est-àdire qu'il a une fonction critique ou stratégique, plus la largeur du joint sismique peut être importante. Cela s'explique par le fait que les ouvrages importants nécessitent une plus grande capacité de déformation pour résister aux forces sismiques et maintenir leur intégrité structurelle.

b. Zone sismique

Les bases d'une conception parasismique sont de prendre en considération le zonage de l'implantation de l'ouvrage. Le zonage sismique désigne la classification des régions géographiques en fonction de leur niveau d'activité sismique.

Ce zonage découpe le territoire national Algériens en 04 zones de sismicité

• Zone I : sismicité négligeable

• Zone IIa : sismicité faible

• Zone IIb : sismicité moyenne

• Zone III : sismicité élevée

Pour étudier l'influence de la zone sismique sur le déplacement et la largeur du joint sismique de la structure, on compare le déplacement et la largeur du joint des 4 cas de structures, autrement dit : la structure R+4 en zone I sera comparée avec la structure R+4 en zone IIa, zone IIb et zone III.

La figure montre la variation de déplacement en fonction des quatre zones sismiques.

	UX [cm]		AVANT JOHA
MAX	2.5	Max UX=2.5 13	
Noeud Cas	2400 21	+15-50 Employer +19-94	
Mode	3	Etage 4 (+7.65) (-7.65	
MIN Noeud	-0.4 2400	(+4.59) Etage 2 (+1.53)	cr16+4 PALIER DP PAILLASSE DP
Cas	21	1 5 1 1 1 1 1 1 1 1 1 1 1 1 1 1 1 1 1 1	PAILLASSE PALIER POT PP
HIOGO			PR PS cr16+4

Zone I

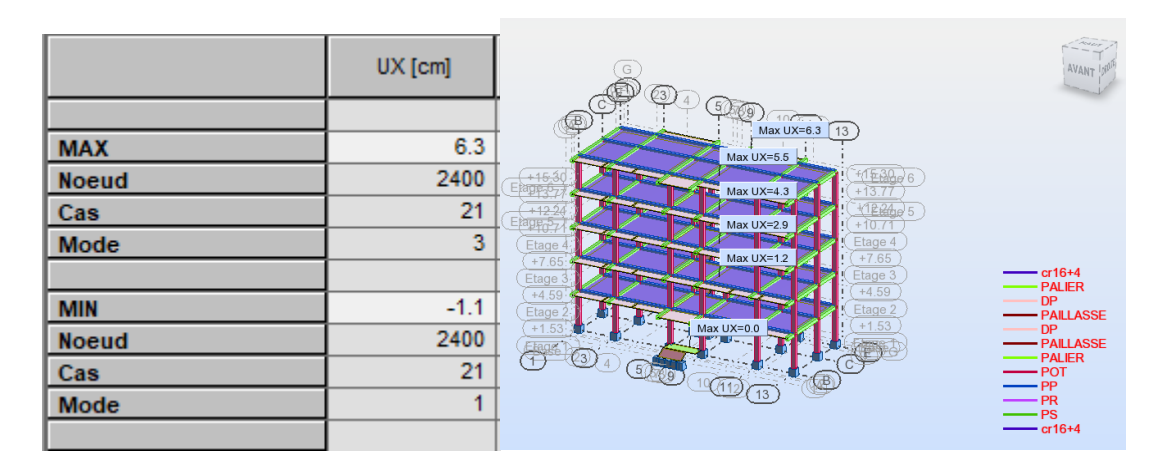
	UX [cm]	© © 0 4 ~	AVANT SALA
MAX	3.8	Wax UX-3.6 (13)	
Noeud	2400	Max UX=3.3 (4/E38) 6 (+13.77)	
Cas	21	11 +1224 5	
Mode	3	Etage 4	
		(+7.65) Max UX=0.7	cr16+4
MIN	-0.6	Etage 3 (44.59)	PALIER DP
Noeud	2400	Etage 2 (+1.53) (Max UX=0.0)	PAILLASSE DP
Cas	21		PAILLASSE PALIER POT
Mode	1		PP PR
		(13)	PS cr16+4

Zone IIa

Chapitre VI: Calcul du joint sismique pour des structures contreventées

	UX [cm]		The same of the sa
			AVANT OF
MAX	5.0	Max UX=5.0 (13)	
Noeud	2400	Max UX=4.4	
Cas	21	Eagr 3.77 Max UX=3.5 (+13.77)	
Mode	3	Max UX=2.3 (17,240-5)	
		Etage 4 (+7.65) Max UX=0.9	
MIN	-0.8	Etage 3 (+4.59)	cr16+4 PALIER
Noeud	2400	Etage 2 (+1.53) (+1.53)	DP PAILLASSE
Cas	21		PAILLASSE PALIER
Mode	1	1(11)13	POT PP PR
			PS cr16+4

Zone IIb



Zone III

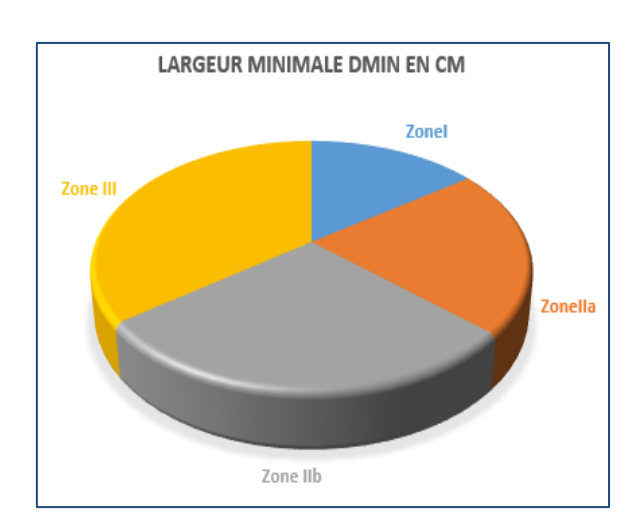
Figure VI.28: Déplacement maximal U_x pour les quatre cas de zone sismique R+4. Dans le tableau et le graphe suivants présentent les résultats trouvés de la largeur du joint sismique pour ces quatre zones dans la structure R+4:

Tableau VI.18: Influence de la zone sismique sur la largeur du joint sismique R+4

Groupe Des Zone	Déplacement maximal Largeur minim	
	$\mathbf{U}_{\mathbf{x}}$ en cm	$\mathbf{d}_{\scriptscriptstyle{\mathrm{min}}}$ en cm
Zone I	2.5	11.65
Zone IIa	3.8	16.9
Zone IIb	5	21.8
Zone III	6.3	27.4

Graphique récapitulatif de l'influence de la zone sismique

Chapitre VI: Calcul du joint sismique pour des structures contreventées



FigureVI.29 : Graphique récapitulatif de l'influence de la zone sismique

D'après le tableau on remarque que l'augmentation de la force sismique dans la zone III augmente la largeur minimale du joint sismique par rapport aux autres zones zone I, zone IIa et Zone IIb dans la structure R+4,

La comparaison de ces résultats nous montre que la largeur du joint sismique important est enregistrée dans la zone III (27.4 cm). Par contre la zone I est représenté une largeur du joint réduit minimal (11.65 cm).

Cela s'explique par le fait que les zones de haute intensité nécessitent généralement des structures plus résistantes aux séismes et capables de supporter des mouvements plus importants. La largeur du joint sismique doit donc être dimensionnée en conséquence pour permettre les déformations et les mouvements requis sans causer de dommages importants à la structure

<u>c. Site :</u>

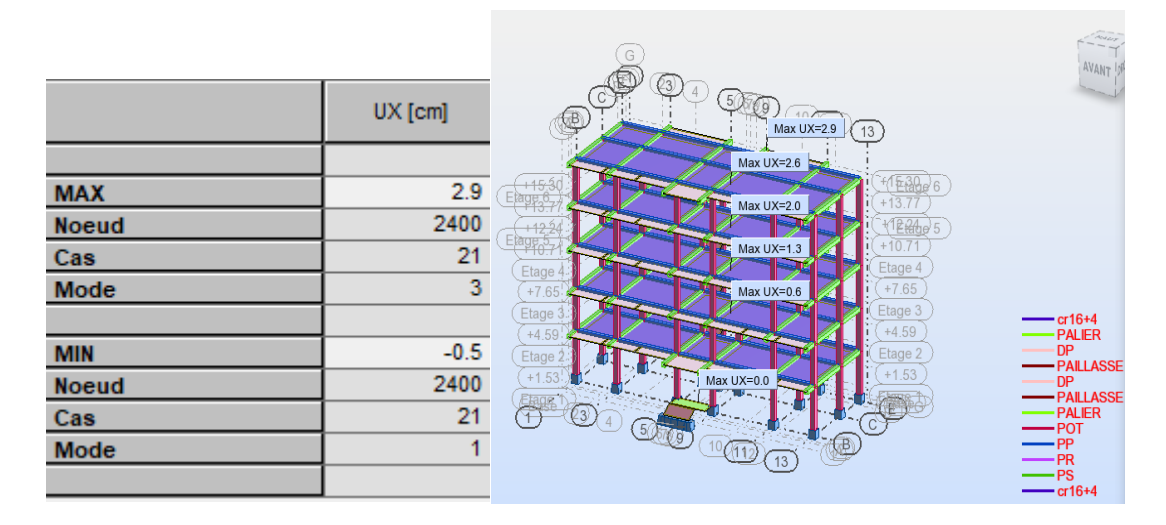
Une autre considération pour l'évaluation du déplacement et la largeur du joint sismique est l'état du sol. Il est important de prendre en compte les caractéristiques du site lors de la conception et de la construction des ouvrages afin de s'assurer qu'ils peuvent résister aux contraintes et aux risques spécifiques associés à leur emplacement géographique.

L'action sismique consiste en un mouvement du sol sur le site de la construction. Ce mouvement est largement influencé par la nature du sol à l'échelle de quelques

hectomètres ou kilomètres et des couches de sol situées sous la construction. Afin de rendre compte de cette influence d'une façon simple, les sols sont classés en 4 catégories :

- Catégorie S1 (site rocheux)
- Catégorie S2 (site ferme)
- Catégorie S3 (site meuble)
- Catégorie S4 (site très meuble)

Dans ce qui suit, on montre les valeurs trouvées de déplacement sous formes de figure pour les différentes catégories de sites.



Site 1

	UX [cm]		AVANT 15
MAX Noeud Cas Mode	3.6 2400 21 3	Max UX=3.5 3 Max UX=3.5 3 Max UX=3.1 Max UX=3	 cr16+4
MIN Noeud Cas Mode	-0.5 2400 21 1	(4.59) Elago 2 (+1.53)	PALIER DP AILLASSE DP PALLER PALLER POT PP PR PS cr16+4

Site 2

Chapitre VI: Calcul du joint sismique pour des structures contreventées

	UX [cm]	© © 4 0 0 0 0 0 0 0 0 0 0 0 0 0 0 0 0 0	AVANT MA
		Max UX=38 (13)	
MAX	3.8	Max UX=3.3	
Noeud	2400	16.50 Eage 9.71 Max UX=2.6 (+13.77)	
Cas	21	+12-24 (*1 <u>E</u> 66-05)	
Mode	3	Etage 4.	
		+7.65 Max UX=0.7 (+7.65) Etage 3	cr16+4
MIN	-0.6	(+4.59)	PALIER DP
Noeud	2400	Etage 2 (+1.53) (+1.53) (Etage 2 (+1.53) (+1.53)	PAILLASSE DP PAILLASSE
Cas	21		PALIER POT
Mode	1		—— PP —— PR
		(13)	PS cr16+4

Site 3

	UX [cm]		AVANT 1991
		Max UX=3.8 (13)	
MAX	3.8		
Noeud	2400	Max UX=33 (4/E334) 6 (+13.77)	
Cas	21	Max UX=2.6 +13.77 +12.94 +10.71	
Mode	3	Max UX=1.7 (+10.71) Etage 4	
		(+7.65) Etage 3	
MIN	-0.7	(+4.59)	
Noeud	2400	Etage 2 (+1.53) p Max UX=00 (+1.53)	PAILLASSE DP
Cas	21	T 01 01 01 01 01	PAILLASSE PALIER POT
Mode	1	101113	PP PR PS
			PS cr16+4

Site 4

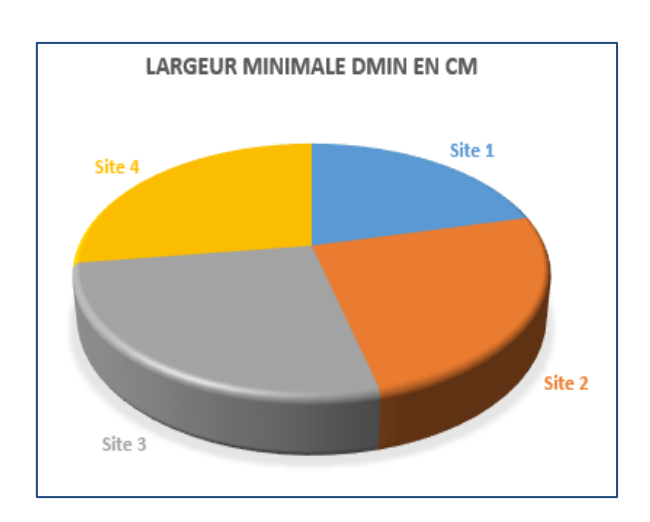
Figure VI.30 : Déplacement maximal U_x pour les quatre cas de site R+4. La largeur du joint sismique pour ces quatre modèles est résumée dans le tableau et le graphe ci-dessous :

Tableau VI.19 : Influence de site sur la largeur du joint sismique R+4

Groupe des	Déplacement maximal	Largeur minimale
sites	$\mathbf{U}_{\mathbf{x}}$ en cm	$\mathbf{d}_{\scriptscriptstyle{ ext{min}}}$ en cm
Site 1	2.9	13.4
Site 2	3.6	15.85
Site 3	3.8	16.9
Site 4	3.8	17.25

Graphe récapitulatif de l'influence des catégories de site

Chapitre VI: Calcul du joint sismique pour des structures contreventées



FigureVI.31 : Graphique récapitulatif de l'influence des catégories de site

Il est clairement observé que la catégorie de site a une influence légèrement importante sur les déplacements et la largeur du joint sismique. Les déplacements et la largeur du joint sismique sont moins importants dans les sites rocheux, tandis qu'ils sont plus importants dans les sites très meubles de la catégorie S4. Soit une différence de 28.73% pour le joint sismique.

Chaque site présente des caractéristiques différentes des autres sites en fonction de sa formation géologique et de sa vitesse d'onde de cisaillement (VS), ce qui entraîne une augmentation du déplacement et de la largeur de chaque structure de site 1 à site 2, 3,4.

Les sites rocheux offrent une meilleure rigidité et une plus grande stabilité, ce qui permet de limiter les déformations et les déplacements lors d'un séisme. En conséquence, la largeur du joint sismique peut être réduits dans les sites rocheux, car les mouvements sismiques sont mieux absorbés et dissipés par le sol.

Partie II: Le cas d'une structure avec contreventement par voile et portique

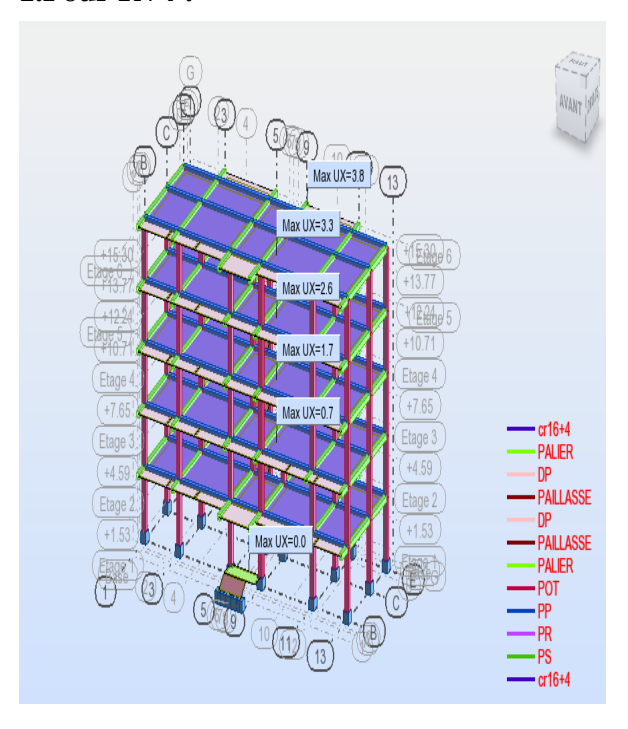
Parmi les facteurs soumis à la comparaison est le système de contreventement. La réponse sismique d'une structure en béton armé dépend entre autre des types de contreventement. Le contreventement d'un bâtiment doit être pensé dès sa conception.

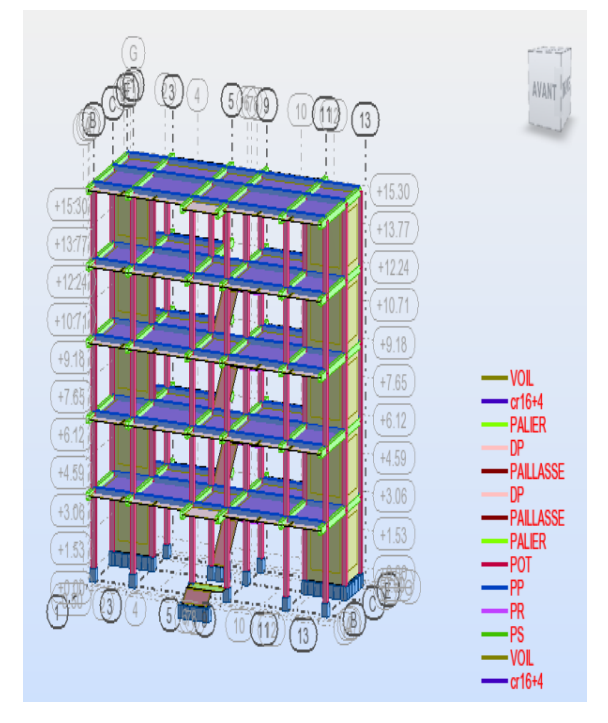
C'est un aspect essentiel dans la conception d'un ouvrage. C'est l'ensemble des dispositions permettant d'assurer la stabilité d'un ouvrage vis-à-vis des sollicitations.

Dans cette partie on va faire une comparaison entre une structure avec contreventé par un portique auto stable (poutres-poteaux) et la même structure mais avec un contreventement mixte (portique-voile) pour différents niveaux (R+4, R+6, R+8, R+10 et R+12 respectivement).

Nous avons présenté dans les figures qui suivent les résultats de la modélisation qui est consacré à la détermination du déplacement de la structure U_x selon la direction X et par la suite la détermination du joint sismique selon la formule donnée par le règlement parasismique Algérien (RPA 2003)

1.Pour R+4:





Chapitre VI: Calcul du joint sismique pour des structures contreventées

	UX [cm]
MAX	3.8
Noeud	2400
Cas	21
Mode	3
MIN	-0.6
Noeud	2400
Cas	21
Mode	1

	UX [cm]
MAX	1.1
Noeud	2400
Cas	21
Mode	CQC
MIN	-0.0
Noeud	2400
Cas	21
Mode	5

- (a) Contreventement par portiques
- **(b)** Contreventement mixte (portiques- voiles)

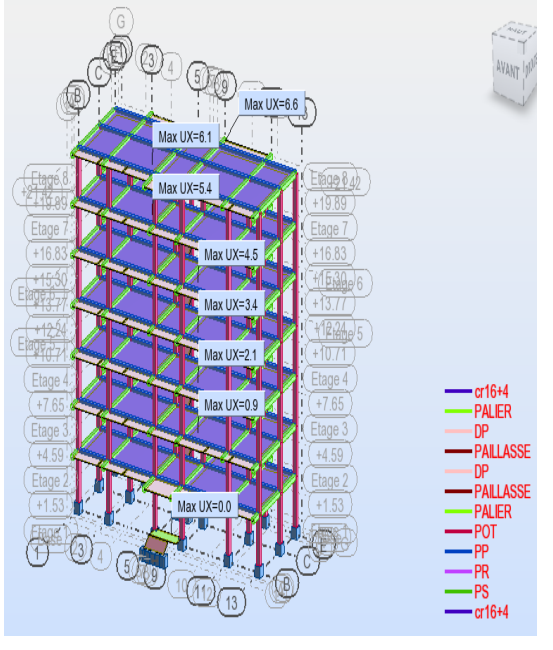
Figure VI.32: Modèle de la structure R+4

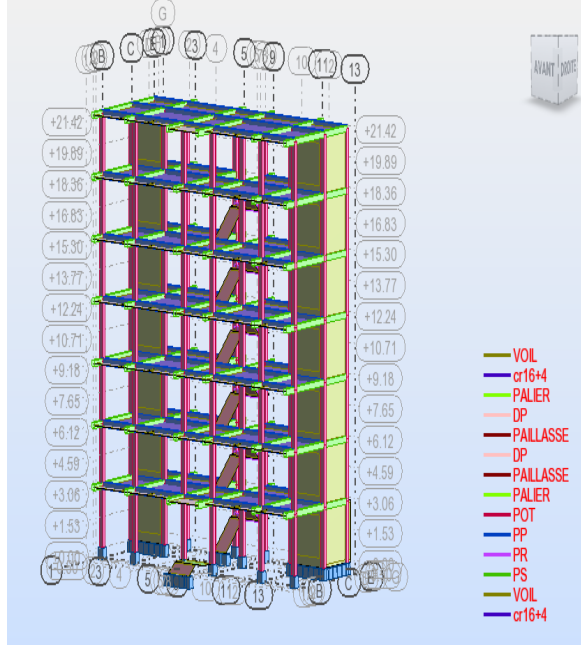
Les différentes valeurs de la largeur du joint sismique correspondant aux différents cas considérés et pour une structure R+4 sont illustrées dans le tableau.

Tableau VI.20 : Influence de diffèrent système de contreventement sur la largeur du joint sismique R+4.

Système de	Déplacement maximal	Largeur minimale
contreventement	$\mathbf{U}_{\mathbf{x}}$ en cm	$\mathbf{d}_{\scriptscriptstyle{ ext{min}}}$ en cm
Contreventement par portiques	3.8	16.9
Contreventement mixte	1.1	7

2.Pour R+6:





Chapitre VI: Calcul du joint sismique pour des structures contreventées

	UX [cm]
MAX	6.6
Noeud	2400
Cas	21
Mode	3
MIN	-1.0
Noeud	2400
Cas	21
Mode	1

	UX [cm]
MAX	3.0
Noeud	2401
Cas	21
Mode	CQC
MIN	-0.1
Noeud	2401
Cas	21
Mode	5

- (a) Contreventement par portique
- **(b)** Contreventement mixte (portiques- voiles)

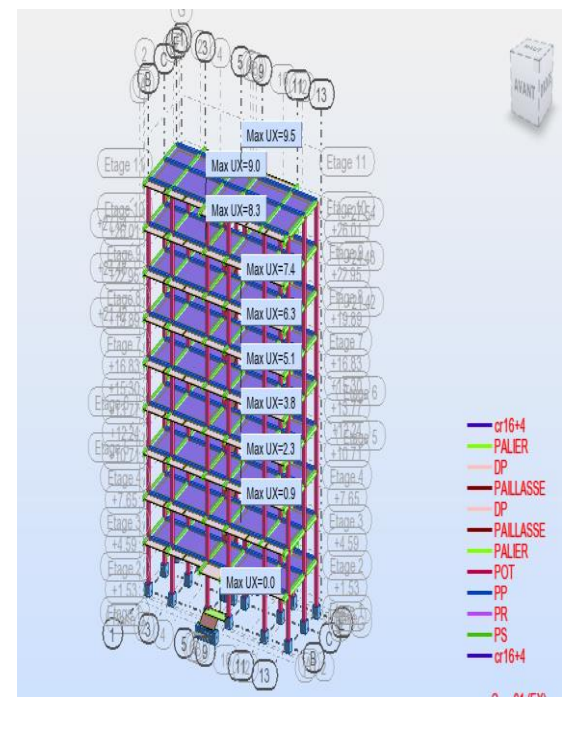
Figure VI.33: Modèle de la structure R+6

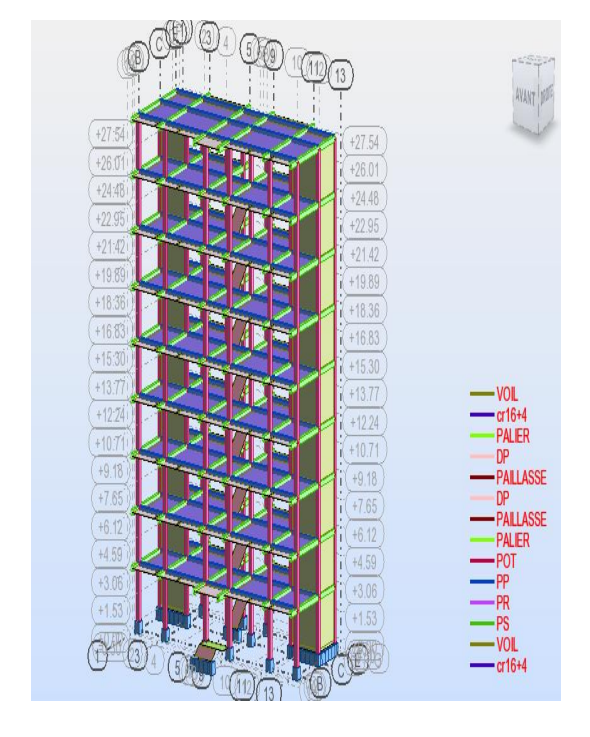
Les différentes valeurs de la largeur du joint sismique correspondant aux différents cas considérés et pour une structure R+6 sont illustrées dans le tableau

Tableau VI.21 : Influence de diffèrent système de contreventement sur la largeur du joint sismique R+6.

Système de contreventement	Déplacement maximal U_x en cm	Largeur minimale d _{min} en cm
Contreventement par portiques	6.6	28.1
Contreventement mixte	3	17

3.Pour R+8:





Chapitre VI: Calcul du joint sismique pour des structures contreventées

	UX [cm]
MAX	9.5
Noeud	2401
Cas	21
Mode	3
MIN	-1.4
Noeud	2400
Cas	21
Mode	1

	UX [cm]
MAX	5.5
Noeud	2400
Cas	21
Mode	CQC
MIN	-0.2
Noeud	2400
Cas	21
Mode	5

- (a) Contreventement par portique
- **(b)** Contreventement mixte (portiques- voiles)

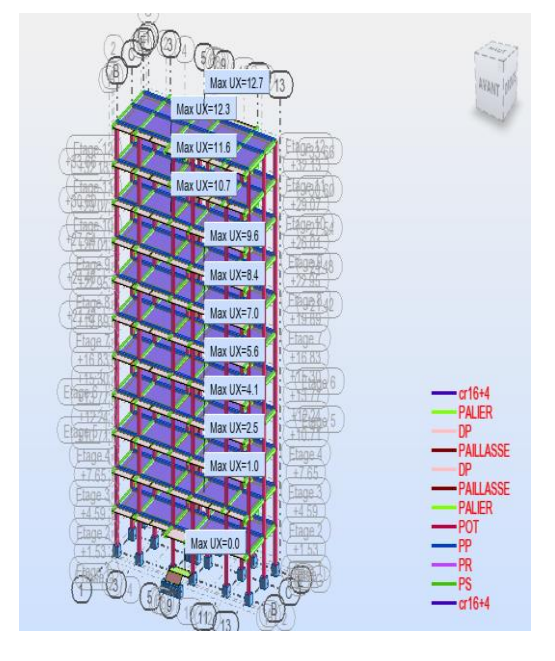
Figure VI.34 : Modèle de la structure R+8

Les différentes valeurs de la largeur du joint sismique correspondant aux différents cas considérés et pour une structure R+8 sont illustrées dans le tableau

Tableau VI.22 : Influence de diffèrent système de contreventement sur la largeur du joint sismique R+8.

Système de contreventement	Déplacement maximal U_x en cm	Largeur minimale d _{min} en cm
Contreventement par	9.5	39.65
portiques		
Contreventement mixte	5.5	30

4. Pour R+10:





Chapitre VI: Calcul du joint sismique pour des structures contreventées

	UX [cm]
MAX	12.8
Noeud	2401
Cas	21
Mode	3
MIN	-1.8
Noeud	2401
Cas	21
Mode	2

	UX [cm]
MAX	7.7
Noeud	2400
Cas	21
Mode	CQC
MIN	-0.3
Noeud	2400
Cas	21
Mode	5

- (a) Contreventement par portique
- (b) Contreventement mixte (portiques- voiles)

Figure VI.35 : Modèle de la structure R+10

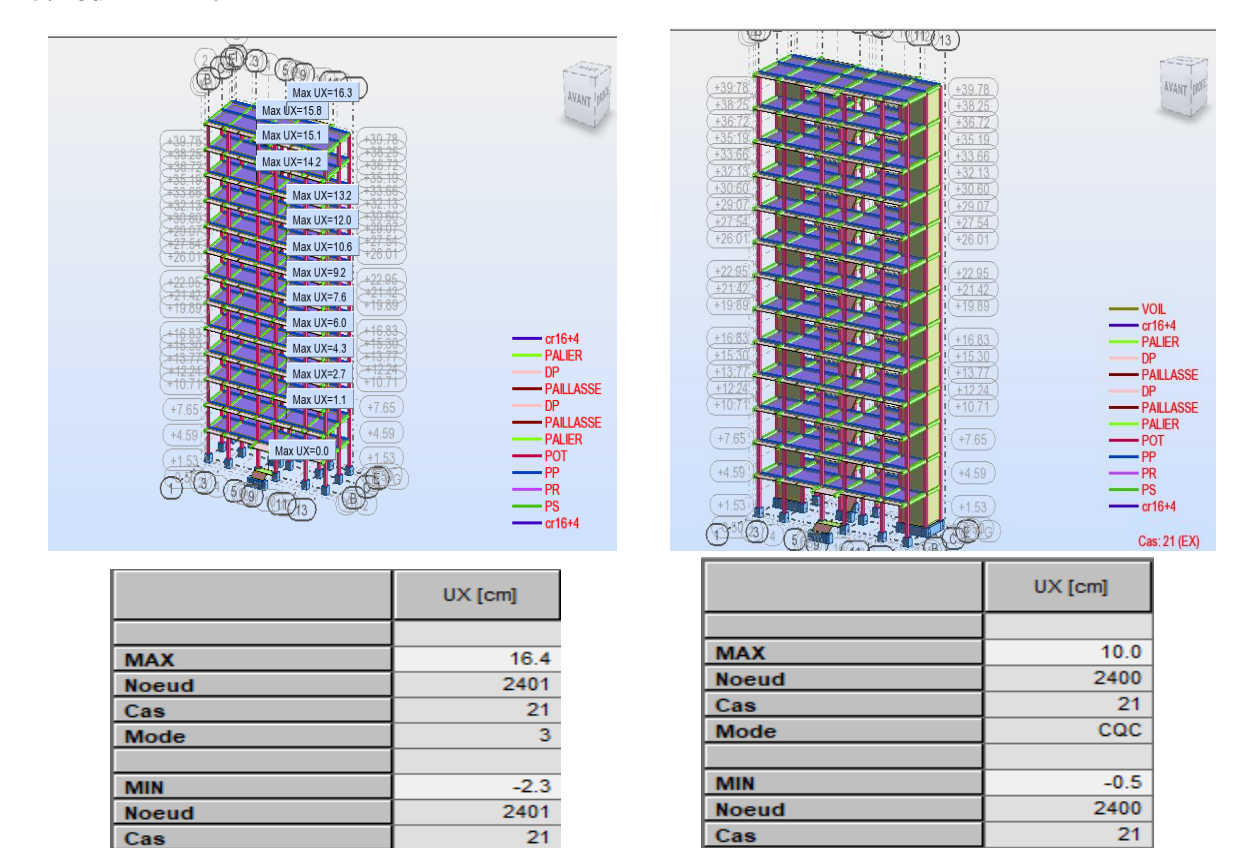
Les différentes valeurs de la largeur du joint sismique correspondant aux différents cas considérés et pour une structure R+10 sont illustrées dans le tableau :

Tableau VI.23 : Influence de diffèrent système de contreventement sur la largeur du joint sismique R+10.

Système de contreventement	Déplacement maximal U _x en cm	Largeur minimale d _{min} en cm
Contreventement par	12.8	52.6
portiques		
Contreventement mixte	7.7	41.5

5.Pour R+12:

Mode



- (a) Contreventement par portique
- **(b)** Contreventement mixte (portiques- voiles)

5

Figure VI.36 : Modèle de la structure R+12

Mode

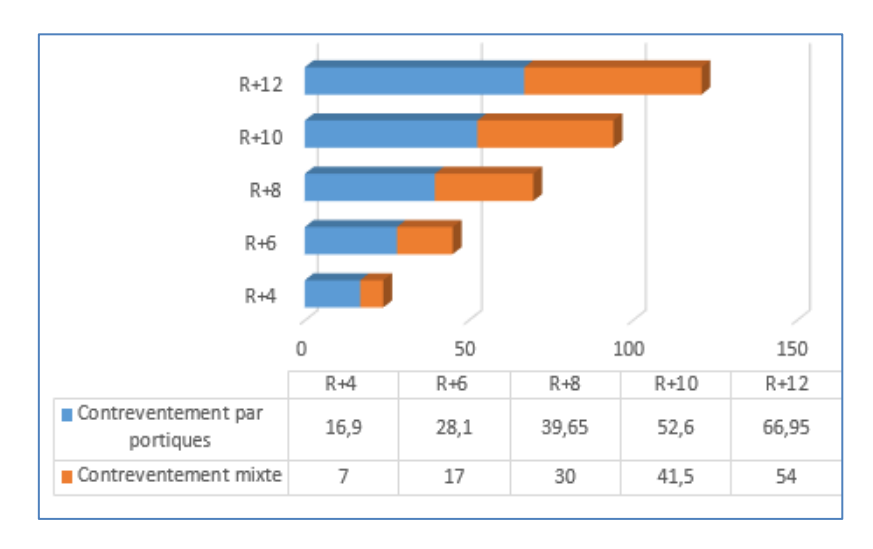
2

Les différentes valeurs de la largeur du joint sismique correspondant aux différents cas considérés et pour une structure R+12 sont illustrées dans le tableau

Tableau VI.24 : Influence de diffèrent système de contreventement sur la largeur du joint sismique R+12.

Système de	Déplacement maximal	Largeur minimale
contreventement	$\mathbf{U}_{\mathbf{x}}$ en cm	$\mathbf{d}_{\scriptscriptstyle{\mathrm{min}}}$ en cm
Contreventement par portiques	16.4	66.95
Contreventement mixte	10	54

<u>Histogramme récapitulatif de l'influence des différents systèmes de contreventement</u>



FigureVI.37 : Histogramme récapitulatif de l'influence des différents systèmes de contreventement

D'après les résultats du tableau ci-dessus, il est évident que l'utilisation des voiles dans le système de contreventement a un impact.

La structure en portiques est caractérisée par des déplacements importants, ce qui lui confère une certaine souplesse. La structure en voiles est caractérisée par des faibles déplacements et une largeur de joint sismique minimale réduite, ce qui évite généralement les dégâts des éléments non structuraux, et cela est valable pour différents niveaux de la structure (R+4, R+6, R+8, R+10 et R+12).

Par exemple la valeur de la largeur du joint sismique pour une structure R+12 égales à 66.95cm pour le système portiques et 54cm pour le système mixtes, pour une structure R+4 les valeurs de la largeur du joint sismique sont 16.9cm pour le système portiques et 7cm pour le système mixtes, soit une réduction de 1'ordre 19.3% et 58.57% respectivement

La structure est généralement renforcé par des voiles pour limiter les déplacements latéraux de manière à compenser la faible ductilité et réduit par conséquent la largeur du joint sismique pour la même structure, c'est pourquoi il est parfois recommandé d'utiliser des voiles pour réduire la largeur du joint sismique.

VI.II.2. Influence de la position des voiles sur la largeur du joint sismique

La position des voiles dans une structure peut également avoir une influence sur la largeur du joint sismique. La manière dont les voiles sont disposés et leur emplacement par rapport aux zones de déformation sismique peuvent affecter la répartition des forces sismiques et, par conséquent, la largeur du joint sismique.

Dans cette section, nous étudions l'influence de la position des voiles dans les structures R+4, R+6, R+8, R+10 et R+12 sur la largeur du joint sismique. Plusieurs positions peuvent être effectuées mais on a limité notre choix à quatre positions. Nous présentons quatre configurations différentes de position de voiles dans la figure VI.31

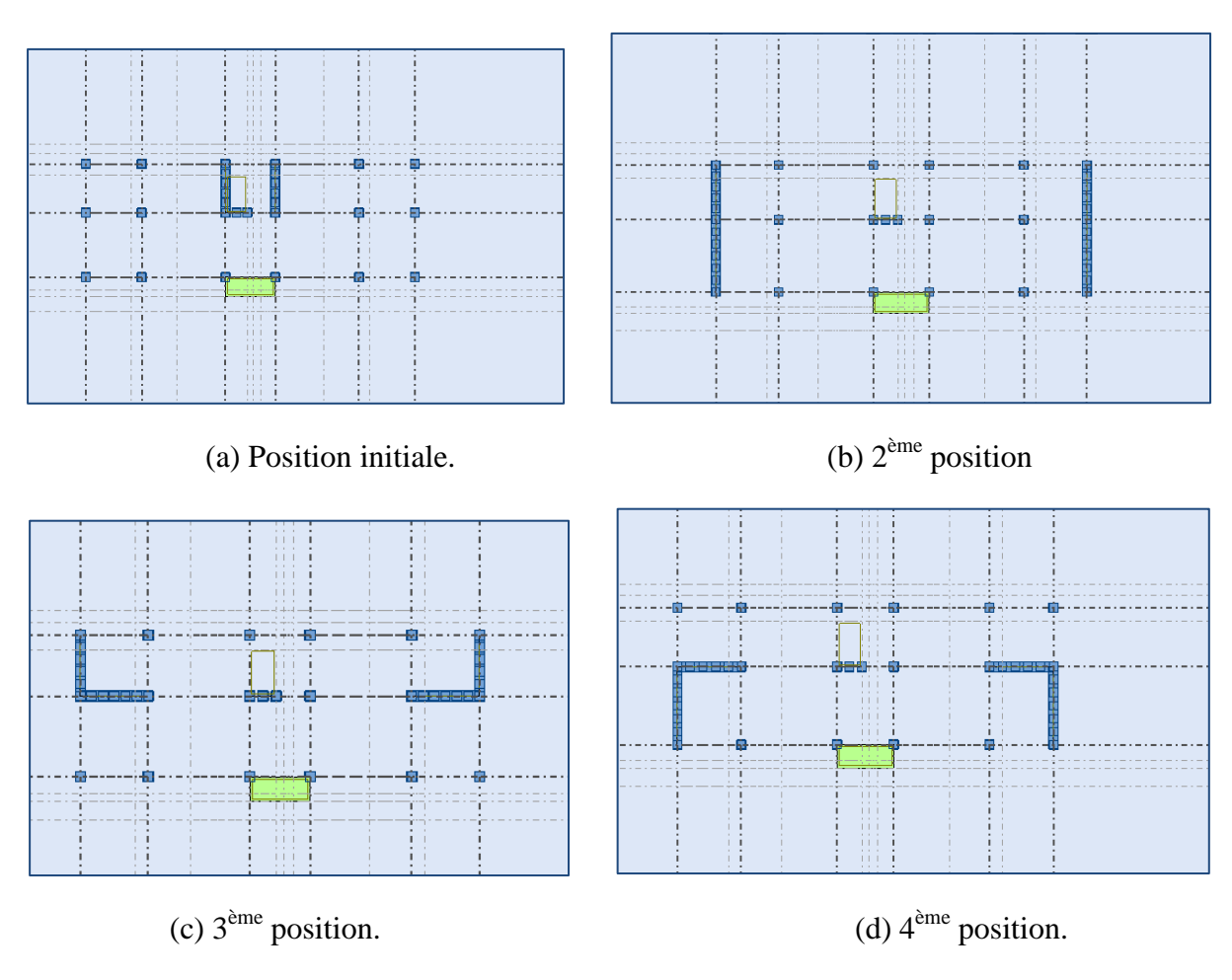
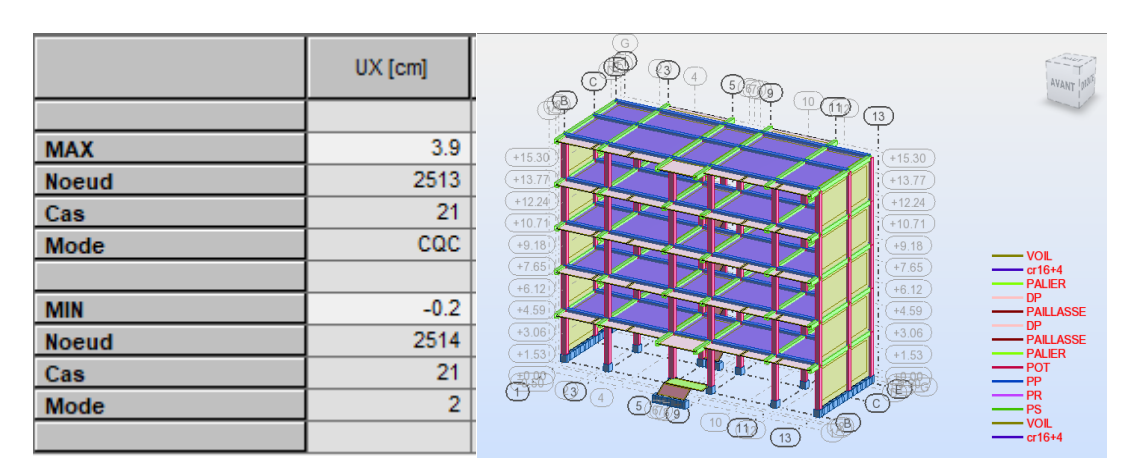


Figure VI.38: Différentes positions des voiles de contreventement Les résultats d'études tel que le déplacement selon le sens X sont présentés dans les figures

1.PourR+4:

	UX [cm]	(G) (B) (B) (C) (C) (C)	AVANT DROITE
MAX	3.5	(18) C (18) (3) 4 (5) (9) 10(11) (3) (+15:30)	
Noeud	2401	(+13-77) (+12-24)	
Cas Mode	21	(+10.71) (+9.18) (+7.65)	
MIN	-0.6	+6.12 +4.59 +4.59 +4.59	16+4 ALIER
Noeud	3762	(+1.53) (+1.53) (+1.53)	AILLASSE
Cas Mode	21		OT P
mose			OIL

(a) Position initiale.



(b) 2^{ème} position

11) (13)

	UX [cm]	(a) (3) (4) (5) (10) (10)
MAX	1.1	+15:30
Noeud	2400	+13.77
Cas	21	(+1224 (+1071)
Mode	CQC	+9.18
		+7.65 +6.12
MIN	-0.0	(+4.59) 4 J Paris
Noeud	2400	+3.00
Cas	21	(±1.53)
Mode	5	



Chapitre VI: Calcul du joint sismique pour des structures contreventées

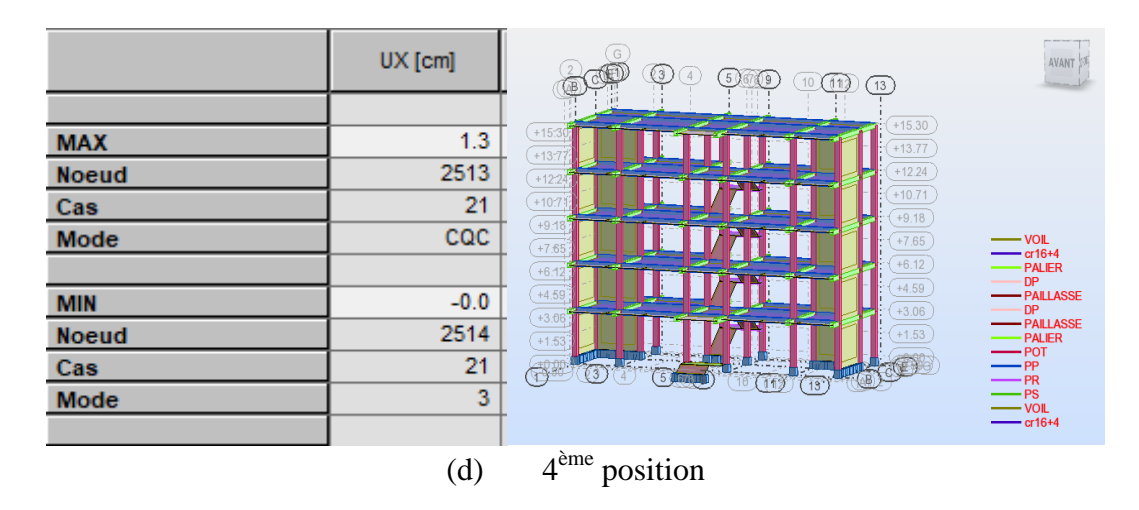


Figure VI.39 : Déplacement maximal U_x pour quatre configurations différentes de voiles R+4.

La largeur du joint sismique pour ces quatre cas est résumée dans le tableau cidessous :

Tableau VI.25: Influence de la position des voiles sur la largeur du joint sismique R+4.

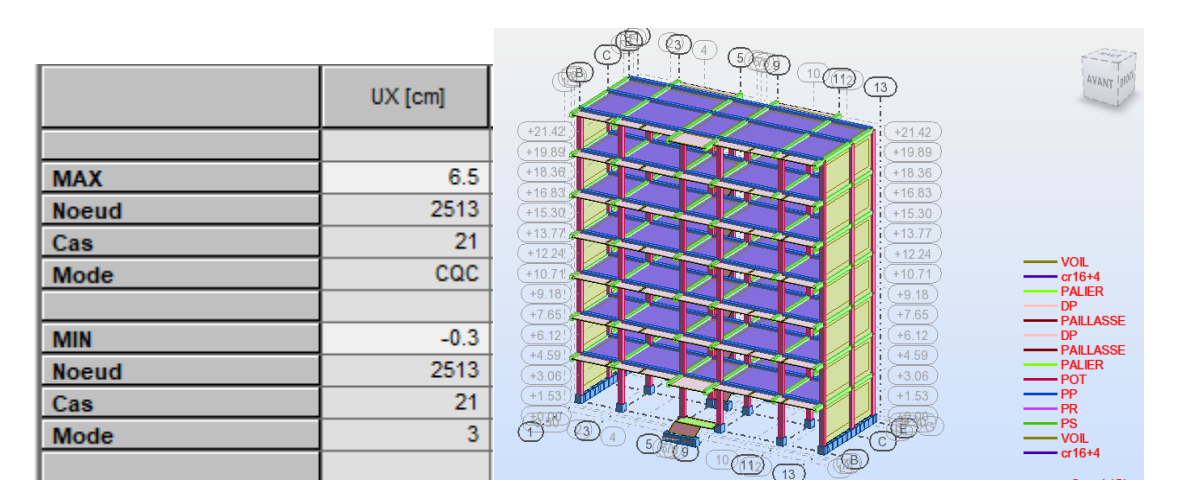
Position des voiles	Déplacement maximal U_{x} en cm	Largeur minimale d _{min} en cm
Position 1	3.5	22
Position2	3.9	22
Position3	1.1	7
Position4	1.3	8

2.Pour R+6:

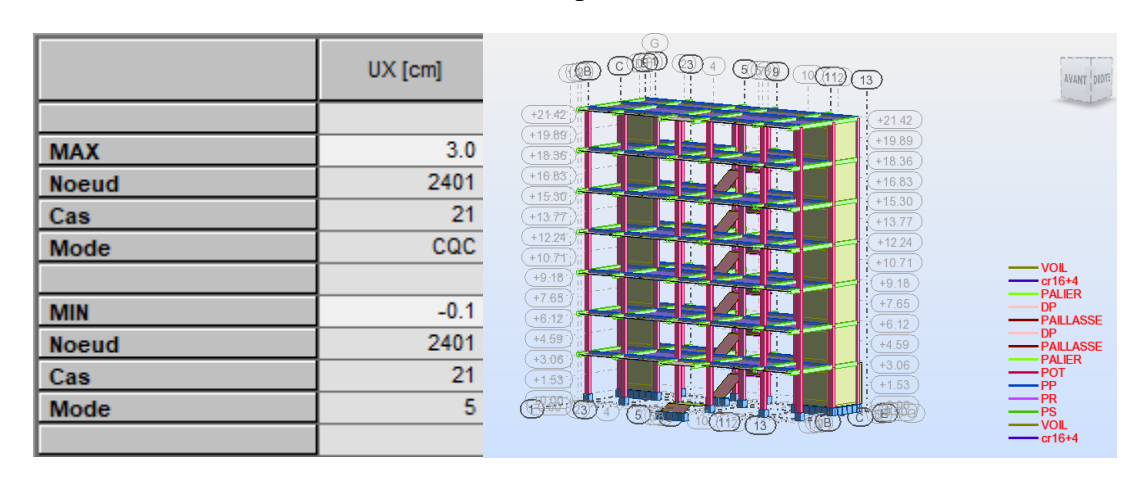
	UX [cm]	(B) C(B) 34 (B) 1(11) 3	AVANT DROITE
MAX	6.3	(+21.42) (+19.89) (+18.36) (+16.83) (+16.83) (+16.83)	
Noeud Cas	2401 21	(+15.30) (+13.77) (+13.77)	
Mode	2	+10.71 +9.18	+4
MIN	-0.9	+6.12 +7.65 — PAIL	LASSE
Noeud	5126	+4,59 +6.12 -PAL +3.06 -PAL	IER
Cas	21	+1.53 -1 POI	
Mode	1	PR — VOIL — cris	

(a). Position initiale

Chapitre VI: Calcul du joint sismique pour des structures contreventées



(b).2^{ème} position



(c). 3^{ème} position.

	UX [cm]	(B) (B) (B) (C) (B) (B) (B) (B) (B) (B) (B) (B) (B) (B	AVANT DRUTE
		+21.42	
MAX	3.6	(+19.89) (+18.36) (+18.36)	
Noeud	2513	+16.83	
Cas	21	(+15.30) (+13.77) (+13.77)	
Mode	CQC	+12.24	— VOIL
		(+10.71) (+9.18) (+10.71) (+9.18)	cr16+4 PALIER
MIN	-0.1	(+7.65); (+7.65)	DP PAILLASSE
Noeud	2514	+4.59) ₁ (4.59)	PAILLASSE PALIER
Cas	21	(+3.06) (+1.53); (+1.53)	POT PP
Mode	3		PR PS
			VOIL cr16+4

(d).4^{ème} position.

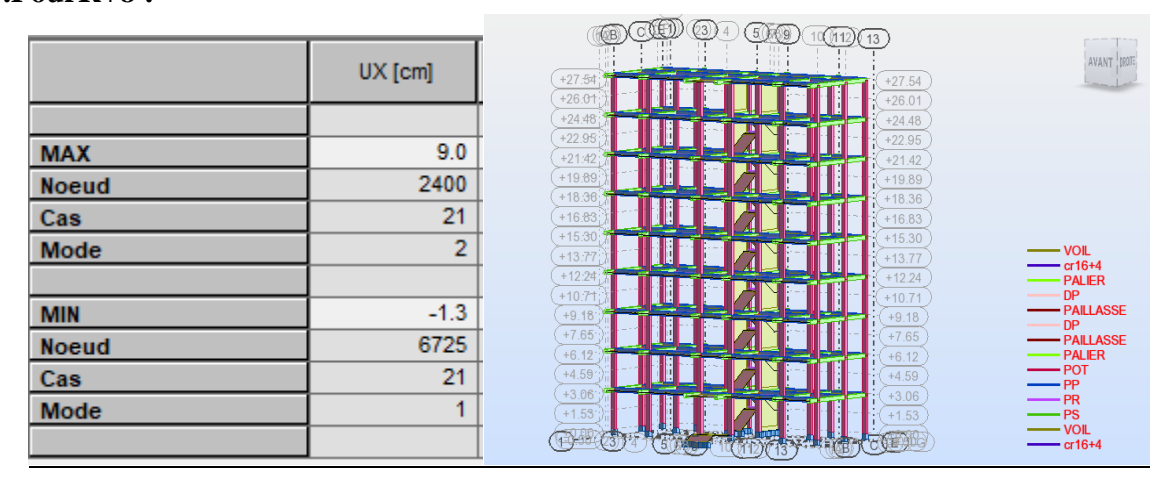
Figure VI.40 : Déplacement maximal U_x pour quatre configurations différentes de voiles R+6.

La largeur du joint sismique pour ces six cas est résumée dans le tableau ci-dessous :

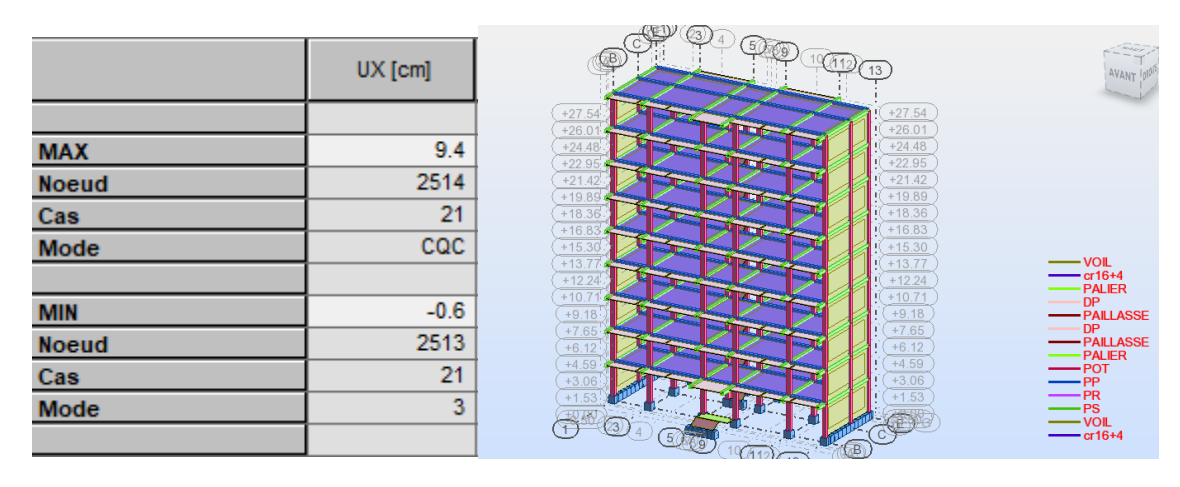
Tableau VI.26 : Influence de la position des voiles sur la largeur du joint sismique R+6.

Position des	Déplacement maximal	Largeur minimale
voiles	$\mathbf{U}_{\mathbf{x}}$ en cm	d _{min} en cm
Position 1	6.3	37.5
Position2	6.5	35.5
Position3	3	17
Position4	3.6	20

3.PourR+8:



(a).Position initiale

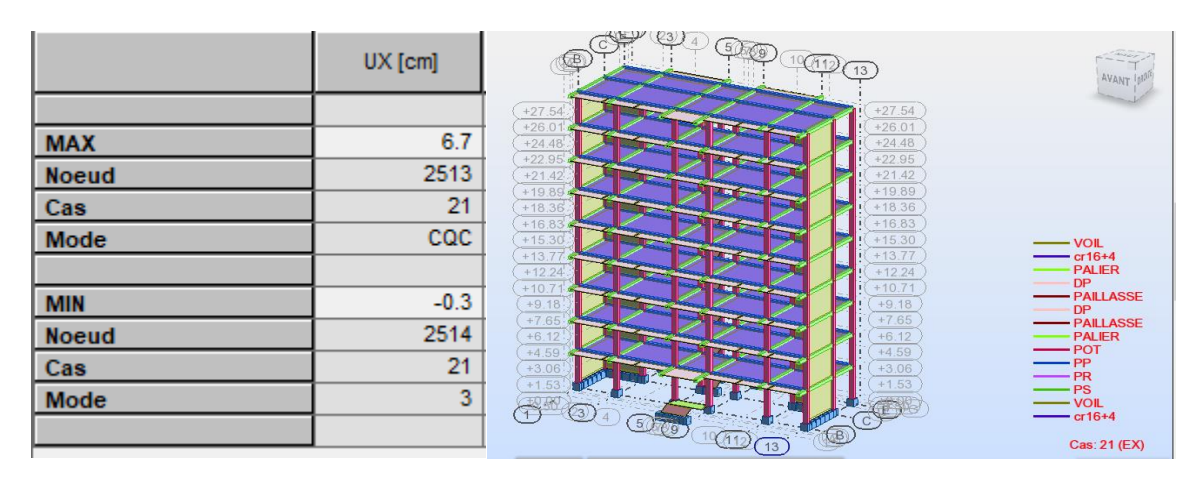


(b).2^{ème} position

Chapitre VI : Calcul du joint sismique pour des structures contreventées

	UX [cm]	(B) (C) (S) 4 (S) (C) (T) (T) (T) (AVANT JULE
		(*27.54) (*26.01) (*27.54) (*28.01)
MAX	5.5	+24.48 +22.95
Noeud	2400	(+21.42) +19.89) (+19.89)
Cas	21	(+18.36) (+18.36)
Mode	CQC	(+15.30) (+15.30)
		+12:24) — cr16+4
MIN	-0.2	(+10.71) (+9.18) (+9.18) (+9.18) (+9.18)
Noeud	2400	(+7.65) (+6.12) PAILASSE PAILASSE PAILER
Cas	21	(45.9) (45.9) (43.06) PP
Mode	5	+153
		TOTAL CONTROL OF CONTR

(c).3^{ème} position



(d).4^{ème} position

Figure VI.41 : Déplacement maximal U_x pour quatre configurations différentes de voiles R+8.

La largeur du joint sismique pour ces six cas est résumée dans le tableau ci – dessous :

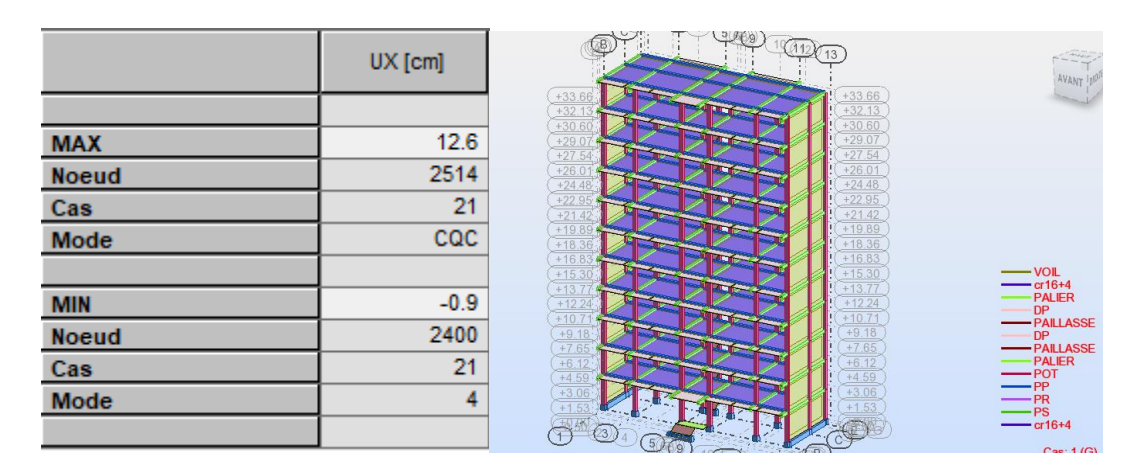
Tableau VI.27 : Influence de la position des voiles sur la largeur du joint sismique R+8.

Position des	Déplacement maximal	Largeur minimale
voiles	$\mathbf{U}_{\mathbf{x}}$ en cm	$\mathbf{d}_{ ext{ iny min}}$ en cm
Position 1	9	53
Position2	9.4	51.5
Position3	5.5	30
Position4	6.7	36.5

4.Pour R+10:

	UX [cm]	+33.66) +33.66
		(+32:13) (+30:60) (+30:60)
MAX	12.2	(+29.07) (+27.54) (+27.54)
Noeud	2401	+24.48 (Fig. 1) (Fig.
Cas	21	(+22.95) (+21.42) (+21.42)
Mode	3	(+19.89) (+18.36) (+18.36)
		+15:30 - VOIL +15:30 - cr16+4
MIN	-1.7	+12.24 PALER PALER +12.24 PALER
Noeud	8209	DP PARLASSE
Cas	21	16.12 PALER POT
Mode	1	(459) (458) PR
		a1614

(a).Position initiale



(b).2^{ème} position

	UX [cm]	+33.68 +32.13
MAX	7.7	(+30.60) (+29.07) (+27.54) (+26.01)
Noeud	2400	+24.48 +22.95
Cas	21	(+19.89)
Mode	cac	(+18.36) (+18.83) (+16.83) (+15.30) (+15.30)
MIN	-0.3	(13.77) (12.24) (10.71) (10.71) (10.71) (10.71) (10.71) (10.71) (10.71) (10.71) (10.71)
Noeud	2400	(+9.18) (+7.65) PAILLASSE
Cas	21	(+6.12) +6.12
Mode	5	4459 1306 1153 1206 1153 1206

(c).3^{ème} position

Chapitre VI : Calcul du joint sismique pour des structures contreventées

	UX [cm]	+33.66 +33.56	AVANT WE
MAX	9.7 2513	(+32/1) (+30.60 (+29.07) (+27.54) (+27.54) (+26.01)	
Cas Mode	21 CQC	+2448 +2295 +2142 +1989 +1836	
MIN	-0.5	(+1836) (+1635) (+1530) (+1537) (+1377) (+1221) (+1071)	VOIL cr16+4 PALIER DP
Noeud Cas	2514 21 3	(9) 18 (7) 18 (7) 18 (7) 18 (7) 18	PAILLASSE DP PAILLASSE PALIER POT
Mode	3	46 12 43 65 43 66 41 53 43 66 41 53 43 66 41 53 43 66 41 53 43 66 41 53 43 66 41 53 43 66 43 66 43 43 66 43 43 66 43 43 66 43 43 43 43 43 43 43 43 43 43 43 43 43	PP PR PS cr16+4

(d).4^{ème} position

Figure VI.42 : Déplacement maximal U_x pour quatre configurations différentes de voiles R+10.

La largeur du joint sismique pour ces six cas est résumée dans le tableau ci-dessous :

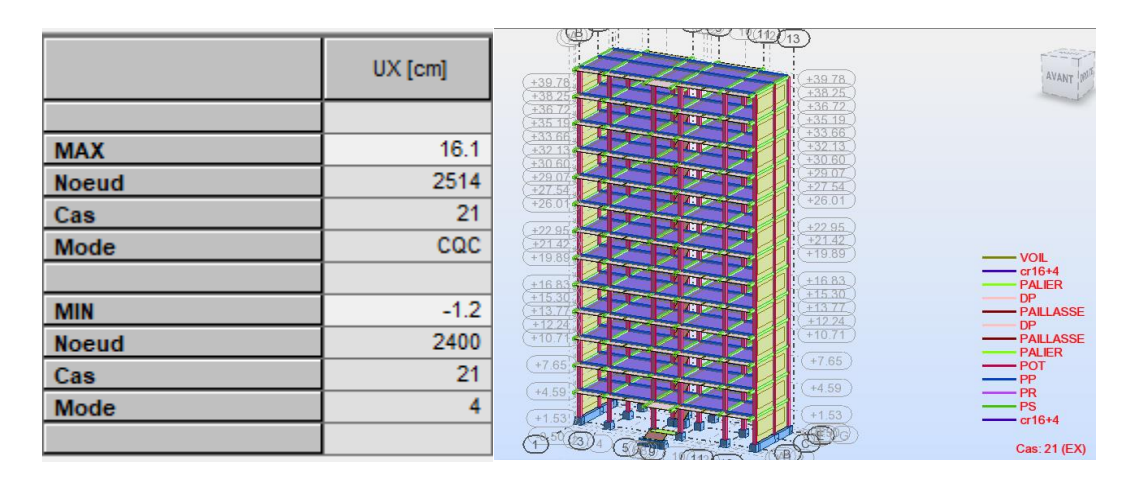
Position des voiles	Déplacement maximal U_x en cm	Largeur minimale d _{min} en cm
Position 1	12.2	71
Position2	12.6	67.5
Position3	7.7	41.5
Position4	9.7	52.5

5.PourR+12:

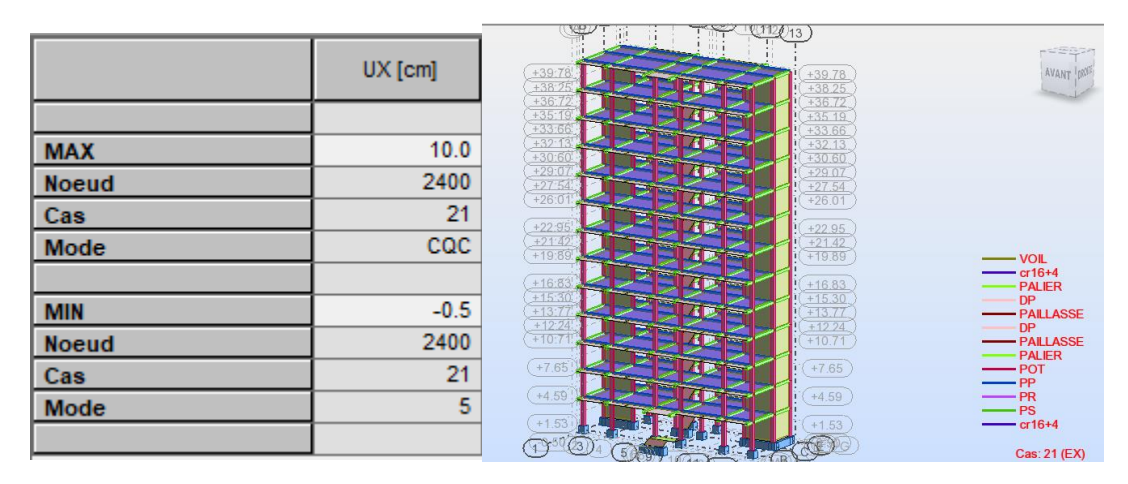
	UX [cm]	#39.75 #35.725
		436.72 335.19 335.66
MAX	15.7	+32.130 +30.600 +30.60
Noeud	2402	<u>+27-541</u> (+27-54)
Cas	21	(+22.95) (+22.95)
Mode	3	+21-47
		+16.83) +16.83 PALIER
MIN	-2.1	+115.77 +13.77 +12.24 +12.24
Noeud	9721	+10.711) — PALER
Cas	21	(+7.65) — PP — PR
Mode	1	— VOIL
		(+1 53) — cr16+4 Cas: 21 (EX)

(a).Position initiale

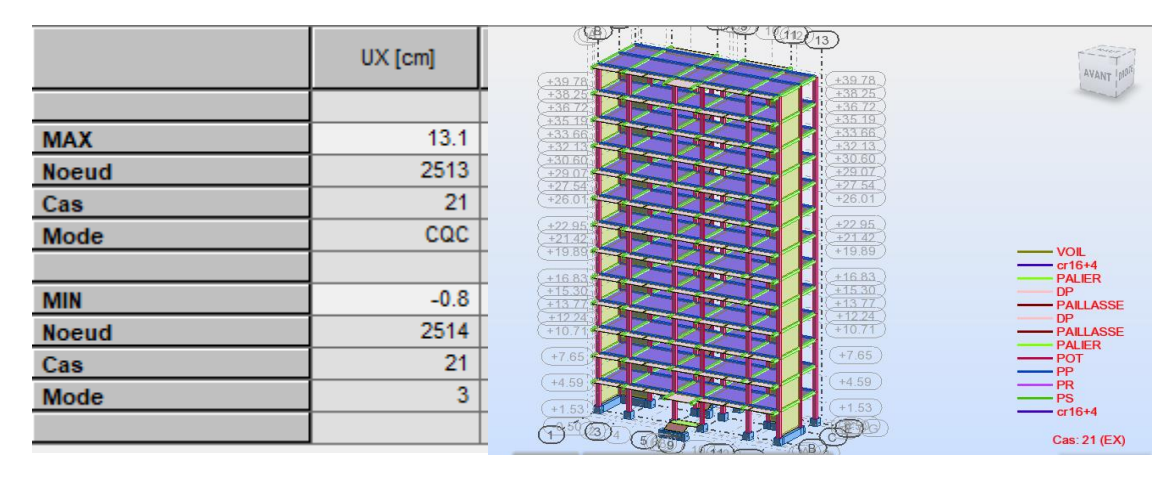
Chapitre VI: Calcul du joint sismique pour des structures contreventées



(b).2^{ème} position



(c).3^{ème} position



(d).4^{ème} position

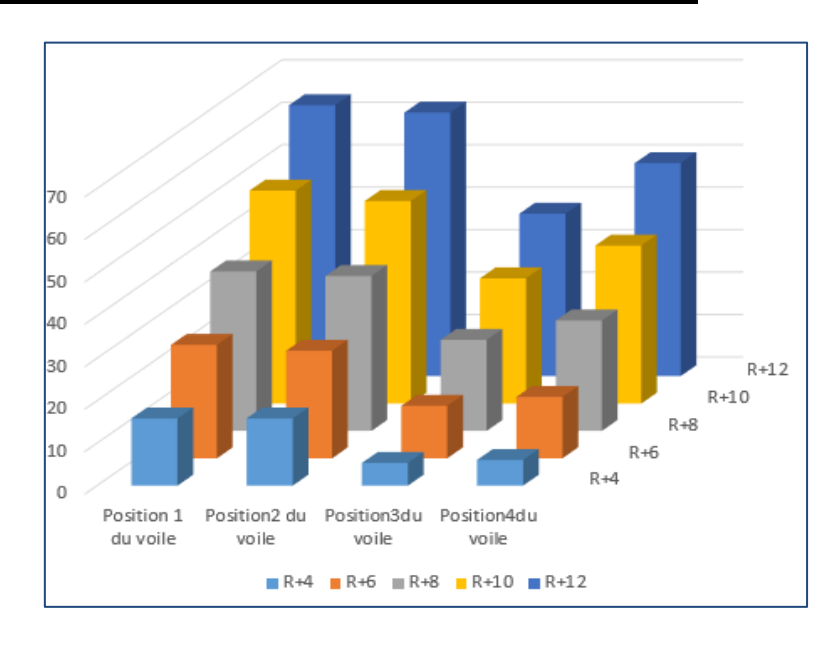
Figure VI.43: Déplacement maximal U_x pour quatre configurations différentes de voiles R+12.

La largeur du joint sismique pour ces six cas est résumée dans le tableau ci-dessous :

Tableau VI.29: Influence de la position des voiles sur la largeur du joint sismique R+12.

Position des voiles	Déplacement maximal U_{x} en cm	Largeur minimale d _{min} en cm
Position 1	15.7	90.5
Position2	16.1	88
Position3	10	54
Position4	13.1	71

Graphe récapitulatif de l'influence de la position des voiles



Concernant ce cas, A partir des résultats illustrés dans les tableaux, il est possible de constater une variation de la largeur du joint. Nous pouvons voir que la variante 3 présente la meilleure position du voile devançant les variantes 1,2 et 4 avec une valeur de 5.35, 12.35, 21.45, 29.5 et 38.25cm et cela pour les différents niveaux de la

FigureVI.44 : Histogramme récapitulatif de l'influence de la position des voiles

structure (R+4, R+6, R+8, R+10 et R+12) respectivement . Il est observé que la position où les voiles sont plus proches du centre de entraı̂ne la valeur la plus faible de

la largeur du joint.

Lorsque les voiles sont placés de manière stratégique le long de la structure, ils peuvent contribuer à la résistance aux charges latérales en absorbant et en

redistribuant les forces sismiques. Cela peut entraîner une réduction des déplacements au niveau du joint sismique, ce qui se traduit par une réduction de la largeur du joint.

VI .II.3 .Influence de la variation de l'épaisseur des voiles sur la largeur du joint

Dans cette étude, nous nous sommes intéressés à l'étude de l'influence de l'ajout et la dimension des voiles dans la structure en béton, Lorsque nous faisons varier le l'épaisseur des voiles d'une structure, cela peut avoir un impact sur les exigences et les critères de conception liés à la résistance sismique.

De nombreuses modélisations ont été effectuées en modifiant l'épaisseur des voiles, on a optés pour trois épaisseurs 15, 20 et 25 cm. Et cela pour les différents niveaux de la structure (R+4, R+6, R+8, R+10 et R+12),

Les résultats d'études tel que le déplacement selon le sens X sont présentés dans les figures ci-dessous

1.Pour R+4:

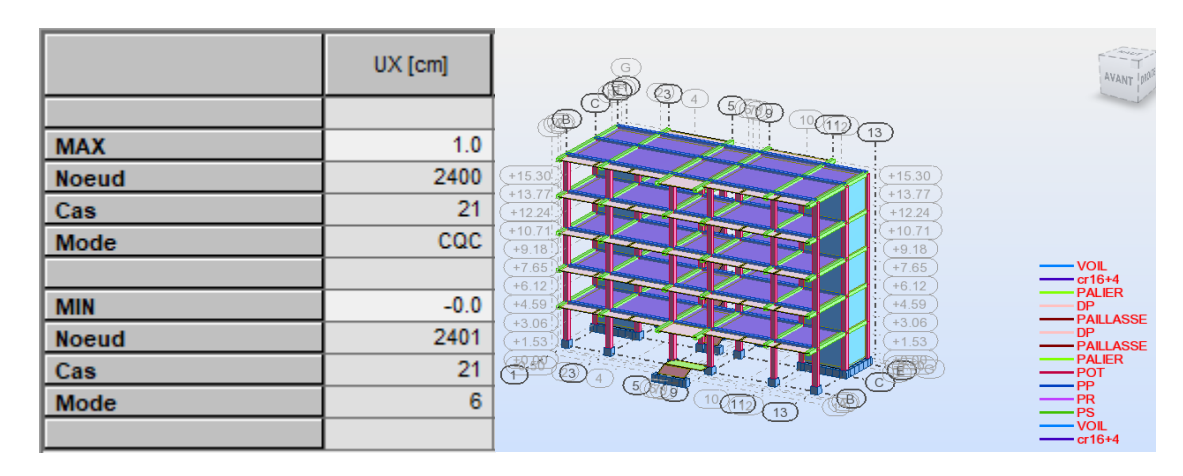
	UX [cm]	(S) 4 (S) (D) (D) (D) (D)	AVANT F
		(+15.30)	
MAX	1.1	(+15.30) (+13.77)	
Noeud	2400	+1224	
Cas	21	+1071	
Mode	CQC	+9.18 +7.65	VOL
		+6.12	cr16+4 PALIER
MIN	-0.0	+4.59	PAILLASSE DP
Noeud	2400	+3.0t +1.53	PAILLASSE PALIER
Cas	21		POT PP
Mode	5		PR PS

 $e_p = 15cm$

Chapitre VI: Calcul du joint sismique pour des structures contreventées

	UX [cm]		AVANT MAR
MAX	1.1		
Noeud	2400	(+15.30) (+13.77) (+13.77)	
Cas	21	+12.24	
Mode	CQC	(+10.71) (+9.18) (+9.18)	
		(+7.65) (+6.12) (+6.12)	VOIL
MIN	-0.0	+4.59	PALIER DP PAILLASSE
Noeud	2401	(+3.06) (+1.53) (+1.53)	DP PAILLASSE
Cas	21		PALIER POT
Mode	6	4 50 10(11)(3)	— PP — PR — PS
		13)	VOIL cr16+4

$$e_p = 20cm$$



 $e_p = 25cm$

Figure VI.45: Déplacement maximal U_x pour trois épaisseurs différentes (R+4).

La largeur du joint sismique pour ces trois cas est résumée dans le tableau cidessous :

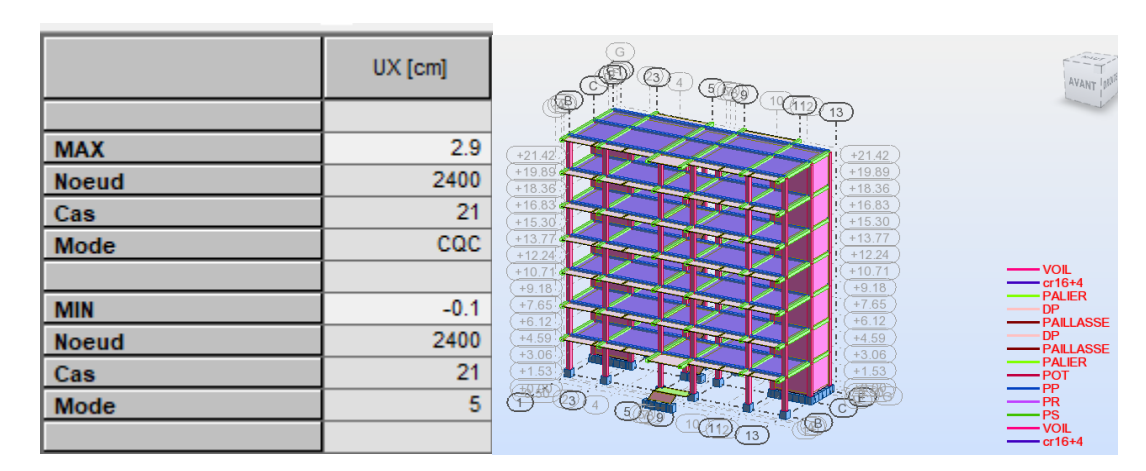
Tableau VI.30 : Influence de la variation de l'épaisseur des voiles sur la largeur du joint

Epaisseur des voiles en cm	Déplacement maximal $\mathbf{U}_{\mathbf{x}}$ en cm	Largeur minimale d _{min} en cm
$e_{p} = 15$	1.1	7
$e_{p} = 20$	1.1	7
$e_{p} = 25$	1	6.5

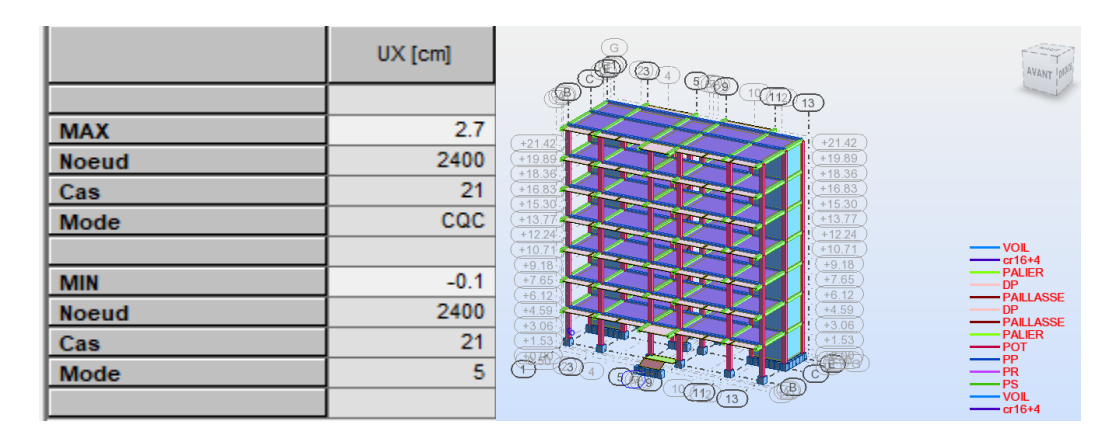
2.Pour R+6:

	UX [cm]	(B) (3) 4 (5) (11) (3)	AVANT DROTT
MAX Noeud	3.0 2401	(+21.42) (+19.89) (+18.36) (+16.83) (+16.83) (+15.30)	
Mode	CQC	(+13.77) (+12.24) (+10.71) (+9.18) (+7.65)	VOIL cr16+4 PALIER DP
MIN Noeud Cas Mode	-0.1 2401 21 5	(+6.12) (+4.59) (+3.30) (+1.55) (+1.55) (+1.55)	PAILLASSE DP PAILLASSE PALIER POT PP PR PS VOIL cr16+4

 $e_p = 15cm$



 $e_p = 20cm$



 $e_p = 25cm$

Figure VI.46: Déplacement maximal U_x pour trois épaisseurs différentes (R+6).

La largeur du joint sismique pour ces trois cas est résumée dans le tableau ci – dessous :

Tableau VI.31 : Influence de la variation de l'épaisseur des voiles sur la largeur du joint (R+6).

Epaisseur des voiles en cm	Déplacement maximal $\mathbf{U}_{\mathbf{x}}$ en cm	Largeur minimale d _{min} en cm
$e_p = 15$	3	17
$e_p = 20$	2.9	16.5
$e_p = 25$	2.7	15.5

3.Pour R+8:

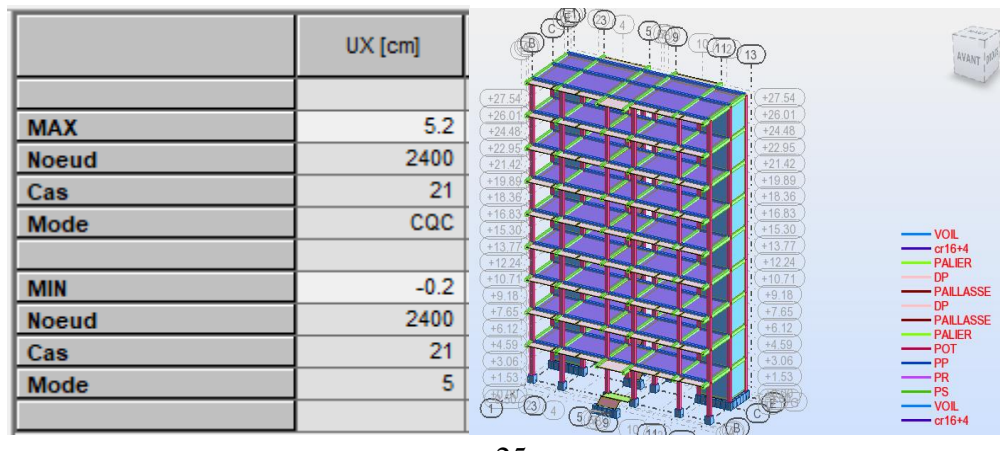
	UX [cm]	(C) (1) (1) (1) (1) (1) (1) (1) (1) (1) (1	AVANT DEEP
		(+27.54) (+26.01) (+26.01)	
MAX	5.5	+24.48 +22.95	
Noeud	2400	(+21:42)	
Cas	21	+18.36)	
Mode	CQC	+15:30) +15:30	
		(+13.77) (+12.24) (+12.24)	VOIL cr16+4 PALIER
MIN	-0.2	(+10.71) (+9.18) (+9.18)	PALIER DP PAILLASSE
Noeud	2400	(+7.85) (+7.65)	— DP — PAILLASSE
Cas	21	+4.59	PALIER POT
Mode	5	(+3.06) (+1.53) (+1.53)	PR PS VOIL

 $e_p = 15cm$

	UX [cm]		AVANT INDS
		<u>+27.54</u> +26.01	
MAX	5.3	(+24.48)	
Noeud	2400	+22.95 (+21.42) (+21.42)	
Cas	21	+19.89 +18.36	
Mode	CQC	+18.35 +16.83 +15.30	
		(+13.77)	cr16+4 PALIER
MIN	-0.2	(+10.71)	DP PAILLASSE
Noeud	2400	(+9.18) (+7.65) (+6.12)	— DP PAILLASSE
Cas	21	(+4.59)	PALIER POT PP
Mode	5	(+3.06) (+1.53)	PR PS

 $e_p = 20cm$

Chapitre VI: Calcul du joint sismique pour des structures contreventées



 $e_p = 25cm$

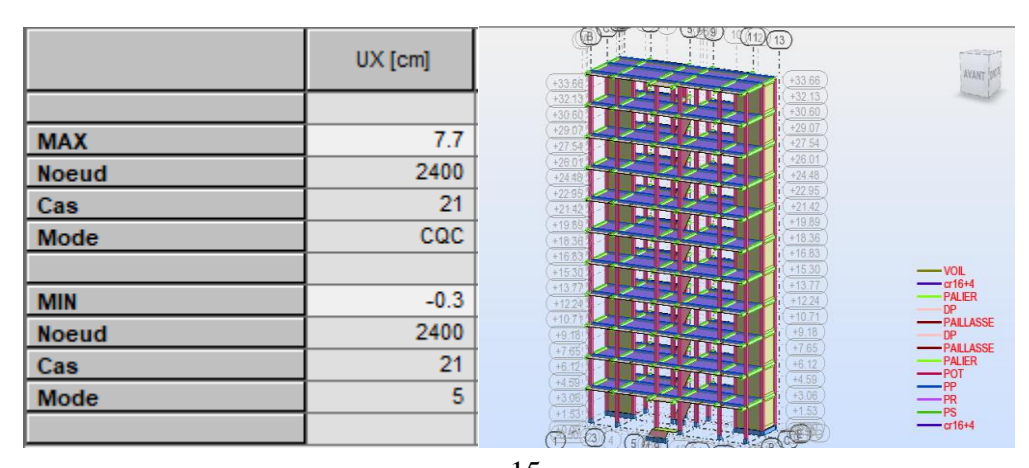
Figure VI.47: Déplacement maximal U_x pour trois épaisseurs différentes (R+8).

La largeur du joint sismique pour ces trois cas est résumée dans le tableau ci – dessous :

Tableau VI.32 : Influence de la variation de l'épaisseur des voiles sur la largeur du joint(R+8).

Epaisseur des voiles en cm	Déplacement maximal $\mathbf{U}_{\mathbf{x}}$ en cm	Largeur minimale d _{min} en cm
$e_{\rm p} = 15$	5.5	30
$e_p = 20$	5.3	29
$e_{\rm p} = 25$	5.2	28.5

4.Pour R+10:



 $e_p = 15cm$

Chapitre VI: Calcul du joint sismique pour des structures contreventées

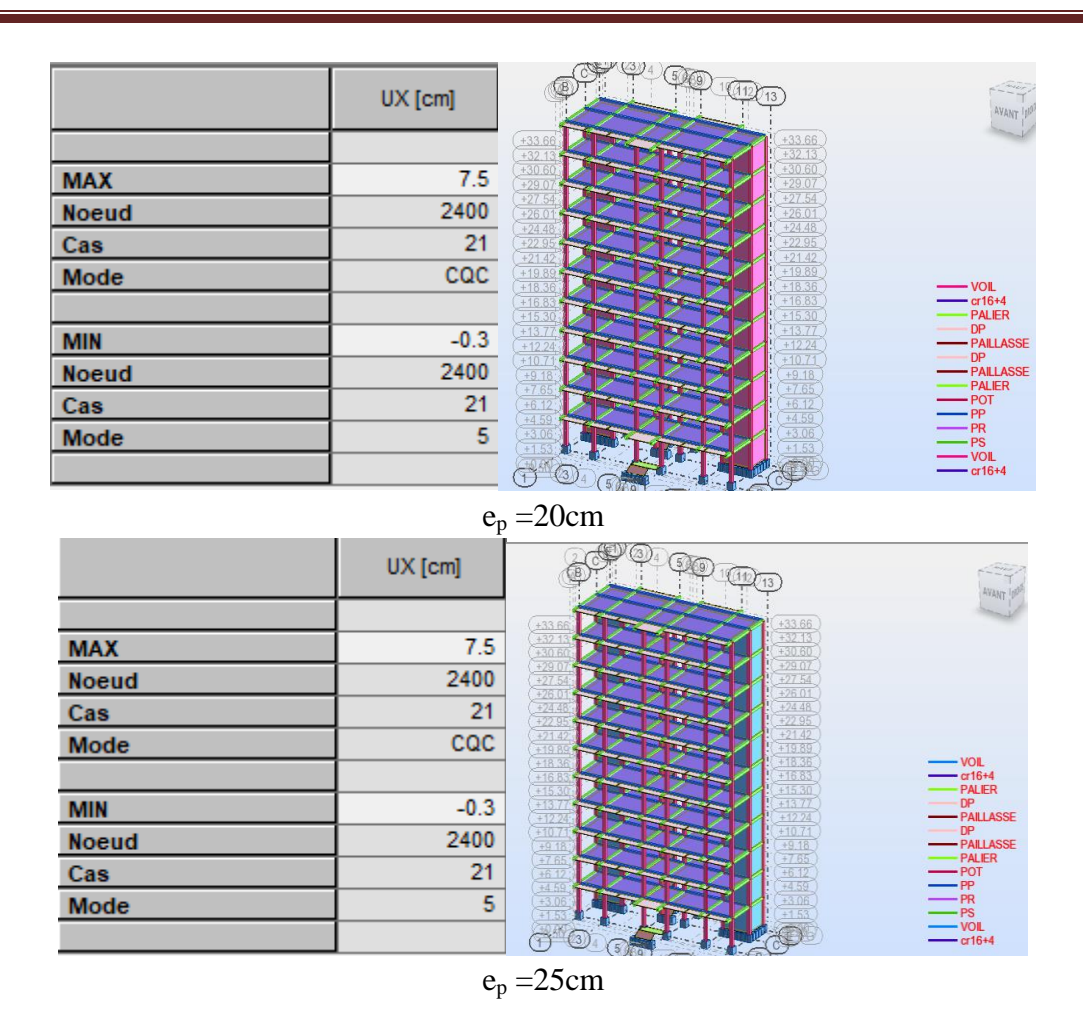


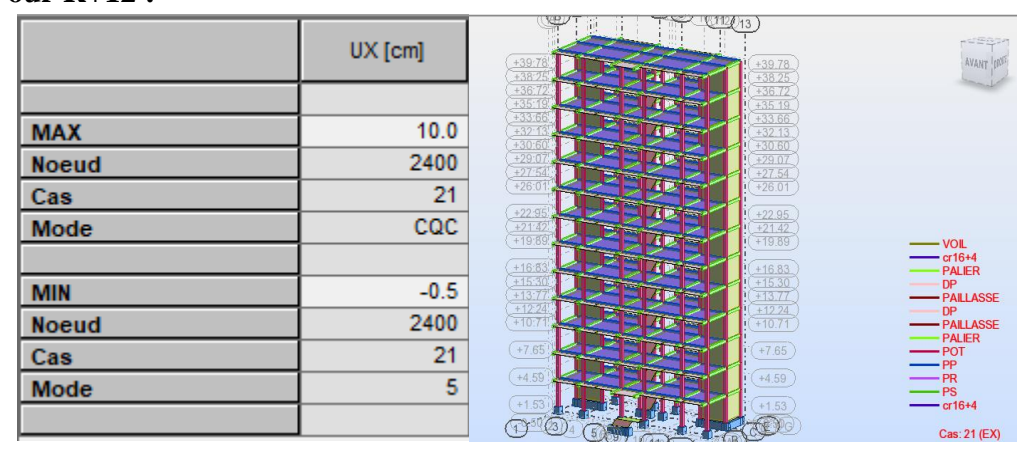
Figure VI.48 : Déplacement maximal U_x pour trois épaisseurs différentes (R+10).

La largeur du joint sismique pour ces trois cas est résumée dans le tableau ci – dessous :

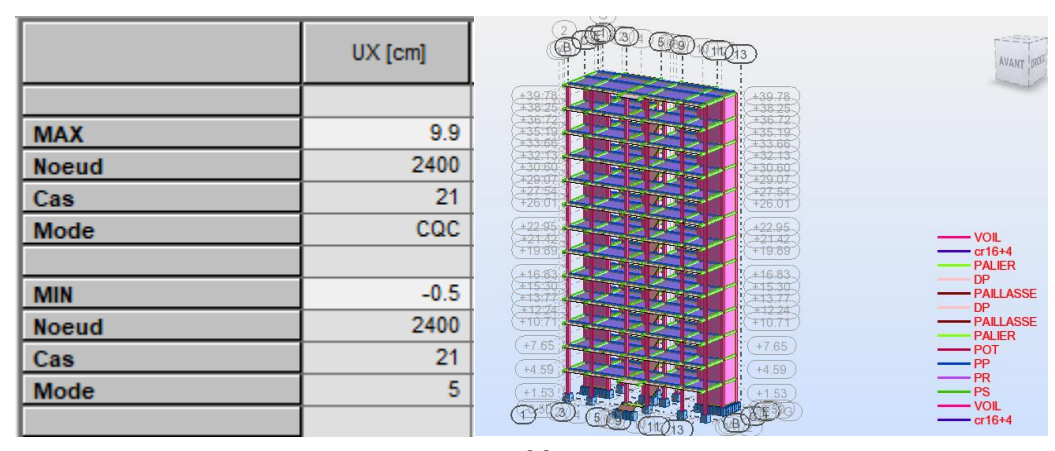
Tableau VI.33 : Influence de la variation de l'épaisseur des voiles sur la largeur du joint (R+10).

Epaisseur des voiles en cm	Déplacement maximal $\mathbf{U}_{\mathbf{x}}$ en cm	Largeur minimale d _{min} en cm
$e_{p} = 15$	7.7	41.5
$e_{p} = 20$	7.5	40.5
$e_{p} = 25$	7.5	40.5

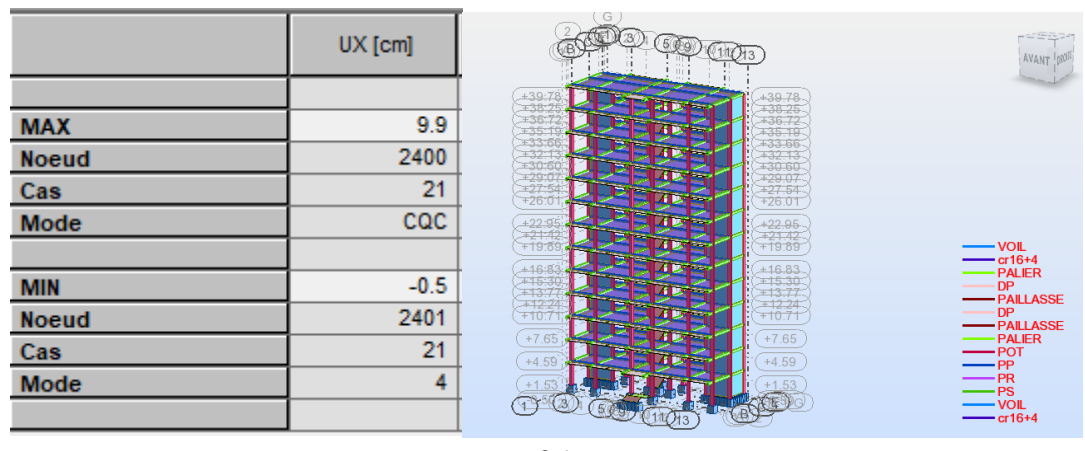
5.Pour R+12:



 $e_p = 15cm$



 $e_p = 20cm$



 $e_p = 25cm$

Figure VI.49: Déplacement maximal U_x pour trois épaisseurs différentes (R+12).

La largeur du joint sismique pour ces trois cas est résumée dans le tableau ci – dessous :

Tableau VI.34 : Influence de la variation de l'épaisseur des voiles sur la largeur du joint (R+12).

Epaisseur des voiles en cm	Déplacement maximal $\mathbf{U_x}$ en cm	Largeur minimale d _{min} en cm
$e_p = 15$	10	54
$e_p = 20$	9.9	53.5
$e_p = 25$	9.9	53.5

Histogramme récapitulatif de l'influence de l'épaisseur des voiles

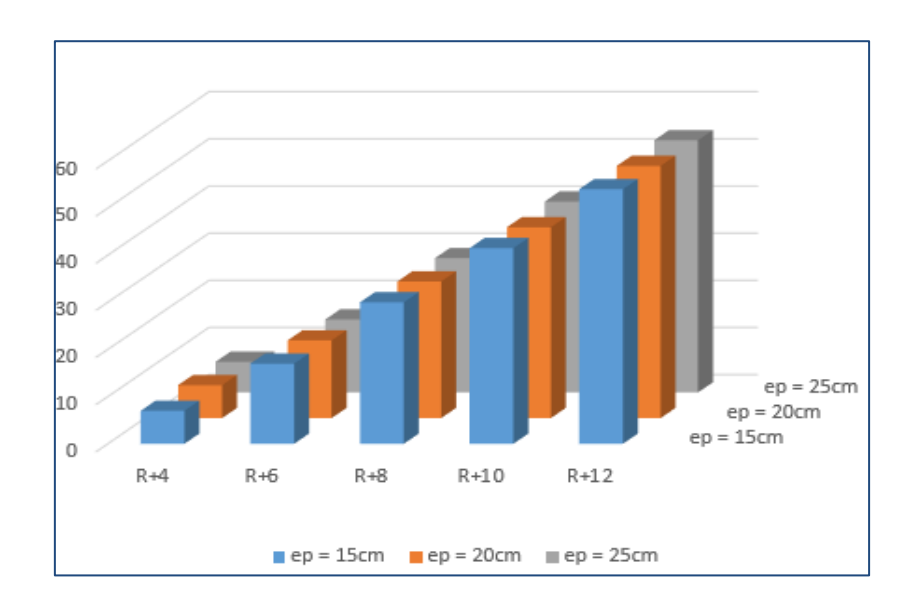


Figure VI.50 : histogramme récapitulatif de l'influence de l'épaisseur des voiles

L'épaisseur des voiles de contreventement peut affecter la rigidité et la résistance du système de contreventement de la structure, ce qui à son tour peut influencer la répartition des forces sismiques et la largeur du joint sismique.

En analysant les résultats, on remarque que la variante 3 (l'épaisseur des voiles égales à 25 cm) a une largeur de joint sismique minimale en comparant avec les 2 autres variantes $e_p = 15 \text{cm}$ et 20 cm) mais la différence est n'est pas important, les résultats sont très poches.

A titre d'exemple le taux de différence est de l'ordre de 1% si on compare la variante 3 avec la variante 1 pour R+12, on peut dire que la variation de l'épaisseur des voiles de 5 cm a légèrement influencé la largeur du joint sismique.

VI.3.Conclusion

Dans ce chapitre nous avons essayé d'évaluer l'influence de quelques paramètres, tel que : la hauteur de la structure, la zone d'implantation de la structure ; l'importance du site, la catégorie du site, le système de contreventement, la disposition du voile et enfin l'épaisseur du voile. D'après tous les résultats obtenus, on constate que :

- La hauteur de la structure affecte la largeur du joint sismique,
- La largeur du joint sismique est plus importante pour les structures dont les dimensions des éléments principaux (poteaux, poutres principales et chainages) sont réduis,
- La zone sismique, le type du site et l'importance du site influent fortement la largeur du joint sismique,
- L'introduction des voiles de contreventement dans la structure a permis de rigidifier la structure en réduisant la largeur du joint sismique.
- La position optimale des voiles peut fournir une répartition équilibrée des forces sismiques dans la structure en minimisant les déplacements et largeur du joint sismique
- La variation de l'épaisseur du voiles de contreventement n'a pas un effet remarquable sur le déplacement et largeur du joint sismique.

Conclusion générale

Le développement des structures en béton armé a joué un rôle essentiel dans le progrès des pays. À travers l'étude de cette structure composée de deux blocs en béton armé, nous avons pu mettre en pratique les connaissances théoriques acquises au cours de notre formation en génie civil. Cela nous a permis de faire face aux problématiques et d'anticiper les solutions lors du calcul des ouvrages en béton armé.

Ce projet de fin d'études a été une occasion unique de saisir la complexité du domaine du génie civil. Nous avons découvert les multiples notions impliquées, telles que les règlements parasismiques et leur application, ainsi que l'utilisation et le rôle des logiciels liés à la construction. Ces outils ont grandement contribué à faciliter et à optimiser notre travail.

Malgré l'existence de logiciels informatiques avancés qui ont considérablement facilité les calculs et le dimensionnement des structures en béton armé, les calculs manuels restent primordiaux. Ils demeurent essentiels pour appréhender et comprendre en profondeur n'importe quelle structure

Les joints sismiques sont utilisés pour séparer les bâtiments adjacents ou les parties d'un même bâtiment, permettant ainsi les déplacements lors d'un séisme. Ils doivent être suffisamment larges pour éviter les collisions entre les blocs voisins. La largeur du joint sismique dépend de plusieurs paramètres, notamment :

- 1. Caractéristiques de la structure : Les caractéristiques de la structure ellemême, telles que la hauteur, les sections des éléments structurels, peuvent également influencer la largeur du joint sismique
- 2. Paramètres sismiques : L'accélération du sol, la zone sismique et l'importance de l'ouvrage influent également sur la largeur du joint sismique. Par exemple, des zones sismiques plus élevées nécessitent des joints plus larges pour absorber les déformations structurelles.
- 3. **Géométrie et rigidité des bâtiments adjacents** : Les différences géométriques et de rigidité entre les bâtiments voisins peuvent nécessiter des joints plus larges pour éviter les collisions lors d'un séisme.

- 4. Épaisseur et disposition des voiles de contreventement : L'épaisseur et la disposition des voiles de contreventement influent sur la largeur du joint sismique. Une augmentation de l'épaisseur des voiles peut réduire la largeur du joint, tandis que leur disposition en périphérie de la structure peut l'augmenter.
- 5. **Nombre de voiles de contreventement** : L'augmentation du nombre de voiles de contreventement influence la largeur du joint sismique. Plus le nombre de voiles est élevé, plus la largeur du joint sismique est importante.
- 6. Variations de température et d'hygrométrie : Les mouvements de dilatation et de contraction causés par ces variations doivent être pris en compte lors du dimensionnement des joints sismiques.

Les résultats obtenus dans cette étude nous ont permis de tirer les conclusions suivantes :

- ✓ La hauteur de la structure affecte la largeur du joint sismique,
- ✓ La largeur du joint sismique est plus importante pour les structures dont les dimensions des éléments principaux (poteaux, poutres principales et chainages } sont réduis,
- ✓ La zone sismique, le type du site et l'importance du site influent fortement la largeur du joint sismique,
- ✓ L'introduction des voiles de contreventement dans la structure a permis de rigidifier la structure en réduisant la largeur du joint sismique.
- ✓ Le type de contreventement (portique vs mixte) ainsi que la position des voiles ont une influence déterminante sur la largeur du joint sismique nécessaire pour assurer l'indépendance des blocs adjacents lors d'un séisme.
- ✓ La variation de l'épaisseur des voiles de contreventement n'a pas un effet remarquable sur le déplacement et la largeur du joint sismique

Finalement, plusieurs perspectives peuvent être envisagées pour ce travail. L'étude de l'influence de d'autres paramètres, tels que, la géométrie de la structure, le nome des voiles ainsi que la combinaison de plusieurs paramètres en même temps, la comparaison entre plusieurs règlements à travers la formule proposée pour le calcul de la largeur du joint sismique seront souhaitables.

Les références

- [1] LAHOUAL Abderahmane, GUERROUD Lakhdar(2017), Mémoire de master en génie civil, Effets de caractéristiques sismiques sur les spectres de réponse, Université Ziane Achour de Djelfa
- [2] BENLAALA Nawel (2010), Mémoire de magister en génie civil, Influence de l'interaction sol-structure sur la réponse sismique des bâtiments, Université Mohamed Khider de Biskra.
- [3] M. TERRIER (Décembre 2006) avec la collaboration de G. BERTRAND et A. ROULLE, Document d'information sur le risque sismique à destination des medias.
- [4] CHABOU Moulley Charaf (2022-2023), cours géologie 1, Université Ferhat Abbas, Sétif 1 Institut d'Architecture et des Sciences de la Terre
- [5] Les Règles Parasismiques Algériennes RPA99 /version 2003
- [6] Allel Meriem, Ayad Amel (2015), Mémoire de Master en génie civil, Paramètres influençant la largeur du joint sismique pour les structures en béton armé, l'Université de Guelma.
- [7] https://construction-maison.pagesjaunes.fr/astuce/voir/617167/les-differents-types-de-joints.
- [8] https://www.mon-macon.net/savoir-joints-de-maconnerie/.
- [9] https://www.adesol-groupe.com/blog/btp-quels-sont-les-differents-types-de-joints.
- [10] Dimensionnement d'un joint sismique d'après l'Eurocode 8.
- [11] LOUNAS Boualem, (2012), Mémoire de Master en génie civil, Analyse du comportement des structures élancées en plan, Université Mouloud Mammeri TIZI-OUZOU.
- [12] Béton armé: BAEL 91 modifié 99.

Les références

- [13] Ministère de l'habitat et de l'urbanisme. Document technique règlementaire DTR B C 2.2, Charge permanentes et charges d'exploitation, CGS. 1988.
- [14] ADJOUDJ M'Hamed, (2017), Polycopié de cours Calcul Assisté par ordinateur : Autodesk Robot Structural Analysis Professional, Université Hassiba Ben Bouali Chlef.

Logiciels

- ➤ Robot 2014
- > Auto CAD 2014
- ➤ Word e excel 2010
- > Paint